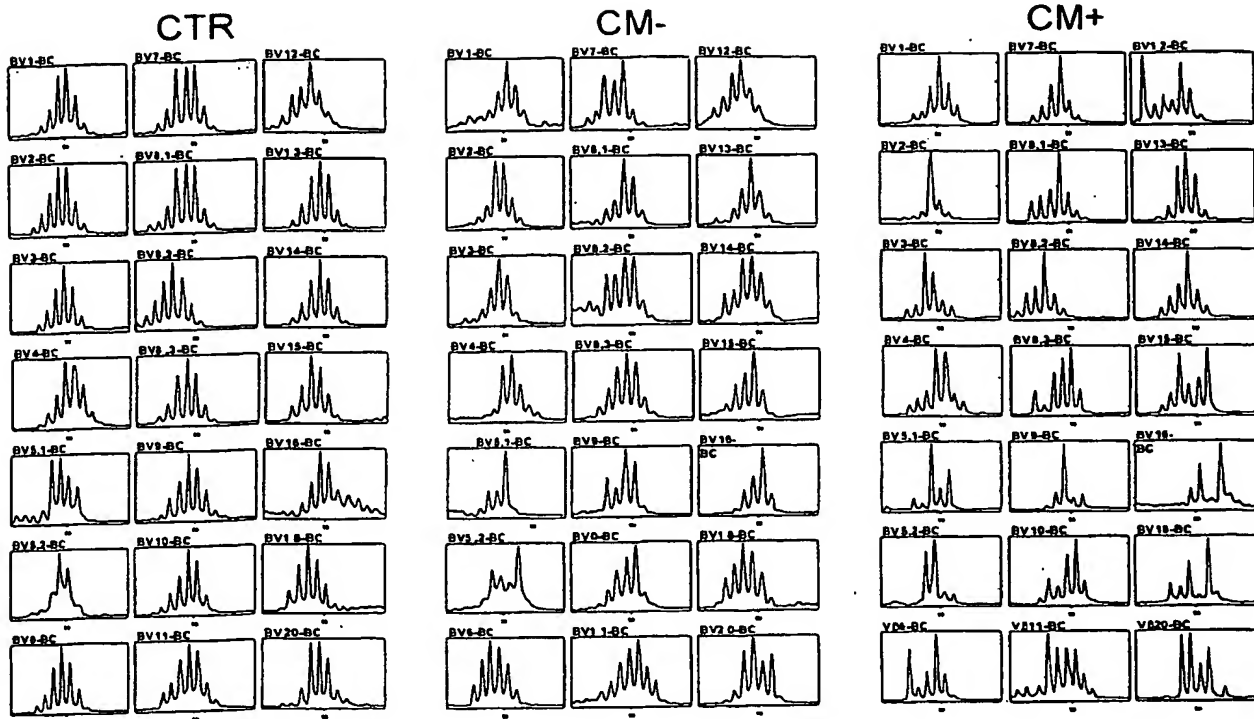


FIGURE 1

Figure 2



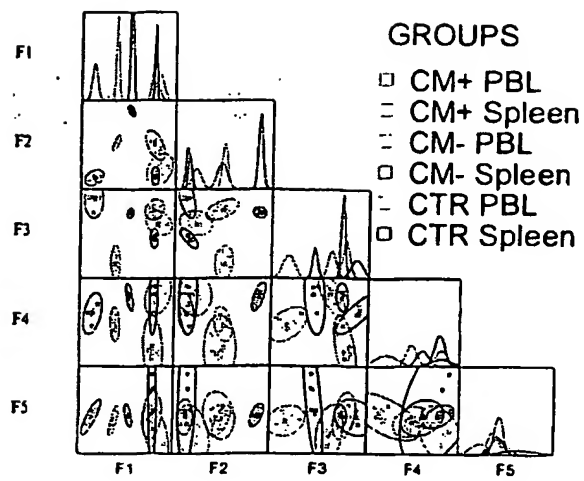


Figure 3

Figure 4a

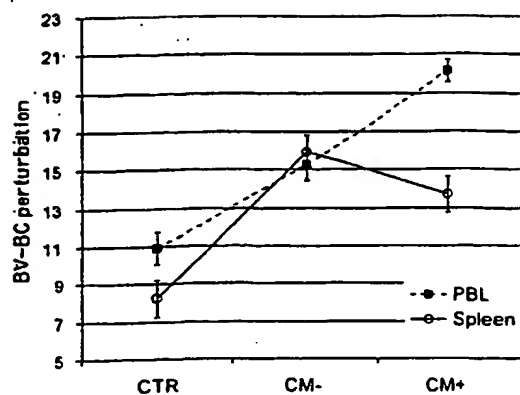
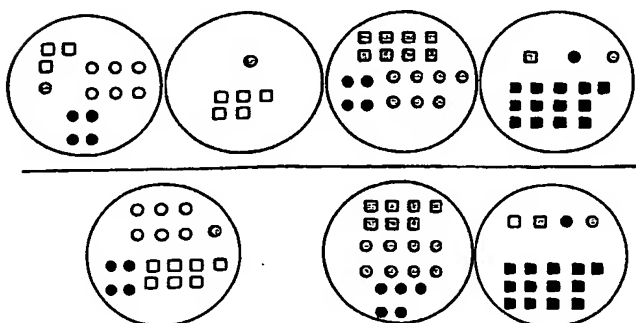


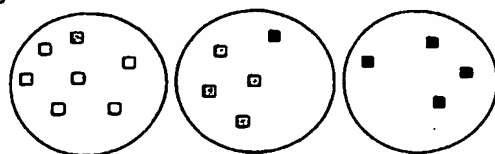
Figure 4b

k=4



k=3

Figure 4c



k=3

□ CTR PBL □ CM- PBL ■ CM+ PBL
 ○ CTR Spleen ○ CM- Spleen ● CM+ Spleen

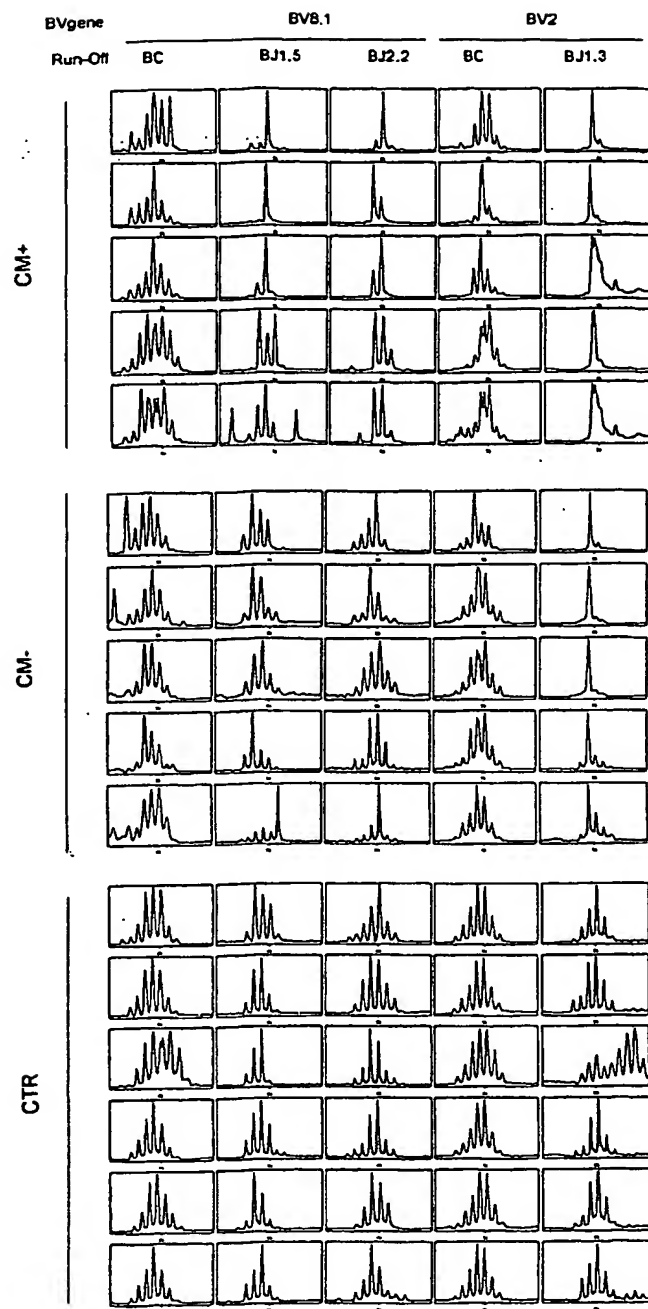
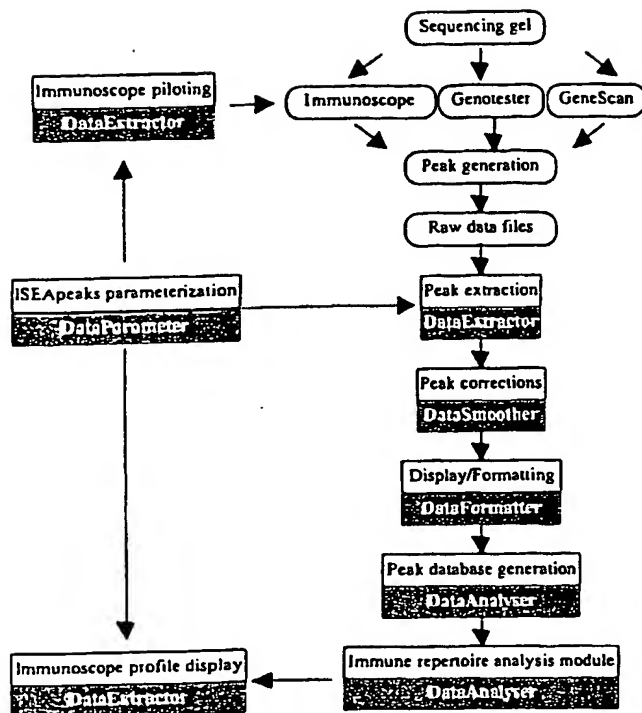
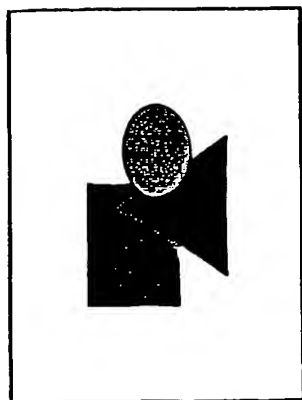


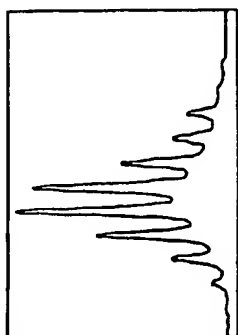
Figure 5



A B



BV4-BC

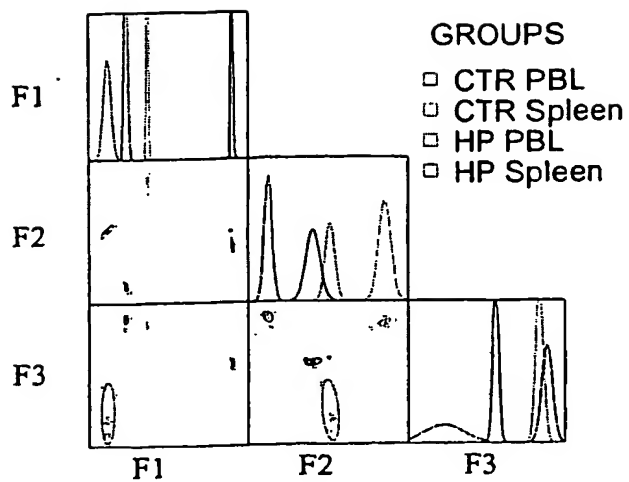


C

Immunoscope Raw data	mLength mArea misConsidered	178 2008 1	182 8133 1	184 14418 1	187 23540 1	190 24684 1	192 751 1	193 13316 1	196 7082 1	198 769 1	199 4727 1	201 864 1	202 522 1	202 1203 1
first filter	mLength mArea misConsidered	178 2008 1	182 8133 1	184 14418 1	187 23540 1	190 24684 1	192 751 1	193 13316 1	196 7082 1	198 769 1	199 4727 1	201 864 1	202 1725 1	
second filter	mLength mArea misConsidered	178 2008 1	182 8133 1	184 14418 1	187 23540 1	190 24684 1	192 751 1	193 13316 1	196 7082 1	198 769 1	199 4727 1	201 864 1	202 1725 1	
third filter	mLength mArea misConsidered	177 2008 1	181 8133 1	183 14418 1	186 23540 1	189 24684 1	192 751 1	195 13316 1	198 7082 1	201 864 1	202 1725 1			

Figure 7

Figure 8



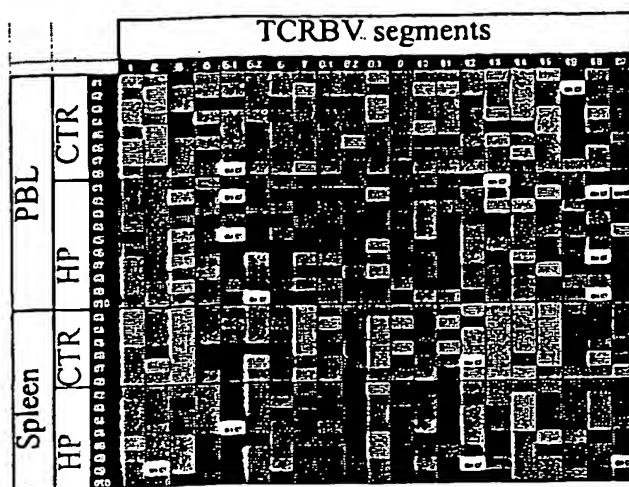


Figure 9

Figure 10

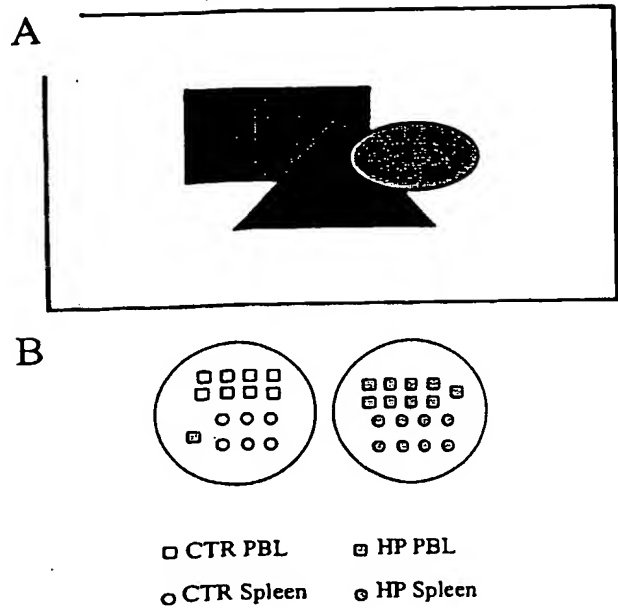
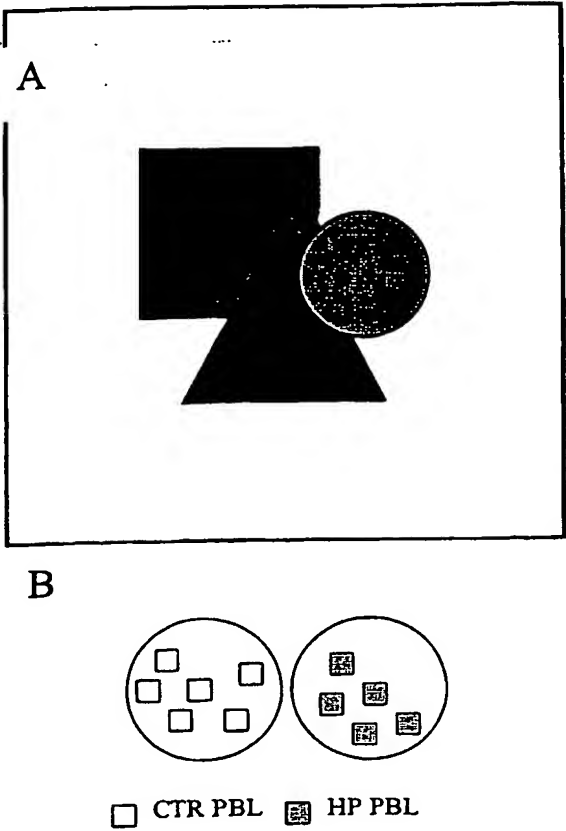


Figure 11



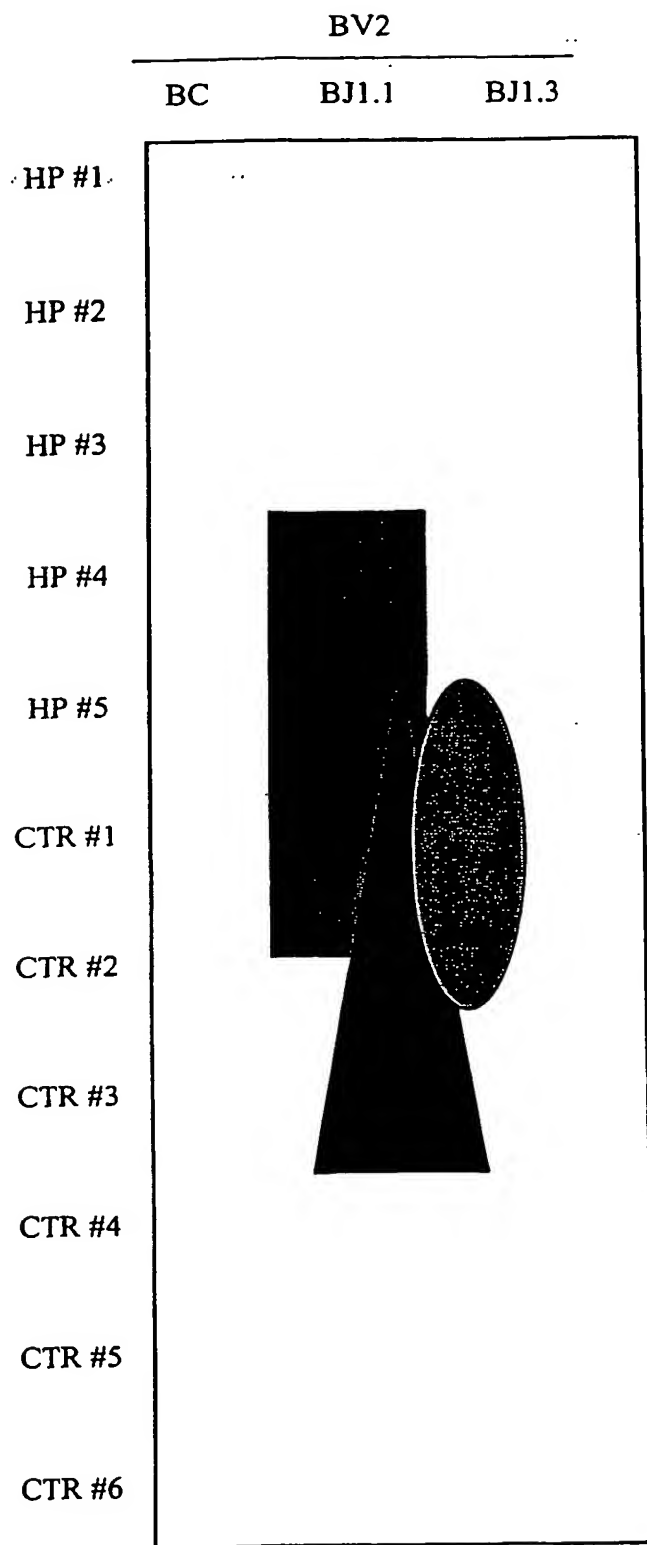


Figure 12

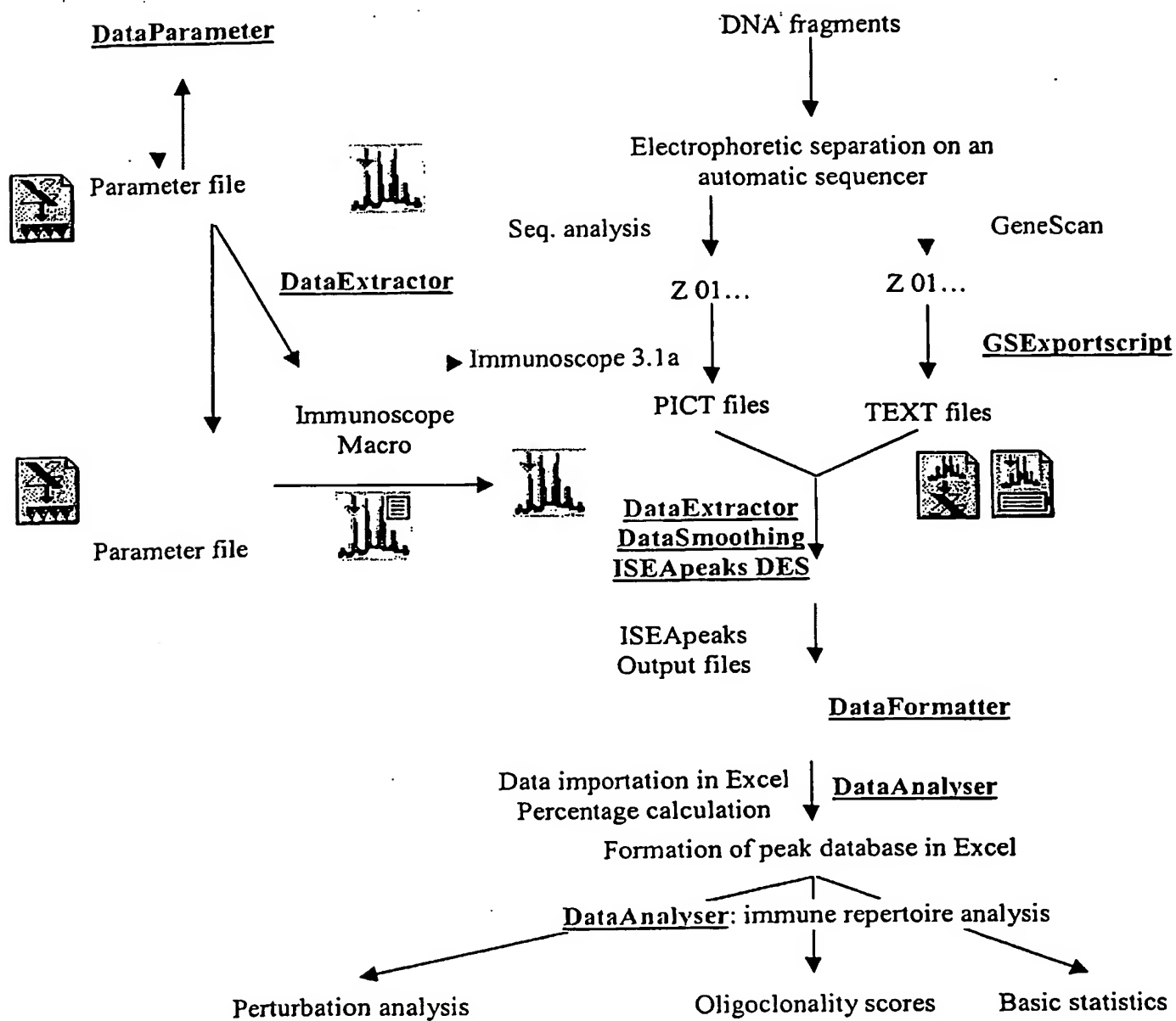


Figure 13



Run button

Figure 14:

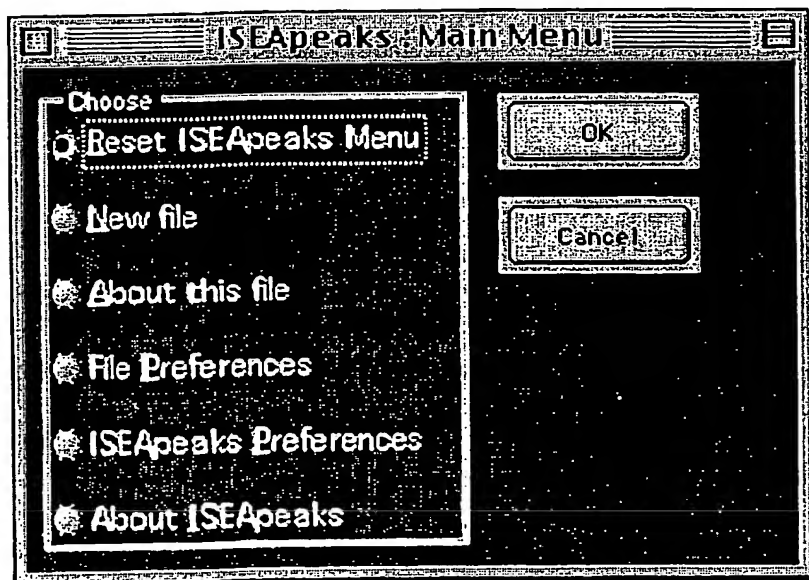


Figure 15:

CPICPLACES preferences

kMaxCoINb

kMaxLinNb

General preferences

Screen updating ☒ On ☐ Off

kMaxPeakNb

kGelWellNb

kProfileNbPerRep

ISEApeaks XL Preferences

Figure 16.

27	Well	1	2	3	4	5
28	mIsConsidered	1	1	1	1	1
29	mDescription	Yb08.1-Jb1.3	Yb08.1-Jb2.7	Yb08.1-Jb2.3	Yb08.1-Jb1.6	Yb08.1-Jb2.4
30	mTheoricLength	188	205	188	202	188
31	mNewOrder	27	36	33	30	34
32						
33	Well	13	14	15	16	17
34	mIsConsidered	1	1	1	1	1
35	mDescription	Yb2.3-Jb1.4	Yb2.3-Jb1.4	Yb2.3-Jb1.4	Yb2.3-Jb1.4	Yb2.3-Jb1.4
36	mTheoricLength	104	121	104	118	104
37	mNewOrder	15	24	21	18	22
38						
39	Well	25	26	27	28	29
40	mIsConsidered	1	1	1	1	1
41	mDescription	Yb14-Jb1.3	Yb14-Jb2.7	Yb14-Jb2.3	Yb14-Jb1.6	Yb14-Jb2.4
42	mTheoricLength	115	132	115	129	115
43	mNewOrder	51	60	57	54	58
44						
45						SECOND LOAD
46	Well	1	2	3	4	5
47	mIsConsidered	1	1	1	1	1
48	mDescription	Yb06-Jb1.3	Yb06-Jb2.7	Yb06-Jb2.3	Yb06-Jb1.6	Yb06-Jb2.4
49	mTheoricLength	103	120	103	117	103
50	mNewOrder	3	12	9	6	10
51						
52	Well	13	14	15	16	17
53	mIsConsidered	1	1	1	1	1
54	mDescription	Yb09-Jb1.3	Yb09-Jb2.7	Yb09-Jb2.3	Yb09-Jb1.6	Yb09-Jb2.4
55						
56						FIRST LOAD
57						
58						
59						
60						
61						
62						
63						
64						
65						
66						
67						
68						
69						
70						
71						
72						
73						
74						
75						
76						
77						
78						
79						
80						
81						
82						
83						
84						
85						
86						
87						
88						
89						
90						
91						
92						
93						
94						
95						
96						
97						
98						
99						
100						

Figure 17:

39		Gel002		Gel010		ISEA peaks menu bar	
40	mCGELFileName	m3SET v2.0	Yb6,9,8.1,8.2,14,8.3-Jb v2				
41	mSet	1	1		Choose File Type: DataFormatter		
42	mWellsNbPerSet	24	72		Choose Macro: ImportDat		
43	mDescription	TCRBY08.1	Yb08.1-Jb1.5		Yb08.1-Jb2.2		
44					NONE		
45		61	62	63	64		
NewCGEL NewCPictPlaces							
50	misConsidered	1	1		1		
51	mFolderName	Gel004	Gel009		Gel009		
52	mCGELFileName	m3SET v2.0	Yb6,9,8.1,8.2,14,8.3-Jb v2.0		Yb6,9,8.1,8.2,14,8.3-Jb v2.0		
53	mSet	2	1		1		
54	mWellsNbPerSet	24	72		72		
55	mDescription	TCRBY08.1	Yb08.1-Jb1.5		Yb08.1-Jb2.2		
56					NONE		
57		49	50	51	52		
58	misConsidered	1	1		0		
59	misConsidered	1	1		0		
60	mFolderName	Gel004	Gel008		Gel008		
61	mCGELFileName	m3SET v2.0	Yb6,9,8.1,8.2,14,8.3-Jb v2.0		Yb6,9,8.1,8.2,14,8.3-Jb v2.0		
62	mSet	1	1		1		
63	mWellsNbPerSet	24	72		72		
64	mDescription	TCRBY08.1	Yb08.1-Jb1.5		Yb08.1-Jb2.2		
65					NONE		
66		57	58	59	60		
67		13	14	15	16		
68	misConsidered	1	1		0		
69	mFolderName	Gel003	Gel007		Gel007		
70	mCGELFileName	m3SET v2.0	Yb6,9,8.1,8.2,14,8.3-Jb v2.0		Yb6,9,8.1,8.2,14,8.3-Jb v2.0		
71	mSet	3	1		1		
72	mWellsNbPerSet	24	72		72		
73	mDescription	TCRBY08.1	Yb08.1-Jb1.5		Yb08.1-Jb2.2		
74					NONE		
75		25	26	27	28		
76		1	2	3	4		
77	misConsidered	1	1		0		
78	mFolderName	Gel002	Gel006		Gel006		
79	mCGELFileName	m3SET v2.0	Yb6,9,8.1,8.2,14,8.3-Jb v2.0		Yb6,9,8.1,8.2,14,8.3-Jb v2.0		
80	mSet	3	1		1		
81	mWellsNbPerSet	24	72		72		
82	mDescription	TCRBY08.1	Yb08.1-Jb1.5		Yb08.1-Jb2.2		
83					NONE		
DP: 2.0.xls							
A B C D E F G H I J K L M N O P Q R S T U V W X Y Z							
1	mDestFolderName =	Output					
2	mMaxColNb =	12					
3	mMaxLinNb =	16					

Figure18:

Figure19:

6	DF 2.0 Gel011	Data.3	1	1.2	mice 1.2	30	
7	DF 2.0 Gel012	Data.3	1	1.3	mice 1.3	50	
8	DF 2.0 Gel013	Data.3	1	1.4	mice 1.4	100	
9	DF 2.0 Gel014	Data.3	1	1.5	mice 1.5		
para / Peaks / NewGorochov / NewRepArray / NewDechant / NewOligoclonalScore							
DA 2.0 lex							
Parameters of file to use							
Worksheet	Sheet	Group	Nature	Remark	Draw Array parameters		
1	DF 2.0 Gel006	Data.3	2	2.1	mice 2.1	when c	color
2	DF 2.0 Gel007	Data.3	2	2.2	mice 2.2	excluded	
3	DF 2.0 Gel008	Data.3	2	2.3	mice 2.3	5	
4	DF 2.0 Gel009	Data.3	2	2.4	mice 2.4	10	
5	DF 2.0 Gel010	Data.3	1	1.1	mice 1.1	20	
						25	

Figure 20:

31	Vb08.1-Jb1.5	5	175	190	length failed	0.00	length failed	0.00	length failed	0.00		
32	Vb08.1-Jb1.5	7	181	190	181	8.13	181	9.23	181	7.73		
33	Vb08.1-Jb1.5	8	184	190	184	31.61	184	32.96	184	49.39		
34	Vb08.1-Jb1.5	9	187	190	187	28.80	187	42.12	187	33.11		
35	Vb08.1-Jb1.5	10	190	190	190	24.01	190	15.69	190	9.77		
36	Vb08.1-Jb1.5	11	193	190	193	7.44	length failed	0.00	length failed	0.00		
para / Peaks / NewGorochov / NewRepArray / NewDechant / NewOligoclonalScore												
22	Vb08.1-Jb1.3	11	191	188	191	10.83	191	15.18	191	10.60		
23	Vb08.1-Jb1.3	12	194	188	length failed	0.00	length failed	0.00	length failed	0.00		
24	Vb08.1-Jb1.3	14	200	188	length failed	0.00	200	4.41	length failed	0.00		
25	Vb08.1-Jb1.4	7	188	197	188	5.08	188	7.97	188	8.42		
26	Vb08.1-Jb1.4	8	191	197	191	12.21	191	17.04	191	8.44		
27	Vb08.1-Jb1.4	9	194	197	194	29.67	194	31.29	194	34.29		
28	Vb08.1-Jb1.4	10	197	197	197	30.89	197	34.35	197	35.09		
29	Vb08.1-Jb1.4	11	200	197	200	14.28	200	9.35	200	13.75		
30	Vb08.1-Jb1.2	8	190	196	190	34.78	190	30.53	190	46.50		
31	Vb08.1-Jb1.2	9	193	196	193	29.65	193	34.37	192	33.93		
32	Vb08.1-Jb1.2	10	196	196	196	17.35	196	21.79	196	9.61		
33	Vb08.1-Jb1.2	11	199	196	length failed	0.00	199	4.99	length failed	0.00		
34	Vb08.1-Jb1.3	5	173	188	length failed	0.00	length failed	0.00	length failed	0.00		
35	Vb08.1-Jb1.3	7	179	188	179	8.40	179	5.64	length failed	0.00		
36	Vb08.1-Jb1.3	8	182	188	182	25.42	182	12.34	182	25.25		
37	Vb08.1-Jb1.3	9	185	188	185	31.42	185	33.87	185	40.10		
38	Vb08.1-Jb1.3	10	188	188	188	28.34	188	28.56	188	28.05		
39	Vb08.1-Jb1.1	7	191	200	191	16.31	191	13.25	191	15.04		
40	Vb08.1-Jb1.1	8	194	200	194	28.26	194	28.49	194	27.58		
41	Vb08.1-Jb1.1	9	197	200	197	30.26	197	34.75	197	32.28		
42	Vb08.1-Jb1.1	10	200	200	200	13.73	200	10.47	200	13.37		
43	Vb08.1-Jb1.1	11	203	200	203	4.90	203	6.27	203	3.24		
44	Vb08.1-Jb1.2	5	181	196	length failed	0.00	length failed	0.00	length failed	0.00		
45	Vb08.1-Jb1.2	6	184	196	184	5.36	length failed	0.00	184	4.20		
46	Vb08.1-Jb1.2	7	187	196	187	12.85	187	8.33	187	5.76		
DA 2.0 ex												
mDescription CDR3 (aa) Length (aa) CDR3 10 aa												
2				2.1	Length	%	2.2	Length	%	2.3	Length	%
3	Vb08.1-Jb1.1	5	185	200	length failed	0.00	length failed	0.00	length failed	0.00	length failed	0.00

Figure 21:

	Vb08.1-Jb1.5	21802	18174	70107	91572	15559	54481	18056	22855	98859
20	Vb08.1-Jb1.6	12185	6567	29306	31277	7754	32974	10283	14622	28401
21	Vb08.1-Jb2.1	54850	75547	177878	268231	30660	147812	79788	174998	274977
22	Vb08.1-Jb2.2	30917	28358	78625	157702	15884	34825	39808	85689	180862
23	Vb08.1-Jb2.3	48970	21081	124696	210396	19807	59996	18150	71517	287295
24	Vb08.1-Jb2.4	55571	38987	125304	230803	30422	141434	29346	72069	194977
25	Vb08.1-Jb2.5	40354	44418	144331	230621	28853	137020	42234	68872	124007
26	Vb08.1-Jb2.7	55382	55310	127157	252387	39974	89281	38982	82712	354859
28										
Para / Peaks NewPercentImport NewGorochoy NewRepArray N										
10	Vb08.1-Jb2.3	10,98	4,81	9,63	9,27	6,71	5,41	5,14	8,05	13,52
11	Vb08.1-Jb2.4	12,46	8,90	9,68	10,17	10,31	12,75	8,32	8,11	9,17
12	Vb08.1-Jb2.5	9,05	10,14	11,15	8,97	9,78	12,35	11,97	7,75	5,84
13	Vb08.1-Jb2.7	12,42	12,62	9,82	11,12	13,55	8,05	11,05	9,31	16,70
14										
15		2,1	2,2	2,5	2,4	1,1	1,2	1,3	1,4	1,5
16	Vb08.1-Jb1.1	39144	39387	145864	249425	36087	119154	16663	156203	285994
17	Vb08.1-Jb1.2	33165	37208	102266	225983	48280	134508	28366	66293	112294
18	Vb08.1-Jb1.3	18002	26363	60653	108024	5593	68404	excluded	45164	30231
19	Vb08.1-Jb1.4	35641	46797	108585	240973	16392	89268	31214	27163	152436
20										
A	B	C	D	E	F	G	H	I	J	K
2	Vb08.1-Jb1.1	8,78	8,99	11,27	10,99	12,23	10,74	4,72	17,59	13,46
3	Vb08.1-Jb1.2	7,44	8,49	7,90	9,95	16,36	12,13	8,04	7,46	5,28
4	Vb08.1-Jb1.3	4,04	6,02	4,68	4,76	1,90	6,17	excluded	5,09	1,42
5	Vb08.1-Jb1.4	7,99	10,68	8,39	10,61	5,56	8,05	8,85	3,06	7,17
6	Vb08.1-Jb1.5	4,89	4,15	5,41	4,03	5,21	4,91	5,12	2,57	4,65
7	Vb08.1-Jb1.6	2,73	1,50	2,26	1,38	2,63	2,97	2,91	1,65	1,34
8	Vb08.1-Jb2.1	12,30	17,24	13,74	11,81	10,39	13,33	22,61	19,70	12,94
9	Vb08.1-Jb2.2	6,93	6,47	6,07	6,95	5,38	3,14	11,28	9,65	8,51

DA 2.0 ex:

Figure 22:

		184	3,39	1,97	-3,39	0,81	0,62
24	Vb08.1-Jb1.2	184	3,39	1,97	-3,39	0,81	0,62
25	Vb08.1-Jb1.2	187	9,51	3,34	-1,19	-3,75	1,60
26	Vb08.1-Jb1.2	190	34,15	0,63	-3,62	12,35	-9,36
27	Vb08.1-Jb1.2	193	35,33	-5,67	-0,96	-1,40	8,03
28	Vb08.1-Jb1.2	196	16,37	0,99	5,42	-6,76	0,35
29	Vb08.1-Jb1.2	199	1,25	-1,25	3,74	-1,25	-1,25
30	Vb08.1-Jb1.3	173	0,00	0,00	0,00	0,00	0,00
31	Vb08.1-Jb1.3	179	4,60	3,80	1,04	-4,60	-0,25
32	Vb08.1-Jb1.3	182	19,36	6,06	-7,02	5,89	-4,93
<div> <div>para</div> <div>Peaks</div> <div>NewPercentImport</div> <div>NewGorochov</div> <div>NewRepArray</div> <div>Ne</div> <div>Unit</div> </div>							
14		7,69	7,56	9,44	9,12	40,49	34
15	mDescription	Length	Pc (Control)	2.1	2.2	2.3	2.4
16	Vb08.1-Jb1.1	185	0,00	0,00	0,00	0,00	0,00
17	Vb08.1-Jb1.1	188	6,53	0,01	0,24	1,96	-2,21
18	Vb08.1-Jb1.1	191	14,91	1,40	-1,66	0,13	0,13
19	Vb08.1-Jb1.1	194	26,97	1,30	1,53	0,61	-3,44
20	Vb08.1-Jb1.1	197	32,46	-2,20	2,29	-0,18	0,10
21	Vb08.1-Jb1.1	200	14,50	-0,77	-4,04	-1,13	5,94
22	Vb08.1-Jb1.1	203	4,63	0,27	1,64	-1,39	-0,52
23	Vb08.1-Jb1.2	181	0,00	0,00	0,00	0,00	0,00
3	Vb08.1-Jb1.3	10,66	8,99	11,06	12,50	38,21	49,68
4	Vb08.1-Jb2.2	11,69	7,19	12,92	10,55	40,74	55,34
5	Vb08.1-Jb1.6	6,54	9,24	12,42	11,68	41,39	42,13
6	Vb08.1-Jb1.1	2,97	5,69	2,70	6,17	43,18	40,58
7	Vb08.1-Jb2.4	6,66	11,63	12,88	7,54	53,23	36,98
8	Vb08.1-Jb2.7	3,29	4,40	4,48	6,20	19,62	34,11
9	Vb08.1-Jb2.1	6,94	7,17	5,74	7,94	36,47	31,97
10	Vb08.1-Jb1.2	6,92	9,16	13,16	10,61	54,92	13,03
11	Vb08.1-Jb2.3	7,21	6,37	10,14	6,48	32,73	25,06
12	Vb08.1-Jb1.4	6,63	7,13	6,98	7,46	35,95	14,53
13	Vb08.1-Jb2.5	9,46	9,34	5,78	9,18	27,10	25,04
DA 2.0 ex							
	A	B	C	D	E	F	G
1	2.1	2.2	2.3	2.4	1.1	1.2	
2	Vb08.1-Jb1.5	13,25	4,44	15,07	13,32	62,32	42,58

Figure 23.

25	Yb08.1-Jb1.2	5	181	0,00	0,00	0,00	0,00
26	Yb08.1-Jb1.2	6	184	0,28	0,01	0,08	0,00
27	Yb08.1-Jb1.2	7	187	0,81	0,02	0,01	0,12
28	Yb08.1-Jb1.2	8	190	2,83	0,06	0,06	0,71
29	Yb08.1-Jb1.2	9	193	3,03	0,68	0,01	0,12
30	Yb08.1-Jb1.2	10	196	1,39	0,01	0,21	0,40
31	Yb08.1-Jb1.2	11	199	0,11	0,01	0,10	0,01
32	Yb08.1-Jb1.3	5	173	0,00	0,00	0,00	0,00
Peaks / New Percent Import / New Gorochov / New Dechanet / New RepA							
15							
16	mDescription	CDR3 (aa)	PCR length (Pc (Control))	2,1	2,2	2,3	
18	Yb08.1-Jb1.1	5	185	0,00	0,00	0,00	0,00
19	Yb08.1-Jb1.1	6	188	0,65	0,01	0,00	0,09
20	Yb08.1-Jb1.1	7	191	1,49	0,00	0,09	0,04
21	Yb08.1-Jb1.1	8	194	2,68	0,04	0,01	0,18
22	Yb08.1-Jb1.1	9	197	3,25	0,35	0,02	0,15
23	Yb08.1-Jb1.1	10	200	1,47	0,07	0,28	0,00
24	Yb08.1-Jb1.1	11	203	0,45	0,00	0,01	0,01
25	Yb08.1-Jb1.3	0,62	0,72	0,45	0,55	1,67	3,78
26	Yb08.1-Jb1.4	1,06	0,98	0,65	0,88	2,31	1,13
27	Yb08.1-Jb1.5	0,60	0,30	1,07	0,74	3,96	2,58
28	Yb08.1-Jb1.6	0,35	0,25	0,31	0,36	1,10	1,22
29	Yb08.1-Jb2.1	1,25	2,08	0,67	1,24	4,13	4,81
30	Yb08.1-Jb2.2	0,72	0,38	0,59	0,63	2,07	2,19
31	Yb08.1-Jb2.3	1,46	1,93	0,95	0,74	2,62	2,39
32	Yb08.1-Jb2.4	1,20	1,34	0,97	0,59	6,17	4,18
33	Yb08.1-Jb2.5	1,00	1,09	0,86	0,87	2,82	3,41
34	Yb08.1-Jb2.7	0,58	0,55	0,72	0,65	2,78	2,80
DA 2.0.ex							
A	B	C	D	E	F	G	
Dechanet scores	2,1	2,2	2,3	2,4	1,1	1,2	
Sample	3,20	3,74	2,76	2,92	14,41	11,07	
Yb08.1-Jb1.1	0,69	0,65	0,69	0,88	4,94	4,81	
Yb08.1-Jb1.2	0,89	0,69	1,17	1,41	6,72	2,25	

Figure 24:

25	Vb08.1-Jb1.4	8	191	13.46	0.91	1.27	0.63	1.20	0.00	0.69	1.24
26	Vb08.1-Jb1.4	9	194	32.25	0.92	0.97	1.06	1.05	2.04	1.40	1.10
27	Vb08.1-Jb1.4	10	197	31.80	0.97	1.08	1.10	0.84	1.07	1.05	1.24
28	Vb08.1-Jb1.4	11	200	13.55	1.05	0.69	1.01	1.24	0.00	0.89	0.62
29	Vb08.1-Jb1.4	12	203	1.97	4.00	0.00	0.00	0.00	0.00	0.00	0.00
30	Vb08.1-Jb1.5	5	175	0.00	∞	∞	∞	∞	∞	∞	∞
31	Vb08.1-Jb1.5	7	181	9.80	0.83	0.94	0.79	1.44	0.00	1.10	0.00
32	Vb08.1-Jb1.5	8	184	34.32	0.92	0.96	1.44	0.68	0.00	0.29	0.61
NewDechant New RIS NewOligoclonalScore NewRepArray											
15	Vb08.1-Jb1.2	11	199	1.25	0.00	4.00	0.00	0.00	0.00	0.00	0.00
16	Vb08.1-Jb1.3	5	173	0.00	∞	∞	∞	∞	∞	∞	excluded
17	Vb08.1-Jb1.3	7	179	4.60	1.83	1.23	0.00	0.95	0.00	0.00	excluded
18	Vb08.1-Jb1.3	8	182	19.36	1.31	0.64	1.30	0.75	0.00	0.75	excluded
19	Vb08.1-Jb1.3	9	185	35.83	0.88	0.95	1.12	1.06	0.71	2.39	excluded
20	Vb08.1-Jb1.3	10	188	23.14	1.03	1.23	1.04	0.69	2.19	0.00	excluded
21	Vb08.1-Jb1.3	11	191	14.24	0.76	1.07	0.74	1.43	0.93	0.00	excluded
22	Vb08.1-Jb1.3	12	194	0.00	∞	∞	∞	∞	∞	∞	excluded
23	Vb08.1-Jb1.3	14	200	2.83	0.00	1.56	0.00	2.44	0.00	0.00	excluded
24	Vb08.1-Jb1.4	7	188	6.98	0.73	1.14	1.21	0.92	0.00	0.00	0.00
25	Vb08.1-Jb1.1	8	194	26.97	1.05	1.06	1.02	0.87	1.65	1.05	0.76
26	Vb08.1-Jb1.1	9	197	32.46	0.93	1.07	0.99	1.00	0.46	0.80	1.62
27	Vb08.1-Jb1.1	10	200	14.50	0.95	0.72	0.92	1.41	0.00	0.00	0.63
28	Vb08.1-Jb1.1	11	203	4.63	1.06	1.35	0.70	0.89	0.00	0.00	0.00
29	Vb08.1-Jb1.2	5	181	0.00	∞	∞	∞	∞	∞	∞	∞
30	Vb08.1-Jb1.2	6	184	3.39	1.58	0.00	1.24	1.18	15.71	0.00	0.00
31	Vb08.1-Jb1.2	7	187	9.51	1.35	0.88	0.61	1.17	1.52	0.73	0.70
32	Vb08.1-Jb1.2	8	190	34.15	1.02	0.89	1.36	0.73	0.39	1.03	0.63
33	Vb08.1-Jb1.2	9	193	35.33	0.84	0.97	0.96	1.23	0.53	0.84	0.92
34	Vb08.1-Jb1.2	10	196	16.37	1.06	1.33	0.59	1.02	0.00	1.47	2.40
DA 2.0 ex											
A B C D E F G H I J K											
mDescription	COR3 (aa)	Length (nt)	Pc (Control)	2.1	2.2	2.3	2.4	1.1	1.2	1.3	
2	Vb08.1-Jb1.1	5	185	0.00	∞	∞	∞	∞	∞	∞	∞
3	Vb08.1-Jb1.1	6	188	6.53	1.00	1.04	1.30	0.66	0.00	7.01	0.00
4	Vb08.1-Jb1.1	7	191	14.91	1.09	0.89	1.01	1.01	2.71	0.00	1.20

Figure 25:

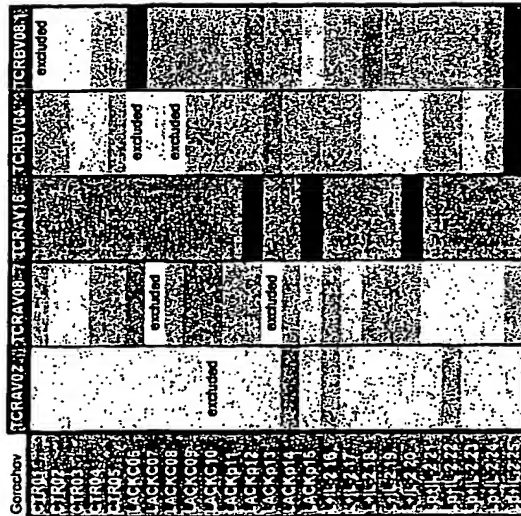
24	Vb08.1-Jb1.6	11	205	0.04	0.05	0.09	0.04	0.11	1.86	3.56	0.20	0.26	0.52	0.05	5	4
25	Vb08.1-Jb1.6	10	202	0.07	0.05	0.21	0.04	0.09	2.24	0.63	0.19	0.63	0.43	0.07	5	4
26	Vb08.1-Jb1.1	9	197	0.08	0.09	0.08	0.08	0.74	1.29	0.96	0.06	0.04	0.29	0.08	5	4
27	Vb08.1-Jb1.1	8	194	0.07	0.07	0.07	0.06	2.22	1.41	0.37	0.05	0.03	0.28	0.07	5	4
28	Vb08.1-Jb2.5	9	185	0.09	0.20	0.09	0.31	0.55	0.15	0.84	0.26	0.08	0.27	0.15	5	4
29	Vb08.1-Jb1.2	9	193	0.20	0.23	0.23	0.29	0.34	0.20	0.59	0.29	0.13	0.27	0.24	5	4
K11111/NoDecham/NoVRIS/NoOligoclonalScore/NoRepArray																
16	mDescription	COR3 (aa)	Length	2.10	2.20	2.50	2.40	1.10	1.20	1.50	0.40	1.50	Score 1	Score 2	Nb 1	Nb 2
17	Vb08.1-Jb2.2	10	205	0.03	0.07	0.57	0.02	4.75	11.41	8.88	2.00	0.79	3.77	0.07	5	4
18	Vb08.1-Jb1.5	9	187	0.19	0.77	0.61	0.86	36.79	3.95	10.70	1.34	0.08	2.76	0.53	5	4
19	Vb08.1-Jb2.2	9	202	0.02	0.07	0.67	0.03	8.78	2.12	4.65	2.05	0.65	2.59	0.07	5	4
20	Vb08.1-Jb1.3	9	185	0.21	0.08	0.73	0.09	0.47	11.57	excluded	0.74	1.19	1.48	0.19	4	4
21	Vb08.1-Jb1.4	9	194	0.07	0.21	0.23	0.23	8.92	0.82	0.65	0.67	0.79	1.20	0.17	5	4
22	Vb08.1-Jb1.4	10	197	0.08	0.23	0.24	0.18	4.62	0.61	0.72	0.46	0.56	0.88	0.17	5	4
23	Vb08.1-Jb1.6	9	199	0.06	0.09	0.23	0.06	0.92	0.89	0.79	0.10	0.70	0.54	0.09	5	4
29	Vb08.1-Jb2.2	7	6	4	7	2	2	2	3	4						
31	Vb08.1-Jb2.3	5	6	6	5	4	6	5	5	5						
33	Vb08.1-Jb2.4	6	7	5	5	3	7	6	5	6						
34	Vb08.1-Jb2.5	6	5	6	5	4	5	4	5	6						
35	Vb08.1-Jb2.7	6	7	6	6	5	6	6	5	6						
DA 2.0 ex																
15	SCORE															
16	Peak numbers	2.1	2.2	2.5	2.4	0.1	1.2	1.5	1.4	1.5						
2	Vb08.1-Jb1.1	6	6	6	6	3	3	4	6	7						
3	Vb08.1-Jb1.2	5	5	5	5	4	5	4	5	5						
4	Vb08.1-Jb1.3	5	6	4	6	4	2	excluded	4	3						
5	Vb08.1-Jb1.4	6	5	5	5	2	4	4	4	4						
6	Vb08.1-Jb1.5	5	4	4	4	1	3	2	3	6						
7	Vb08.1-Jb1.6	6	6	5	6	4	3	3	5	4						
8	Vb08.1-Jb2.1	4	6	6	6	5	4	4	5	4						
DA 2.0 ex																

Figure 26:

19	1.4															
10	1.5															
12																
13																
K11111/NoDecham/NoVRIS/NoOligoclonalScore/NoRepArray																
17	Vb08.1-Jb1.1	Vb08.1-Jb1.2	Vb08.1-Jb1.5	Vb08.1-Jb1.4	Vb08.1-Jb1.5	Vb08.1-Jb1.6	Vb08.1-Jb2.1	Vb08.1-Jb2.2	Vb08.1-Jb2.3	Vb08.1-Jb2.4	Vb08.1-Jb2.5	Vb08.1-Jb2.6	Vb08.1-Jb2.7	Vb08.1-Jb2.8	Vb08.1-Jb2.9	Vb08.1-Jb2.10
21	2.1															
22	2.2															
23	2.3															
24	2.4															
25	2.5															
26	1.1															
27	1.2															
DA 2.0 ex																

Figure 27:

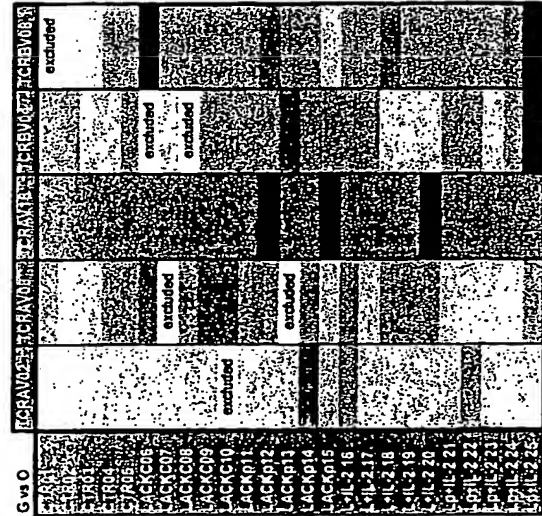
Représentation de la perturbation globale



GvaO Array	TCRV02	TCRV03	TCRV04	TCRV05	TCRV06	TCRV07	TCRV08	TCRV09	TCRV10	TCRV11	TCRV12	TCRV13	TCRV14	TCRV15	TCRV16	TCRV17	TCRV18	TCRV19	TCRV20	TCRV21	TCRV22	TCRV23	TCRV24	TCRV25
CTR01	1.94	5.17	16.38	7.82	excluded																			
CTR02	0.63	3.77	19.38	5.23	2.82																			
CTR03	2.02	2.32	11.74	4.74	3.22																			
CTR04	2.81	7.01	11.51	2.80	5.55																			
CTR05	0.82	7.29	11.99	5.03	7.24																			
LACKC07	2.44	14.70	17.39	excluded	43.90																			
LACKC08	2.12	7.71	18.51	4.25	8.94																			
LACKC09	0.78	11.32	18.32	8.00	5.66																			
LACKC10	excluded	11.38	15.27	5.60	9.13																			
LACKC11	2.15	8.89	16.37	8.01	5.81																			
LACKC12	2.34	9.68	20.34	6.97	10.19																			
LACKC13	4.27	excluded	16.72	12.33	9.34																			
LACKC14	10.36	7.12	18.63	8.22	6.59																			
LACKC15	2.78	3.09	20.18	8.52	3.89																			
LACKC16	5.17	6.09	18.78	5.63	8.77																			
LACKC17	4.51	2.94	16.81	8.25	8.94																			
LACKC18	2.28	5.81	19.72	4.14	10.65																			
LACKC19	2.52	9.82	18.48	4.89	8.58																			
LACKC20	4.53	7.89	20.02	4.76	6.80																			
LACKC21	2.55	4.89	18.57	5.47	8.78																			
LACKC22	5.50	4.15	14.00	6.33	7.12																			
LACKC23	2.33	3.18	18.08	4.43	9.80																			
LACKC24	3.27	4.84	20.00	7.23	10.53																			
LACKC25	4.83	5.70	19.00	36.51	35.78																			

DrawArray parameters	When color is
excluded	5
	10
	20
	25
	30
	50
	100

Représentation de la perturbation globale versus l'oligoclonalité



GvaO Array	TCRV02	TCRV03	TCRV04	TCRV05	TCRV06	TCRV07	TCRV08	TCRV09	TCRV10	TCRV11	TCRV12	TCRV13	TCRV14	TCRV15	TCRV16	TCRV17	TCRV18	TCRV19	TCRV20	TCRV21	TCRV22	TCRV23	TCRV24	TCRV25
CTR01	1.94	5.17	16.38	7.82	excluded																			
CTR02	0.63	3.77	19.38	5.23	2.82																			
CTR03	2.02	2.32	11.74	4.74	3.22																			
CTR04	2.81	7.01	11.51	2.80	5.55																			
CTR05	0.82	7.29	11.99	5.03	7.24																			
LACKC07	2.44	14.70	17.39	excluded	43.90																			
LACKC08	2.12	7.71	18.51	4.25	8.94																			
LACKC09	0.78	11.32	18.32	8.00	5.66																			
LACKC10	excluded	11.38	15.27	5.60	9.13																			
LACKC11	2.15	8.89	16.37	8.01	5.81																			
LACKC12	2.34	9.68	20.34	6.97	10.19																			
LACKC13	4.27	excluded	16.72	12.33	9.34																			
LACKC14	10.36	7.12	18.63	8.22	6.59																			
LACKC15	2.78	3.09	20.18	8.52	3.89																			
LACKC16	5.17	6.09	18.78	5.63	8.77																			
LACKC17	4.51	2.94	16.81	8.25	8.94																			
LACKC18	2.28	5.81	19.72	4.14	10.65																			
LACKC19	2.52	9.82	18.48	4.89	8.58																			
LACKC20	4.53	7.89	20.02	4.76	6.80																			
LACKC21	2.55	4.89	18.57	5.47	8.78																			
LACKC22	5.50	4.15	14.00	6.33	7.12																			
LACKC23	2.33	3.18	18.08	4.43	9.80																			
LACKC24	3.27	4.84	20.00	7.23	10.53																			
LACKC25	4.83	5.70	19.00	36.51	35.78																			

Figure 28

Parameters of file to use

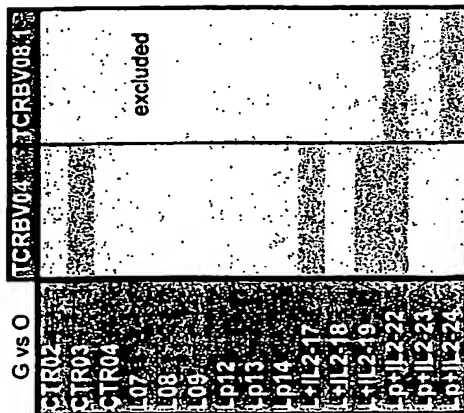
	Workbook	Sheet	Group	Nature	Remarks
1	DF CC/281 AC by EF Delta1	Data.1	1	CTR01	
2	DF CC/281 AC by EF Delta1	Data.2	1	CTR02	
3	DF CC/281 AC by EF Delta1	Data.3	1	CTR03	
4	DF CC/281 AC by EF Delta1	Data.4	1	CTR04	
5	DF CC/281 AC by EF Delta1	Data.5	1	CTR05	
6	DF CC/281 AC by EF Delta1	Data.6	2	LACKC06	
7	DF CC/281 AC by EF Delta1	Data.7	2	LACKC07	
8	DF CC/281 AC by EF Delta1	Data.8	2	LACKC08	
9	DF CC/281 AC by EF Delta1	Data.9	2	LACKC09	
10	DF CC/281 AC by EF Delta1	Data.10	2	LACKC10	
11	DF CC/281 AC by EF Delta1	Data.11	3	LACKp11	
12	DF CC/281 AC by EF Delta1	Data.12	3	LACKp12	
13	DF CC/282 AC by EF Delta1	Data.1	3	LACKp13	
14	DF CC/282 AC by EF Delta1	Data.2	3	LACKp14	
15	DF CC/282 AC by EF Delta1	Data.3	3	LACKp15	
16	DF CC/282 AC by EF Delta1	Data.4	4	L+IL-2 16	
17	DF CC/282 AC by EF Delta1	Data.5	4	L+IL-2 17	
18	DF CC/282 AC by EF Delta1	Data.6	4	L+IL-2 18	
19	DF CC/282 AC by EF Delta1	Data.7	4	L+IL-2 19	
20	DF CC/282 AC by EF Delta1	Data.8	4	L+IL-2 20	
21	DF CC/282 AC by EF Delta1	Data.9	5	Lp+IL-2 21	
22	DF CC/282 AC by EF Delta1	Data.10	5	Lp+IL-2 22	
23	DF CC/282 AC by EF Delta1	Data.11	5	Lp+IL-2 23	
24	DF CC/282 AC by EF Delta1	Data.12	5	Lp+IL-2 24	
25	DF CC/283 AC by EF Delta1	Data.1	5	Lp+IL-2 25	

DrawArray parameters

when <	color
excluded	
5	
10	
20	
25	
30	
50	
100	

Figure 29

Représentation de la perturbation globale versus l'oligoclonalité



G vs O	TCRBV04	TCRBV08
CTR02	2,65	3,64
CTR03	6,28	1,58
CTR04	5,00	4,08
L07	0,43	excluded
L08	1,28	1,15
L09	1,13	0,79
Lp12	0,87	3,53
Lp13	0,81	2,90
Lp14	2,98	2,79
L+IL2-17	8,38	3,32
L+IL2-18	3,14	3,21
L+IL2-19	5,35	3,13
Lp+IL2-22	9,22	6,56
Lp+IL2-23	2,44	3,64
Lp+IL2-24	2,37	5,07

Figure 30

Représentation de la perturbation globale



G	TCRBV04	TCRBV08
CTR02	2,65	3,64
CTR03	6,28	1,58
CTR04	5,00	4,08
L07	5,10	excluded
L08	15,13	7,88
L09	13,36	5,43
Lp12	3,45	6,47
Lp13	3,20	5,31
Lp14	11,82	5,12
L+IL2-17	8,57	4,82
L+IL2-18	3,22	4,67
L+IL2-19	5,47	4,55
Lp+IL2-22	24,33	10,36
Lp+IL2-23	6,44	5,75
Lp+IL2-24	6,26	8,01

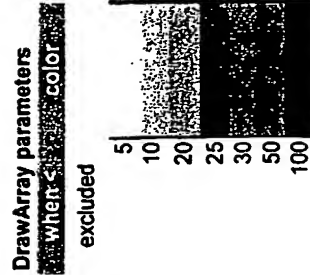
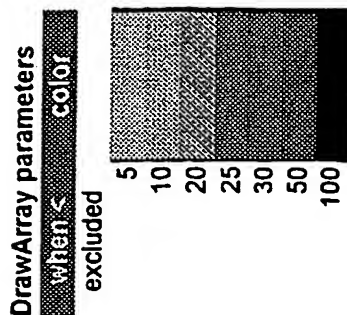


Figure 31

Parameters of file to use

	Workbook	Sheet	Group	Nature	Remark
1	EF/06 DF	Data.1	1	CTR02	CTR02
2	EF/06 DF	Data.2	1	CTR03	CTR03
3	EF/06 DF	Data.3	1	CTR04	CTR04
4	EF/06 DF	Data.4	2	L07	Lack 07
5	EF/06 DF	Data.5	2	L08	Lack 08
6	EF/06 DF	Data.6	2	L09	Lack 09
7	EF/06 DF	Data.7	3	Lp12	Lackp12
8	EF/06 DF	Data.8	3	Lp13	Lackp13
9	EF/06 DF	Data.9	3	Lp14	Lackp14
10	EF/06 DF	Data.10	4	L+IL2-17	Lack+IL2-17
11	EF/06 DF	Data.11	4	L+IL2-18	Lack+IL2-18
12	EF/06 DF	Data.12	4	L+IL2-19	Lack+IL2-19
13	EF/06 DF	Data.13	5	Lp+IL2-22	Lackp+IL2-22
14	EF/06 DF	Data.14	5	Lp+IL2-23	Lackp+IL2-23
15	EF/06 DF	Data.15	5	Lp+IL2-24	Lackp+IL2-24



Représentation de la perturbation globale versus l'ellipticité

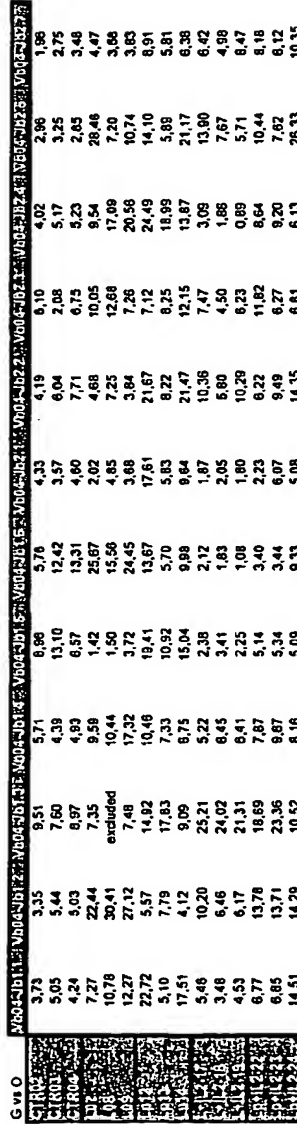
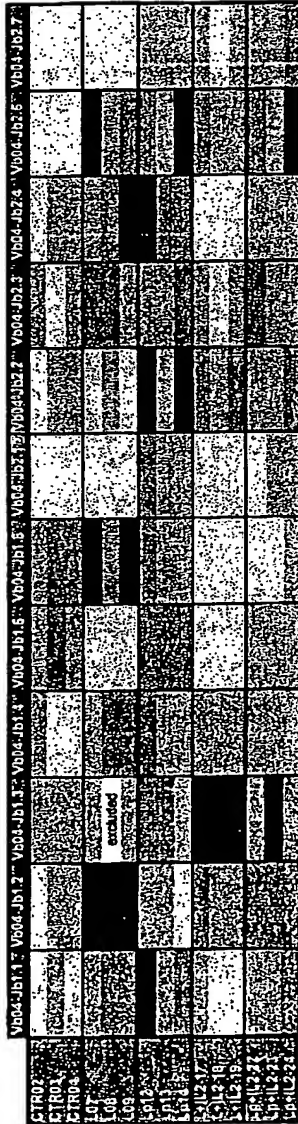
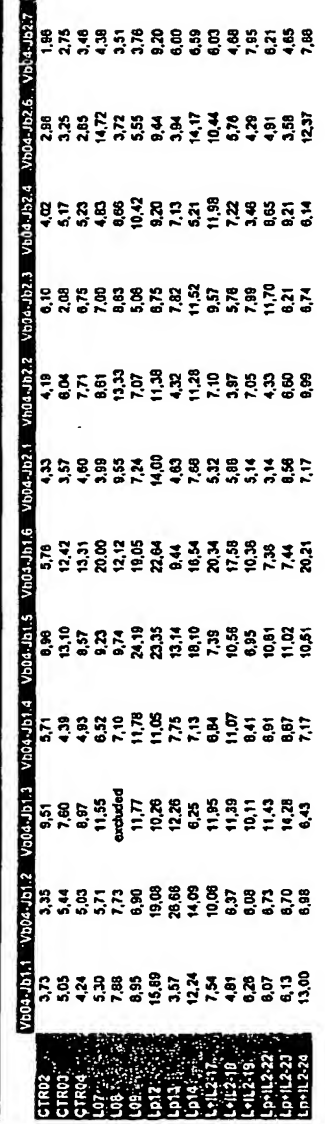
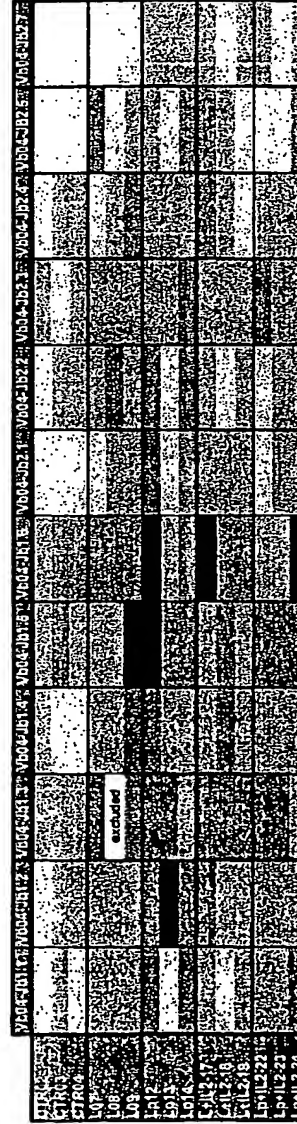


Figure 32

Représentation de la perturbation globale



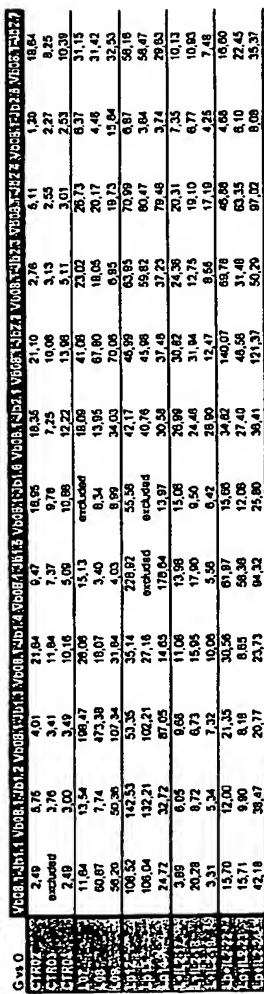
Parameters of file to use					DrawArray parameters		
	Workbook	Sheet	Group	Nature	Remark	when <	color
1	EF/04 DF	Data.1	1	CTR02	CTR02	excluded	
2	EF/05-07-009b DF	Data.3	1	CTR03	CTR03		
3	EF/01-009b DF	Data.1	1	CTR04	CTR04		
4	EF/02-07 DF	Data.1	2	L07	Lack 07		
5	EF/04 DF	Data.5	2	L08	Lack 08		
6	EF/05-07-009b DF	Data.5	2	L09	Lack 09		
7	EF/04 DF	Data.3	3	Lp12	Lackp12		
8	EF/05-07-009b DF	Data.1	3	Lp13	Lackp13		
9	EF/01-009b DF	Data.5	3	Lp14	Lackp14		
10	EF/03 DF	Data.1	4	L+IL2-17	Lack+IL2-17		
11	EF/03 DF	Data.5	4	L+IL2-18	Lack+IL2-18		
12	EF/02-07 DF	Data.3	4	L+IL2-19	Lack+IL2-19		
13	EF/01-009b DF	Data.3	5	Lp+IL2-22	Lackp+IL2-22		
14	EF/02-07 DF	Data.5	5	Lp+IL2-23	Lackp+IL2-23		
15	EF/03 DF	Data.3	5	Lp+IL2-24	Lackp+IL2-24		



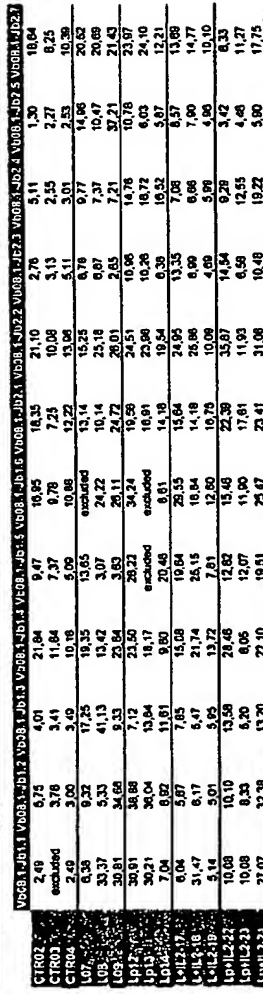
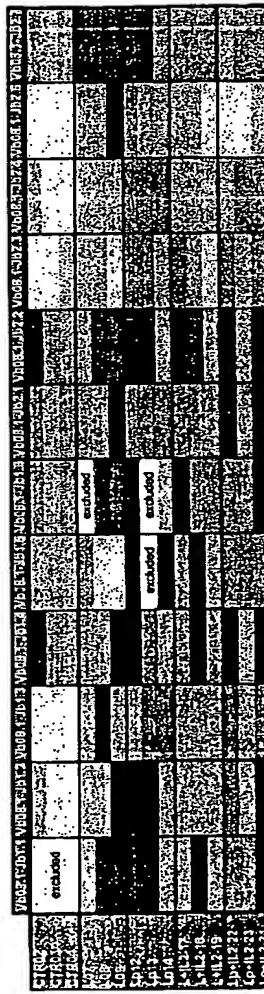
Figure 33

Figure 34

Représentation de la perturbation globale versus l'oligoclonalité



Représentation de la perturbation globale



10/519950

Parameters of file to use

Worksheet	Sheet	Group	Nature	Remark
1 EF/04 DF	Data.2	1	CTR02	CTR02
2 EF/05-07-009b DF	Data.4	1	CTR03	CTR03
3 EF/01-009b DF	Data.2	1	CTR04	CTR04
4 EF/02-07 DF	Data.2	2	L07	Lack 07
5 EF/04 DF	Data.6	2	L08	Lack 08
6 EF/05-07-009b DF	Data.6	2	L09	Lack 09
7 EF/04 DF	Data.4	3	Lp12	Lackp12
8 EF/05-07-009b DF	Data.2	3	Lp13	Lackp13
9 EF/01-009b DF	Data.6	3	Lp14	Lackp14
10 EF/03 DF	Data.2	4	L+IL2-17	Lack+IL2-17
11 EF/03 DF	Data.6	4	L+IL2-18	Lack+IL2-18
12 EF/02-07 DF	Data.4	4	L+IL2-19	Lack+IL2-19
13 EF/01-009b DF	Data.4	5	Lp+IL2-22	Lackp+IL2-22
14 EF/02-07 DF	Data.6	5	Lp+IL2-23	Lackp+IL2-23
15 EF/03 DF	Data.4	5	Lp+IL2-24	Lackp+IL2-24

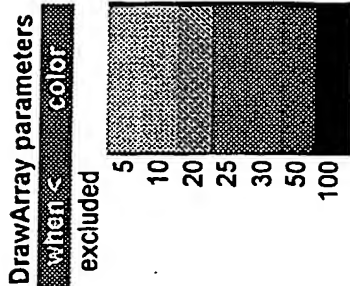


Figure 35

Parameters of file to use				DA PWK/R-CD4+			
	Workbook	Sheet	Group	Nature	Remark		
1	DF BB/013	Data.3	1	RJ0a	1		
2	DF BB/013	Data.1	1	RJ0b	2		
3	DF BB/013	Data.2	1	RJ0c	3		
4	DF BB/014	Data.1	1	RJ0d	4		
5	DF BB/017	Data.1	1	RJ0e	5		
6	DF BB/017	Data.2	1	RJ0f	6		
7	DF BB/005	Data.1	2	R7sa	7		
8	DF BB/005	Data.2	2	R7sb	8		
9	DF BB/005	Data.3	2	R7sc	9		
10	DF BB/006	Data.2	2	R7sd	10		
11	DF BB/006	Data.2	2	R7se	11		
12	DF BB/006	Data.3	2	R7sf	12		
13	DF BB/023	Data.1	3	R20sa	13		
14	DF BB/023	Data.2	3	R20sb	14		
15	DF BB/023	Data.3	3	R20sc	15		
16	DF BB/024	Data.1	3	R20sd	16		
17	DF BB/024	Data.2	3	R20se	17		
18	DF BB/024	Data.3	3	R20sf	18		
19	DF BB/031	Data.1	4	R27sa	19		
20	DF BB/031	Data.2	4	R27sb	20		
21	DF BB/031	Data.3	4	R27sc	21		
22	DF BB/032	Data.1	4	R27sd	22		
23	DF BB/032	Data.2	4	R27se	23		
24	DF BB/032	Data.3	4	R27sf	24		

Figure 36

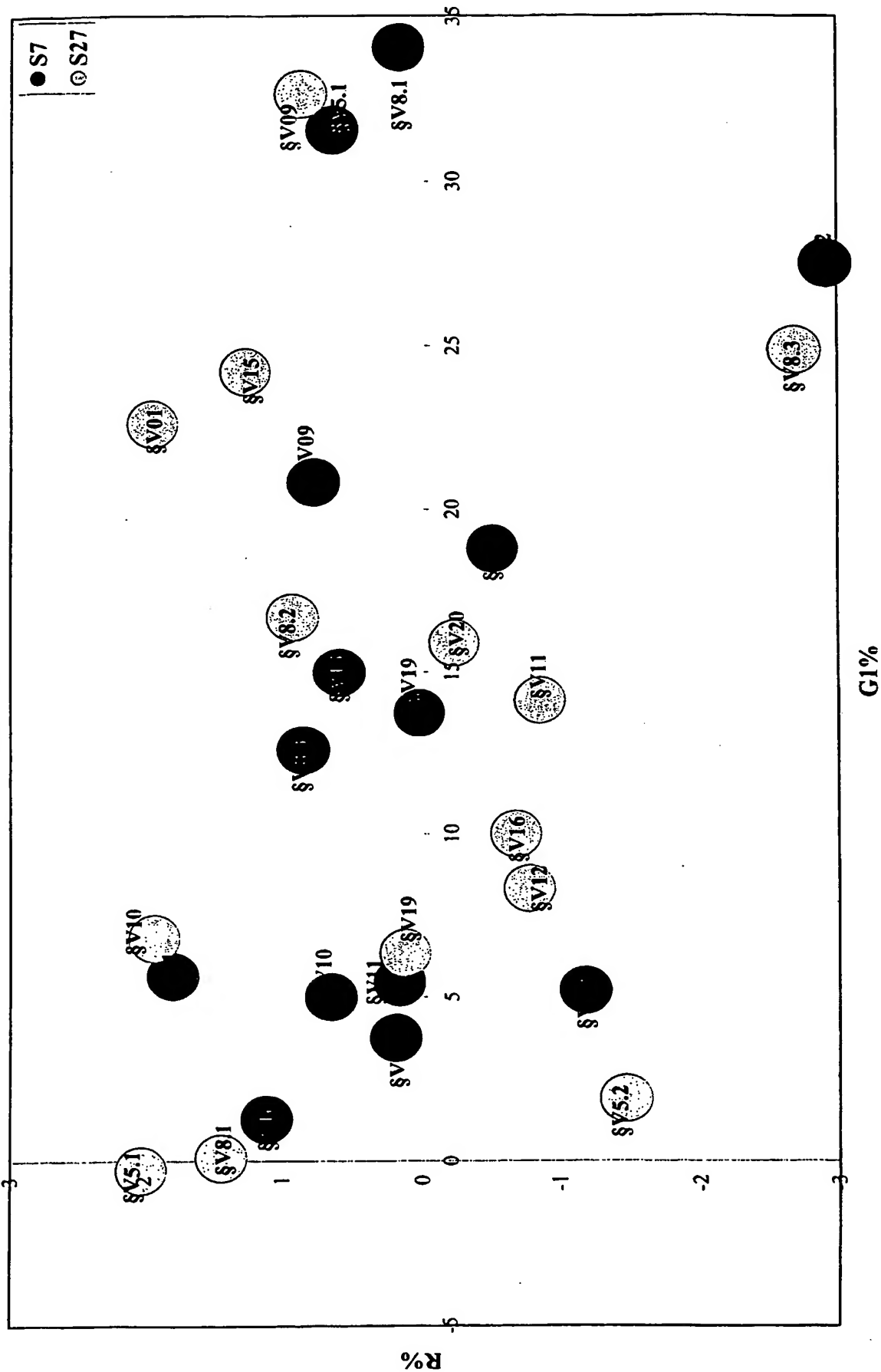


Figure 37

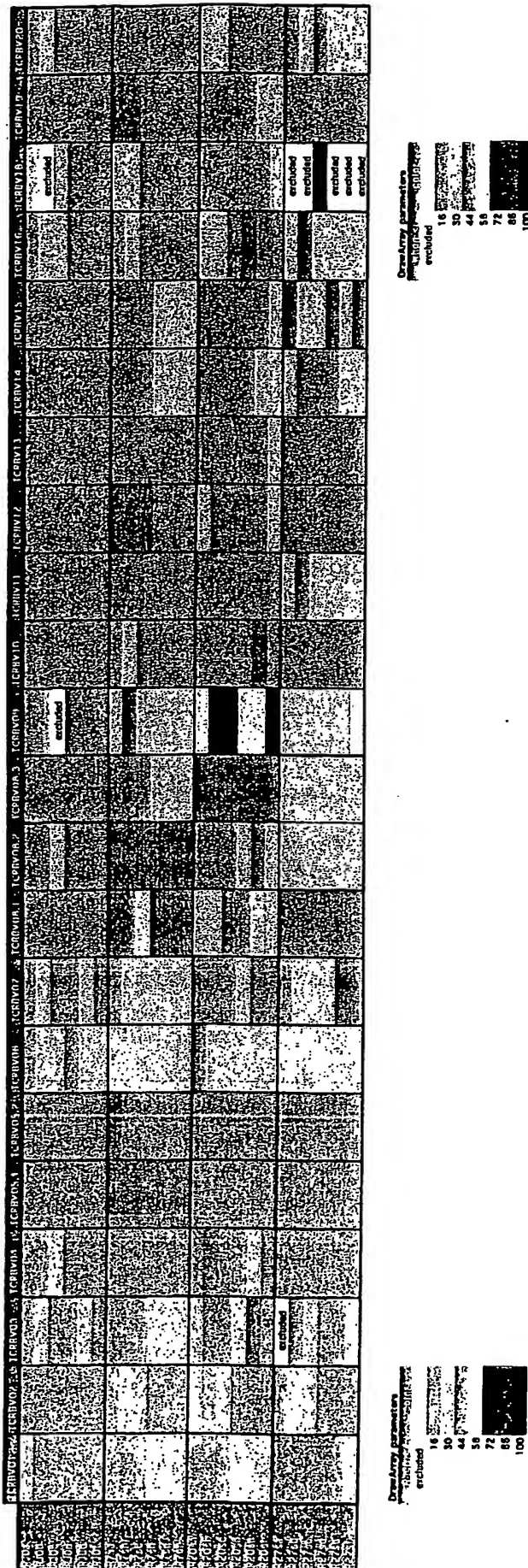


Figure 38

Score d'Oligoclonalité BV : PWK/Rate-CD4 ⁺	
7 semaines post-infection	27 semaines post-infection
BV01 (9-10-11 aa)	BV5.2 (9 aa)
BV09 (10-11 aa)	BV8.3 (8-9-10 aa)
BV16 (10 aa)	BV09 (7-9-10-12-13 aa)
BV19 (12 aa)	BV10 (9 aa)
	BV11 (9-10-11 aa)

Figure 39

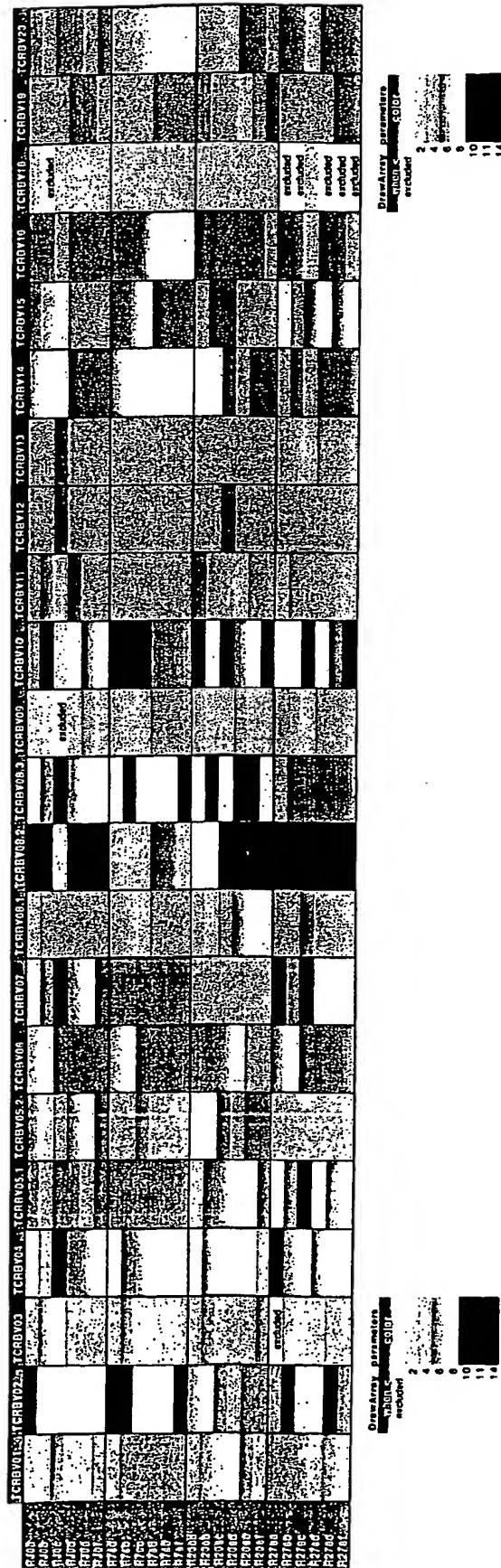
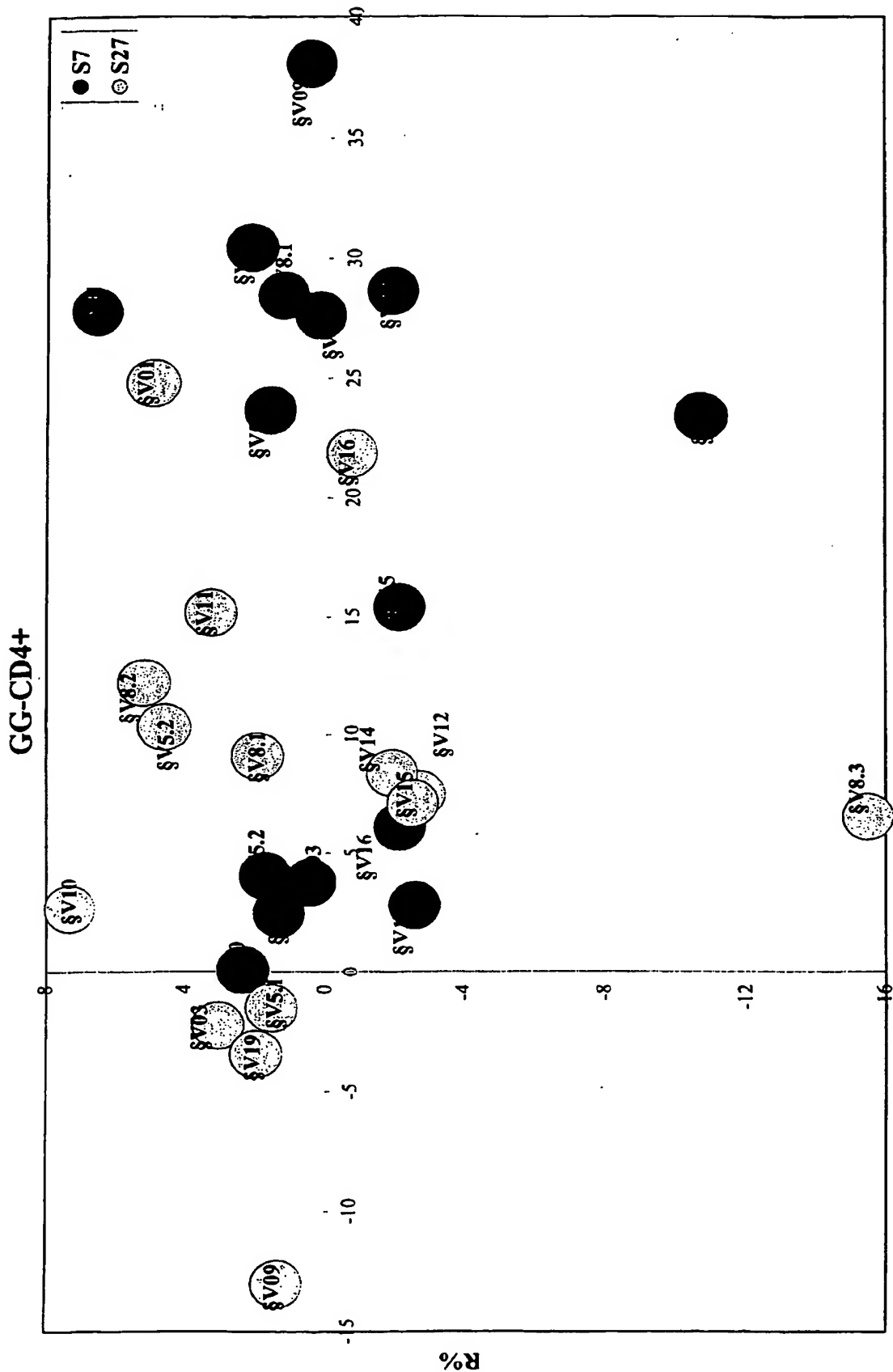


Figure 40

Figure 41

Parameters of file to use		DA PWK/GG-CD4+			
	Workbook	Sheet	Group	Nature	Remark
1	DF BB/009	Data.2	1	GGJ0b	1
2	DF BB/009	Data.3	1	GGJ0c	2
3	DF BB/009	Data.1	1	GGJ0a	3
4	DF BB/010	Data.1	1	GGJ0d	4
5	DF BB/010	Data.2	1	GGJ0e	5
6	DF BB/010	Data.3	1	GGJ0f	6
7	DF BB/002	Data.1	2	GG7sa	7
8	DF BB/002	Data.2	2	GG7sb	8
9	DF BB/002	Data.3	2	GG7sc	9
10	DF BB/003	Data.1	2	GG7sd	10
11	DF BB/003	Data.2	2	GG7se	11
12	DF BB/007	Data.3	2	GG7sf	12
13	DF BB/019	Data.1	3	GG20sa	13
14	DF BB/019	Data.2	3	GG20sb	14
15	DF BB/019	Data.3	3	GG20sc	15
16	DF BB/020	Data.1	3	GG20sd	16
17	DF BB/020	Data.2	3	GG20se	17
18	DF BB/020	Data.3	3	GG20sf	18
19	DF BB/027	Data.1	4	GG27sa	19
20	DF BB/027	Data.2	4	GG27sb	20
21	DF BB/027	Data.3	4	GG27sc	21
22	DF BB/028	Data.1	4	GG27sd	22
23	DF BB/028	Data.2	4	GG27se	23
24	DF BB/028	Data.3	4	GG27sf	24



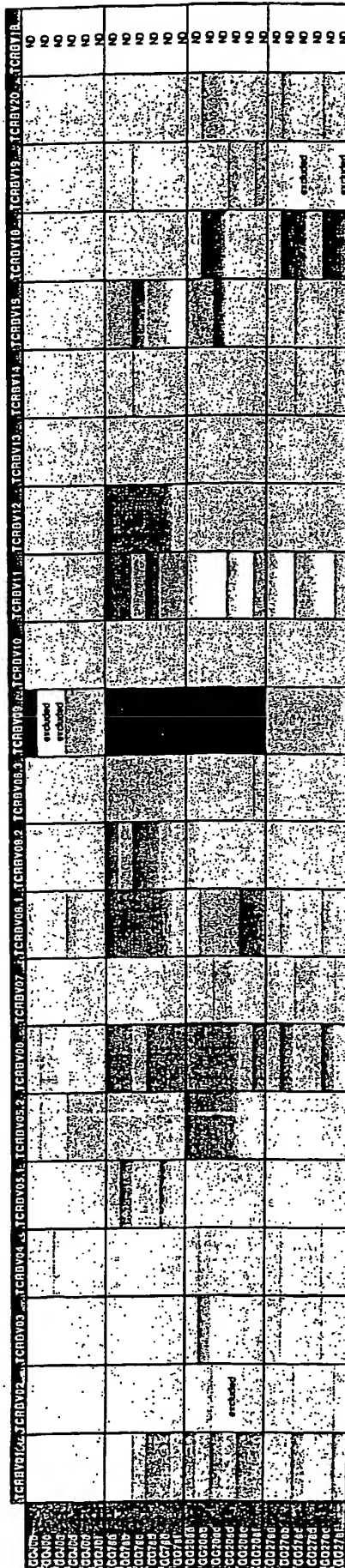


Figure 43

Score d'Oligoclonalité BV : PWK/GG-CD4*	
7 semaines post-infection	27 semaines post-infection
BV01 (9-10-11 aa)	BV5.2 (8-9 aa)
BV03 (10 aa)	BV10 (9 aa)
BV8.1 (10 aa)	BV14 (10 aa)
BV8.2 (9-10-11 aa)	BV15 (9-10-11 aa)
BV09 (9-10-11 aa)	
BV16 (10 aa)	
BV19 (10-12 aa)	

Figure 44

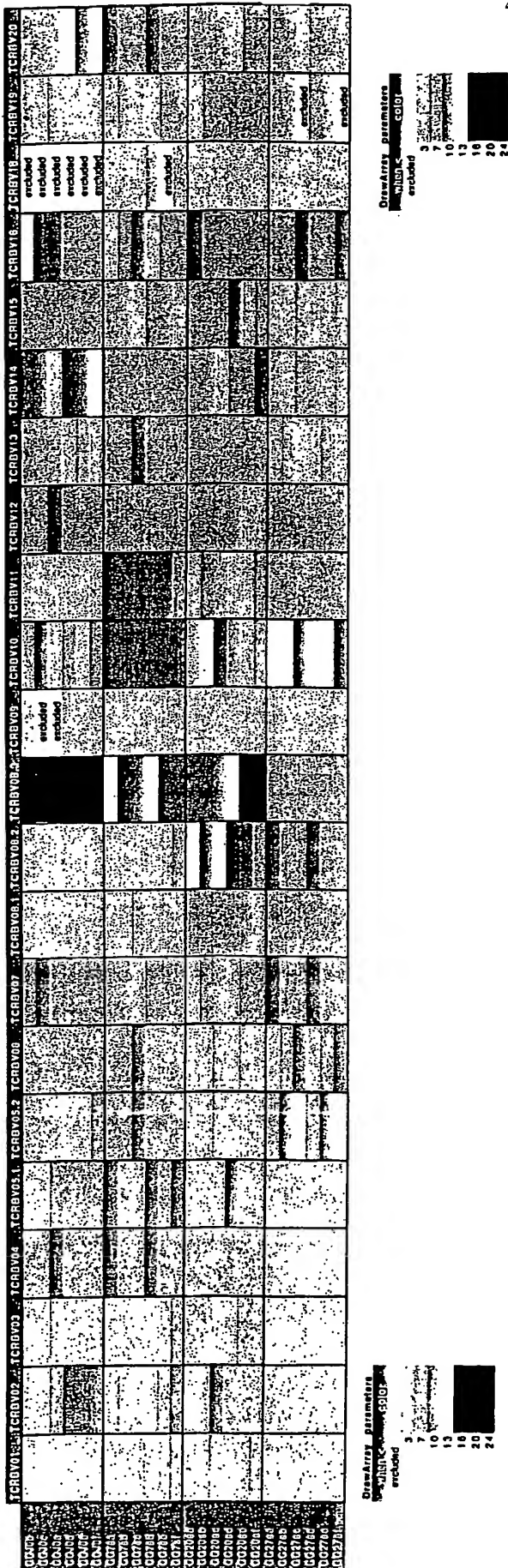


Figure 45

Parameters of file to use		DA PWK/GG-CD8+			
	Workbook	Sheet	Group	Nature	Remark
1	DF BB/001	Data.2	2	GG7sb	7
2	DF BB/001	Data.1	2	GG7sa	8
3	DF BB/001	Data.3	2	GG7sc	9
4	DF BB/004	Data.1	2	GG7sd	10
5	DF BB/004	Data.2	2	GG7se	11
6	DF BB/004	Data.3	2	GG7sf	12
7	DF BB/011	Data.1	1	GGJ0a	1
8	DF BB/011	Data.2	1	GGJ0b	2
9	DF BB/011	Data.3	1	GGJ0c	3
10	DF BB/012	Data.1	1	GGJ0d	4
11	DF BB/012	Data.2	1	GGJ0e	5
12	DF BB/012	Data.3	1	GGJ0f	6
13	DF BB/021	Data.1	3	GG20sa	13
14	DF BB/021	Data.2	3	GG20sb	14
15	DF BB/021	Data.3	3	GG20sc	15
16	DF BB/022	Data.1	3	GG20sd	16
17	DF BB/022	Data.2	3	GG20se	17
18	DF BB/022	Data.3	3	GG20sf	18
19	DF BB/029	Data.1	4	GG27sa	19
20	DF BB/029	Data.2	4	GG27sb	20
21	DF BB/029	Data.3	4	GG27sc	21
22	DF BB/030	Data.1	4	GG27sd	22
23	DF BB/030	Data.2	4	GG27se	23
24	DF BB/030	Data.3	4	GG27sf	24

Figure 46

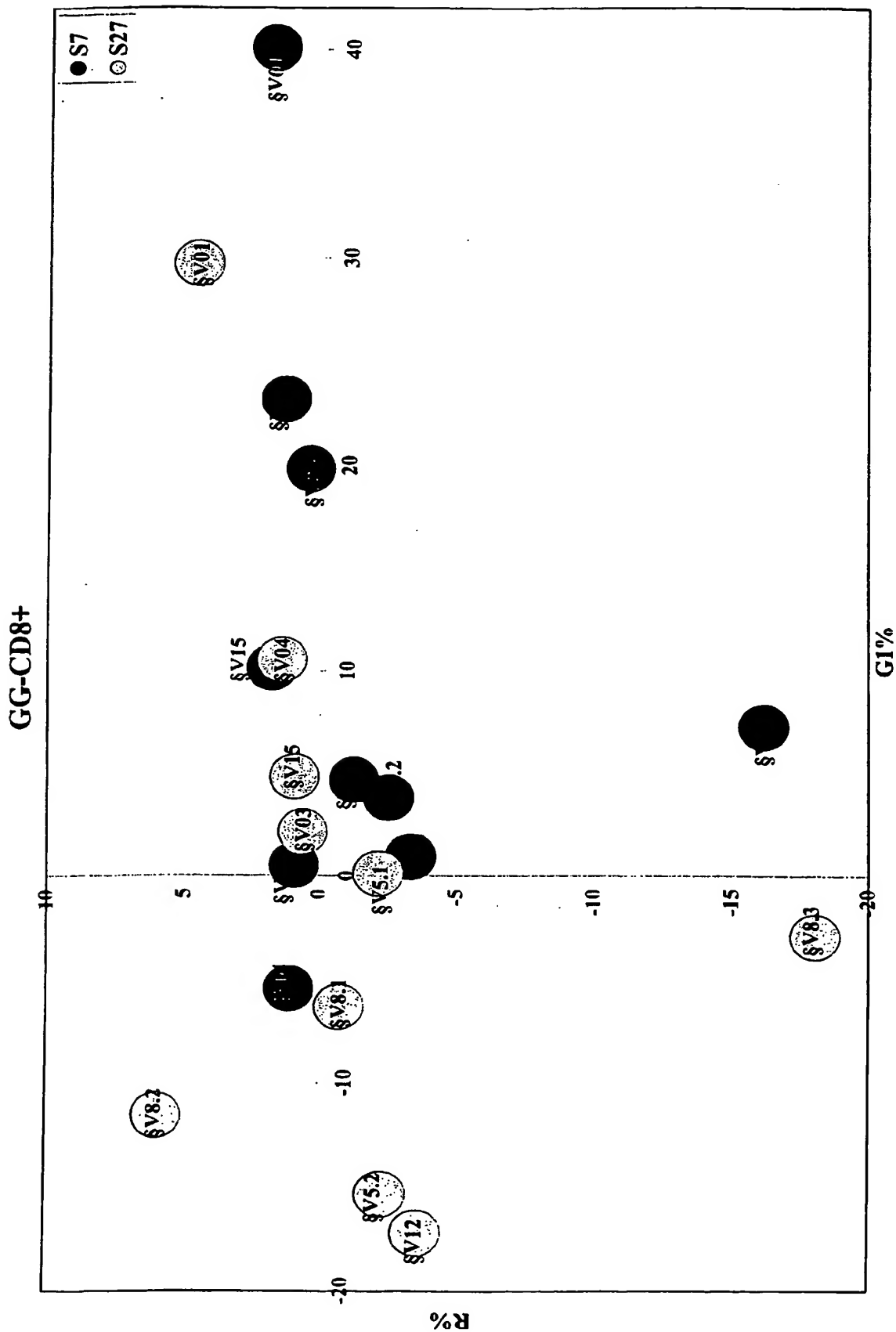
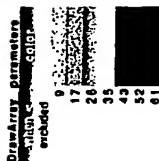


Figure 47


$$F_{1990} = 48$$

Score d'Oligoclonalité BV : PWK/GG-CD8 ⁺	
7 semaines post-infection	27 semaines post-infection
BV12 (9-10 aa)	BV03 (10 aa)
BV15 (8-9 aa)	BV04 (11 aa)

Figure 49

Parameters of file to use		DA PWK/R-CD8+			
	Workbook	Sheet	Group	Nature	Remark
1	DF BB/017	Data.3	1	RJ0a	1
2	DF BB/018	Data.1	1	RJ0b	2
3	DF BB/015	Data.3	1	RJ0c	3
4	DF BB/016	Data.1	1	RJ0d	4
5	DF BB/016	Data.2	1	RJ0e	5
6	DF BB/016	Data.3	1	RJ0f	6
7	DF BB/007	Data.1	2	R7sa	7
8	DF BB/007	Data.2	2	R7sb	8
9	DF BB/008	Data.1	2	R7sc	9
10	DF BB/008	Data.2	2	R7sd	10
11	DF BB/008	Data.3	2	R7se	11
12	DF BB/018	Data.2	2	R7sf	12
13	DF BB/025	Data.1	3	R20sa	13
14	DF BB/025	Data.2	3	R20sb	14
15	DF BB/025	Data.3	3	R20sc	15
16	DF BB/026	Data.1	3	R20sd	16
17	DF BB/026	Data.2	3	R20se	17
18	DF BB/026	Data.3	3	R20sf	18
19	DF BB/033	Data.1	4	R27sa	19
20	DF BB/033	Data.2	4	R27sb	20
21	DF BB/033	Data.3	4	R27sc	21
22	DF BB/034	Data.1	4	R27sd	22
23	DF BB/034	Data.2	4	R27se	23
24	DF BB/034	Data.3	4	R27sf	24

Figure 51

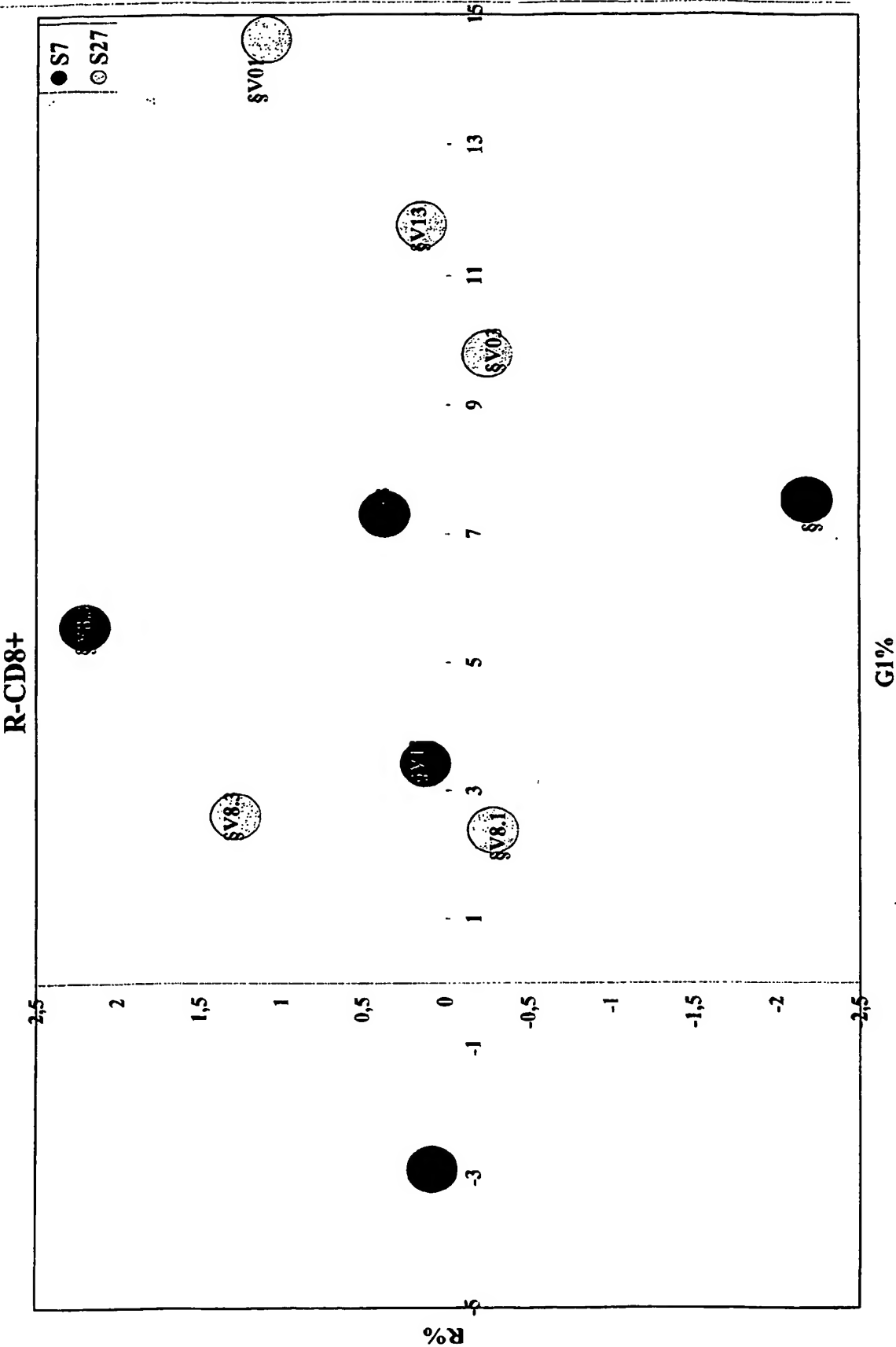


Figure 52

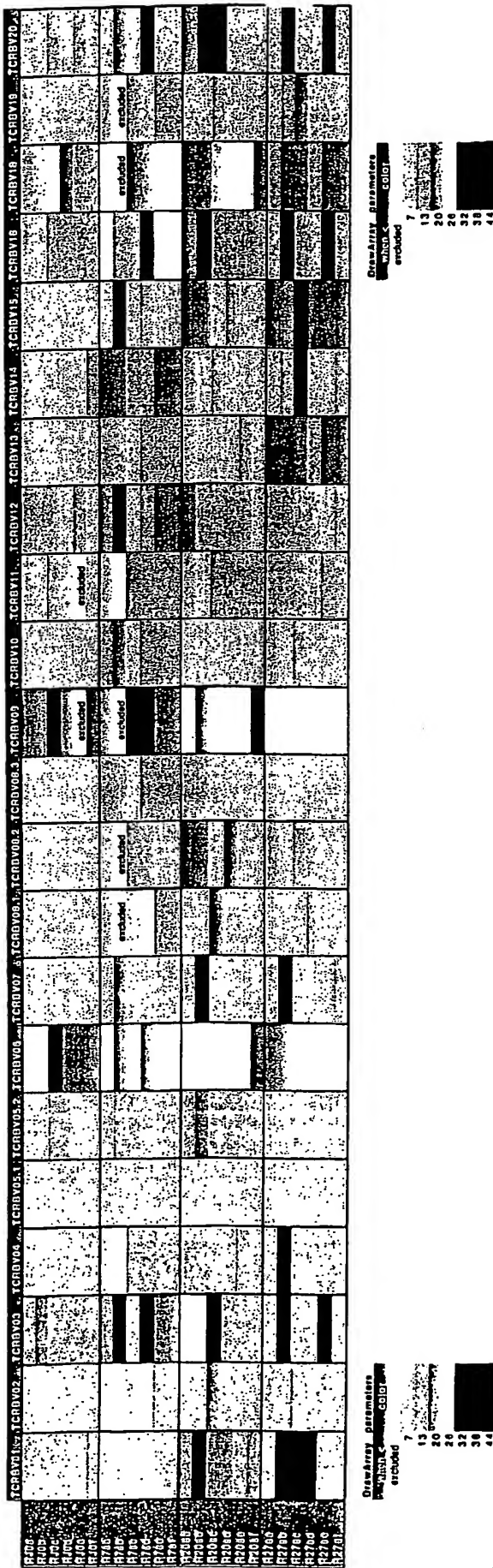


Figure 53

Score d'Oligoclonalité BV : PWK/Rate-CD8 ⁺	
7 semaines post-infection	27 semaines post-infection
BV01 (10-11-12 aa)	BV03 (10 aa)
	BV13 (11 aa)

Figure 54

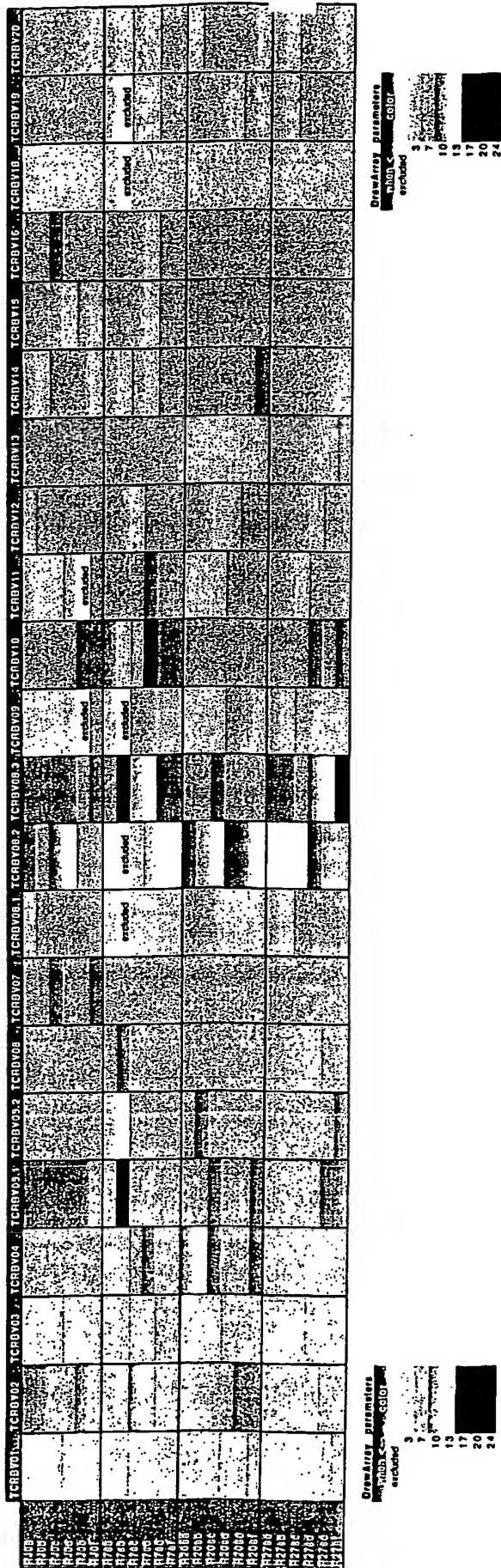


Figure 55

Parameters of file to use

Parameters of file to use	Sheet	Group	Section	Remarks
1 EF/043 DF	Data.2	1	TN01 spleen	
2 EF/022 DF	Data.1	1	TN02 spleen	
3 EF/018 DF	Data.1	1	TN03 spleen	
4 EF/038 DF	Data.3	1	TN04 spleen	
5 EF/039 DF	Data.1	2	J3-01 spleen	
6 EF/016 DF	Data.1	2	J3-02 spleen	
7 EF/034 DF	Data.1	2	J3-03 spleen	
8 EF/046 DF	Data.2	2	J3-04 spleen	
9 EF/023 DF	Data.2	2	J3-05 spleen	
10 EF/029 DF	Data.3	3	J4-01 spleen	
11 EF/026 DF	Data.1	3	J4-02 spleen	
12 EF/029 DF	Data.1	3	J4-03 spleen	
13 EF/036 DF	Data.2	3	J4-04 spleen	
14 EF/019 DF	Data.2	3	J4-06 spleen	
15 EF/038 DF	Data.1	3	J4-07 spleen	
16 EF/045 DF	Data.1	3	J4-08 spleen	
17 EF/042 DF	Data.3	3	J4-09 spleen	
18 EF/042 DF	Data.1	3	J4-10 spleen	
19 EF/016 DF	Data.3	4	J5-01 spleen	
20 EF/026 DF	Data.3	4	J5-02 spleen	
21 EF/031 DF	Data.1	4	J5-03 spleen	
22 EF/021 DF	Data.1	4	J5-04 spleen	
23 EF/021 DF	Data.3	4	J5-05 spleen	
24 EF/028 DF	Data.2	4	J5-06 spleen	
25 EF/043 DF	Data.3	4	J5-07 spleen	
26 EF/041 DF	Data.2	4	J5-08 spleen	
27 EF/012 DF	Data.3	4	J5-09 spleen	
28 EF/046 DF	Data.3	4	J5-10 spleen	
29 EF/024 DF	Data.1	5	J6-01 spleen	
30 EF/017 DF	Data.1	5	J6-02 spleen	
31 EF/025 DF	Data.1	5	J6-03 spleen	
32 EF/040 DF	Data.1	5	J6-04 spleen	
33 EF/014 DF	Data.2	5	J6-05 spleen	
34 EF/020 DF	Data.1	5	J6-06 spleen	
35 EF/033 DF	Data.1	5	J6-07 spleen	
36 EF/030 DF	Data.1	5	J6-08 spleen	
37 EF/013 DF	Data.2	5	J6-09 spleen	
38 EF/027 DF	Data.1	5	J6-10 spleen	
39 EF/031 DF	Data.3	6	TSP01 CM+spleen	
40 EF/032 DF	Data.1	6	TSP06 CM+spleen	
41 EF/034 DF	Data.3	6	TSP09 CM+spleen	
42 EF/010 DF	Data.2	6	TSP10 CM+++ spleen	
43 EF/044 DF	Data.1	6	TSP18 CM+++ spleen	
44 EF/037 DF	Data.1	6	TSP19 CM+++ spleen	
45 EF/011 DF	Data.2	6	TSP20 CM+++ spleen	
46 EF/022 DF	Data.2	7	TN02 PBL	
47 EF/018 DF	Data.2	7	TN03 PBL	
48 EF/039 DF	Data.2	8	J3-01 PBL	
49 EF/016 DF	Data.2	8	J3-02 PBL	
50 EF/034 DF	Data.2	8	J3-03 PBL	
51 EF/039 DF	Data.3	8	J3-04 PBL	
52 EF/023 DF	Data.3	8	J3-05 PBL	
53 EF/031 DF	Data.2	9	J4-01 PBL	
54 EF/026 DF	Data.2	9	J4-02 PBL	
55 EF/029 DF	Data.2	9	J4-03 PBL	
56 EF/036 DF	Data.3	9	J4-04 PBL	
57 EF/012 DF	Data.1	9	J4-05 PBL	
58 EF/019 DF	Data.3	9	J4-06 PBL	
59 EF/038 DF	Data.2	9	J4-07 PBL	
60 EF/045 DF	Data.2	9	J4-08 PBL	
61 EF/043 DF	Data.1	9	J4-09 PBL	
62 EF/042 DF	Data.2	9	J4-10 PBL	
63 EF/019 DF	Data.1	10	J5-01 PBL	
64 EF/028 DF	Data.1	10	J5-02 PBL	
65 EF/035 DF	Data.1	10	J5-03 PBL	
66 EF/021 DF	Data.2	10	J5-04 PBL	
67 EF/023 DF	Data.1	10	J5-05 PBL	
68 EF/028 DF	Data.3	10	J5-06 PBL	
69 EF/041 DF	Data.3	10	J5-08 PBL	
70 EF/012 DF	Data.2	10	J5-09 PBL	
71 EF/041 DF	Data.1	10	J5-10 PBL	
72 EF/024 DF	Data.2	11	J6-01 PBL	
73 EF/017 DF	Data.2	11	J6-02 PBL	
74 EF/025 DF	Data.2	11	J6-03 PBL	
75 EF/040 DF	Data.2	11	J6-04 PBL	
76 EF/014 DF	Data.1	11	J6-05 PBL	
77 EF/020 DF	Data.2	11	J6-06 PBL	
78 EF/033 DF	Data.2	11	J6-07 PBL	
79 EF/030 DF	Data.2	11	J6-08 PBL	
80 EF/013 DF	Data.1	11	J6-09 PBL	
81 EF/027 DF	Data.2	11	J6-10 PBL	
82 EF/032 DF	Data.2	12	TSP06 CM+PBL	
83 EF/035 DF	Data.3	12	TSP09 CM+PBL	
84 EF/010 DF	Data.1	12	TSP10 CM+++ PBL	
85 EF/044 DF	Data.2	12	TSP18 CM+++ PBL	
86 EF/037 DF	Data.2	12	TSP19 CM+++ PBL	
87 EF/011 DF	Data.1	12	TSP20 CM+++ PBL	

Figure 56

Plasmodium berghei infection of B10D2 mice

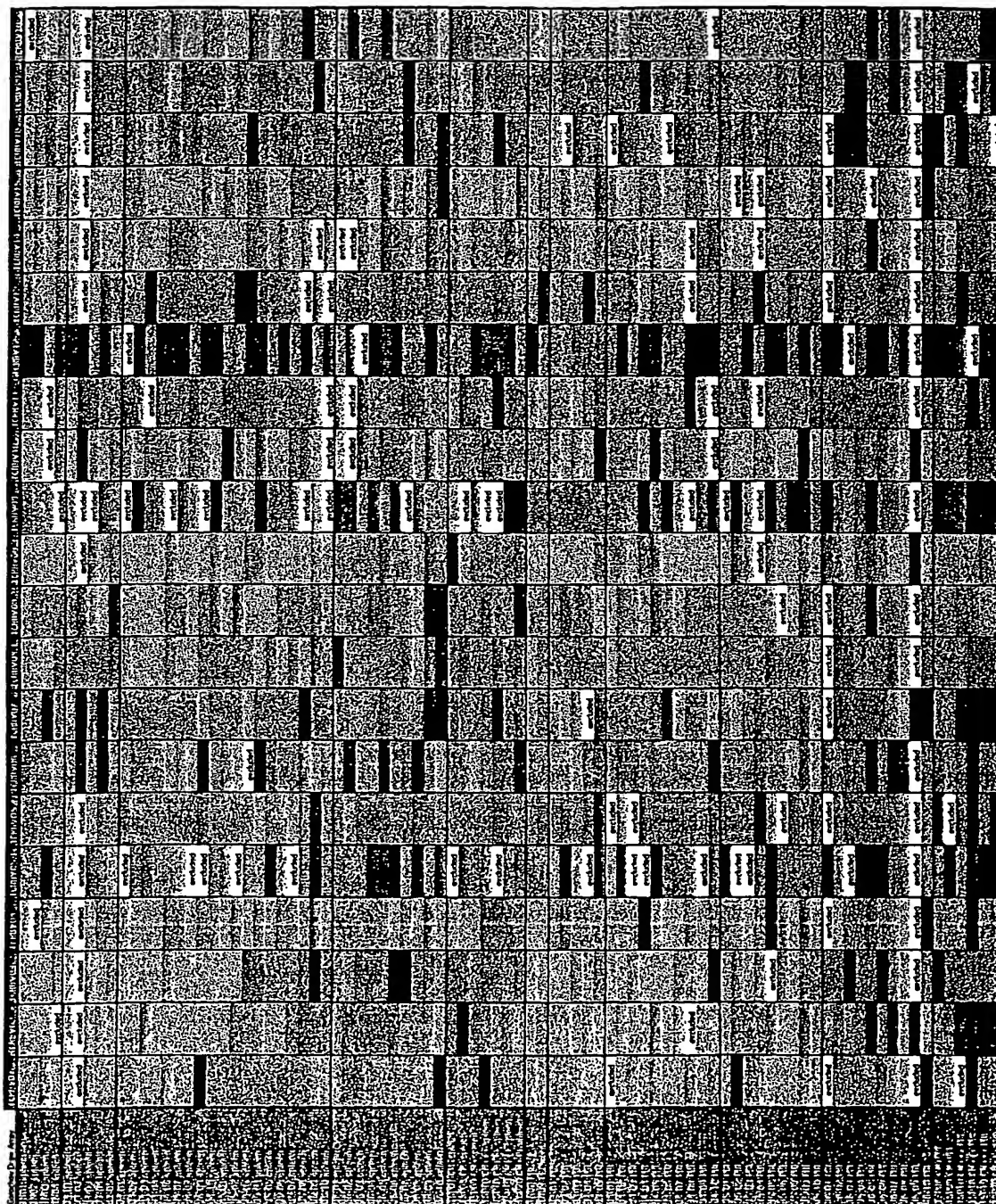


Figure 57

Plasmodium berghei infection of B10D2 mice

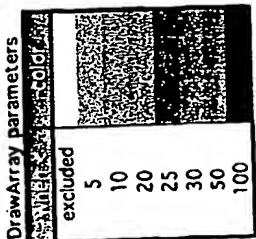
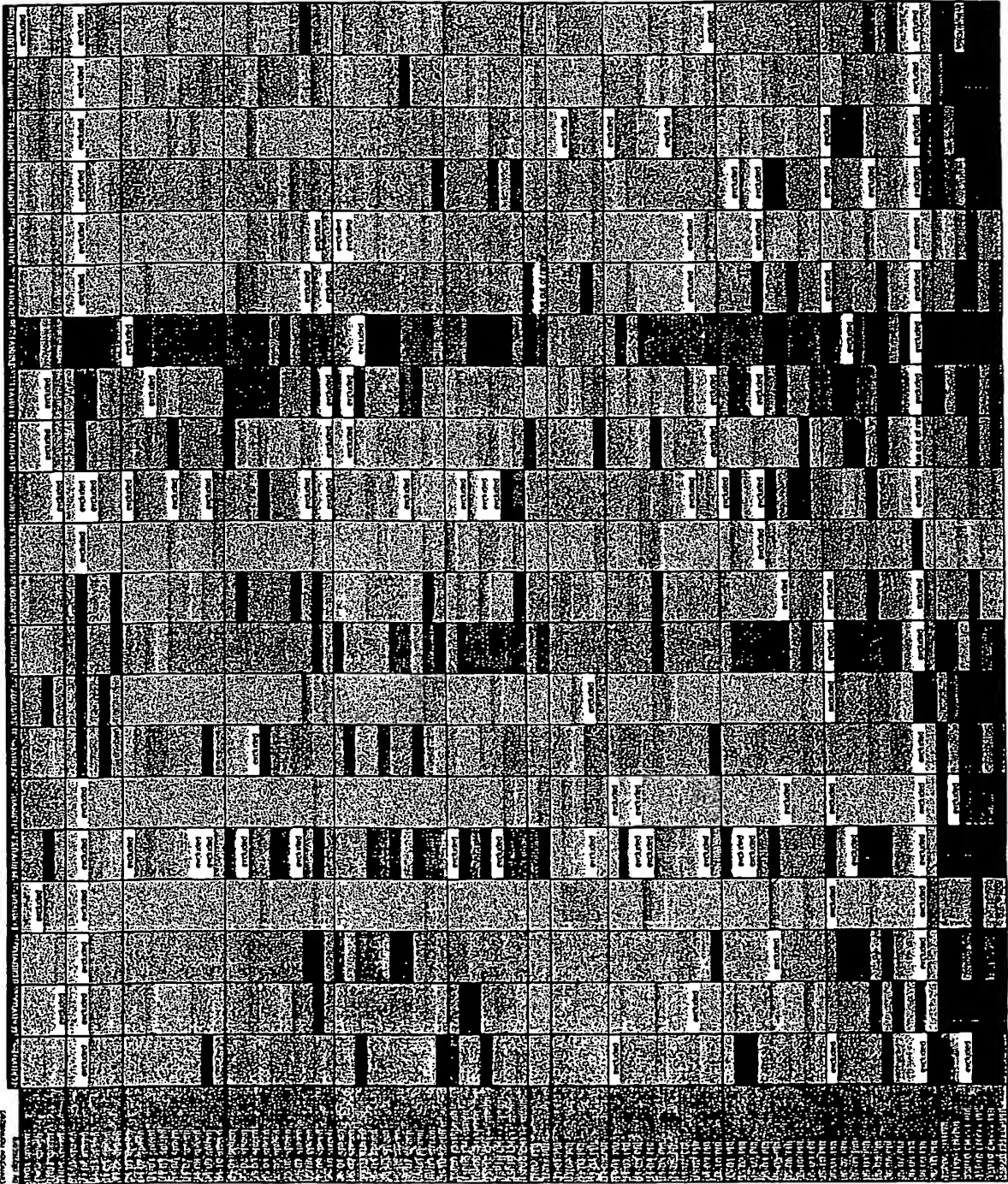


Figure 58

Test PL50 de Flisner pour TCRBY02

Test PL50 de Fisher pour TCRBVD
Effet : Groupe
Niveau de signification : 5 %

	Dbl. moy.	Dbl. chl.	Resou. p.
CM4P, CM4-S	11,186	6,146	0,000
CM4P, J2P	19,472	2,938	<0,001
CM4P, J3S	20,431	2,502	<0,001
CM4P, J4P	20,431	5,126	<0,001
CM4P, J4S	20,598	6,118	<0,001
CM4P, J5P	16,156	6,126	<0,001
CM4P, J5S	18,950	6,002	<0,001
CM4P, J6P	10,419	9,002	<0,014
CM4P, J6S	13,111	6,002	<0,001
CM4P, T4P	19,125	5,140	<0,001
CM4P, T4S	21,977	5,818	<0,001
CM4S, J2P	6,137	6,605	<0,177
CM4S, J3S	8,841	7,235	<0,180
CM4S, J4P	8,933	6,537	<0,041
CM4S, J4S	8,912	6,537	<0,020
CM4S, J5P	8,424	6,137	<0,017
CM4S, J5S	5,354	5,728	<0,660
CM4S, J6P	-1,157	5,728	<0,884
CM4S, J6S	2,132	5,728	<0,002
CM4S, T4P	6,428	9,319	<0,884
CM4S, T4S	10,101	8,920	<0,000
J2P, J2S	-5,660	7,722	<0,870
J2P, J4P	2,514	6,188	<0,532
J2P, J4S	1,125	5,493	<0,764
J2P, J5P	-1,150	6,493	<0,618
J2P, J5S	-2,923	6,366	<0,380
J2P, J6P	-9,444	6,266	<0,042
J2P, J6S	-5,935	6,366	<0,070
J2P, T4P	-1,320	8,724	<0,362
J2P, T4S	2,514	6,188	<0,532
J3S, J4S	-1,942	6,984	<0,775
J3S, J4S	6,897	6,984	<0,719
J3S, J5P	-1,998	6,984	<0,000
J3S, J5S	-3,491	6,978	<0,102
J3S, J6P	-10,002	6,978	<0,049
J3S, J6S	-6,413	6,978	<0,171
J3S, T4P	-7,718	10,068	<0,752
J3S, T4S	1,556	8,977	<0,449
J4P, J4S	1,108	5,728	<0,177
J4P, J5P	-1,304	5,728	<0,757
J4P, J5S	-2,928	5,340	<0,762
J4P, J6P	-9,460	6,340	<0,068
J4P, J6S	-5,671	6,340	<0,181
J4P, T4P	-1,524	9,069	<0,576
J4P, T4S	2,489	7,748	<0,737
J4S, J5P	-2,463	6,178	<0,737
J4S, J5S	-1,046	5,140	<1,151
J4S, J6P	-10,160	5,340	<0,068
J4S, J6S	-6,890	6,340	<0,181
J4S, T4P	-1,583	9,068	<0,759
J4S, T4S	1,989	7,748	<0,719
J5P, J5S	-1,686	5,340	<0,760
J5P, J6P	-1,108	6,340	<0,068
J5P, J6S	-3,517	5,340	<0,613
J5P, T4P	1,100	9,068	<0,668
J5P, T4S	3,162	7,748	<0,668
J5S, J6S	-6,321	5,180	<0,767
J5S, J6S	-2,932	5,180	<0,767
J5S, T4P	2,685	9,003	<0,549
J5S, T4S	5,197	7,651	<1,609
J6P, J6S	3,499	6,198	<1,700
J6P, T4P	9,068	9,002	<0,432
J6S, T4P	11,668	7,651	<0,070
J6S, T4S	5,617	8,003	<0,218
J6P, T4S	8,369	7,651	<0,022
J6P, T4S	2,752	10,810	<0,687

Tableau ANOVA pour TC8BVC2

Tableau ANOVA pour TC8BVC2

dd	Somme des cards	Card moyen	Valeur de F	Valeur de p	Limite	Puissance
11	2589,319	242,865	7,138	< 0,001	76,523	1,000
72	2447,584	33,904				

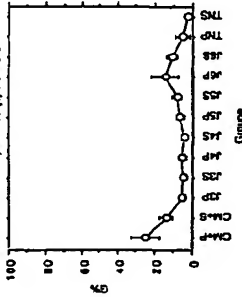
Tableau de moyennes pour TC8BV02

Tableau de moyennes pour TC8BV02

Enet Group	Nombre	Moyenne	Dév. St.	Ert. St.
CM-AP	6	84,950	8,885	9,045
CM-AS	7	13,764	4,939	1,687
JP*	5	5,477	981	394
JPB	4	4,920	1,570	335
JP	9	5,482	3,842	1,281
JPB	9	4,352	2,555	945
JP	9	8,816	3,018	1,272
JPB	10	5,401	4,782	1,512
JP	10	14,521	11,257	3,550
JPB	10	11,332	4,682	1,443
JP	2	5,715	2,818	2,085
JPB	3	2,893	451	260

Courbe des interactions pour TCRB22
Étial : Groupe
Bases d'erreur : à 1,98 (erreur(s) standard)

Courbe des interactions pour TCRB22
Étial : Groupe
Bases d'erreur : à 1,98 (erreur(s) standard)



Test PLSD de Fisher pour TCRBV01

Test PLSD de Fisher pour YCRBV01
Effet : Groupe
Niveau de signification: 5 %

[illegible]

Tableau ANOVA pour TCRBY01

Tableau ANOVA pour TCRBY01							
	édl	Somme des carrés	Carré moyen	Valeur de F	Valeur de p	Limite	Puissance
Groupe	11	487 090	44 282	963	4874	10.507	481

70	3210,710	45,982		1970.0	1970.0	1970.0
70						

Tableau de moyennes pour TCRBV01

Tableau de moyennes pour TCRBV01

Group	Number	Mean	Dev. Std.	Err. Std.
1	12,083	8,268	2,702	
2	11,770	8,471	3,202	
3	8,510	1,481	.930	
4	5,107	1,317	.659	
5	5,749	2,068	.686	
6	8,000	3,078	2,713	
7	7,602	9,117	5,032	
8	4,850	1,743	.551	
9	10,107	9,711	3,433	
10	10,818	8,486	2,613	
11	4,929	1,260	.981	
12	5,823	2,610	1,308	

Graphique des Interactions pour TCABV01

Graphique des interactions pour TCABV01

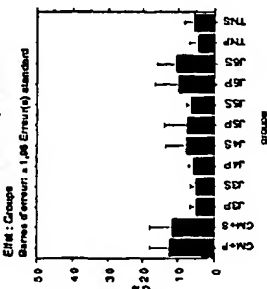


Figure 59

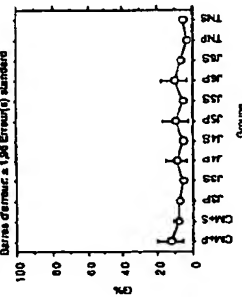
Test PLUS de Filner pour TCRBVD

Groups	11	480,614	43,692	829	5,163	10,218	485
Female	71	334,055	47,043				

CMAP, 200	7.078	0.8
CMAP, 125	7.462	0.8

[illegible]

CMS, JCS	1,006	6,111
----------	-------	-------

[illegible]

Test PLSD de Fisher pour TCRBV05.2

Effet: Groupe	Diff. moy.	Diff. crit.	Valeur p	Prédictions
11	1350.634	122.765	0.040	<0.001 68.443 1.000
12	1350.634	122.765	0.040	<0.001 68.443 1.000
13	1350.634	122.765	0.040	<0.001 68.443 1.000

Tableau ANOVA pour TCRBV05.1

Effet: Groupe	Diff. moy.	Diff. crit.	Valeur p	Prédictions
11	1350.634	122.765	0.040	<0.001 68.443 1.000
12	1350.634	122.765	0.040	<0.001 68.443 1.000
13	1350.634	122.765	0.040	<0.001 68.443 1.000

Tableau ANOVA pour TCRBV05.1

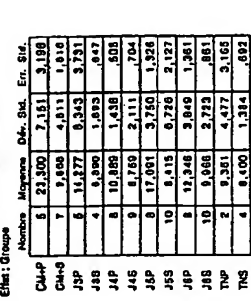
Effet: Groupe	Diff. moy.	Diff. crit.	Valeur p	Prédictions
11	1350.634	122.765	0.040	<0.001 68.443 1.000
12	1350.634	122.765	0.040	<0.001 68.443 1.000
13	1350.634	122.765	0.040	<0.001 68.443 1.000

Tableau de moyennes pour TCRBV05.2

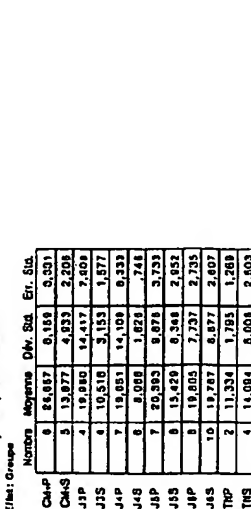
Effet: Groupe	Diff. moy.	Diff. crit.	Valeur p	Prédictions
11	1350.634	122.765	0.040	<0.001 68.443 1.000
12	1350.634	122.765	0.040	<0.001 68.443 1.000
13	1350.634	122.765	0.040	<0.001 68.443 1.000

Tableau de moyennes pour TCRBV05.1

Effet: Groupe	Diff. moy.	Diff. crit.	Valeur p	Prédictions
11	1350.634	122.765	0.040	<0.001 68.443 1.000
12	1350.634	122.765	0.040	<0.001 68.443 1.000
13	1350.634	122.765	0.040	<0.001 68.443 1.000



Effet: Groupe	Diff. moy.	Diff. crit.	Valeur p	Prédictions
11	1350.634	122.765	0.040	<0.001 68.443 1.000
12	1350.634	122.765	0.040	<0.001 68.443 1.000
13	1350.634	122.765	0.040	<0.001 68.443 1.000



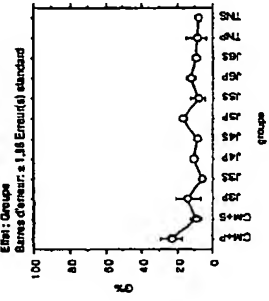
Effet: Groupe	Diff. moy.	Diff. crit.	Valeur p	Prédictions
11	1350.634	122.765	0.040	<0.001 68.443 1.000
12	1350.634	122.765	0.040	<0.001 68.443 1.000
13	1350.634	122.765	0.040	<0.001 68.443 1.000

Cause des interactions pour TCRBV05.2

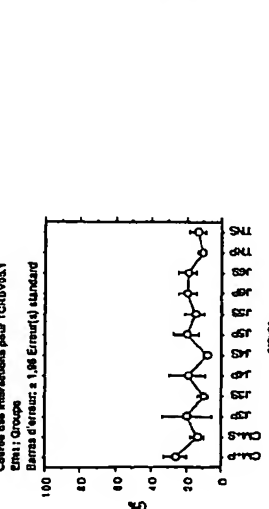
Effet: Groupe	Diff. moy.	Diff. crit.	Valeur p	Prédictions
11	1350.634	122.765	0.040	<0.001 68.443 1.000
12	1350.634	122.765	0.040	<0.001 68.443 1.000
13	1350.634	122.765	0.040	<0.001 68.443 1.000

Cause des interactions pour TCRBV05.1

Effet: Groupe	Diff. moy.	Diff. crit.	Valeur p	Prédictions
11	1350.634	122.765	0.040	<0.001 68.443 1.000
12	1350.634	122.765	0.040	<0.001 68.443 1.000
13	1350.634	122.765	0.040	<0.001 68.443 1.000



Effet: Groupe	Diff. moy.	Diff. crit.	Valeur p	Prédictions
11	1350.634	122.765	0.040	<0.001 68.443 1.000
12	1350.634	122.765	0.040	<0.001 68.443 1.000
13	1350.634	122.765	0.040	<0.001 68.443 1.000



Effet: Groupe	Diff. moy.	Diff. crit.	Valeur p	Prédictions
11	1350.634	122.765	0.040	<0.001 68.443 1.000
12	1350.634	122.765	0.040	<0.001 68.443 1.000
13	1350.634	122.765	0.040	<0.001 68.443 1.000

Figure 61

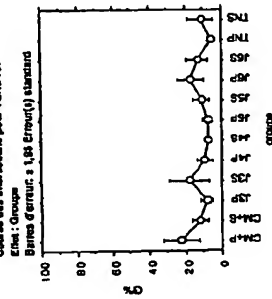
Test PLSO de Fisher pour TCRAV07

	ddl	Somme des carrés	Carré moyen	Valeur de F	Limite de p	Posterior
Groupes	11	1882,073	151,008	3,273	0,050	916
Répliqué	73	4883,374	66,883			

Tableau de moyennes pour TCREV07

Effect / Group	Nominate	Meaning	Ord. Stat.	Err. Stat.
CA+G	6	13.471	13.680	5.138
CA+G	7	13.324	9.987	2.251
JAP	4	8.122	3.816	1.283
JPS	5	11.022	12.433	2.670
JAP	10	6.471	7.238	2.898
JAS	6	7.350	1.078	.359
JPS	9	7.781	5.973	1.324
JPS	10	11.235	7.477	3.355
JAP	9	17.036	11.325	3.773
JAS	10	13.524	9.600	2.112
JPS	2	5.098	1.335	.844
TNS	4	11.022	7.489	3.749

Garde des Archives des TCRBV07



Test PLUSO de Flinn pour TC8BV06

add	Somme des Cardés	Cardé moyen	Valeur de F	Valeur de p	Libertés	Probance
11	120,943	117,448	1,870	0,075	20,875	0,57
73	4503,735	62,791				
Groupe						
Total						

Figure 1 *Estimated probabilities of a child being in the 10th percentile of weight for age*

[illegible]

Course des Interactions pour TCBEV08

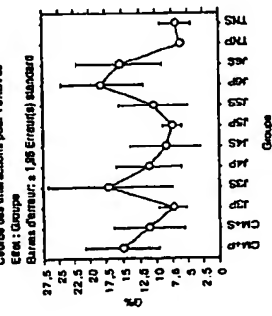


Figure 62

Test F et D de Fisher pour TCRBWS2

Effet : Groupe
Niveau de significativité : 5 %

dd	Somme des carrés	Carré moyen	Valeur de F	Valeur de p	Largeur	Puissance
Groupe	11	201,752	23,786	0,000	9,284	0,453
Réseau	72	2077,752	28,163			

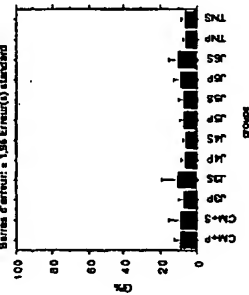
Tableau ANOVA pour TCRBWS2

Effet : Groupe

dd	Somme des carrés	Carré moyen	Valeur de F	Valeur de p	Largeur	Puissance
Groupe	11	201,752	23,786	0,000	9,284	0,453
Réseau	72	2077,752	28,163			

Graphique des interactions pour TCRBWS2

Effet : Groupe



Test F et D de Fisher pour TCRBWS1

Effet : Groupe

dd	Somme des carrés	Carré moyen	Valeur de F	Valeur de p	Largeur	Puissance
Groupe	11	460,328	41,844	2,870	0,035	0,173
Réseau	72	1060,330	14,588			

Tableau ANOVA pour TCRBWS1

Effet : Groupe

dd	Somme des carrés	Carré moyen	Valeur de F	Valeur de p	Largeur	Puissance
Groupe	11	460,328	41,844	2,870	0,035	0,173
Réseau	72	1060,330	14,588			

Graphique des interactions pour TCRBWS1

Effet : Groupe

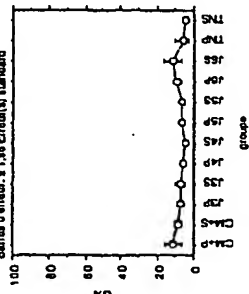


Figure 63

Test PLSD de Fisher pour TOREBOG

[illegible]

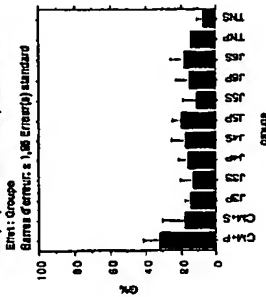
Tableau ANOVA pour TCRB09

Grupos	Id	Domínio dos dados	Custo médio	Valor de γ	Valor de β	Características
11	3062,438		189,313	2,837	0,238	24,605
59	4993,632		84,638			900

Tableau de moyennes pour TCR3V08

Estimate Group	Norming	Meaning	Chr. Std.	Err. Std.
CM+P	6	32.49 ^a	11.250	4.440
CM+S	4	10.668	12.314	8.157
JSP	6	15.327	8.162	3.411
JSS	3	13.712	8.263	3.267
JAP	9	16.677	7.101	2.367
JAS	6	17.918	9.498	3.818
JSP	7	20.697	6.351	2.404
JSS	8	12.019	10.703	3.784
JAP	9	11.190	10.703	3.668
JAS	9	19.102	10.450	3.497
JSP	2	15.410	6.57	3.80
TUS	3	7.443	3.207	1.652

Graphique des interactions pour TCBEV09



Test PLUS de Flasher pour TCASV08.3

[illegible]**Tableau ANOVA pour TCR8V08L3**

cl	cl	Somme des cards	Carré moyen	Valeur de f	Valeur de p	Limite	Probance
11	11	584,311	5,901	1,738	,0817	19,121	,801
98	98	9184,478	98,519				

Tableau de moyennes pour YCRBVOL2

Enrol. groups	Members	Moyness	Dhr. Std.	En. Std.
OMP	6	6,649	5,343	1,401
Ch-S	7	10,400	7,844	1,451
JSP	8	4,316	1,974	980
JSP	4	5,041	3,246	673
JSP	10	5,228	3,063	980
JAS	9	3,465	1,420	1,732
JSP	6	6,072	2,540	1,866
JSS	10	3,777	1,722	3,445
JSP	10	10,578	12,246	4,931
JSP	10	7,271	3,827	1,115
ThP	2	4,127	1,033	1,023
ThS	4	2,071	900	1,250

Graphique des Interactions pour TC8BVO8.3

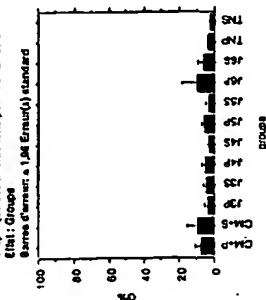


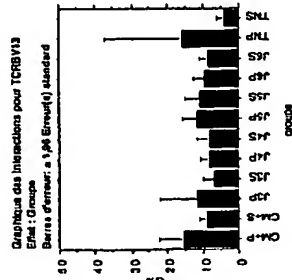
Fig 2.64

Test PLSD de Fisher pour TCRB13

Effet : Groupe	ddl	Somme des carrés	Carré moyen	Valeur de F	Lambda	Puissance
Effet : Groupe	11	862,770	51,787	1,454	1019	18,243
Erreur	68	2155,053	31,833			

Tableau de moyennes pour TCRB13

Effet : Groupe	Nombre	Moyenne	Dw.	Std.	Er. Std.
Chap	6	10,033	6,177	3,338	
Chap, J3P	7	9,444	2,238	8,616	
Chap, J3S	12	10,033	11,473	5,131	
J3P	4	7,433	2,623	1,312	
J3S	6	8,515	3,608	1,802	
J4P	8	8,537	4,794	1,976	
J4S	8	12,000	6,015	2,003	
J5P	6	11,332	5,742	2,350	
J5S	6	10,025	3,650	1,361	
J6P	10	10,033	3,607	1,014	
J6S	2	10,247	13,161	10,720	
TNS	4	4,103	2,133	1,067	



Graphique des interactions pour TCRB13

Effet : Groupe

Barres d'erreur : à 1,96 Erreur(1) standard

Test PLSD de Fisher pour TCRB14

ddl	Somme des carrés	Carré moyen	Valeur de F	Lambda	Puissance
11	847,506	77,046	1,734	18,018	1,787
70	3109,680	44,421			

Tableau de moyennes pour TCRB12

Effet : Groupe	Nombre	Moyenne	Dw.	Std.	Er. Std.
Chap	5	31,373	13,011	5,919	
Chap, J3P	7	23,543	6,355	2,402	
Chap, J3S	8	16,521	4,264	1,441	
J3P	8	25,474	7,102	3,155	
J3S	10	20,547	4,918	1,554	
J4P	6	20,444	3,354	1,185	
J4S	8	21,202	7,031	2,444	
J5P	10	20,410	3,301	1,063	
J5S	8	23,749	7,661	2,408	
J6P	8	19,682	4,268	1,423	
J6S	2	21,202	1,748	1,237	
TNS	4	27,005	12,500	8,155	

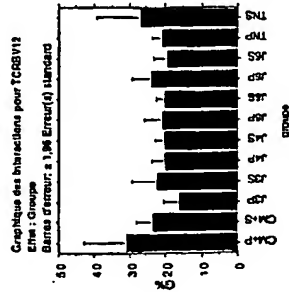


Figure 46

Graphique des interactions pour TCRB11

Effet : Groupe

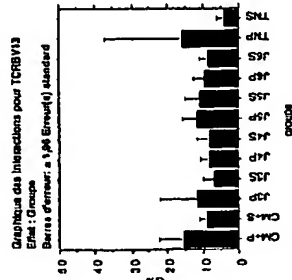
Barres d'erreur : à 1,96 Erreur(1) standard

Test : PLS2 sur l'axe pour "CMBV13									
Niveau de Significativité : 10 %									
Orig.	Orig.	Orig.	Orig.	Orig.	Orig.	Orig.	Orig.	Orig.	Orig.
CMBP_CMS_3	8,500	4,303	2169	\$					
CMBP_C3P	3,969	6,761	-0474						
CMBP_C5S	8,500	7,197	-0120	\$					
CMBP_C4P	8,500	5,076	-0120	\$					
CMBP_C4S	7,218	8,978	-0168	\$					
CMBP_C5P	4,053	5,916	-1733						
CMBP_C5S	4,921	6,021	-1076						
CMBP_C4P	6,976	6,021	-0110	\$					
CMBP_C4S	6,998	6,767	-0160	\$					
CMBP_TNP	-1,163	9,103	8610						
CMBP_TNS	11,851	7,197	-0101	\$					
CMBP_C3P	-2,640	6,521	-4277						
CMBP_C3S	1,981	6,988	-5717						
CMBP_C4P	-8,009	5,618	-7478						
CMBP_C4S	6,10	5,618	3274						
CMBP_C5P	-2,847	5,618	6500						
CMBP_C5S	-1,679	5,770	5933						
CMBP_C6P	-0,621	6,770	9305						
CMBP_C6S	-3,98	5,494	-8860						
CMBP_C7P	-0,768	6,928	-1343						
CMBP_C7S	6,531	6,928	1312						
CMBP_C8P	4,630	7,479	-2210						
CMBP_C8S	3,548	8,219	2519						
CMBP_C9P	3,535	6,219	3288						
CMBP_C9S	-0,93	8,219	-9783						
CMBP_C10P	6,81	6,358	7639						
CMBP_C10S	2,018	6,358	5216						
CMBP_C11P	3,036	6,107	3247						
CMBP_C11S	-4,140	9,324	3719						
CMBP_C12P	7,489	7,473	-0388	\$					
CMBP_C12S	-1,082	8,700	-7412						
CMBP_C13P	-1,374	6,700	6837						
CMBP_C13S	-4,637	6,700	1811						
CMBP_C14P	-3,868	6,627	2674						
CMBP_C14S	-2,812	6,827	4478						
CMBP_C15P	-1,584	6,598	3312						
CMBP_C15S	-8,779	9,493	-0740						
CMBP_C16P	3,300	7,884	-3911						
CMBP_C16S	-2,92	5,356	1130						
CMBP_C17P	-3,456	6,266	1640						
CMBP_C17S	-1,830	5,417	5590						
CMBP_C18P	-1,630	5,417	5746						
CMBP_C18S	-5,312	5,123	3406						
CMBP_C19P	-7,698	6,718	-0053						
CMBP_C19S	4,462	6,700	1053						
CMBP_C20P	-3,103	5,256	3390						
CMBP_C20S	-2,285	5,417	1699						
CMBP_C21P	-1,638	5,417	6451						
CMBP_C21S	-2,220	6,123	3761						
CMBP_C22P	-7,403	6,718	-0841						
CMBP_C22S	7,808	6,700	2931						
CMBP_C23P	1,057	5,374	7361						
CMBP_C23S	8,078	5,268	-4991						
CMBP_C24P	-5,110	8,614	2911						
CMBP_C24S	7,036	6,837	6,067						
CMBP_C25P	1,010	5,288	7257						
CMBP_C25S	-6,147	8,814	-1371						
CMBP_C26P	5,923	6,837	-0165						
CMBP_C26S	-7,195	6,835	-1013						
CMBP_C27P	4,855	6,598	-1,081						
CMBP_C27S	11,140	9,645	-0145						

Tableau ANOVA pour TCR6V113						
	ddl	Somme des carrés	Carré moyen	Valeur de F	Lambda	Puissance
Groupe	11	662,770	51,787	1,458	1019	18,243
Residu	68	2155,053	31,253			

Tableau de moyennes pour TCRB13

Effet : Groupe	Nombre	Moyenne	Dw.	Std.	Er. Std.
Chap	6	10,033	6,177	3,338	
Chap, J3P	7	9,444	2,238	8,616	
Chap, J3S	12	10,033	11,473	5,131	
J3P	4	7,433	2,623	1,312	
J3S	6	8,515	3,608	1,802	
J4P	8	8,537	4,794	1,976	
J4S	8	12,000	6,015	2,003	
J5P	6	11,332	5,742	2,350	
J5S	6	10,025	3,650	1,361	
J6P	10	10,033	3,607	1,014	
J6S	2	10,247	13,161	10,720	
TNS	4	4,103	2,133	1,067	



Graphique des interactions pour TCRB13

Effet : Groupe

Barres d'erreur : à 1,96 Erreur(1) standard

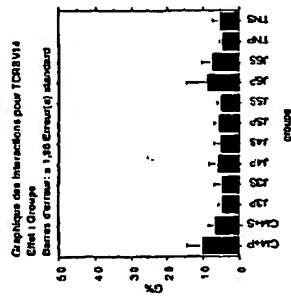
Tafelau ANOVA pour TCR8V14

Grupo	Salário das câmaras	Carré moyen	Valeur de F	Valeur de p	Limite	Puissance
11	231,107	21,010	1,322	2,319	14,537	,847
68	1081,038	15,098				

Tableau de moyennes pour TCABV14

Effet : Groupe	Numbers	Means	Maxima	Dev. Std.	Err. Std.
Chap-3	6	10.551	5.149	2.103	
Chap-3	7	7.043	1.980	.752	
J3P	5	4.884	1.228	.567	
J33	4	* 9.06	2.207	1.072	
J4P	9	6.371	3.227	1.068	
J43	8	5.163	2.962	.951	
J5P	3	5.045	1.246	.443	
J53	9	5.140	1.931	.531	
J6P	9	6.980	5.086	2.959	
J63	8	7.616	4.177	1.477	
Tnp	2	5.030	.384	.371	
Tns	4	6.486	1.950	.951	

Graphique des interactions pour TCRB.V14



790ms, 1

Test 25.50: Student name: _____

	Dil.	mo.	Dil.	cr.	Veter. p.
Ch+P, Ch+S	3,600	4,428	1,184		
Ch+P, JP	6,686	4,718	2,026	a	
Ch+P, JS	6,642	4,130	2,910	b	
Ch+P, JP	4,160	4,193	9307		
Ch+P, JS	5,388	4,193	0,120	b	
Ch+P, JP	4,504	4,287	0,001	b	
Ch+P, JS	5,441	4,193	0,122	b	
Ch+P, JP	1,571	4,193	4,572		
Ch+P, JS	2,622	4,297	1,778		
Ch+P, TP	6,521	4,896	0,945		
Ch+P, TS	2,068	4,130	0,531		
Ch+S, JP	2,168	4,898	3,562		
Ch+S, JS	2,131	4,897	3,769		
Ch+S, JP	673	4,010	7,268		
Ch+S, JS	1,680	4,010	3,327		
Ch+S, JP	889	4,118	8,200		
Ch+S, JS	1,903	4,010	3,468		
Ch+S, JP	1,937	4,010	3,866		
Ch+S, JS	5,78	4,118	7,810		
Ch+S, TP	7,018	4,378	5,910		
Ch+S, TS	1,358	4,897	5,531		
JP, JS	-0,24	4,337	9,626		
JP, JP	1,487	4,435	5,053		
JP, JS	-280	4,435	8,001		
JP, JP	-1,161	4,436	5,111		
JP, JS	-1,658	4,438	9,065		
JP, JP	-0,097	4,438	0,068		
JP, JS	-7,736	4,530	3,278		
JP, TP	-1,147	4,837	9,651		
JP, TS	-602	4,337	9,226		
JS, JP	-1,482	4,781	5,438		
JS, JS	-2,953	4,781	9,198		
JS, JP	-1,137	4,672	6,431		
JS, JS	-232	4,781	9,223		
JS, JP	-4,072	4,781	0,938		
JS, JS	-2,111	4,878	2,700		
JS, TP	-1,121	4,800	9,720		
JS, TS	-877	4,676	6,984		
JP, JS	1,109	3,781	6,227		
JP, JP	328	3,668	6,648		
JP, JS	1,131	3,751	5,148		
JP, JP	-8,009	3,751	1,988		
JP, JS	-1,148	3,868	5,215		
JP, TP	1,441	4,200	4,818		
JP, TS	1,955	4,781	7,718		
JP, JS	-1,02	3,668	6,606		
JP, JS	-0,23	3,751	9,002		
JP, JS	-3,117	3,751	0,682	s	
JP, JS	-2,166	3,668	2,092		
JP, TP	1,133	4,200	3,681		
JP, TS	-1,222	4,781	9,934		
JP, JS	1,005	3,668	4,781		
JP, JP	-2,138	3,668	1,344		
JP, JS	-1,474	3,978	1,922		
JP, TP	1,015	4,780	7,485		
JP, TS	1,569	4,672	4,184		
JS, JP	-3,140	3,751	9,448		
JP, JS	-2,170	3,668	6,050		
JP, TP	1,110	4,220	9,720		
JP, JS	-1,848	4,781	9,858		
JP, JS	1,381	3,668	4,840		
JP, TP	3,350	4,220	2,084		
JP, TS	3,495	4,781	1,493		
JP, TS	6,590	4,781	4,163		
JP, TS	2,134	4,872	3,852		
JP, TS	-1,455	4,890	9,955		

Geometrie der Intervallzahlen von W. RUDIN

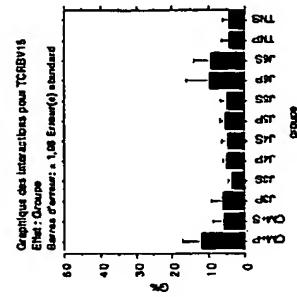


Tableau ANOVA pour TCRBV16

cat	Somme des carrés	Carré moyen	Valeur de F	Limite	Probabilité
Groupe	11	1366,810	124,256	2,439	.0125
Residu	68	3413,904	50,204		.915

Test FLSO de Fisher pour TCRBV16

cat	Somme des carrés	Carré moyen	Valeur de F	Limite	Probabilité
Groupe	11	1366,810	124,256	2,439	.0125
Residu	68	3413,904	50,204		.915

cat	Somme des carrés	Carré moyen	Valeur de F	Limite	Probabilité
Groupe	11	1103,387	100,751	2,419	.0123
Residu	71	8937,431	125,880		.934

Tableau de moyennes pour TCRBV16

cat	Nombre	Moyenne	Min	Max	Er. Std.
Chap	6	17,838	6,182	2,824	
Chap	7	8,311	1,933	2,731	
JSP	5	8,405	2,491	1,114	
JSP	4	8,233	1,812	904	
JSP	3	5,668	1,382	481	
JSP	2	5,935	1,489	483	
JSP	1	8,928	4,833	1,414	
JSP	10	11,178	11,824	3,771	
JSP	8	13,105	7,046	2,348	
JSP	10	13,175	9,708	3,070	
TNS	2	5,439	1,203	851	
TNS	3	4,811	1,681	1,073	

Graphique des interactions pour TCRBV16

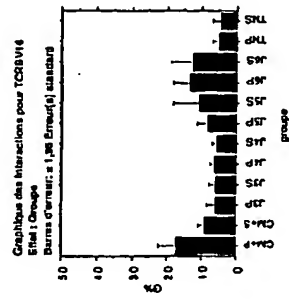
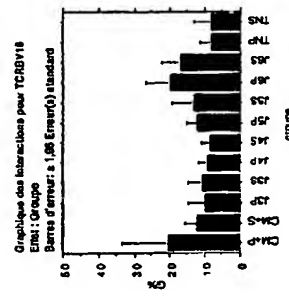


Figure 68

Tableau de moyennes pour TCRBV16

cat	Nombre	Moyenne	Min	Max	Er. Std.
Chap	6	20,823	14,285	6,394	
Chap	7	11,000	4,468	1,884	
JSP	4	19,425	4,718	2,359	
JSP	4	11,107	5,892	1,991	
JSP	8	9,540	3,210	1,135	
JSP	8	11,342	4,375	1,458	
JSP	10	11,000	9,823	3,109	
JSP	10	20,135	9,702	3,353	
JSP	10	17,530	7,808	2,488	
TNS	2	5,397	2,214	1,505	
TNS	4	8,310	5,022	2,511	

Graphique des interactions pour TCRBV16



Test FLSO de Fisher pour TCRBV16

cat	Somme des carrés	Carré moyen	Valeur de F	Limite	Probabilité
Groupe	11	1366,810	124,256	2,439	.0125
Residu	68	3413,904	50,204		.915

cat	Diff. moy.	Diff. crit.	Valeur F
Chap	6,463	6,339	.0488
Chap	10,488	8,554	.0318
Chap	9,726	5,554	.0433
Chap	11,883	6,119	.0007
Chap	12,184	7,844	.0031
Chap	9,808	7,844	.0344
Chap	7,414	7,801	.0821
Chap	.069	6,119	.9861
Chap	3,383	7,801	.3861
Chap	12,536	11,816	.0293
Chap	12,004	9,554	.0103
Chap	2,055	6,827	.8509
Chap	1,283	6,927	.7734
Chap	2,820	7,371	.4320
Chap	3,121	7,177	.3045
Chap	.119	7,177	.9738
Chap	-1,048	7,019	.7663
Chap	-7,775	7,371	.0280
Chap	-5,070	7,019	.1541
Chap	4,073	11,419	.4709
Chap	4,141	8,927	.3879
JSP	-7,742	10,071	.8839
JSP	.884	6,721	.8402
JSP	1,888	6,558	.8955
JSP	-1,917	8,428	.4877
JSP	-3,084	8,428	.1477
JSP	-9,810	8,721	.0281
JSP	-7,105	8,428	.0970
JSP	9,038	12,334	.7420
JSP	3,108	10,071	.0778
JSP	1,628	6,721	.7110
JSP	2,428	6,558	.5732
JSP	-1,172	6,859	.7886
JSP	-2,322	6,428	.5910
JSP	-9,008	6,721	.0113
JSP	-6,353	6,428	.1385
JSP	2,760	12,334	.6543
JSP	2,848	10,071	.5744
JSP	.801	6,920	.8105
JSP	-2,901	6,920	.4272
JSP	-3,968	6,786	.2462
JSP	-10,684	7,121	.0038
JSP	-7,889	6,718	.0277
JSP	1,153	11,259	.4388
JSP	1,221	6,721	.7807
JSP	-3,602	6,714	.2881
JSP	-4,770	6,544	.1594
JSP	-7,603	6,920	.0290
JSP	-5,169	6,544	.1182
JSP	3,955	11,134	.4807
JSP	4,023	8,558	.3537
JSP	-4,728	6,755	.0510
JSP	-1,167	6,544	.7230
JSP	-7,603	6,920	.0290
JSP	-4,021	6,389	.2143
JSP	6,122	11,032	.3572
JSP	6,190	8,429	.2128
JSP	2,709	6,755	.4121
JSP	11,848	11,259	.0385
JSP	11,918	8,721	.0081
JSP	9,143	11,032	.1028
JSP	9,211	8,428	.0128
JSP	.088	12,334	.9113

Tableau ANOVA pour TCRBIV20

ddl	Somme des Carrés	Carré moyen	Valeur de F	Limite de p	Puissance
11	1340,545	121,868	2,791	0,044	30,703
72	3143,624	43,661			

Tableau de moyennes pour TCRBIV20

Effet : Groupe				
Nombre	Moyenne	Dev. Std.	Err. Std.	
CM+P	5	27,772	16,719	7,477
CM+S	7	11,553	4,473	1,690
J3P	5	10,075	982	439
J3S	4	11,679	3,970	1,985
J4P	10	13,662	5,854	1,851
J4S	9	11,867	5,898	1,939
J6P	10	10,633	4,189	1,396
J6S	10	11,711	5,365	1,697
J8P	9	15,138	7,611	2,537
J8S	10	13,643	7,766	2,453
TNP	2	11,871	2,021	1,429
TNS	4	9,130	2,304	1,152

Graphique des interactions pour TCRBIV20

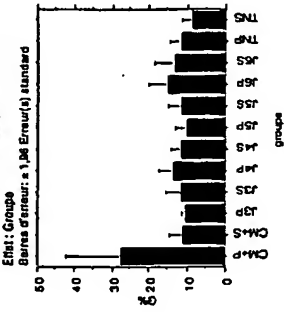


Figure 69

Test PLSD de Fisher pour TCRBIV20

Effet : Groupe

Niveau de significativité : 5 %

Diff. moy.	Diff. crit.	Valeur p
CM+P, CM+S	16,418	7,713 <.0001 S
CM+P, J3P	17,147	6,331 <.0001 S
CM+P, J3S	16,002	6,836 <.0003 S
CM+P, J4P	13,910	7,215 <.0003 S
CM+P, J4S	16,934	7,347 <.0001 S
CM+P, J6P	17,238	7,347 <.0001 S
CM+P, J6S	16,001	7,215 <.0001 S
CM+P, J8P	12,434	7,347 <.0010 S
CM+P, J8S	14,128	7,216 <.0002 S
CM+P, TNP	16,901	11,021 <.0002 S
CM+P, TNS	16,642	6,636 <.0001 S
CM+S, J3P	7,28	7,713 <.0513
CM+S, J3S	-326	8,258 <.0374
CM+S, J4P	-2,409	6,491 <.4435
CM+S, J4S	-4,975	6,639 <.0823
CM+S, J6P	819	6,638 <.0053
CM+S, J6S	-358	6,491 <.0128
CM+S, J8P	-2,765	6,638 <.2594
CM+S, J8S	-2,791	6,491 <.4810
CM+S, TNP	-319	10,561 <.0224
CM+S, TNS	2,223	6,266 <.0931
J3P, J3S	-1,054	6,836 <.8126
J3P, J4P	-2,237	7,215 <.3741
J3P, J4S	-1,223	7,347 <.7410
J3P, J6P	-1,086	7,215 <.7650
J3P, J6S	-4,513	7,347 <.0247
J3P, J8P	-3,019	7,216 <.4070
J3P, J8S	-1,246	11,021 <.0223
J3P, TNP	1,405	6,636 <.7989
J3P, TNS	-2,183	7,793 <.0783
J3S, J4P	-1,168	7,916 <.8963
J3S, J4S	1,146	7,915 <.7728
J3S, J6P	-3,469	7,916 <.3868
J3S, J6S	-1,964	7,793 <.6169
J3S, J8P	-1,182	11,407 <.0734
J3S, J8S	2,850	9,314 <.0970
J4P, J4S	2,014	6,052 <.0091
J4P, J6P	3,328	6,052 <.0786
J4P, J6S	2,151	6,691 <.6830
J4P, J8P	-1,278	6,052 <.0755
J4P, J8S	218	5,691 <.9413
J4P, TNP	4,732	7,793 <.0300
J4P, TNS	1,314	6,208 <.0744
J4S, J6P	-3,280	6,209 <.0843
J4S, J6S	-1,768	6,052 <.5580
J4S, TNP	-923	10,297 <.0984
J4S, TNS	2,719	7,916 <.4958
J6P, J6S	-1,177	6,052 <.0993
J6P, J8P	-4,804	6,209 <.1437
J6P, J8S	-3,110	6,052 <.3091
J6P, TNP	-1,537	10,297 <.0984
J6P, TNS	1,404	7,915 <.7247
J6S, J8P	-3,427	6,052 <.0827
J6S, J8S	-1,832	5,491 <.6163
J6S, TNP	-1,160	10,203 <.0751
J6S, TNS	2,581	7,793 <.0112
J8P, J8S	1,494	6,052 <.0241
J8P, TNP	3,267	10,297 <.0591
J8P, TNS	6,008	7,916 <.1348
J8S, TNP	1,773	10,203 <.7301
J8S, TNS	4,514	7,793 <.0520
TNP, TNS	2,741	11,407 <.6334

Test F-LSD de Fisher pour TCRBV01

Effet : Groupe
Niveau de signification : 5 %

	Diff. moy.	Diff. crit.	Valeur p.
CM4-P, CM4-S	-0,03	4,815	8949
CM4-P, JSP	3,265	5,083	2320
CM4-P, JSS	4,837	5,498	0971
CM4-P, TNP	5,009	4,680	0246
CM4-P, TNS	4,259	4,815	0932
CM4-S, JSP	3,268	5,388	2276
CM4-S, JSS	4,441	5,203	0880
CM4-S, TNP	5,813	4,652	0184
CM4-S, TNS	4,862	4,493	0921
JSP, JSS	1,352	6,005	6550
JSP, TNP	2,324	5,445	3979
JSP, TNS	874	5,388	7187
JSS, TNP	1872	5,283	7143
JSS, TNS	-378	5,209	8864
TNP, TNS	-1,350	4,552	8545

Tableau ANOVA pour TCRBV01

ddl	Somme des carrés	Carré moyen	Valeur de F	Valeur de p	Limode	Puissance
3	432,88	86,18	2,011	0,068	10,854	,840
75	3272,846	43,638				

Tableau de moyennes pour TCRBV01

Nombre	Moyenne	Diff. Std.	Err. Std.
CM4-P	11,087	8,346	2,315
CM4-S	17,1091	6,232	1,988
JSP	8,2402	9,117	2,039
JSS	10,4589	1,723	,851
TNP	14,478	1,746	,438
TNS	17,8228	6,168	1,503

Graphique des interactions pour TCRBV01

Effet : Groupe
Barres d'erreur : 1,98 Erreur(s) standard

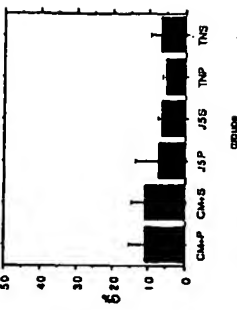


Figure 70

Tableau ANOVA pour TCRBV02

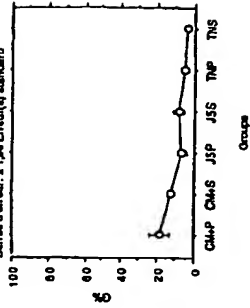
ddl	Somme des carrés	Carré moyen	Valeur de F	Valeur de p	Limode	Puissance
3	2850,846	452,182	12,348	<0,001	91,745	1,000
75	2850,018	35,819				

Tableau de moyennes pour TCRBV02

Nombre	Moyenne	Diff. Std.	Err. Std.
CM4-P	10,18,062	11,485	2,871
CM4-S	17,13,354	4,730	1,147
JSP	8,8,819	3,810	1,272
JSS	10,8,401	4,782	1,512
TNP	16,5,488	2,644	,738
TNS	18,4,234	2,115	,528

Graphique des interactions pour TCRBV02

Effet : Groupe
Barres d'erreur : 1,98 Erreur(s) standard



Test F-LSD de Fisher pour TCRBV03

Effet : Groupe
Niveau de signification : 5 %

	Diff. moy.	Diff. crit.	Valeur p.
CM4-P, CM4-S	6,348	4,188	,0018
CM4-P, JSP	11,886	5,070	<0,001
CM4-P, JSS	10,382	4,388	,0001
CM4-P, TNP	13,184	4,238	<0,001
CM4-P, TNS	14,448	4,358	<0,001
CM4-S, JSP	5,518	4,888	,0288
CM4-S, JSS	3,932	4,801	,1089
CM4-S, TNP	6,838	4,188	,0012
CM4-S, TNS	6,100	4,188	,0002
JSP, JSS	-1,585	5,538	,5703
JSP, TNP	1,318	5,020	,6277
JSP, TNS	2,582	5,020	,3089
JSS, TNP	2,803	4,856	,2372
JSS, TNS	-4,187	4,888	,0910
TNP, TNS	1,284	4,358	,5882

CM4+ contains J6
TN contains J3

Test PLSD de Fisher pour TCRB104
Effet : Groupe
Niveau de signification: 0 %

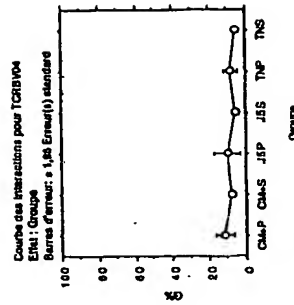
	DM. moy.	DM. crit.	Valeur p
CM-P, CM-S	4,090	4,797	,0853
CM-P, JSP	1,404	5,676	,5744
CM-P, JSS	6,223	5,593	,0270
CM-P, TNP	3,388	4,797	,1435
CM-P, TNS	5,096	4,864	,0147
CM-S, JSP	2,460	5,476	,3741
CM-S, JSS	2,101	5,297	,4181
CM-S, TNP	4,074	4,559	,2875
CM-S, TNS	2,023	4,928	,3950
JSP, JSS	4,021	5,107	,1380
JSP, TNP	1,781	5,476	,3193
JSP, TNS	4,488	5,538	,1107
JSS, TNP	2,840	5,297	,2880
JSS, TNS	1,133	5,158	,8607
TNP, TNS	2,703	4,928	,2420

Tableau ANOVA pour TCRB104
Effet : Groupe
Somme des carrés Carré moyen Valeur de F Limite de P Puissance

Groupe	SS	MS	F	P	Power
CM-P	380,352	76,070	1,752	,1328	0,793
CM-S	3,930,317	44,550			

Tableau de moyennes pour TCRB104

Nombre	Moyenne	DM. Std.	Err. Std.
CM-P	14	11,224	3,503
CM-S	17	7,858	3,033
JSP	9	10,016	10,832
JSS	10	5,165	2,812
TNP	17	8,235	7,874
TNS	18	5,528	1,724



Test PLSD de Fisher pour TCRB103
Effet : Groupe
Niveau de signification: 0 %

	DM. moy.	DM. crit.	Valeur p
CM-P, CM-S	2,271	4,018	,2615
CM-P, JSP	9,370	4,951	,0002
CM-P, JSS	5,474	4,687	,0210
CM-P, TNP	8,023	4,018	,0001
CM-P, TNS	11,201	4,018	,0001
CM-S, JSP	7,599	4,687	,0028
CM-S, JSS	3,103	4,018	,1610
CM-S, TNP	9,022	3,687	,0005
CM-S, TNS	8,880	3,687	,0001
JSP, JSS	4,385	5,376	,1076
JSP, TNP	1,722	4,689	,2448
JSP, TNS	1,381	4,689	,5703
JSS, TNP	3,593	4,516	,1187
JSS, TNS	5,727	4,516	,0127
TNP, TNS	2,185	3,687	,2658

Tableau ANOVA pour TCRB103
Effet : Groupe
Somme des carrés Carré moyen Valeur de F Limite de P Puissance

Groupe	SS	MS	F	P	Power
CM-P	1527,489	305,498	9,423	<,0001	1,000
CM-S	2527,492	32,404			

Tableau de moyennes pour TCRB103

Nombre	Moyenne	DM. Std.	Err. Std.
CM-P	15	15,893	6,018
CM-S	17	13,322	7,788
JSP	6	5,783	1,245
JSS	10	10,181	5,355
TNP	17	8,550	6,854
TNS	17	4,402	1,388

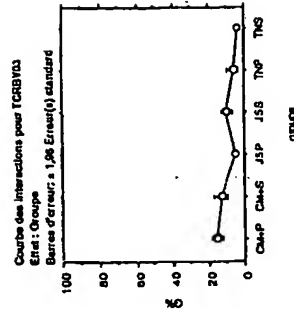


Figure 71

Tableau ANOVA pour TCRBV03.2

dd	Somme des carrés	Carré moyen	Valeur de F	Limite p	Puissance	
Groupe	5	910,120	183,238	7,484	<0,001	37,316
Réidu	74	121,741	24,551			

Test F.L.S.D. de Fisher pour TCRBV03.2
Effet : Groupe
Niveau de signification : 5 %

	Diff.	mo.	Diff.	crit.	Valeur p
CM-P, CM-S	9,823	3,837	0,003	S	
CM-P, JSP	-5,52	4,436	0,117	S	
CM-P, JSS	9,144	4,183	0,002	S	
CM-P, TNP	4,745	3,741	0,136	S	
CM-P, TNS	8,442	3,637	0,001	S	
CM-S, JSP	-7,186	4,233	0,012	S	
CM-S, JSS	1,511	3,835	0,466	S	
CM-S, TNP	-1,690	3,497	0,553	S	
CM-S, TNS	1,808	3,365	0,607	S	
JSP, JSS	6,077	4,663	0,004	S	
JSP, TNP	5,277	4,322	0,014	S	
JSP, TNS	6,874	4,228	0,003	S	
JSS, TNP	-3,400	4,031	0,070	S	
JSS, TNS	288	3,935	0,806	S	
TNP, TNS	5,617	3,497	0,035	S	

Tableau de moyennes pour TCRBV03.2

	Nombre	Moyenne	Dev. Std.	Err. Std.
CM-P	13	16,558	7,514	2,084
CM-S	17	9,921	3,885	0,943
JSP	8	17,091	3,760	1,326
JSS	10	6,415	6,726	2,127
TNP	13	11,815	5,058	1,313
TNS	17	6,117	3,031	0,742

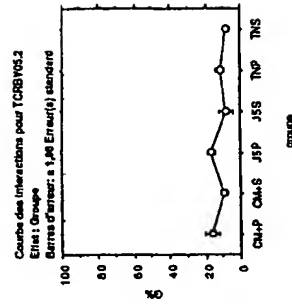


Tableau ANOVA pour TCRBV03.1

Groupe	5	1117,286	223,459	3,028	0,012	15,128
Réidu	85	6056,617	77,825			

Tableau de moyennes pour TCRBV03.1

	Nombre	Moyenne	Dev. Std.	Err. Std.
CM-P	14	22,742	6,378	2,239
CM-S	15	17,817	8,119	2,018
JSP	7	20,389	8,075	3,233
JSS	8	15,429	9,203	2,652
TNP	13	19,407	12,770	3,526
TNS	14	10,488	4,002	1,070

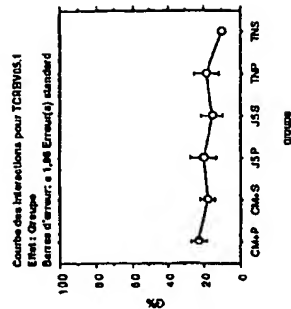


Figure 72

Tableau ANOVA pour TCRB07

ddl	Somme des carrés	Carré moyen	Valeur de F	Valeur de p	Lamode	Puissance
5	780,066	157,013	2,427	,0409	12,237	,745
Rédu	8087,612	84,400				

Tableau de moyennes pour TCRB07

Effet : Groupe

Nombre	Moyenne	Dev. Std.	Er. Std.
CM-P	15	12,907	3,228
CM-S	17	13,432	3,233
JSP	9	7,457	2,430
JSS	9	10,375	5,103
TNP	17	9,357	2,446
TNS	15	10,441	3,028

Tableau de moyennes pour TCRB07

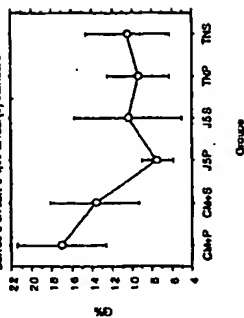


Figure 73

Test PLSD de Fisher pour TCRB07

Effet : Groupe

ddl	Somme des carrés	Carré moyen	Valeur de F	Valeur de p
5	3,375	0,675	0,001	0,999
Rédu	8,538	0,723	0,001	0,999
CM-P	6,631	0,723	0,001	0,999
CM-S	7,650	0,650	0,007	0,993
JSP	6,548	0,595	0,013	0,987
JSS	6,215	0,555	0,040	0,960
TNP	5,307	0,485	0,208	0,750
TNS	4,325	0,478	0,201	0,750
CM-P, JSP	3,241	0,402	0,360	0,750
CM-S, JSS	2,808	0,350	0,444	0,750
JSP, TNP	1,880	0,188	0,001	0,999
JSS, TNS	2,874	0,287	0,001	0,999
CM-P, CM-S	1,018	0,102	0,001	0,999
JSP, JSS	1,008	0,101	0,001	0,999
TNP, TNS	1,084	0,108	0,001	0,999

Tableau ANOVA pour TCRB07

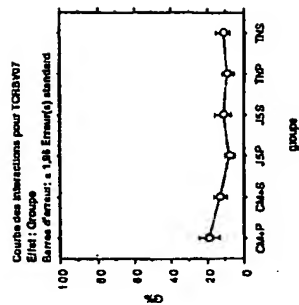
Effet : Groupe

ddl	Somme des carrés	Carré moyen	Valeur de F	Valeur de p	Lamode	Puissance
5	1142,801	228,560	3,381	,0034	16,006	,888
Rédu	5372,547	89,509				

Tableau de moyennes pour TCRB07

Effet : Groupe

Nombre	Moyenne	Dev. Std.	Er. Std.
CM-P	15	10,350	3,010
CM-S	17	10,066	2,813
JSP	9	7,781	2,973
JSS	10	11,235	3,477
TNP	15	9,017	2,486
TNS	13	11,242	3,360



Test PLSD de Fisher pour TCRB07

Effet : Groupe

ddl	Somme des carrés	Carré moyen	Valeur de F	Valeur de p
5	5,106	1,021	0,001	0,999
Rédu	11,468	0,821	0,001	0,999
CM-P	6,015	0,701	0,007	0,993
CM-S	10,433	0,599	0,007	0,993
JSP	8,008	0,533	0,008	0,993
JSS	5,823	0,527	0,008	0,993
TNP	1,878	0,188	0,001	0,999
TNS	4,247	0,425	0,001	0,999
CM-P, JSP	1,622	0,162	0,001	0,999
CM-S, JSS	3,454	0,345	0,001	0,999
JSP, TNP	1,036	0,104	0,001	0,999
JSS, TNS	3,461	0,346	0,001	0,999
CM-P, CM-S	2,418	0,242	0,001	0,999
JSP, JSS	2,007	0,201	0,001	0,999
TNP, TNS	2,425	0,243	0,001	0,999

Test PLSD de Fisher pour TCRBVol.2

Effet : Groupe
Niveau de signification: 5 %

	Diff. moy.	Diff. crt.	Diff. crt.	Diff. crt.	Diff. crt.
CM-P, CM-S	-0.086	3.763	1.6023		
CM-P, JSP	1.073	4.821	1.4732		
CM-P, TNS	1.802	4.317	1.3817		
CM-P, TNS	2.586	3.783	1.754		
CM-P, TNS	1.962	3.715	2.013		
CM-S, JSP	2.082	4.470	1.2394		
CM-S, JSP	2.086	4.185	1.6882		
CM-S, TNS	3.572	3.576	1.0502		
CM-S, TNS	2.031	3.526	1.020		
JSP, JSS	234	4.846	0.250		
JSP, TNS	1012	4.470	0.888		
JSP, TNS	288	4.490	0.041		
JSS, TNS	677	4.185	1.664		
JSS, TNS	034	4.112	0.887		
TNS, TNS	-843	3.526	1.776		

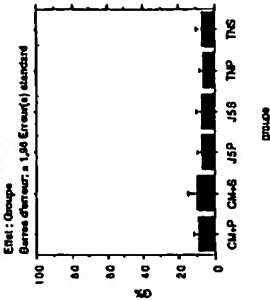
Tableau ANOVA pour TCRBVol.2

df	Somme des carrés	Carré moyen	Valeur de F	Valeur de p	Lambda	Puissance
Groupe	8	160.431	35.088	1.017	0.888	0.814
Residu	76	2.150.073	27.424			

Tableau de moyennes pour TCRBVol.2

Nombre	Moyenne	Dev. Std.	Er. Std.
CM-P	14	9.168	4.674
CM-S	17	10.574	7.937
JSP	8	2.115	2.882
JSS	10	2.076	4.139
TNS	17	2.001	5.138
TNS	18	7.644	5.285

Graphique des interactions pour TCRBVol.2



Test PLSD de Fisher pour TCRBVol.1

Effet : Groupe
Niveau de signification: 5 %

	Diff. moy.	Diff. crt.	Diff. crt.	Diff. crt.	Diff. crt.
CM-P, CM-S	-2.297	2.760	0.808		
CM-P, JSP	3.375	3.256	0.424		
CM-P, JSS	3.222	3.155	0.214		
CM-P, TNS	3.663	2.750	0.017		
CM-P, TNS	4.825	2.715	0.008		
CM-S, JSP	3.671	3.141	0.228		
CM-S, JSS	4.018	3.037	0.102		
CM-S, TNS	3.859	2.614	0.035		
CM-S, TNS	5.172	2.877	0.001		
JSP, JSS	347	3.501	8.412		
JSP, TNS	288	3.141	2.888		
JSP, TNS	1.500	3.111	3.400		
JSS, TNS	-0.559	3.037	0.693		
JSS, TNS	1.154	3.005	4.471		
TNS, TNS	1.819	8.877	35.10		

Tableau ANOVA pour TCRBVol.1

df	Somme des carrés	Carré moyen	Valeur de F	Valeur de p	Lambda	Puissance
Groupe	5	389.610	79.362	0.005	0.005	0.913
Residu	79	1137.847	14.655			

Tableau de moyennes pour TCRBVol.1

Nombre	Moyenne	Dev. Std.	Er. Std.
CM-P	14	10.344	4.444
CM-S	17	10.440	6.381
JSP	8	6.888	1.829
JSS	10	6.822	2.787
TNS	17	6.881	1.823
TNS	18	5.493	2.592

Graphique des interactions pour TCRBVol.1

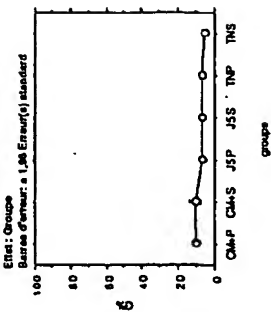


Figure 74

Tableau ANOVA pour TCRBVol3

Effet : Groupe

Niveau de signification : 5 %

Source	SS	df	MS	F	p-value	Power
Group	485.185	19	25.536	3.518	.0084	0.98
Residual	222.023	28	7.929			

Tableau des moyennes pour TCRBVol3

Effet : Groupe

Group	Mean	Stdev	df	Lower CI	Upper CI
CM-P	9.855	10.118	2,521		
CM-S	6.590	5.555	1,342		
JSP	6.072	2.450	.968		
JSS	3.777	1.722	.543		
TNP	4.949	2.433	.590		
TNS	3.743	1.408	.341		

Graphique des interactions pour TCRBVol3

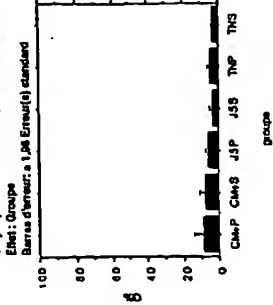


Figure 75

Test PLSD de Fisher pour TCRBVol3

Effet : Groupe

Niveau de signification : 5 %

Source	SS	df	MS	F	p-value
Group	3.783	4	0.946	0.007	.9
Residual	4.808	3	1.603		

Tableau des moyennes pour TCRBVol3

Effet : Groupe

Group	Mean	Stdev	df	Lower CI	Upper CI
CM-P	15.22	13.552	3.403		
CM-S	12.10	10.176	10.654		
JSP	20.587	6.351	2.404		
JSS	12.018	10.703	3.764		
TNP	19.104	5.400	1.270		
TNS	14.248	6.373	2.417		

Graphique des interactions pour TCRBVol3

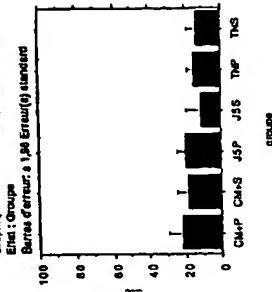


Tableau ANOVA pour TCRBVol3

Effet : Groupe

Niveau de signification : 5 %

Source	SS	df	MS	F	p-value	Power
Group	601.658	180	3.343	1.819	.1085	.901
Residual	8174.114	84	97.430			

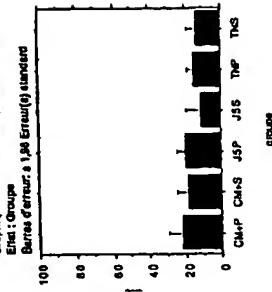
Test PLSD de Fisher pour TCRBVol3

Effet : Groupe

Niveau de signification : 5 %

Source	SS	df	MS	F	p-value
Group	3.512	7	0.502	0.007	.9
Residual	2.126	8	0.266		

Graphique des interactions pour TCRBVol3



Test PLSD de Fisher pour TCRBV11

Effet : Groupe
Niveau de signification: 5 %

	DM. moy.	DM. crt.	Valeur p
CM-P, CM-S	2,789	3,277	,0029
CM-P, JSP	6,070	3,992	,0045
CM-P, JSS	3,883	3,644	,0470
CM-P, TNP	6,432	3,277	,0016
CM-P, TNS	4,664	3,277	,0042
CM-S, JSP	3,071	3,948	,1253
CM-S, JSS	1,028	3,799	,5683
CM-S, TNP	2,640	3,223	,1070
CM-S, TNS	2,084	3,223	,2038
JSP, JSS	-1,172	4,430	,3270
JSP, TNP	-5,431	3,948	,0284
JSP, TNS	-1,008	3,948	,0130
JSS, TNP	1,541	3,799	,4214
JSS, TNS	,866	3,799	,6138
TNP, TNS	-,575	3,223	,2231

Tableau ANOVA pour TCRBV11

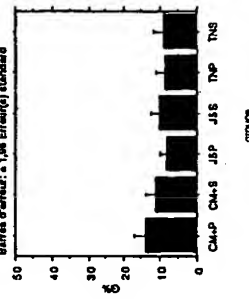
Groupe	SS	Somme des carrés	Carré moyen	Valeur de F	Valeur de p	Limite	Puissance
Réglé	74	1549,380	20,938	5,116	0,032	18,978	,857

Tableau de moyennes pour TCRBV11

Effet : Groupe	Nombre	Moyenne	DM. Std.	Er. Std.
CM-P	16	14,370	5,315	1,330
CM-S	16	11,871	4,674	1,169
JSP	9	8,600	3,232	,821
JSS	9	10,472	3,232	1,109
TNP	16	8,921	4,825	1,156
TNS	16	9,508	4,836	1,239

Graphique des interactions pour TCRBV11

Effet : Groupe
Barres d'erreur: à 1,96 Erreur(s) standard



Test PLSD de Fisher pour TCRBV10

Effet : Groupe
Niveau de signification: 5 %

	DM. moy.	DM. crt.	Valeur p
CM-P, CM-S	2,902	6,764	,2542
CM-P, JSP	5,284	7,072	,1908
CM-P, JSS	3,024	7,072	,4523
CM-P, TNP	4,183	6,764	,2108
CM-P, TNS	6,322	6,684	,0228
CM-S, JSP	1,583	7,072	,7508
CM-S, JSS	-0,878	7,072	,8270
CM-S, TNP	2,80	6,764	,0222
CM-S, TNS	2,421	6,684	,4717
JSP, JSS	-2,280	9,010	,8189
JSP, TNP	-1,082	7,072	,7858
JSP, TNS	1,039	7,867	,7938
JSS, TNP	1,186	7,867	,7712
JSS, TNS	3,898	7,867	,4975
TNP, TNS	2,131	6,664	,5593

Tableau de moyennes pour TCRBV10

Effet : Groupe	Nombre	Moyenne	DM. Std.	Er. Std.
CM-P	16	12,820	17,634	4,401
CM-S	16	9,710	3,801	,976
JSP	9	7,328	5,658	2,313
JSS	9	9,596	6,857	2,864
TNP	16	6,428	7,838	1,910
TNS	17	6,267	4,503	1,092

Graphique des interactions pour TCRBV10

Effet : Groupe
Barres d'erreur: à 1,96 Erreur(s) standard

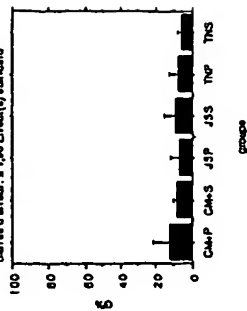


Figure 76

Test PLSD de Fisher pour TCRBV13

Effet : Groupe
Niveau de signification: 5 %

	Dét. moy.	Dét. crit.	Valeur p
CM-P, CM-S	3,417	4,112	.1020
CM-P, JSP	.937	4,988	.7981
CM-P, JSS	1,505	5,049	.8546
CM-P, TNP	2,021	4,180	.3373
CM-P, TNS	5,937	4,112	.0132
CM-S, JSP	-2,780	4,987	.2421
CM-S, JSS	-1,812	4,988	.3310
CM-S, TNP	-1,306	5,066	.4056
CM-S, TNS	1,821	5,066	.3563
JSP, JSS	.808	5,526	.7557
JSP, TNP	1,864	4,742	.5850
JSP, TNS	4,801	4,997	.0527
JSS, TNP	.517	4,833	.3353
JSS, TNS	3,733	4,885	.1321
TNP, TNS	3,216	5,066	.1106

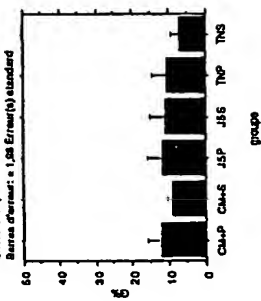
Tableau ANOVA pour TCRBV13

ddl	Somme des carrés	Carré moyen	Valeur de F	Valeur de p	Limite	Probance
Groupe	5	271,664	54,333	1,881	.1545	8,300
Réside	78	2,453,157	31,208			.541

Tableau de moyennes pour TCRBV13

Effet : Groupe	Nombre	Moyenne	Dét. Std.	Err. Std.
CM-P	14	12,837	5,867	1,552
CM-S	17	9,250	2,778	.973
JSP	9	12,000	6,015	2,005
JSS	9	11,132	5,742	2,030
TNP	18	10,816	6,055	2,014
TNS	17	7,400	4,181	1,007

Graphique des interactions pour TCRBV13



Test PLSD de Fisher pour TCRBV12

Effet : Groupe

Niveau de signification: 5 %

	Dét. moy.	Dét. crit.	Valeur p
CM-P, CM-S	5,216	5,059	.0435
CM-P, JSP	5,504	5,075	.0859
CM-P, JSS	4,389	5,088	.0308
CM-P, TNP	7,285	4,982	.0023
CM-P, TNS	4,121	4,982	.1043
CM-S, JSP	7,288	5,465	.0184
CM-S, JSS	1,980	5,462	.6940
CM-S, TNP	2,950	4,718	.3187
CM-S, TNS	-1,095	4,718	.6454
JSP, JSS	-7,782	5,225	.0002
JSP, TNP	1,782	5,585	.5316
JSP, TNS	-1,389	5,585	.6234
JSS, TNP	.870	5,400	.7215
JSS, TNS	-2,175	5,400	.4249
TNP, TNS	-3,145	4,647	.1817

Tableau ANOVA pour TCRBV12

ddl	Somme des carrés	Carré moyen	Valeur de F	Valeur de p	Limite	Probance
Groupe	5	440,110	88,022	1,802	.1038	8,510
Réside	78	3,517,037	45,077			.810

Tableau de moyennes pour TCRBV12

Effet : Groupe	Nombre	Moyenne	Dét. Std.	Err. Std.
CM-P	13	29,706	10,387	2,848
CM-S	18	21,490	8,750	1,438
JSP	9	21,202	7,031	2,244
JSS	10	20,410	5,881	1,803
TNP	17	19,440	4,775	1,158
TNS	17	22,593	7,478	1,813

Graphique des interactions pour TCRBV12

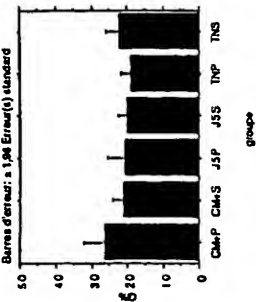


Figure 77

WO 2004/003820

Test PLSD de Fisher pour TCRBY15

Effet : Groupe
Niveau de signification : 5 %

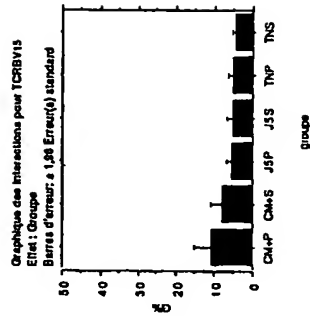
	DI1. moy.	DI1. crit.	Valeur p
CM-P, CM-S	2,886	3,272	.0732
CM-P, JSP	5,421	4,164	.0114
CM-P, JSS	5,524	3,726	.0043
CM-P, TNP	5,449	3,272	.0014
CM-P, TNS	6,422	3,272	.0002
CM-S, JSP	2,437	3,889	.2274
CM-S, JSS	2,441	3,640	.1580
CM-S, TNP	2,405	3,040	.1112
CM-S, TNS	3,434	3,040	.0275
JSP, JSS	.104	4,377	.9823
JSP, TNP	.026	3,889	.9869
JSP, TNS	1,001	3,889	.0184
JSS, TNP	.078	3,440	.9892
JSS, TNS	.889	3,440	.0148
TNP, TNS	.873	3,040	.5264

Tableau ANOVA pour TCRBY15

ddl	Somme des carrés	Carré moyen	Valeur de F	Valeur de p	Lambda	Puissance
Groupe	392,518	78,504	3,845	.0031	19,747	.938
Residu	1490,804	19,877				

Tableau de moyennes pour TCRBY15

Effet : Groupe	Nombre	Moyenne	DI1. Std.	DI1. Std.	DI1. Std.
CM-P	13	11,151	7,292	2,023	
CM-S	17	8,107	6,814	1,980	
JSP	7	6,790	1,647	.922	
JSS	10	6,626	1,658	.987	
TNP	17	6,702	2,065	.902	
TNS	17	4,728	1,804	.463	



Test PLSD de Fisher pour TCRBY14

Effet : Groupe
Niveau de signification : 5 %

	DI1. moy.	DI1. crit.	Valeur p
CM-P, CM-S	2,258	2,605	.1130
CM-P, JSP	3,564	3,383	.0381
CM-P, JSS	4,488	3,239	.0075
CM-P, TNP	3,870	2,781	.0066
CM-P, TNS	4,439	2,722	.0018
CM-S, JSP	1,308	3,383	.4417
CM-S, JSS	2,210	3,239	.1781
CM-S, TNP	1,612	2,781	.2484
CM-S, TNS	2,171	2,722	.1161
JSP, JSS	.805	3,733	.6303
JSP, TNP	.306	3,327	.8549
JSP, TNS	.868	3,284	.6020
JSS, TNP	-588	3,201	.7108
JSS, TNS	-039	3,187	.9803
TNP, TNS	.559	2,879	.8782

Tableau ANOVA pour TCRBY14

ddl	Somme des carrés	Carré moyen	Valeur de F	Valeur de p	Lambda	Puissance
Groupe	212,057	42,411	2,853	.0207	14,265	.918
Residu	1100,088	14,868				

Tableau de moyennes pour TCRBY14

Effet : Groupe	Nombre	Moyenne	DI1. Std.	DI1. Std.	DI1. Std.
CM-P	13	9,609	7,302	1,895	
CM-S	15	7,351	3,241	.837	
JSP	6	6,045	1,246	.440	
JSS	8	5,140	1,801	.534	
TNP	16	5,738	2,536	.639	
TNS	17	5,179	2,195	.532	

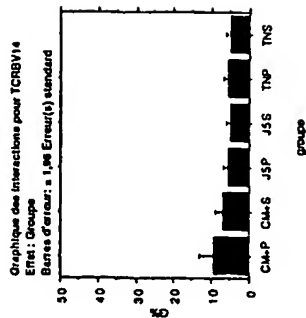


Figure 78

Test PLSD de Fisher pour TCRBV18

Effet : Groupe
Niveau de signification : 5 %

	Ddl	mo	Ddl	crit	Valeur p
CM+P, CM+S	5,057	5,118	0,0527		S
CM+P, JSP	6,166	6,024	0,088		S
CM+P, JSS	6,091	5,844	0,017		S
CM+P, TNP	10,871	5,351	0,001		S
CM+P, TNS	11,288	5,119	0,0001		S
CM+S, JSP	5,101	5,727	0,2643		S
CM+S, JSS	1,934	5,537	0,4897		S
CM+S, TNP	5,914	5,014	0,236		S
CM+S, TNS	9,231	4,765	0,111		S
JSP, JSS	-1,167	6,393	0,3654		S
JSP, TNP	2,713	5,328	0,3654		S
JSP, TNS	3,130	5,727	0,2707		S
JSS, TNP	3,860	6,782	0,030		S
JSS, TNS	4,397	5,637	0,1282		S
TNP, TNS	4,417	5,014	0,666		S

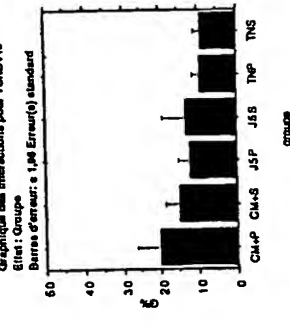
Tableau ANOVA pour TCRBV18

ddl	Somme des carrés	Carré moyen	Valeur de F	Valeur de p	Lambda	Puissance
5	1233,374	246,678	5,074	0,005	25,371	0,84
Residu	74	3597,369	48,613			

Tableau de moyennes pour TCRBV18

Effect : Groupe	Nombre	Moyenne	Dév. Std.	Err. Std.
CM+P	13	20,499	10,847	3,008
CM+S	17	15,442	8,932	1,886
JSP	9	12,342	4,375	1,450
JSS	10	13,609	9,823	3,108
TNP	14	8,829	3,391	9,06
TNS	17	8,211	3,882	9,41

Graphique des interactions pour TCRBV18



Test PLSD de Fisher pour TCRBV16

Effet : Groupe
Niveau de signification : 5 %

	Ddl	mo	Ddl	crit	Valeur p
CM+P, CM+S	3,850	4,456	0,1070		S
CM+P, JSP	6,497	5,303	0,172		S
CM+P, JSS	4,138	5,135	0,129		S
CM+P, TNP	6,910	4,521	0,002		S
CM+P, TNS	6,587	4,521	0,0001		S
CM+S, JSP	2,897	5,185	0,2763		S
CM+S, JSS	4,88	5,013	0,475		S
CM+S, TNP	5,291	4,391	0,166		S
CM+S, TNS	5,917	4,381	0,088		S
JSP, JSS	-2,331	5,778	0,203		S
JSP, TNP	2,433	5,241	0,3542		S
JSP, TNS	3,090	5,241	0,455		S
JSS, TNP	4,805	5,070	0,628		S
JSS, TNS	5,432	5,070	0,361		S
TNP, TNS	0,821	4,447	0,797		S

Tableau ANOVA pour TCRBV16

ddl	Somme des carrés	Carré moyen	Valeur de F	Valeur de p	Lambda	Puissance
5	893,378	178,676	4,070	0,005	24,866	0,82
Residu	77	3072,420	39,902			

Tableau de moyennes pour TCRBV16

Effect : Groupe	Nombre	Moyenne	Dév. Std.	Err. Std.
CM+P	16	16,315	6,779	1,749
CM+S	17	11,565	7,607	1,845
JSP	9	8,828	4,243	1,414
JSS	10	11,178	11,824	3,771
TNP	16	6,374	1,705	428
TNS	16	5,747	1,577	394

Graphique des interactions pour TCRBV16

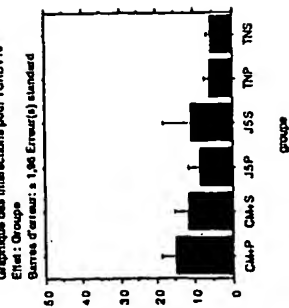


Figure 79

Tableau ANOVA pour TCRBV20

ddl	Somme des carrés	Carré moyen	Valeur de F	Valeur de p	Limite de p	Puissance
Groupe	3	747,883	149,837	5,122	,0128	15,008
Réduits	76	3729,485	47,804			,860

Tableau des moyennes pour TCRBV20

Effet : Groupe	Nombre	Moyenne	Dev. Std.	Err. Std.
Châ-P	14	19,650	12,993	3,392
Châ-S	17	12,700	9,534	1,595
JSP	8	10,633	5,189	1,306
JSS	10	11,711	5,368	1,697
TNP	17	12,075	4,996	1,138
TNS	17	11,108	5,593	,671

Test PLSD de Fisher pour TCRBV20

Effet : Groupe
Niveau de signification : 5 %

	Dili. moy.	Dili. crit.	Valeur p
Châ-P, Châ-S	6,950	4,973	,0008 S
Châ-P, JSP	8,116	5,887	,0028 S
Châ-P, JSS	7,939	5,705	,0070 S
Châ-P, TNP	6,974	4,973	,0008 S
Châ-P, TNS	6,492	4,973	,0011 S
Châ-S, JSP	2,187	5,090	,4469
Châ-S, JSS	,920	5,491	,7208
Châ-S, TNP	,028	4,728	,9917
Châ-S, TNS	1,532	4,728	,5206
JSP, JSS	-1,177	6,331	,7122
JSP, TNP	-2,142	5,890	,4551
JSP, TNS	-,635	5,690	,8243
JSS, TNP	-,895	5,491	,7275
JSS, TNS	,542	5,491	,8445
TNP, TNS	1,507	4,728	,5274

Graphique des interactions pour TCRBV20

Effet : Groupe
Barres d'erreur : $\pm 1,96$ Erreur(s) standard

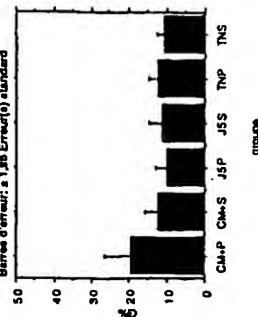


Figure 80

Paramètres du pic à récupérer

Taille 216

Nature TCRBV 52

Ecrit 13

Analyse Ruv = - moyenne
- Sema oligo

DC → OG

Paramètres des fichiers à utiliser

	Classeur	Feuille	Groupe	Nature	Remarque
1	DataFormater OG/009 v1.01	Data.1	1	RT11	
2	DataFormater OG/008 v1.03	Data.2	1	RT12	
3	DataFormater OG/007 v1.04	Data.3	1	RT13	
4	DataFormater OG/009 v1.01	Data.2	1	RT14	
5	DataFormater OG/008 v1.03	Data.3	1	RT15	
6	DataFormater OG/005.4 v1.01	Data.3	1	RT28	
7	DataFormater OG/009 v1.01	Data.3	1	RT29	
8	DataFormater OG/003 v1.01	Data.2	1	RT30	
9	DataFormater OG/003 v1.01	Data.3	1	RT31	
29	DataFormater OG/019 v1.04	Data.3	2	RS21	
30	DataFormater OG/020 v1.01	Data.2	2	RS22	
31	DataFormater OG/022 v1.04	Data.1	2	RS23	
32	DataFormater OG/021 v1.04	Data.2	2	RS24	
33	DataFormater OG/022 v1.04	Data.2	2	RS25	
19	DataFormater OG/015 v1.04	Data.2	3	R3*16	
20	DataFormater OG/019 v1.04	Data.1	3	R3*17	
21	DataFormater OG/016 v1.04	Data.2	3	R3*18	
22	DataFormater OG/019 v1.04	Data.2	3	R3*19	
23	DataFormater OG/017 v1.01	Data.2	3	R3*20	
39	DataFormater OG/010 v1.04	Data.2	4	R3*S06	
40	DataFormater OG/013 v1.04	Data.1	4	R3*S07	
41	DataFormater OG/011 v1.04	Data.2	4	R3*S08	
42	DataFormater OG/013 v1.04	Data.2	4	R3*S09	
43	DataFormater OG/012 v1.04	Data.2	4	R3*S10	

Figure 81

Score oligonucleotide 16/06/00

Score RT	Score RS	Score R3*	Score R3's
TCRBV15 :174	0,16	TCRBV15 :174	0,15
TCRBV15 :177	0,15	TCRBV15 :177	0,13
TCRBV19 :167	0,14	TCRBV05.2 :216	0,12
TCRBV16 :148	0,11	TCRBV10 :138	0,10
TCRBV15 :171	0,10	TCRBV15 :177	0,09
TCRBV05.2 :216	0,10	TCRBV05.1 :225	0,08
TCRBV16 :151	0,09	TCRBV05.1 :222	0,08
TCRBV14 :158	0,09	TCRBV05.2 :219	0,08

15/06/00

μ DVb	μ DVbRT	μ DVbRS	μ DVbR3	μ DVbR3's
TCRBV01	7,22	5,99	9,87	6
TCRBV02	3,49	6,01	6,13	6
TCRBV03	15,85	16,58	16,28	16
TCRBV04	13,12	18,02	17,95	18
TCRBV05.1	9,42	23,63	24,96	27
TCRBV05.2	7,40	12,10	12,44	12
TCRBV06	13,04	12,37	6,61	8
TCRBV07	3,81	6,49	4,57	9
TCRBV08.1	2,40	18,20	5,98	12
TCRBV08.2	13,38	21,83	14,72	16
TCRBV08.3	4,50	8,26	5,98	5
TCRBV09	15,74	18,39	23,49	28
TCRBV10	6,93	11,33	11,69	8
TCRBV11	7,35	7,88	5,97	9
TCRBV12	14,78	14,66	8,34	13
TCRBV13	11,25	10,17	12,27	9
TCRBV14	3,28	8,20	5,43	7
TCRBV15	7,85	8,52	9,27	9
TCRBV16	17,11	15,19	13,97	12
TCRBV18	15,28	11,24	15,53	19
TCRBV20	11,82	16,43	11,61	11

Figure 82

Paramètres du pic à récupérer

Taille 216

Nature TCRBV5.2

Ecrit 13

AC-006
Analyse foie.

Paramètres des fichiers à utiliser

	Classeur	Feuille	Groupe	Nature	Remarque
10	DataFormater OG/006 v1.01	Data.1	1	FT11	
11	DataFormater OG/006 v1.01	Data.2	1	FT12	
12	DataFormater OG/007 v1.04	Data.1	1	FT13	
13	DataFormater OG/007 v1.04	Data.2	1	FT14	
14	DataFormater OG/008 v1.03	Data.1	1	FT15	
15	DataFormater OG/003 v1.01	Data.1	1	FT26	
16	DataFormater OG/005.4 v1.01	Data.1	1	FT27	
17	DataFormater OG/005.4 v1.01	Data.2	1	FT28	
18	DataFormater OG/006 v1.01	Data.3	1	FT29	
24	DataFormater OG/015 v1.04	Data.1	2	F3*16	
25	DataFormater OG/015 v1.04	Data.3	2	F3*17	
26	DataFormater OG/016 v1.04	Data.1	2	F3*18	
27	DataFormater OG/016 v1.04	Data.3	2	F3*19	
28	DataFormater OG/017 v1.01	Data.1	2	F3*20	
34	DataFormater OG/017 v1.01	Data.3	3	FS21	
35	DataFormater OG/020 v1.01	Data.1	3	FS22	
36	DataFormater OG/020 v1.01	Data.3	3	FS23	
37	DataFormater OG/021 v1.04	Data.1	3	FS24	
38	DataFormater OG/021 v1.04	Data.3	3	FS25	
44	DataFormater OG/012 v1.04	Data.3	4	F3*S01	
45	DataFormater OG/033 v1.04	Data.3	4	F3*S02	
46	DataFormater OG/014 v1.01	Data.1	4	F3*S03	
47	DataFormater OG/014 v1.01	Data.2	4	F3*S04	
48	DataFormater OG/014 v1.01	Data.3	4	F3*S05	
49	DataFormater OG/010 v1.04	Data.1	4	F3*S06	
50	DataFormater OG/010 v1.04	Data.3	4	F3*S07	
51	DataFormater OG/011 v1.04	Data.1	4	F3*S08	
52	DataFormater OG/011 v1.04	Data.3	4	F3*S09	
53	DataFormater OG/012 v1.04	Data.1	4	F3*S10	

Figure 83

11534

Classement selon le score d'oligoclonalité pour chacun des groupes

Score FT	Score F3	Score F5	Score F3-S
0.61	TCRBV05.1 : 222	TCRBV05.1 : 222	TCRBV10 : 138
0.28	TCRBV05.1 : 225	TCRBV05.1 : 225	TCRBV15 : 177
0.17	TCRBV19 : 167	TCRBV08.1 : 231	TCRBV13 : 168
0.14	TCRBV09 : 144	TCRBV08.1 : 234	TCRBV09 : 153
0.12	TCRBV09 : 147	TCRBV05.1 : 228	TCRBV05.2 : 216
0.12	TCRBV09 : 150	TCRBV05.2 : 216	TCRBV05.1 : 225
0.10	TCRBV09 : 153	TCRBV08.1 : 228	TCRBV01 : 176
0.10	TCRBV05.2 : 213	TCRBV05.2 : 219	TCRBV10 : 141
0.10	TCRBV09 : 164	TCRBV16 : 148	TCRBV09 : 147
0.09	TCRBV05.2 : 219	TCRBV10 : 138	TCRBV05.2 : 213
0.09	TCRBV05.1 : 228	TCRBV20 : 152	TCRBV15 : 174
0.08	TCRBV14 : 158	TCRBV10 : 141	TCRBV05.2 : 219
0.08	TCRBV13 : 168	TCRBV05.2 : 213	TCRBV01 : 173
0.07	TCRBV05.2 : 222	TCRBV13 : 168	TCRBV06 : 146
0.06	TCRBV01 : 173	TCRBV15 : 174	TCRBV08.1 : 231
0.06	TCRBV12 : 204	TCRBV10 : 135	TCRBV05.1 : 228
0.06	TCRBV10 : 138	TCRBV16 : 145	TCRBV05.1 : 231
0.06	TCRBV01 : 176	TCRBV14 : 158	TCRBV13 : 165
0.06	TCRBV12 : 210	TCRBV09 : 147	TCRBV09 : 150
0.05	TCRBV15 : 174	TCRBV05.2 : 222	TCRBV10 : 135
0.05	TCRBV10 : 141	TCRBV16 : 151	TCRBV06 : 149
0.05	TCRBV12 : 201	TCRBV20 : 155	TCRBV09 : 144
0.05	TCRBV15 : 177	TCRBV15 : 177	TCRBV15 : 171
0.05	TCRBV20 : 155	TCRBV08.2 : 228	TCRBV11 : 154
0.05	TCRBV14 : 155	TCRBV03 : 153	TCRBV14 : 158
0.05	TCRBV20 : 152	TCRBV13 : 165	TCRBV01 : 170
0.05	TCRBV13 : 165	TCRBV20 : 149	TCRBV08.1 : 228
0.04	TCRBV16 : 151	TCRBV07 : 180	TCRBV07 : 180
0.04	TCRBV08.1 : 231	TCRBV14 : 155	TCRBV08.1 : 234
0.04	TCRBV02 : 158	TCRBV19 : 167	TCRBV06 : 143
0.04	TCRBV14 : 161	TCRBV15 : 171	TCRBV05.1 : 222
0.04	TCRBV20 : 149	TCRBV08.3 : 217	TCRBV14 : 161
0.04	TCRBV01 : 179	TCRBV16 : 142	TCRBV03 : 156
0.04	TCRBV08.1 : 228	TCRBV09 : 150	TCRBV08.2 : 228
0.04	TCRBV12 : 207	TCRBV06 : 146	TCRBV07 : 183

Case\$	Groups\$	TCRE
RT3	1	0,00
RT4	1	0,00
RT5	1	0,00
RT6	1	0,00
R11	1	0,00
R12	1	0,00
R13	1	0,00
R14	1	0,00
R15	1	0,00
RS21	2	0,00
RS22	2	0,00
RS23	2	0,00
RS24	2	0,00
RS25	2	0,00
R3*16	3	0,00
R3*17	3	0,00
R3*18	3	0,00
R3*19	3	0,00
R3*17	3	0,00
R3*S6	4	0,00
R3*S7	4	0,00
R3*S8	4	0,00
R3*S9	4	0,00
R3*S10	4	0,00
FT26	5	0,00
FT27	5	0,00
FT28	5	0,00
FT11	5	0,00
FT29	5	0,00
FT12	5	0,87
FT13	5	0,00
FT14	5	2,61
FT15	5	0,00
FS21	6	2,16
FS22	6	0,00
FS23	6	3,29
FS24	6	0,00
FS25	6	0,00
F3*16	7	0,00
F3*17	7	0,00
F3*18	7	0,00
F3*19	7	0,00
F3*20	7	0,00
F3*S1	8	0,00
F3*S2	8	0,00
F3*S3	8	0,00
F3*S4	8	0,00
F3*S5	8	0,00
F3*S6	8	0,00
F3*S7	8	0,00
F3*S8	8	0,00
F3*S9	8	0,00
F3*S10	8	0,00

organe { F = P_{fot}
R = route

groupe
spécimen { T = Temoins
S = $\text{directement infecté}$
3* = immunisé 3 fois
3*S = $\text{immunisé 3 fois puis infecté!}$

Figure 65

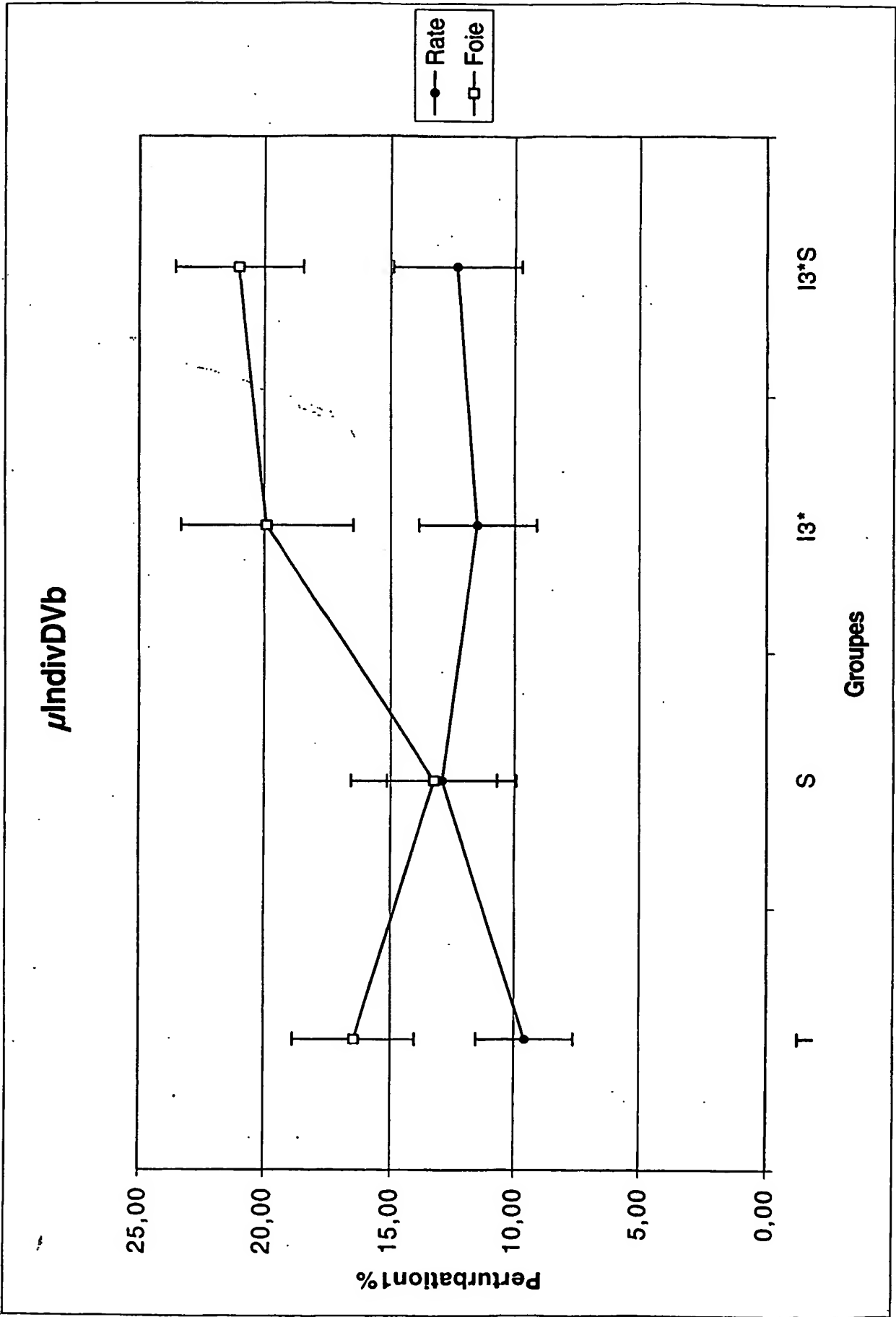


Figure 86

μ DVB Foie

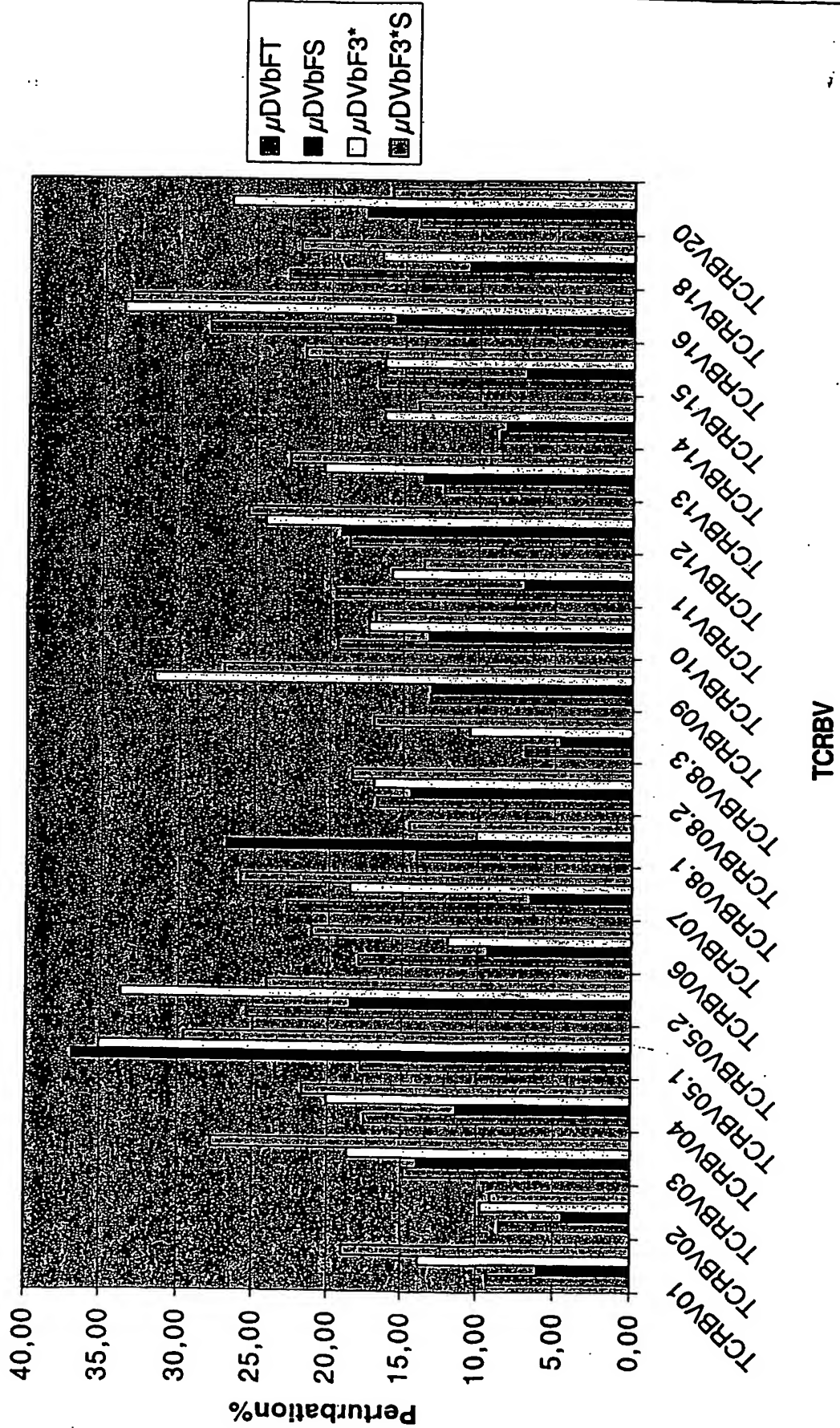


Figure 87

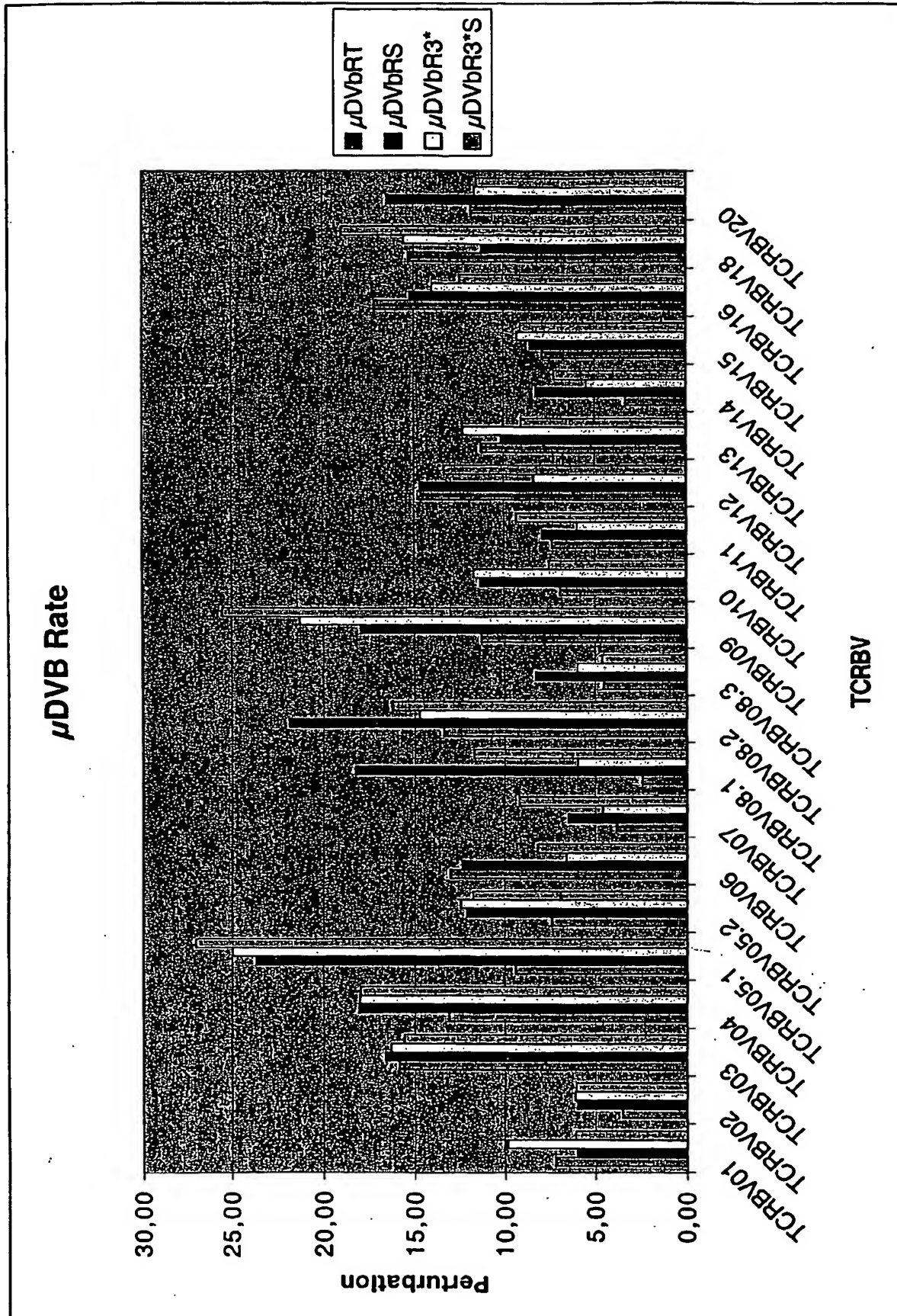


Figure 68



20 FEV. 2001

Analyse ANOVA réalisée à partir du fichier
Gorochoy 200201

WO 2004/003820

86/120

10/519950
PCT/IB2003/003339

Tableau ANOVA pour TCRBV01

ddl	Somme des carrés	Carré moyen	Valeur de F	Valeur de p	Lambda	Puissance
Groupe	3	301,294	100,431	1,066	,3734	,3197
Organe	1	345,472	345,472	3,666	,0821	,3666
Groupe * Organe	3	277,688	92,555	,982	,4099	2,946
Résidu	44	4146,899	94,248			

Tableau ANOVA pour TCRBV02

ddl	Somme des carrés	Carré moyen	Valeur de F	Valeur de p	Lambda	Puissance
Groupe	3	59,306	19,769	1,781	,1647	5,343
Organe	1	113,912	113,912	10,262	,0025	10,262
Groupe * Organe	3	56,971	18,957	1,708	,1792	5,123
Résidu	44	488,432	11,101			

Tableau de moyennes pour TCRBV01

Effet : Groupe * Organe

	Nombre	Moyenne	Dév. Std.	Err. Std.
T, R	9	7,222	8,452	2,817
T, F	8	8,872	8,703	3,077
S, R	5	5,995	1,464	,655
S, F	5	7,907	,810	,382
I3*, R	5	9,871	9,730	4,352
I3*, F	5	14,896	11,284	5,048
I3*S, R	5	6,113	3,748	1,676
I3*S, F	10	19,010	15,238	4,819

Test PLSD de Fisher pour TCRBV01

Effet : Groupe

Niveau de significativité : 5 %

	T, S	T, I3*	T, I3*S	S, I3*	S, I3*S	I3*, I3*S
Diff. moy.	1,047	-4,385	-6,713	-5,433	-7,760	-2,328
Diff. crit.	7,797	7,797	6,931	8,750	7,988	7,988
Valeur p	,7879	,2631	,0573	,2174	,0566	,5600

Tableau de moyennes pour TCRBV02

Effet : Groupe * Organe

	Nombre	Moyenne	Dév. Std.	Err. Std.
T, R	9	3,490	2,253	,751
T, F	8	8,657	5,551	1,963
S, R	5	6,006	2,337	1,045
S, F	5	5,307	1,484	,664
I3*, R	5	6,135	1,630	,729
I3*, F	5	10,072	3,968	1,775
I3*S, R	5	6,090	2,025	,906
I3*S, F	10	10,022	3,518	1,113

Test PLSD de Fisher pour TCRBV02

Effet : Groupe

Niveau de significativité : 5 %

	T, S	T, I3*	T, I3*S	S, I3*	S, I3*S	I3*, I3*S
Diff. moy.	,265	-2,181	-2,790	-2,447	-3,055	-.608
Diff. crit.	2,676	2,676	2,379	3,003	2,741	2,741
Valeur p	,8426	,1075	,0226	,1077	,0298	,6570

Test PLSD de Fisher pour TCRBV01

Effet : Organe

Niveau de significativité : 5 %

	R, F	Diff. moy.	Diff. crit.	Valeur p
		-6,109	5,443	,0287

Test PLSD de Fisher pour TCRBV02

Effet : Organe

Niveau de significativité : 5 %

	R, F	Diff. moy.	Diff. crit.	Valeur p
		-3,692	1,868	,0003

Courbe des interactions pour TCRBV01

Effet : Groupe * Organe

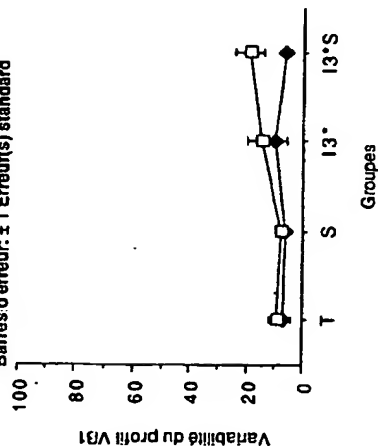
Barres d'erreur: ± 1 Erreur(s) standard

Figure 89

Courbe des interactions pour TCRBV02

Effet : Groupe * Organe

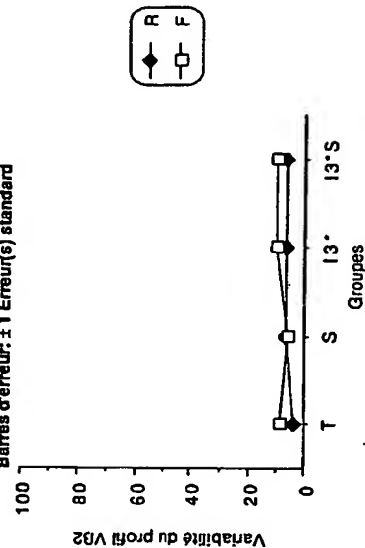
Barres d'erreur: ± 1 Erreur(s) standard

Tableau ANOVA pour TCRBV05.1

ddl	Somme des carrés	Carré moyen	Valeur de F	Valeur de p	Lambda	Puissance
3	2329,744	776,581	12,458	<.0001	37,374	1,000
1	292,959	292,959	4,700	.0356	4,700	.555
3	157,990	52,663	.845	.4768	2,535	.213
44	2742,750	62,335				
Groupe						
Organe						
Groupe * Organe						
Résidu						

Tableau de moyennes pour TCRBV05.1

Nombre	Moyenne	Dév. Std.	Err. Std.	Diff. moy.	Diff. crit.	Valeur p
T, R	9,418	9,307	3,102			
T, F	16,356	10,547	3,729			
S, R	23,630	4,860	2,174			
S, F	32,058	4,573	2,045			
I3*, R	24,959	7,009	3,135			
I3*, F	30,198	6,922	3,096			
I3*S, R	26,983	5,618	2,512			
I3*S, F	26,163	8,018	2,536			
T, S				-15,161	6,341	<.0001
T, I3*				-14,895	6,341	<.0001
T, I3*S				-13,753	5,637	<.0001
S, I3*				.265	7,116	.9405
S, I3*S				1,408	6,496	.6644
I3*, I3*S				1,143	6,496	.7247

Test PLSD de Fisher pour TCRBV05.1

Effet : Organe
Niveau de significativité : 5 %

R, F	Diff. moy.	Diff. crit.	Valeur p
	-5,858	4,426	.0107

Courbe des interactions pour TCRBV05.1

Effet : Groupe * Organe
Barres d'erreur: ± 1 Erreur(s) standard

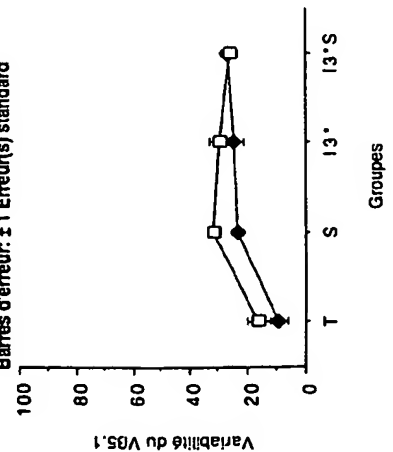


Figure 90

Tableau ANOVA pour TCRBV05.2

ddl	Somme des carrés	Carré moyen	Valeur de F	Valeur de p	Lambda	Puissance
3	1188,456	396,152	4,395	.0086	13,185	.849
1	2230,335	2230,335	24,743	<.0001	24,743	1,000
3	453,445	151,148	1,677	.1858	5,030	.398
44	3966,148	90,140				
Groupe						
Organe						
Groupe * Organe						
Résidu						

Tableau de moyennes pour TCRBV05.2

Nombre	Moyenne	Dév. Std.	Err. Std.	Diff. moy.	Diff. crit.	Valeur p
T, R	7,397	8,310	2,770			
T, F	14,408	6,948	2,456			
S, R	12,099	9,083	4,062			
S, F	20,831	9,563	4,277			
I3*, R	12,444	7,334	3,280			
I3*, F	34,650	11,084	4,957			
I3*S, R	11,768	6,884	3,078			
I3*S, F	28,408	12,840	4,060			
T, S				-5,769	7,626	.1345
T, I3*				-12,851	7,626	.0015
T, I3*S				-12,165	6,778	.0008
S, I3*				-7,082	8,557	.1024
S, I3*S				-6,397	7,812	.1060
I3*, I3*S				.686	7,812	.8604

Test PLSD de Fisher pour TCRBV05.2

Effet : Organe
Niveau de significativité : 5 %

R, F	Diff. moy.	Diff. crit.	Valeur p
	-13,831	5,323	<.0001

Courbe des interactions pour TCRBV05.2

Effet : Groupe * Organe
Barres d'erreur: ± 1 Erreur(s) standard

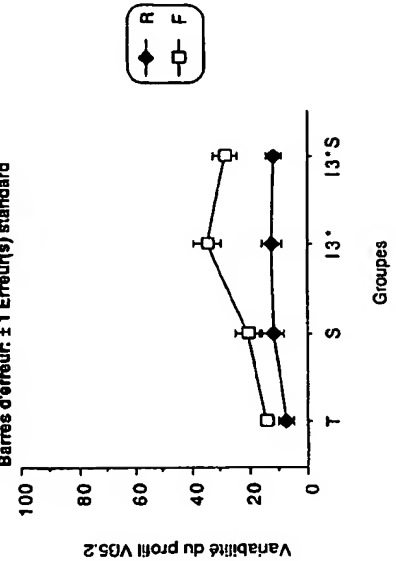


Tableau ANOVA pour TCRBV08.1

	ddl	Somme des carrés	Carré moyen	Valeur de F	Lambda	Puissance
Groupe	3	1122,158	374,053	4,322	.0092	12,965
Organe	1	693,580	693,580	8,013	.0069	8,013
Groupe * Organe	3	163,846	54,615	.631	.5988	1,893
Résidu	45	3894,843	86,552			

Tableau de moyennes pour TCRBV08.1

	Nombre	Moyenne	Dév. Std.	Err. Std.	
T, R	9	2,401	1,210	.403	
T, F	9	15,375	11,966	3,989	
S, R	5	18,203	3,900	1,744	
S, F	5	24,239	13,526	6,049	
I3*, R	5	5,982	2,536	1,134	
I3*, F	5	12,689	7,068	3,161	
I3*S, R	5	11,682	15,553	6,955	
I3*S, F	10	16,248	9,140	2,890	

Test PLSD de Fisher pour TCRBV08.1

Effet : Groupe
Niveau de significativité : 5 %

	Diff. moy.	Diff. crit.	Valeur p
T, S	-12,333	7,390	.0016
T, I3*	-.448	7,390	.9034
T, I3*S	-5,838	6,551	.0794
S, I3*	11,885	8,380	.0065
S, I3*S	6,495	7,650	.0941
I3*, I3*S	-5,390	7,650	.1627

Test PLSD de Fisher pour TCRBV08.1

Effet : Organe
Niveau de significativité : 5 %

	Diff. moy.	Diff. crit.	Valeur p
R, F	-8,369	5,171	.0021

Courbe des interactions pour TCRBV08.1

Effet : Groupe * Organe
Barres d'erreur: ± 1 Erreur(s) standard

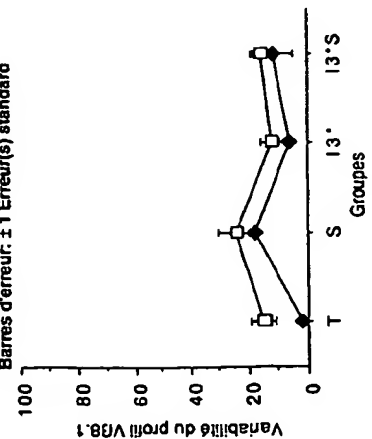


Figure 91

Tableau ANOVA pour TCRBV08.2

	ddl	Somme des carrés	Carré moyen	Valeur de F	Lambda	Puissance
Groupe	3	61,854	20,618	.422	.7382	1,265
Organe	1	8,469	8,469	.132	.7177	.132
Groupe * Organe	3	254,375	84,792	1,735	.1734	5,204
Résidu	45	2199,528	48,878			

Tableau de moyennes pour TCRBV08.2

Test PLSD de Fisher pour TCRBV08.2

Effet : Groupe
Niveau de significativité : 5 %

	Nombre	Moyenne	Dév. Std.	Err. Std.	
T, R	9	13,393	4,882	1,627	
T, F	9	16,148	6,011	2,004	
S, R	5	21,828	10,936	4,891	
S, F	5	12,804	9,454	4,228	
I3*, R	5	14,720	7,593	3,396	
I3*, F	5	16,326	6,149	2,750	
I3*S, R	5	16,190	8,697	3,889	
I3*S, F	10	17,919	4,708	1,489	

Test PLSD de Fisher pour TCRBV08.2

Effet : Organe
Niveau de significativité : 5 %

	Diff. moy.	Diff. crit.	Valeur p
T, S	-2,550	5,554	.3599
T, I3*	-.758	5,554	.7848
T, I3*S	-2,577	4,923	.2973
S, I3*	1,793	6,297	.5692
S, I3*S	-.027	5,749	.9925
I3*, I3*S	-1,820	5,749	.5270

Test PLSD de Fisher pour TCRBV08.2

Effet : Organe
Niveau de significativité : 5 %

	Diff. moy.	Diff. crit.	Valeur p
R, F	-.207	3,886	.9151

Courbe des interactions pour TCRBV08.2

Effet : Groupe * Organe
Barres d'erreur: ± 1 Erreur(s) standard

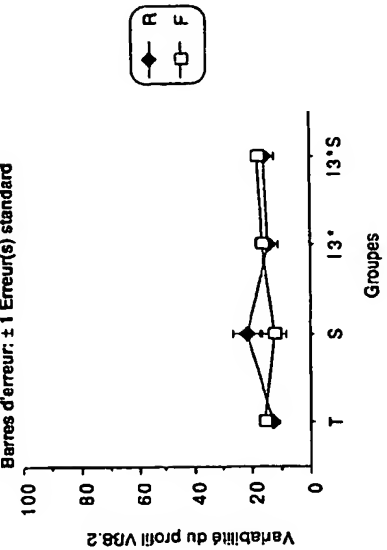


Tableau ANOVA pour TCRBV11

	ddl	Somme des carrés	Carré moyen	Valeur de F	Lambda	Puissance
Groupe	3	233,690	77,897	2,572	0,661	0,588
Organe	1	2349,255	2349,255	77,562	<,0001	1,000
Groupe * Organe	3	127,530	42,510	1,403	,2544	,338
Résidu	44	1332,711	30,289			

Tableau de moyennes pour TCRBV11

Effet : Groupe * Organe	Nombre	Moyenne	Dév. Std.	Err. Std.
T, R	9	7,353	8,354	2,785
T, F	8	16,802	4,023	1,422
S, R	5	7,885	3,981	1,780
S, F	5	21,184	2,702	1,208
I3*, R	5	5,966	1,813	,811
I3*, F	5	22,526	6,417	2,870
I3*S, R	5	9,306	3,977	1,778
I3*S, F	10	26,025	6,032	1,908

Test PLSD de Fisher pour TCRBV11

Effet : Groupe

Niveau de significativité : 5 %

	Diff. moy.	Diff. crit.	Valeur p
T, S	-2,735	4,420	,2191
T, I3*	-2,448	4,420	,2708
T, I3*S	-8,653	3,929	<,0001
S, I3*	,288	4,960	,9073
S, I3*S	-5,918	4,528	,0116
I3*, I3*S	-6,206	4,528	,0083

Test PLSD de Fisher pour TCRBV11

Effet : Organe

Niveau de significativité : 5 %

	Diff. moy.	Diff. crit.	Valeur p
R, F	-14,319	3,085	<,0001

Tableau ANOVA pour TCRBV10

	ddl	Somme des carrés	Carré moyen	Valeur de F	Lambda	Puissance
Groupe	3	27,050	9,017	,181	,9085	,544
Organe	1	682,292	682,292	13,724	,0006	,967
Groupe * Organe	3	115,402	38,467	,774	,5148	,2321
Résidu	45	2237,141	49,714			

Tableau de moyennes pour TCRBV10

Effet : Groupe * Organe	Nombre	Moyenne	Dév. Std.	Err. Std.
T, R	9	6,928	7,974	2,658
T, F	9	17,147	6,606	2,202
S, R	5	11,331	5,743	2,568
S, F	5	16,039	3,604	1,612
I3*, R	5	11,684	7,590	3,394
I3*, F	5	15,838	8,778	3,926
I3*S, R	5	7,509	2,533	1,133
I3*S, F	10	18,473	8,375	2,648

Test PLSD de Fisher pour TCRBV10

Effet : Groupe

Niveau de significativité : 5 %

	Diff. moy.	Diff. crit.	Valeur p
T, S	-1,647	5,601	,5567
T, I3*	-1,728	5,601	,5375
T, I3*S	-2,780	4,965	,2653
S, I3*	-,081	6,351	,9796
S, I3*S	-1,134	5,798	,6956
I3*, I3*S	-1,053	5,798	,7163

Test PLSD de Fisher pour TCRBV10

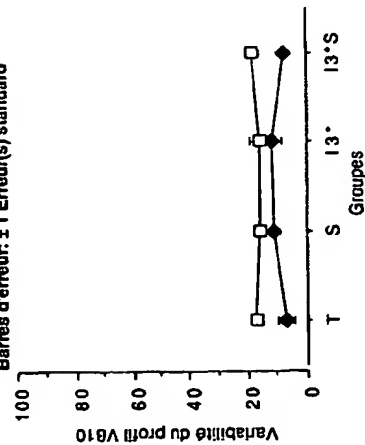
Effet : Organe

Niveau de significativité : 5 %

	Diff. moy.	Diff. crit.	Valeur p
R, F	-8,228	3,919	,0001

Courbe des interactions pour TCRBV10

Effet : Groupe * Organe

Barres d'erreur: ± 1 Erreur(s) standard

Courbe des interactions pour TCRBV11

Effet : Groupe * Organe

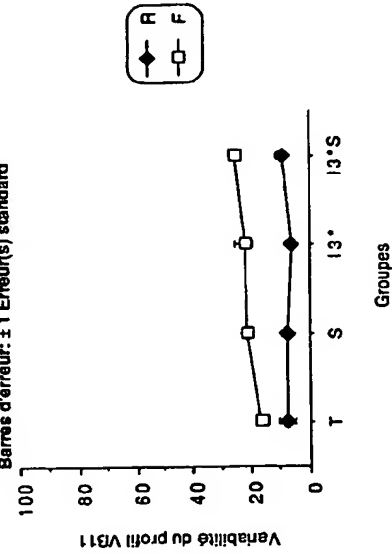
Barres d'erreur: ± 1 Erreur(s) standard

Figure 92

Tableau ANOVA pour TCRBV14

ddl	Somme des carrés	Carré moyen	Valeur de F	Valeur de p	Lambda	Puissance
3	335,494	111,831	7,070	.0005	21,210	.978
1	411,359	411,359	26,006	<.0001	26,006	1,000
3	231,272	77,091	4,874	.0051	14,621	.890
45	711,807	15,818				

Groupe	ddl	Somme des carrés	Carré moyen	Valeur de F	Valeur de p	Lambda	Puissance
Organe	1	411,359	411,359	26,006	<.0001	26,006	1,000
Groupe * Organe	3	231,272	77,091	4,874	.0051	14,621	.890
Résidu	45	711,807	15,818				

Tableau ANOVA pour TCRBV15

ddl	Somme des carrés	Carré moyen	Valeur de F	Valeur de p	Lambda	Puissance
3	153,813	51,271	1,141	.3429	3,424	.279
1	1226,163	1226,163	27,299	<.0001	27,299	1,000
3	87,328	29,109	.648	.5884	1,944	.171
44	1976,302	44,916				

Groupe	ddl	Somme des carrés	Carré moyen	Valeur de F	Valeur de p	Lambda	Puissance
Organe	1	1226,163	1226,163	27,299	<.0001	27,299	1,000
Groupe * Organe	3	87,328	29,109	.648	.5884	1,944	.171
Résidu	44	1976,302	44,916				

Tableau de moyennes pour TCRBV14

Effet : Groupe * Organe

Nombre	Moyenne	Dév. Std.	Err. Std.	Test PLSD de Fisher pour TCRBV14	Niveau de significativité : 5 %	Diff. moy.	Diff. crit.	Valeur p
T, R	9	3,275	3,383	1,121				
T, F	9	8,150	2,423	.808				
S, R	5	8,186	2,726	1,219				
S, F	5	6,830	1,772	.792				
I3*, R	5	5,434	2,510	1,123				
I3*, F	5	18,608	7,417	3,317				
I3*S, R	5	7,217	2,411	1,078				
I3*S, F	10	15,857	5,412	1,711				

Test PLSD de Fisher pour TCRBV14

Effet : Organe

Niveau de significativité : 5 %

	Diff. moy.	Diff. crit.	Valeur p
R, F	-6,467	2,210	<.0001

Tableau de moyennes pour TCRBV15

Effet : Groupe * Organe

Nombre	Moyenne	Dév. Std.	Err. Std.	Test PLSD de Fisher pour TCRBV15	Niveau de significativité : 5 %	Diff. moy.	Diff. crit.	Valeur p
T, R	9	7,854	8,273	2,758				
T, F	8	16,668	6,044	2,137				
S, R	5	8,518	2,137	.956				
S, F	5	15,284	3,618	1,618				
I3*, R	5	9,270	2,657	1,188				
I3*, F	5	20,150	11,492	5,140				
I3*S, R	5	9,082	4,892	2,188				
I3*S, F	10	23,098	7,072	2,236				

Test PLSD de Fisher pour TCRBV15

Effet : Organe

Niveau de significativité : 5 %

	Diff. moy.	Diff. crit.	Valeur p
R, F	-10,796	3,757	<.0001

Courbe des interactions pour TCRBV14

Effet : Groupe * Organe

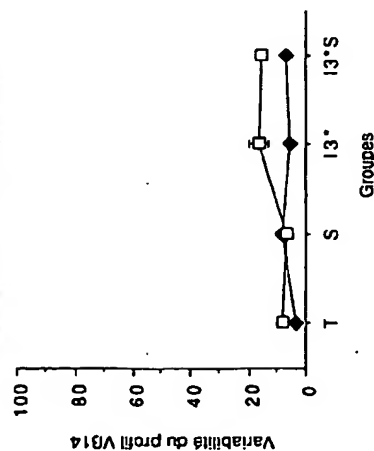
Barres d'erreur: ± 1 Erreur(s) standard

Figure 93

Courbe des interactions pour TCRBV15

Effet : Groupe * Organe

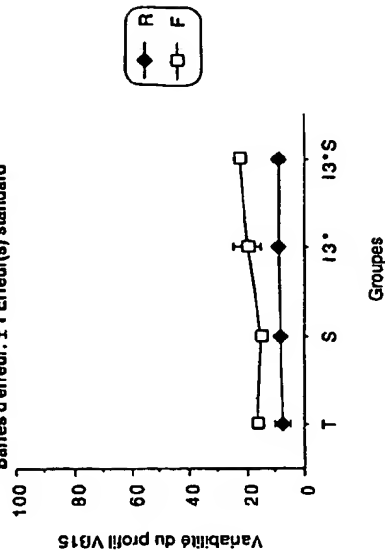
Barres d'erreur: ± 1 Erreur(s) standard

Tableau ANOVA pour TCRBV20

	ddl	Somme des carrés	Carré moyen	Valeur de F	Valeur de p	Lambda	Puissance
Groupe	3	326,663	108,888	1,907	,1423	5,722	,450
Organe	1	588,101	588,101	10,301	,0025	10,301	,898
Groupe * Organe	3	262,286	87,429	1,531	,2197	4,594	,366
Résidu	44	2512,080	57,093				

Tableau de moyennes pour TCRBV20

Effet : Groupe * Organe

	Nombre	Moyenne	Dév. Std.	Err. Std.
T, R	9	11,820	7,851	2,617
T, F	8	14,773	7,748	2,739
S, R	5	16,432	4,136	1,850
S, F	5	20,553	4,370	1,954
I3*, R	5	11,612	3,093	1,383
I3*, F	5	26,895	13,297	5,947
I3*S, R	5	11,495	4,683	2,094
I3*S, F	10	17,170	8,304	2,626

Test PLSD de Fisher pour TCRBV20

Effet : Groupe

Niveau de significativité : 5 %

	Diff. moy.	Diff. crit.	Valeur p
T, S	-5,283	6,069	,0863
T, I3*	-6,044	6,069	,0509
T, I3*S	-2,068	5,394	,4438
S, I3*	-,761	6,810	,8228
S, I3*S	3,214	6,217	,3031
I3*, I3*S	3,976	6,217	,2042

Test PLSD de Fisher pour TCRBV20

Effet : Organe

Niveau de significativité : 5 %

	Diff. moy.	Diff. crit.	Valeur p
R, F	-6,156	4,236	,0054

Courbe des Interactions pour TCRBV20

Effet : Groupe * Organe

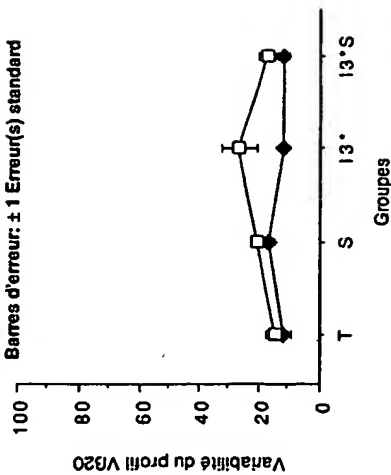
Barres d'erreur: ± 1 Erreur(s) standard

Figure 95

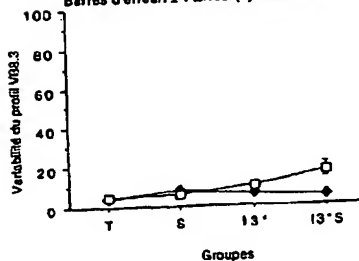
- Seul sera détaillé ici les résultats concernant l'indice Gorochov. Les autres indices ne donnent dans cette étude aucun résultat pertinent (nature plurimodale des profils de certaines unités expérimentales).
- ❖ Le type d'infection influe en moyenne sur l'indice Gorochov observé pour les différents Vb étudiés.
- ❖ L'organe influe en moyenne sur l'indice Gorochov observée pour les différents Vb étudiés.
- ❖ L'indice Gorochov observé, en moyenne, sur les différents groupes n'est pas la même selon l'organe considéré.

Résultats de l'ANOVA correspondante : (@ : avec effet d'interaction)

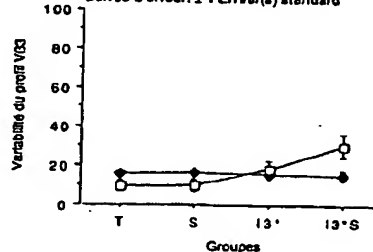
	Effet groupe OUI	Effet groupe NON
Effet organe OUI	5.1 {F3* (222,225) FS (222,225,228)} 5.2 {RS (216) F3* (213) FS (216,219) F3*S (216)} 7 8.1 {RS (231) FS (231,228)} 8.3 @ F>>R pour le groupe I3*S. 14 @ F>>R pour les groupes I3* et I3*S.	2 6 10 {F3*S (138)} 11 12 @ F>>R pour les groupes I3* et I3*S. 13 {F3*S (168)} 15 {RS (174), F3*S(177)} 16 20
Effet organe NON	3 @ F>>R pour le groupe I3*S. 9 {F3*(144,147,150,153) F3*S(153)} 18	1 4 8.2

Rq. Les Vb pour lesquels l'indice d'oligoclonalité de certains pics est supérieur au seul de celui du groupe témoin sont suivis, entre parenthèses des groupes concernés.

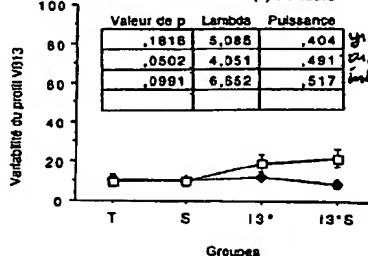
Courbe des interactions pour TCRBV08.3
Effet : Groupe * Organe
Barres d'erreur: ± 1 Erreur(s) standard



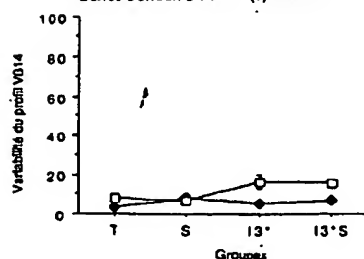
Courbe des interactions pour TCRBV03
Effet : Groupe * Organe
Barres d'erreur: ± 1 Erreur(s) standard



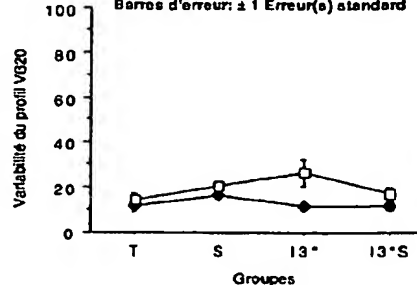
Courbe des interactions pour TCRBV13
Effet : Groupe * Organe
Barres d'erreur: ± 1 Erreur(s) standard



Courbe des interactions pour TCRBV14
Effet : Groupe * Organe
Barres d'erreur: ± 1 Erreur(s) standard



Courbe des interactions pour TCRBV20
Effet : Groupe * Organe
Barres d'erreur: ± 1 Erreur(s) standard



Courbe des interactions pour TCRBV12
Effet : Groupe * Organe
Barres d'erreur: ± 1 Erreur(s) standard

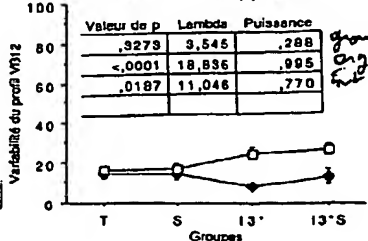
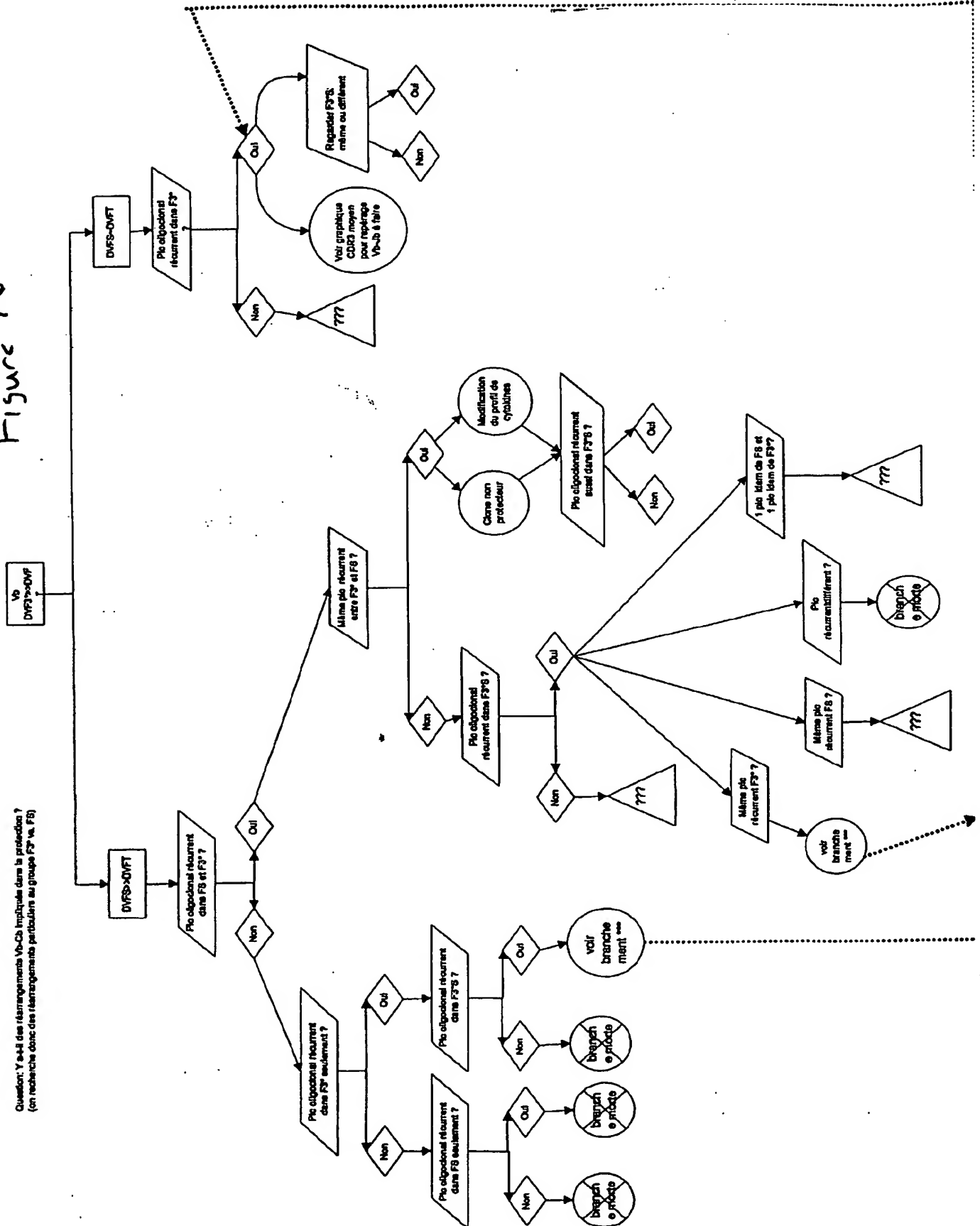


Figure 96

Question: Y a-t-il des arrangements Vo-Ch impliqués dans la protection ?
(on recherche donc des arrangements particuliers au groupe F3 vs. F8)



Canonical Scores Plot

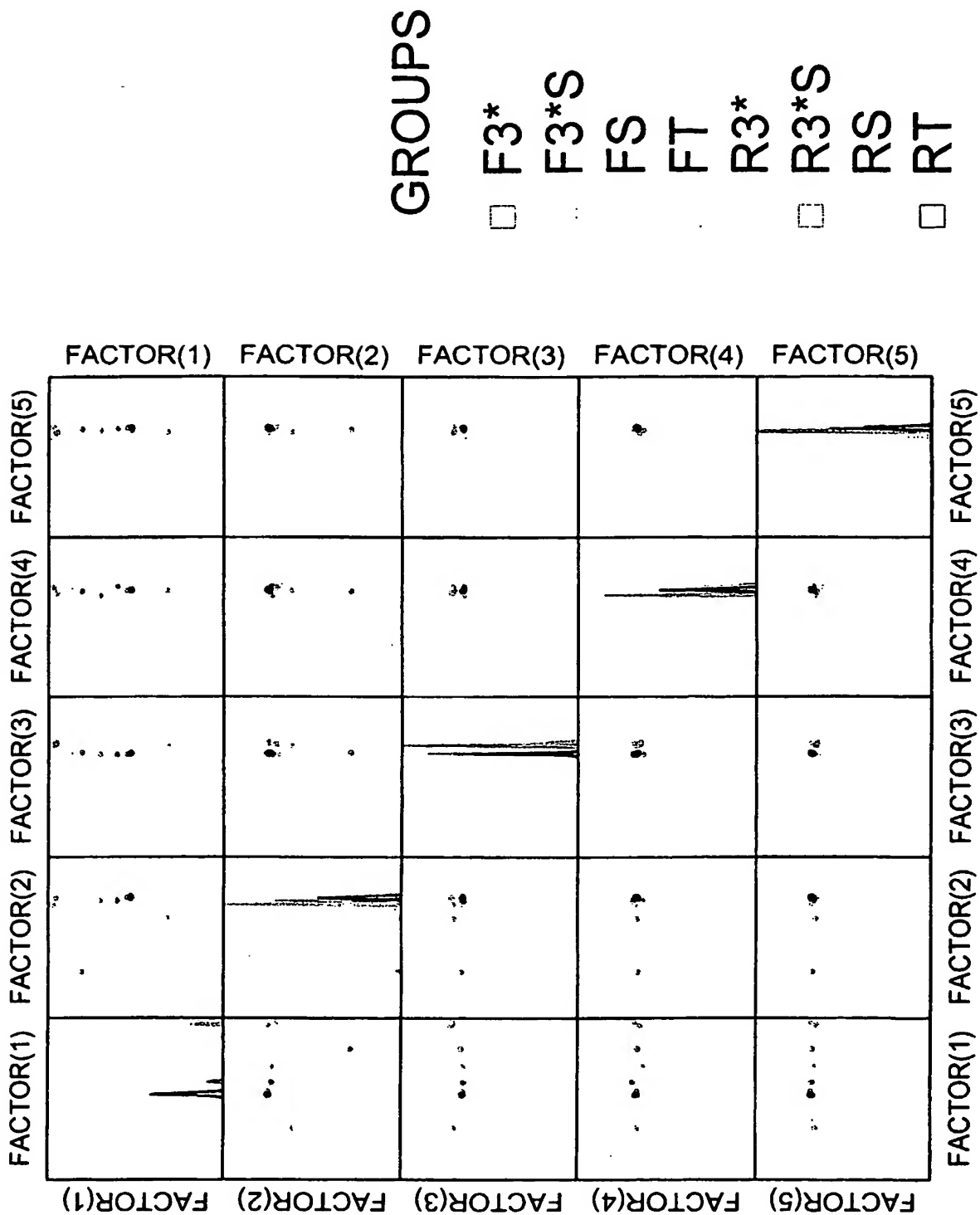
PCA/DA
Figure 98

WO 2004/003820

94/120

10/519950

PCT/IB2003/003339



File: B230000

SYSTAT Rectangular file C:\Uffestum\OCp4546\Fr1\OC290802.SYD,
created Thu Aug 23, 2002 at 15:24:34, contains variables:

CASES	GROUPS	TCRBV01_8	TCRBV01_7	TCRBV01_8	TC
TCRBV01_10	TCRBV01_11	TCRBV01_12	TCRBV01_13	TCRBV01_14	TC
TCRBV02_7	TCRBV02_8	TCRBV02_9	TCRBV02_10	TCRBV02_11	TC
TCRBV03_13	TCRBV03_14	TCRBV03_15	TCRBV03_16	TCRBV03_17	TC
TCRBV04_7	TCRBV04_8	TCRBV04_9	TCRBV04_10	TCRBV04_11	TC
TCRBV04_13	TCRBV04_14	TCRBV04_15	TCRBV04_16	TCRBV04_17	TC
TCRBV05_8	TCRBV05_9	TCRBV05_10	TCRBV05_11	TCRBV05_12	TC
TCRBV05_13	TCRBV05_14	TCRBV05_15	TCRBV05_16	TCRBV05_17	TC
TCRBV06_8	TCRBV06_9	TCRBV06_10	TCRBV06_11	TCRBV06_12	TC
TCRBV06_13	TCRBV06_14	TCRBV06_15	TCRBV06_16	TCRBV06_17	TC
TCRBV07_8	TCRBV07_9	TCRBV07_10	TCRBV07_11	TCRBV07_12	TC
TCRBV07_13	TCRBV07_14	TCRBV07_15	TCRBV07_16	TCRBV07_17	TC
TCRBV08_8	TCRBV08_9	TCRBV08_10	TCRBV08_11	TCRBV08_12	TC
TCRBV08_13	TCRBV08_14	TCRBV08_15	TCRBV08_16	TCRBV08_17	TC
TCRBV09_8	TCRBV09_9	TCRBV09_10	TCRBV09_11	TCRBV09_12	TC
TCRBV09_13	TCRBV09_14	TCRBV09_15	TCRBV09_16	TCRBV09_17	TC
TCRBV10_8	TCRBV10_9	TCRBV10_10	TCRBV10_11	TCRBV10_12	TC
TCRBV10_13	TCRBV10_14	TCRBV10_15	TCRBV10_16	TCRBV10_17	TC
TCRBV11_8	TCRBV11_9	TCRBV11_10	TCRBV11_11	TCRBV11_12	TC
TCRBV11_13	TCRBV11_14	TCRBV11_15	TCRBV11_16	TCRBV11_17	TC
TCRBV12_7	TCRBV12_8	TCRBV12_9	TCRBV12_10	TCRBV12_11	TC
TCRBV13_8	TCRBV13_9	TCRBV13_10	TCRBV13_11	TCRBV13_12	TC
TCRBV13_13	TCRBV13_14	TCRBV13_15	TCRBV13_16	TCRBV13_17	TC
TCRBV14_8	TCRBV14_9	TCRBV14_10	TCRBV14_11	TCRBV14_12	TC
TCRBV14_13	TCRBV14_14	TCRBV14_15	TCRBV14_16	TCRBV14_17	TC
TCRBV15_8	TCRBV15_9	TCRBV15_10	TCRBV15_11	TCRBV15_12	TC
TCRBV15_13	TCRBV15_14	TCRBV15_15	TCRBV15_16	TCRBV15_17	TC
TCRBV16_8	TCRBV16_9	TCRBV16_10	TCRBV16_11	TCRBV16_12	TC
TCRBV16_13	TCRBV16_14	TCRBV16_15	TCRBV16_16	TCRBV16_17	TC
TCRBV17_8	TCRBV17_9	TCRBV17_10	TCRBV17_11	TCRBV17_12	TC
TCRBV17_13	TCRBV17_14	TCRBV17_15	TCRBV17_16	TCRBV17_17	TC
TCRBV18_8	TCRBV18_9	TCRBV18_10	TCRBV18_11	TCRBV18_12	TC
TCRBV18_13	TCRBV18_14	TCRBV18_15	TCRBV18_16	TCRBV18_17	TC
TCRBV19_8	TCRBV19_9	TCRBV19_10	TCRBV19_11	TCRBV19_12	TC
TCRBV19_13	TCRBV19_14	TCRBV19_15	TCRBV19_16	TCRBV19_17	TC
TCRBV20_8	TCRBV20_9	TCRBV20_10	TCRBV20_11	TCRBV20_12	TC
TCRBV20_13	TCRBV20_14	TCRBV20_15	TCRBV20_16	TCRBV20_17	TC

50.690	76.711	41.271	59.216
50.362	48.663	39.762	37.130
31	32	33	34
29.161	26.169	24.054	21.530
36	37	38	39
18.109	17.875	15.007	13.216
41	42	43	44
11.117	9.508	8.822	8.187
46	47	48	49
6.640	5.734	4.707	4.103
51	52	53	54
3.143	2.174	0.000	0.000
56	57	58	59
0.000	0.000	0.000	0.000
61	62	63	64
0.000	0.000	0.000	0.000
66	67	68	69
0.000	0.000	0.000	0.000
71	72	73	74
0.000	0.000	0.000	0.000
76	77	78	79
0.000	0.000	0.000	0.000
81	82	83	84
0.000	0.000	0.000	0.000
86	87	88	89
0.000	0.000	0.000	0.000
91	92	93	94
0.000	0.000	0.000	0.000
96	97	98	99
0.000	0.000	0.000	0.000
101	102	103	104
0.000	0.000	0.000	0.000

Latent Roots (Eigenvalues)

1	2	3	4	5
806.097	574.767	525.021	474.758	360.278
6	7	8	9	10
326.711	312.488	234.424	210.247	203.757
11	12	13	14	15
197.144	187.097	146.789	140.829	147.404
16	17	18	19	20
130.104	128.438	120.743	108.967	98.114
21	22	23	24	25

Page 6 (Total of 6 Pages)

Page 6 (Total of 6 Pages)

1	2	3	4	5
106	107	108	109	110
0.000	0.000	0.000	0.000	0.000
111	112	113	114	115
0.000	0.000	0.000	0.000	0.000
116	117	118	119	120
0.000	0.000	0.000	0.000	0.000
121	122	123	124	125
0.000	0.000	0.000	0.000	0.000
126	127	128	129	130
0.000	0.000	0.000	0.000	0.000
131	132	133	134	135
0.000	0.000	0.000	0.000	0.000
136	137	138	139	140
0.000	0.000	0.000	0.000	0.000
141	142	143	144	145
0.000	0.000	0.000	0.000	0.000
146	147	148	149	150
0.000	0.000	0.000	0.000	0.000
151	152	153	154	155
0.000	0.000	0.000	0.000	0.000
156	157	158	159	160
0.000	0.000	0.000	0.000	0.000
161	162	163	164	165
0.000	0.000	0.000	0.000	0.000
166	167	168	169	170
0.000	0.000	0.000	0.000	0.000
171	172	173	174	175
0.000	0.000	0.000	0.000	0.000
176	177	178	179	180
0.000	0.000	0.000	0.000	0.000
181	182	183	184	185

Page 6 (Total of 6 Pages)

Page 6 (Total of 6 Pages)

Component loadings

1	2	3	4	5
TCRBV01_8	-0.073	-0.020	-0.021	0.142
TCRBV01_7	-0.584	-0.776	-0.084	0.178
TCRBV01_10	-2.101	-1.196	-4.013	-4.174
TCRBV01_9	1.202	2.269	1.717	2.744
TCRBV01_13	3.454	2.257	2.246	1.329
TCRBV01_11	0.055	2.459	-0.708	1.386
TCRBV01_12	-0.159	1.105	-0.889	0.074
TCRBV01_14	-0.123	0.170	-0.392	0.102
TCRBV01_15	-0.021	0.016	-0.050	0.010
TCRBV02_6	0.750	-0.283	-0.629	-0.050
TCRBV02_7	0.480	0.442	0.457	-0.136
TCRBV02_8	0.059	0.384	0.089	0.089
TCRBV02_9	1.130	0.110	0.203	0.181
TCRBV02_10	-0.133	-0.187	0.290	-0.738
TCRBV02_11	-0.124	-0.097	1.164	-0.019
TCRBV02_12	-0.450	-0.019	0.401	-0.140
TCRBV02_13	-0.236	-0.180	0.201	-0.236
TCRBV02_14	-0.033	-0.015	-0.042	0.010
TCRBV02_15	-0.129	-0.002	-0.121	-0.001
TCRBV02_16	2.225	0.178	-0.713	-1.112
TCRBV02_17	2.053	1.677	-0.486	-0.783
TCRBV02_18	3.224	2.522	-0.052	-1.015
TCRBV02_19	4.341	2.924	-1.482	-0.044
TCRBV02_20	-3.235	0.499	3.479	-1.136
TCRBV02_21	-5.143	0.869	1.720	2.027
TCRBV02_22	-0.448	0.056	1.408	1.085
TCRBV02_23	-0.536	-0.478	2.430	2.153
TCRBV02_24	0.012	-0.001	-0.019	-0.011
TCRBV02_25	1.182	-0.155	-0.030	-0.468
TCRBV02_26	1.873	0.011	0.527	-0.328
TCRBV02_27	4.587	-1.410	-0.450	-1.394
TCRBV02_28	3.214	-0.729	-0.519	-1.029
TCRBV02_29	-2.754	0.889	-1.756	1.034
TCRBV02_30	-3.817	0.894	-0.438	1.589
TCRBV02_31	-3.121	1.805	-0.081	-1.556
TCRBV02_32	-3.131	-1.158	1.410	-2.431
TCRBV02_33	-0.012	0.154	0.012	-0.025
TCRBV02_34	0.174	0.196	-0.112	-0.095
TCRBV02_35	0.215	-0.029	0.032	0.642
TCRBV02_36	-0.042	-0.512	-0.517	-0.038
TCRBV02_37	5.708	-11.263	7.492	6.504
TCRBV02_38	0.294	1.095	-1.810	2.027
TCRBV02_39	-0.617	0.252	-1.907	-1.555
TCRBV02_40	-2.011	2.789	3.297	-1.028
TCRBV02_41	-0.959	3.191	-0.695	-1.023
TCRBV02_42	0.084	0.240	-0.060	-0.185
TCRBV02_43	0.240	0.857	-0.295	-0.136
TCRBV02_44	0.142	2.407	0.356	0.378
TCRBV02_45	-2.964	3.924	0.078	1.420
TCRBV02_46	-1.464	-0.893	1.072	-0.475

PCT/IB2003/003339									
TCRVS01_10	1.482	-2.328	-2.448	-0.869	-0.364	0.123	-0.210	-0.756	0.100
TCRVS01_11	1.183	-2.398	-0.753	-1.829	-1.509	0.007	-0.007	-0.007	0.007
TCRVS01_12	0.104	-2.208	-0.621	-0.421	0.064	0.007	-0.007	-0.007	0.007
TCRVS01_13	0.013	-0.400	-0.221	-0.073	-0.320	0.007	-0.007	-0.007	0.007
TCRVS01_14	0.028	0.045	-0.031	-0.063	-0.023	0.007	-0.007	-0.007	0.007
TCRVS01_15	0.053	0.045	-0.309	0.021	0.249	0.007	-0.007	-0.007	0.007
TCRVS01_16	2.017	1.815	0.546	0.163	0.512	0.007	-0.007	-0.007	0.007
TCRVS01_17	2.766	1.852	1.866	0.511	0.512	0.007	-0.007	-0.007	0.007
TCRVS01_18	3.375	1.408	2.821	-3.418	2.234	0.007	-0.007	-0.007	0.007
TCRVS01_19	-2.039	2.397	-0.224	1.039	1.654	0.007	-0.007	-0.007	0.007
TCRVS01_20	-2.924	1.046	1.512	1.070	0.587	0.007	-0.007	-0.007	0.007
TCRVS01_21	-1.604	-0.326	-0.043	1.137	0.619	0.007	-0.007	-0.007	0.007
TCRVS01_22	-0.137	-0.137	-0.183	0.152	0.181	0.007	-0.007	-0.007	0.007
TCRVS01_23	0.000	0.028	-0.008	-0.007	-0.006	0.007	-0.007	-0.007	0.007
TCRVS01_24	0.837	0.060	1.838	1.279	-1.079	0.007	-0.007	-0.007	0.007
TCRVS01_25	1.234	-0.479	3.067	-1.119	-0.651	0.007	-0.007	-0.007	0.007
TCRVS01_26	1.397	2.345	0.393	0.461	1.264	0.007	-0.007	-0.007	0.007
TCRVS01_27	4.717	2.530	2.368	-0.484	1.030	0.007	-0.007	-0.007	0.007
TCRVS01_28	-0.442	2.391	-0.465	0.761	3.083	0.007	-0.007	-0.007	0.007
TCRVS01_29	-3.185	0.824	-0.824	0.843	1.874	0.007	-0.007	-0.007	0.007
TCRVS01_30	-1.940	0.518	-0.716	0.651	0.453	0.007	-0.007	-0.007	0.007
TCRVS01_31	-0.246	-0.005	-0.134	-0.042	0.380	0.007	-0.007	-0.007	0.007
TCRVS01_32	-0.014	-0.039	0.066	0.871	0.088	0.007	-0.007	-0.007	0.007
TCRVS01_33	-0.233	0.804	-0.102	-0.241	0.488	0.007	-0.007	-0.007	0.007
TCRVS01_34	0.704	-0.501	0.139	-0.133	2.223	0.007	-0.007	-0.007	0.007
TCRVS01_35	0.540	-0.066	1.200	0.121	0.644	0.007	-0.007	-0.007	0.007
TCRVS01_36	3.830	-0.333	-0.332	-1.141	-0.926	0.007	-0.007	-0.007	0.007
TCRVS01_37	-1.874	1.153	-1.559	2.277	1.302	0.007	-0.007	-0.007	0.007
TCRVS01_38	-2.134	2.038	-0.379	0.551	-0.926	0.007	-0.007	-0.007	0.007
TCRVS01_39	-1.059	0.963	0.211	-0.103	-0.832	0.007	-0.007	-0.007	0.007
TCRVS01_40	0.424	-0.358	-0.028	-0.768	-0.232	0.007	-0.007	-0.007	0.007
TCRVS01_41	1.819	-1.083	-0.287	-2.354	-0.715	0.007	-0.007	-0.007	0.007
TCRVS01_42	1.924	-0.487	0.185	-1.745	-0.622	0.007	-0.007	-0.007	0.007
TCRVS01_43	4.338	-1.368	1.354	-4.812	-2.978	0.007	-0.007	-0.007	0.007
TCRVS01_44	-1.227	1.076	-1.077	1.819	-0.474	0.007	-0.007	-0.007	0.007
TCRVS01_45	-3.201	2.555	-0.359	3.109	1.871	0.007	-0.007	-0.007	0.007
TCRVS01_46	-2.699	0.852	-0.813	1.452	-0.886	0.007	-0.007	-0.007	0.007
TCRVS01_47	-0.818	0.015	0.169	0.837	0.740	0.007	-0.007	-0.007	0.007
TCRVS01_48	-0.014	-0.041	0.163	-0.147	0.740	0.007	-0.007	-0.007	0.007
TCRVS01_49	-0.068	0.075	0.105	-0.132	0.740	0.007	-0.007	-0.007	0.007
TCRVS01_50	0.507	-0.204	-0.849	-0.144	-0.608	0.007	-0.007	-0.007	0.007
TCRVS01_51	-0.108	-0.302	1.102	-0.190	1.583	0.007	-0.007	-0.007	0.007
TCRVS01_52	0.297	0.863	0.017	-1.185	1.218	0.007	-0.007	-0.007	0.007
TCRVS01_53	0.473	0.115	-1.272	0.152	0.152	0.007	-0.007	-0.007	0.007
TCRVS01_54	-0.365	-0.472	-0.194	-0.172	0.403	0.007	-0.007	-0.007	0.007
TCRVS01_55	-0.472	-0.105	1.392	0.772	-1.418	0.007	-0.007	-0.007	0.007
TCRVS01_56	-0.050	-0.797	-0.432	0.439	-1.028	0.007	-0.007	-0.007	0.007
TCRVS01_57	-0.130	-0.039	0.139	0.133	0.444	0.007	-0.007	-0.007	0.007
TCRVS01_58	0.040	-0.080	-0.402	-0.148	0.444	0.007	-0.007	-0.007	0.007
TCRVS01_59	0.934	-0.338	-0.144	-2.171	2.171	0.007	-0.007	-0.007	0.007
TCRVS01_60	0.369	-0.935	2.707	6.763	4.320	0.007	-0.007	-0.007	0.007
TCRVS01_61	2.212	-0.160	0.927	2.838	3.030	0.007	-0.007	-0.007	0.007
TCRVS01_62	2.774	1.777	-0.449	-1.480	3.543	0.007	-0.007	-0.007	0.007
TCRVS01_63	-1.487	2.603	6.703	-3.332	-3.167	0.007	-0.007	-0.007	0.007
TCRVS01_64	-0.264	3.704	-0.360	-1.373	-1.144	0.007	-0.007	-0.007	0.007
TCRVS01_65	0.317	0.447	-0.183	-0.536	-0.086	0.007	-0.007	-0.007	0.007
TCRVS01_66	0.100	-0.012	0.013	-0.013	-0.014	0.007	-0.007	-0.007	0.007
TCRVS01_67	0.000	-0.012	0.013	-0.013	-0.014	0.007	-0.007	-0.007	0.007
TCRVS01_68	0.486	0.636	-0.103	-0.518	-0.360	0.007	-0.007	-0.007	0.007
TCRVS01_69	0.839	1.793	1.173	1.028	-1.646	0.007	-0.007	-0.007	0.007
TCRVS01_70	1.789	1.616	0.700	-0.174	0.498	0.007	-0.007	-0.007	0.007
TCRVS01_71	-3.735	-0.632	0.512	-2.134	0.498	0.007	-0.007	-0.007	0.007
TCRVS01_72	-0.813	-1.518	0.188	0.424	0.368	0.007	-0.007	-0.007	0.007
TCRVS01_73	2.331	-0.607	-0.813	0.275	0.931	0.007	-0.007	-0.007	0.007

Page 12/200 = 12/2000

TCRVS10_12	0.123	-0.210	-0.756	0.100	0.379
TCRVS10_13	0.007	-0.007	-0.007	0.007	0.007
TCRVS10_14	0.007	-0.007	-0.007	0.007	0.007
TCRVS10_15	0.007	-0.007	-0.007	0.007	0.007
TCRVS10_16	0.007	-0.007	-0.007	0.007	0.007
TCRVS10_17	0.007	-0.007	-0.007	0.007	0.007
TCRVS10_18	0.007	-0.007	-0.007	0.007	0.007
TCRVS10_19	0.007	-0.007	-0.007	0.007	0.007
TCRVS10_20	0.007	-0.007	-0.007	0.007	0.007
TCRVS10_21	0.007	-0.007	-0.007	0.007	0.007
TCRVS10_22	0.007	-0.007	-0.007	0.007	0.007
TCRVS10_23	0.007	-0.007	-0.007	0.007	0.007
TCRVS10_24	0.007	-0.007	-0.007	0.007	0.007
TCRVS10_25	0.007	-0.007	-0.007	0.007	0.007
TCRVS10_26	0.007	-0.007	-0.007	0.007	0.007
TCRVS10_27	0.007	-0.007	-0.007	0.007	0.007
TCRVS10_28	0.007	-0.007	-0.007	0.007	0.007
TCRVS10_29	0.007	-0.007	-0.007	0.007	0.007
TCRVS10_30	0.007	-0.007	-0.007	0.007	0.007
TCRVS10_31	0.007	-0.007	-0.007	0.007	0.007
TCRVS10_32	0.007	-0.007	-0.007	0.007	0.007
TCRVS10_33	0.007	-0.007	-0.007	0.007	0.007
TCRVS10_34	0.007	-0.007	-0.007	0.007	0.007
TCRVS10_35	0.007	-0.007	-0.007	0.007	0.007
TCRVS10_36	0.007	-0.007	-0.007	0.007	0.007
TCRVS10_37	0.007	-0.007	-0.007	0.007	0.007
TCRVS10_38	0.007	-0.007	-0.007	0.007	0.007
TCRVS10_39	0.007	-0.007	-0.007	0.007	0.007
TCRVS10_40	0.007	-0.007	-0.007	0.007	0.007
TCRVS10_41	0.007	-0.007	-0.007	0.007	0.007
TCRVS10_42	0.007	-0.007	-0.007	0.007	0.007
TCRVS10_43	0.007	-0.007	-0.007	0.007	0.007
TCRVS10_44	0.007	-0.007	-0.007	0.007	0.007
TCRVS10_45	0.007	-0.007	-0.007	0.007	0.007
TCRVS10_46	0.007	-0.007	-0.007	0.007	0.007
TCRVS10_47	0.007	-0.007	-0.007	0.007	0.007
TCRVS10_48	0.007	-0.007	-0.007	0.007	0.007
TCRVS10_49	0.007	-0.007	-0.007	0.007	0.007
TCRVS10_50	0.007	-0.007	-0.007	0.007	0.007
TCRVS10_51	0.007	-0.007	-0.007	0.007	0.007
TCRVS10_52	0.007	-0.007	-0.007	0.007	0.007
TCRVS10_53	0.007	-0.007	-0.007	0.007	0.007
TCRVS10_54	0.007	-0.007	-0.007	0.007	0.007
TCRVS10_55	0.007	-0.007	-0.007	0.007	0.007
TCRVS10_56	0.007	-0.007	-0.007	0.007	0.007
TCRVS10_57	0.007	-0.007	-0.007	0.007	0.007
TCRVS10_58	0.007	-0.007	-0.007	0.007	0.007
TCRVS10_59	0.007	-0.007	-0.007	0.007	0.007
TCRVS10_60	0.007	-0.007	-0.007	0.007	0.007
TCRVS10_61	0.007	-0.007	-0.007	0.007	0.007
TCRVS10_62	0.007	-0.007	-0.007	0.007	0.007
TCRVS10_63	0.007	-0.007	-0.007	0.007	0.007
TCRVS10_64	0.007	-0.007	-0.007	0.007	0.007
TCRVS10_65	0.007	-0.007	-0.007	0.007	0.007
TCRVS10_66	0.007	-0.007	-0.007	0.007	0.007
TCRVS10_67	0.007	-0.007	-0.007	0.007	0.007
TCRVS10_68	0.007	-0.007	-0.007	0.007	0.007
TCRVS10_69	0.007	-0.007	-0.007	0.007	0.007
TCRVS10_70	0.007	-0.007	-0.007	0.007	0.007
TCRVS10_71	0.007	-0.007	-0.007	0.007	0.007
TCRVS10_72	0.007	-0.007	-0.007	0.007	0.007
TCRVS10_73	0.007	-0.007	-0.007	0.007	0.007
TCRVS10_74	0.007	-0.007	-0.007	0.007	0.007
TCRVS10_75	0.007	-0.007	-0.007	0.007	0.007
TCRVS10_76	0.007	-0.007	-0.007	0.007	0.007
TCRVS10_77	0.007	-0.007	-0.007	0.007	0.007
TCRVS10_78	0.007	-0.007	-0.007	0.007	0.007
TCRVS10_79	0.007	-0.007	-0.007	0.007	0.007
TCRVS10_80	0.007	-0.007	-0.007	0.007	0.007
TCRVS10_81	0.007	-0.007	-0.007	0.007	0.007
TCRVS10_82	0.007	-0.007	-0.007	0.007	0.007
TCRVS10_83	0.007	-0.007	-0.007	0.007	0.007
TCRVS10_84	0.007	-0.007	-0.007	0.007	0.007
TCRVS10_85	0.007	-0.007	-0.007	0.007	0.007
TCRVS10_86	0.007	-0.007	-0.007	0.007	0.007
TCRVS10_87	0.007	-0.007	-0.007	0.007	0.007
TCRVS10_88	0.007	-0.007	-0.007	0.007	0.007
TCRVS10_89	0.007	-0.007	-0.007	0.007	0.007
TCRVS10_90	0.007	-0.007	-0.007	0.007	0.007
TCRVS10_91	0.007	-0.007	-0.007	0.007	0.007
TCRVS10_92	0.007	-0.007	-0.007	0.007	0.007
TCRVS10_93	0.007	-0.007	-0.007	0.007	0.007
TCRVS10_94	0.007	-0.007	-0.007	0.007	0.007
TCRVS10_95	0.007	-0.007	-0.007	0.007	0.007
TCRVS10_96	0.007	-0.007	-0.007	0.007	0.007
TCRVS10_97	0.007	-0.007	-0.007	0.007	0.007
TCRVS10_98	0.007	-0.007	-0.007	0.007	0.007
TCRVS10_99	0.007	-0.007	-0.007	0.007	0.007
TCRVS10_100	0.007	-0.007	-0.007	0.007	0.007

PCT/IB2003/003339				
File: A2200000				
TCSR10_7	-0.844	-0.571	-0.083	1.103
TCSR10_8	-1.840	-1.955	0.318	0.191
TCSR10_9	-2.828	-2.858	-2.466	-1.201
TCSR10_10	0.902	1.209	0.029	0.029
TCSR10_11	1.468	1.072	1.212	0.909
TCSR10_12	1.212	1.129	0.722	0.932
TCSR10_13	0.033	0.013	0.018	-0.005
TCSR10_14	-0.030	-0.043	-0.156	0.081
TCSR10_15	-0.178	-0.245	-0.254	0.322
TCSR10_16	-0.701	-0.515	-0.275	0.313
TCSR10_17	0.365	-1.332	-0.336	1.796
TCSR10_18	1.232	1.065	-2.009	-1.357
TCSR10_19	0.552	0.504	1.077	0.152
TCSR10_20	1.134	0.543	1.004	-0.589
TCSR10_21	1.027	1.424	0.213	-0.171
TCSR10_22	0.141	0.584	0.324	-0.137
TCSR10_23	0.178	0.060	0.115	-0.023
TCSR10_24	0.068	0.028	0.043	-0.009
TCSR10_25	-0.150	0.055	-0.102	-0.033
TCSR10_26	-1.373	0.599	3.628	-0.107
TCSR10_27	-0.348	1.431	0.523	0.179
TCSR10_28	-0.358	1.053	0.362	1.307
TCSR10_29	-0.159	0.382	-0.103	1.066
TCSR10_30	-0.054	-3.527	-0.407	-0.837
TCSR10_31	2.150	1.956	-2.532	-1.745
TCSR10_32	0.881	-1.674	-0.794	0.160
TCSR10_33	0.230	-0.264	-0.413	0.107
TCSR10_34	0.076	0.008	0.067	0.044
TCSR10_35	2.147	1.421	-1.243	-0.601
Page 62/62 of 62/62				

PCT/IB2003/003339				
File: A2200000				
TCSR10_36	0.010	-0.005	0.011	0.004
TCSR10_37	0.376	-0.071	0.845	-0.408
TCSR10_38	0.064	0.722	0.722	-0.082
TCSR10_39	-1.000	0.029	0.715	-0.177
TCSR10_40	-0.923	-2.518	4.265	-2.402
TCSR10_41	0.355	-3.888	-0.600	-3.218
TCSR10_42	-1.719	0.152	-1.847	-1.947
TCSR10_43	-0.495	0.040	-1.102	0.650
TCSR10_44	-0.431	0.660	-0.351	0.137
TCSR10_45	0.019	0.095	-0.038	0.137
TCSR10_46	0.016	0.021	0.026	-0.030
TCSR10_47	0.091	0.012	-0.065	-0.180
TCSR10_48	-0.032	-0.617	-0.670	-0.484
TCSR10_49	0.460	-0.682	0.571	-0.075
TCSR10_50	1.407	0.279	-0.753	0.038
TCSR10_51	-1.161	-1.488	-0.001	-1.149
TCSR10_52	0.864	0.135	0.117	0.780
TCSR10_53	1.879	0.292	0.866	-0.001
TCSR10_54	0.188	0.864	0.263	-0.689
TCSR10_55	-0.787	1.391	-0.772	0.718
TCSR10_56	0.065	0.118	0.090	0.082
Page 62/62 of 62/62				

PCT/IB2003/003339				
File: A2200000				
TCSR01_8	1.067	-0.727	1.373	0.059
TCSR01_9	0.749	-1.254	1.719	1.449
TCSR01_10	1.152	-2.882	-0.238	0.542
TCSR01_11	1.131	0.911	-0.882	1.625
TCSR01_12	-0.100	-1.159	-0.412	-0.321
TCSR01_13	0.026	0.003	-0.319	-0.040
TCSR01_14	-0.018	0.034	-0.400	0.187
TCSR01_15	0.822	-0.805	-0.637	-0.694
TCSR01_16	2.155	0.253	0.022	-0.022
TCSR01_17	1.175	-1.512	-1.308	1.751
TCSR01_18	2.579	-1.899	1.344	0.242
TCSR01_19	0.634	-1.180	1.672	-0.806
TCSR01_20	0.052	-0.423	0.078	-0.078
TCSR01_21	-0.959	-0.027	-0.092	-0.004
TCSR01_22	0.015	-0.002	-0.078	0.045
TCSR01_23	0.873	0.757	-0.508	0.284
TCSR01_24	0.619	0.450	-0.204	0.106
TCSR01_25	-0.174	-0.291	-0.052	0.305
TCSR01_26	-0.676	2.430	-0.582	-1.469
TCSR01_27	-0.778	0.460	0.917	-0.431
TCSR01_28	-0.864	-1.129	1.080	-0.380
TCSR01_29	-0.284	-0.449	0.817	0.638
TCSR01_30	-0.160	0.051	0.115	-0.005
TCSR01_31	0.000	-0.002	0.007	-0.004
TCSR01_32	-0.073	0.647	-0.219	-0.438
TCSR01_33	0.963	2.148	1.865	2.078
TCSR01_34	0.810	0.463	0.846	0.191
TCSR01_35	3.442	-1.141	2.762	1.160
TCSR01_36	-2.161	-1.803	0.384	0.444
TCSR01_37	-1.323	1.075	-0.452	-0.014
TCSR01_38	-1.169	0.638	0.747	-0.781
TCSR01_39	-0.109	0.278	0.005	-0.009
TCSR01_40	0.197	0.148	-0.058	-0.062
TCSR01_41	0.170	-0.052	-0.168	0.605
TCSR01_42	-0.839	-0.620	-1.479	-0.479
TCSR01_43	0.396	0.800	-0.862	-0.873
TCSR01_44	2.781	-2.471	2.729	-1.778
TCSR01_45	-1.859	1.436	0.243	0.148
TCSR01_46	-0.824	0.563	-0.030	0.057
TCSR01_47	-0.252	-0.106	0.427	0.861
TCSR01_48	0.206	0.138	-0.237	-0.115
TCSR01_49	0.888	-0.162	-0.439	0.340
TCSR01_50	0.468	0.354	-0.326	0.318
TCSR01_51	1.332	0.760	-1.129	-0.029
TCSR01_52	-0.942	0.537	0.617	-0.131
TCSR01_53	-1.213	-1.178	-0.913	-0.216
TCSR01_54	-0.455	-0.447	0.815	-0.179
TCSR01_55	-0.244	-0.328	-0.109	-0.193
TCSR01_56	-0.144	-0.052	0.019	-0.066
TCSR01_57	-0.039	-0.045	-0.180	0.004
TCSR01_58	0.342	-0.026	-0.030	0.443
TCSR01_59	-0.947	-1.132	-0.723	-0.412
TCSR01_60	-0.394	-0.908	-0.263	-0.566
TCSR01_61	-0.304	-1.478	1.027	0.280
TCSR01_62	-0.306	0.361	0.718	-0.444
TCSR01_63	0.672	1.016	-1.184	-0.405
TCSR01_64	-0.136	-0.269	0.116	-0.178
TCSR01_65	0.246	0.179	-0.059	-0.118
TCSR01_66	-0.111	-0.114	0.116	-0.105
TCSR01_67	-0.394	-0.490	0.412	-0.174
TCSR01_68	2.376	1.296	-1.307	-0.116
TCSR01_69	-1.105	-1.631	2.528	-0.543
TCSR01_70	-1.494	-0.167	2.112	-0.820
TCSR01_71	-1.317	-0.162	-0.255	1.706
Page 62/62 of 62/62				

PCT/IB2003/003339				
File: A2200000				
TCSR01_72	0.841	-0.344	0.534	-1.227
TCSR01_73	0.211	0.151	-0.133	-0.311
TCSR01_74	0.125	0.130	-0.114	-0.045
TCSR01_75	0.009	0.002	-0.023	-0.027
TCSR01_76	-0.012	0.368	-0.453	0.669
TCSR01_77	-0.912	0.002	-0.393	0.171
TCSR01_78	0.335	0.095	-0.061	0.674
TCSR01_79	-1.911	-2.010	-0.427	0.144
TCSR01_80	-1.197	0.113	0.279	-1.791
TCSR01_81	0.495	1.273	0.407	-0.031
TCSR01_82	0.875	-0.231	0.827	-0.000
TCSR01_83	0.033	0.039	-0.001	0.281
TCSR01_84	-0.113	-0.014	0.031	-0.035
TCSR01_85	0.376	-0.398	0.466	0.083
TCSR01_86	-1.021	-0.708	-0.513	0.206
TCSR01_87	-0.618	-0.189	-0.137	-0.230
TCSR01_88	0.519	0.013	0.106	-0.067
TCSR01_89	0.684	1.088	0.258	0.829
TCSR01_90	-0.032	0.970	1.036	0.727
TCSR01_91	0.235	0.819	0.176	0.166
TCSR01_92	0.007	0.847	0.366	-0.183
TCSR01_93	0.102	0.104	0.150	-0.074
TCSR01_94	0.038	0.049	0.035	-0.027
TCSR01_95	-0.091	0.082	-0.005	-0.341
TCSR01_96	-1.847	-0.275	-0.056	0.320
TCSR01_97	-1.370	-1.728	-0.007	-1.965
TCSR01_98	-0.960	-1.148	0.008	0.822
TCSR01_99	-0.141	-0.736	0.491	0.082
TCSR01_100	1.034	1.046	-0.573	0.630
TCSR01_101	2.665	2.278	0.850	-1.239
TCSR01_102	0.427	0.618	-0.469	-0.046
TCSR01_103	0.273	0.081	-0.528	0.641
TCSR01_104	0.028	0.098	-0.072	-0.086
TCSR01_105	-0.517	0.100	-0.288	-0.483
TCSR01_106	-0.632	1.404	0.701	0.790
TCSR01_107	-1.025	1.378	1.371	1.368
TCSR01_108	-1.443	0.973	-0.443	-2.218
TCSR01_109	2.114	-2.950	-0.454	-0.823
TCSR01_110	1.817	-0.497	-1.093	1.108
TCSR01_111	0.216	-0.348	0.209	0.370
TCSR01_112	0.011	-0.157	0.282	-0.113
TCSR01_113	-0.069	-0.091	-0.288	0.312
TCSR01_114	0.088	-0.544	0.211	-0.628
TCSR01_115	-0.276	-0.354	-0.163	1.036
TCSR01_116	1.065	0.764	0.341	-0.025
TCSR01_117	0.786	-0.829	-1.218	-0.440
Page 62/62 of 62/62				

Figure 102

Pct: 4220000				
TCSR16_9	-0.368	-1.945	-2.127	0.342
TCSR16_10	1.217	-1.694	2.619	1.602
TCSR16_11	3.240	-0.994	-1.909	1.949
TCSR16_12	1.410	1.889	2.007	0.323
TCSR16_13	-0.071	-0.004	0.100	-0.113
TCSR16_14	0.008	-0.001	0.009	-0.021
TCSR16_15	0.444	-0.011	0.214	0.352
TCSR16_16	0.462	-0.431	0.135	0.388
TCSR16_17	-1.162	-2.288	1.124	1.467
TCSR16_18	-0.701	1.554	0.814	-0.469
TCSR16_19	0.342	-0.273	-0.817	-1.371
TCSR16_20	0.816	0.369	-1.522	0.722
TCSR16_21	0.411	-0.395	-0.410	-0.263
TCSR16_22	-1.110	1.089	-0.078	-0.214
TCSR16_23	-0.017	0.102	0.061	-0.369
TCSR16_24	9.017	0.022	-0.014	0.059
TCSR16_25	-0.159	-0.344	-0.040	-0.314
TCSR16_26	-0.136	0.001	0.309	0.103
TCSR16_27	0.527	0.900	-0.283	-0.072
TCSR16_28	-0.493	2.152	-0.442	-0.443
TCSR16_29	0.753	2.037	-0.402	-0.104
TCSR16_30	1.088	0.647	1.517	0.033
TCSR16_31	0.094	-2.801	0.007	0.559
TCSR16_32	0.625	-0.933	1.211	0.527
TCSR16_33	-2.891	5.774	0.037	2.526
TCSR16_34	0.010	-0.063	0.112	0.054

16 17 18 19 20

TCSR16_1	0.124	-0.157	0.071	0.040
TCSR16_2	-0.042	-0.045	0.717	0.465
TCSR16_3	-1.057	-0.575	0.858	0.324
TCSR16_4	-1.905	-1.473	1.858	1.108
TCSR16_5	1.325	2.409	-0.098	-0.398
TCSR16_6	-0.453	0.370	0.135	-0.079
TCSR16_7	-0.420	-0.003	-1.074	-1.010
TCSR16_8	0.117	0.356	-0.377	-0.119
TCSR16_9	0.023	0.007	-0.040	-0.023
TCSR16_10	0.124	-0.487	0.032	0.060
TCSR16_11	0.137	-0.177	-0.015	-0.403
TCSR16_12	0.898	-0.608	0.898	0.276
TCSR16_13	0.851	-0.608	0.180	-2.825
TCSR16_14	0.563	-0.344	1.209	-2.132
TCSR16_15	0.535	-0.072	0.086	-0.048
TCSR16_16	-0.037	-0.164	-0.253	-0.113
TCSR16_17	-0.119	0.028	-0.124	-0.315
TCSR16_18	-0.080	0.063	-0.055	0.103
TCSR16_19	0.017	0.072	-0.042	0.251
TCSR16_20	-0.049	-0.841	0.734	0.182
TCSR16_21	-0.240	-1.014	0.022	0.130
TCSR16_22	-1.234	-0.448	-0.237	-0.074
TCSR16_23	0.695	0.397	1.157	-0.296
TCSR16_24	-0.132	-0.715	-0.522	-2.492
TCSR16_25	-0.058	0.639	0.946	0.413
TCSR16_26	0.829	-0.050	0.147	1.753
TCSR16_27	-0.032	-0.008	0.042	0.003
TCSR16_28	0.086	-0.052	-0.209	-0.021
TCSR16_29	0.498	0.595	-0.175	0.273
TCSR16_30	1.633	0.667	-0.153	0.853
TCSR16_31	1.486	-0.139	-0.786	0.875
TCSR16_32	-0.898	-2.797	0.124	-0.295
TCSR16_33	0.243	-1.215	0.751	-0.001
TCSR16_34	-1.891	0.962	0.444	-1.124

Page 4220000 of 4220000

Pct: 4220000				
TCSR16_1	1.190	0.062	0.228	-0.234
TCSR16_2	0.142	0.142	0.348	0.031
TCSR16_3	0.068	0.068	0.068	0.068
TCSR16_4	-0.172	0.329	-0.855	0.342
TCSR16_5	0.864	0.432	-0.237	0.832
TCSR16_6	-0.607	-1.852	-1.027	0.178
TCSR16_7	0.021	2.708	-1.401	0.294
TCSR16_8	-1.410	0.309	-0.606	1.567
TCSR16_9	0.191	-1.680	-1.705	-0.681
TCSR16_10	-0.240	-0.387	0.506	0.405
TCSR16_11	0.072	0.055	0.153	0.024
TCSR16_12	-0.021	-0.064	0.048	0.185
TCSR16_13	0.516	0.343	0.432	0.349
TCSR16_14	1.275	0.207	-3.475	1.409
TCSR16_15	0.447	2.745	-0.429	-1.678
TCSR16_16	0.331	0.319	0.222	0.947
TCSR16_17	-0.075	-2.727	-0.821	0.463
TCSR16_18	-0.740	-0.471	-0.183	0.857
TCSR16_19	0.046	-0.190	0.618	-0.086
TCSR16_20	0.001	0.014	-0.014	0.832
TCSR16_21	0.318	-0.382	-0.234	0.691
TCSR16_22	-0.106	-0.290	0.097	0.879
TCSR16_23	1.023	0.393	0.506	2.042
TCSR16_24	0.155	0.410	-1.111	-0.461
TCSR16_25	0.775	0.108	-0.016	-0.287
TCSR16_26	-1.610	0.422	2.044	-0.148
TCSR16_27	-0.285	0.423	0.107	-0.184
TCSR16_28	0.095	-0.359	0.248	-0.314
TCSR16_29	0.001	-0.004	0.033	-0.003
TCSR16_30	-0.193	0.250	-0.327	0.839
TCSR16_31	-0.655	-0.015	-1.034	-0.317
TCSR16_32	-0.701	0.407	0.002	-0.195
TCSR16_33	-2.083	0.792	1.591	0.749
TCSR16_34	2.228	-0.425	0.112	0.196
TCSR16_35	0.821	-1.187	0.725	-0.164
TCSR16_36	1.107	0.153	-0.153	-0.404
TCSR16_37	0.183	-0.010	0.181	-0.028
TCSR16_38	0.033	0.091	-0.109	0.807
TCSR16_39	0.327	0.327	0.280	0.012
TCSR16_40	-0.158	0.827	-0.019	0.558
TCSR16_41	-1.803	0.175	-0.575	0.082
TCSR16_42	0.123	0.510	0.698	-1.134
TCSR16_43	2.174	-2.065	-0.454	-0.812
TCSR16_44	0.127	0.252	0.127	0.647
TCSR16_45	0.206	0.240	0.033	0.251
TCSR16_46	0.049	0.139	0.363	0.270
TCSR16_47	0.463	0.341	0.542	0.192
TCSR16_48	0.073	0.327	-0.117	-0.189
TCSR16_49	0.492	0.406	0.925	-1.173
TCSR16_50	0.194	-0.960	-0.411	0.322
TCSR16_51	-0.741	-0.707	-0.838	0.240
TCSR16_52	-0.193	-0.743	-0.743	0.155
TCSR16_53	-0.153	0.872	-0.148	0.133
TCSR16_54	0.049	-0.010	0.000	0.113
TCSR16_55	0.103	-0.010	-0.152	-0.114
TCSR16_56	-0.087	-0.248	0.511	-0.127
TCSR16_57	-2.482	-0.251	0.484	0.086
TCSR16_58	1.248	0.438	0.490	0.384
TCSR16_59	-1.147	-0.422	-0.174	0.633
TCSR16_60	-0.259	0.203	0.639	0.379
TCSR16_61	-1.261	0.163	-0.476	-1.232
TCSR16_62	-0.273	0.162	-0.935	-0.613
TCSR16_63	-0.018	-0.023	-0.141	-0.007
TCSR16_64	-0.059	-0.000	0.238	-0.122

Page 4220000 of 4220000

Pct: 4220000				
TCSR16_1	-0.299	0.014	0.483	-0.447
TCSR16_2	0.845	0.325	1.078	-1.432
TCSR16_3	0.057	-1.447	1.129	-1.919
TCSR16_4	0.091	-2.132	-0.403	-2.830
TCSR16_5	0.168	-0.016	2.772	0.247
TCSR16_6	0.018	-0.333	1.005	-0.468
TCSR16_7	0.331	0.113	0.234	-0.124
TCSR16_8	0.511	0.178	0.149	0.824
TCSR16_9	-0.082	-0.346	0.087	-0.008
TCSR16_10	-0.068	0.040	0.139	-0.675
TCSR16_11	0.311	-0.534	-1.023	-1.928
TCSR16_12	1.288	-0.821	-1.583	-1.233
TCSR16_13	-0.178	0.178	0.305	1.488
TCSR16_14	-0.732	0.220	0.837	0.390
TCSR16_15	-0.260	1.184	0.179	1.810
TCSR16_16	-0.489	0.588	0.171	0.461
TCSR16_17	-0.059	0.030	0.008	-0.036
TCSR16_18	-0.187	0.121	-0.022	-0.054
TCSR16_19	-0.403	-0.862	0.367	0.149
TCSR16_20	-0.089	-0.881	0.360	-0.106
TCSR16_21	-0.061	-0.851	0.280	-0.539
TCSR16_22	1.009	0.080	-0.135	0.004
TCSR16_23	0.417	0.408	-0.147	-0.359
TCSR16_24	0.305	0.837	0.107	-0.425
TCSR16_25	0.065	0.524	0.280	0.166
TCSR16_26	-0.245	0.392	0.070	0.387
TCSR16_27	-0.174	0.137	-0.113	0.339
TCSR16_28	-0.065	0.051	-0.044	0.148
TCSR16_29	-0.244	0.064	-0.262	-0.186
TCSR16_30	-1.143	0.239	-0.559	-0.243
TCSR16_31	0.689	0.772	-0.679	0.103
TCSR16_32	-1.397	0.324	-1.048	0.097
TCSR16_33	1.287	-0.944	-0.089	-0.917
TCSR16_34	-0.144	0.009	1.166	-0.649
TCSR16_35	0.229	-0.337	0.371	-0.210
TCSR16_36	0.655	-0.039	0.818	0.658
TCSR16_37	0.109	-0.166	0.321	0.429
TCSR16_38	-0.120	0.101	-0.151	0.302
TCSR16_39	0.219	-0.180	0.339	1.069
TCSR16_40	0.338	-0.753	0.308	-0.422
TCSR16_41	-0.253	-0.434	0.583	0.191
TCSR16_42	-0.134	0.253	0.123	0.098
TCSR16_43	0.615	0.796	0.191	0.492
TCSR16_44	-0.627	0.030	-0.067	-1.198
TCSR16_45	0.155	0.316	-0.308	-0.711
TCSR16_46	-0.188	-0.140	0.061	0.101
TCSR16_47	-0.195	-0.049	0.061	-0.008
TCSR16_48	0.772	-0.000	-0.173	-0.710
TCSR16_49	-0.472	-0.320	0.105	0.553
TCSR16_50	0.212	-0.529	-0.183	-0.106
TCSR16_51	1.124	0.026	-0.375	-0.635
TCSR16_52	-1.004	0.793	-0.506	-0.149
TCSR16_53	-0.945	0.163	0.254	0.464
TCSR16_54	-0.207	-0.108	0.149	0.108
TCSR16_55	-0.073	0.033	0.048	0.039
TCSR16_56	-0.069	0.047	-0.002	-0.041
TCSR16_57	-1.424	0.823	-0.612	0.308
TCSR16_58	-0.284	0.603	-0.108	0.495
TCSR16_59	-0.310	-0.202	0.367	0.197
TCSR16_60	0.473	-0.750	-0.195	-0.387
TCSR16_61	-1.754	0.153	0.793	-1.855
TCSR16_62	2.513	0.639	0.064	-0.176
TCSR16_63	1.052	0.811	0.078	-0.046

Page 4220000 of 4220000

Pct: 4220000					
TCSR16_1_12	0.373	0.129	0.365	0.366	0.187
TCSR16_2_3	0.141	-0.002	0.240	0.062	-0.063
TCSR16_4_6	-0.200	-0.088	-0.280	0.761	0.949
TCSR16_5_7	-0.445	0.401	0.641	0.441	-0.147
TCSR16_6_9	-0.165	1.818	-0.501	-0.780	0.718
TCSR16_7_10	-2.297	-1.879	-0.346	0.342	0.015
TCSR16_8_11	1.331	-1.111	-0.706	0.341	-0.469
TCSR16_9_12	1.941	0.558	0.138	-0.231	0.474
TCSR16_10_13	0.732	0.347	-2.025	1.928	0.023
TCSR16_11_14	0.010	-0.103	-0.073	-0.121	-0.060
TCSR16_12_15	0.003	0.009	0.023	0.002	0.021
TCSR16_13_16	-0.182	0.177	-1.337	-0.305	-0.140
TCSR16_14_17	-0.089	0.569	2.138	-0.613	-0.193
TCSR16_15_18	0.177	0.787	3.683	0.621	0.572
TCSR16_16_19	0.141	2.436	0.365	-1.603	1.022
TCSR16_17_20	-0.143	-0.168	-0.168	0.354	0.001
TCSR16_18_21	-1.942	0.730	-0.489	1.739	-0.345
TCSR16_19_22	-1.010	1.406	-1.354	1.166	-0.392
TCSR16_20_23	-0.379	1.900	-0.000	0.442	-0.154
TCSR16_21_24	0.110	-0.115	-0.170	0.079	-0.444
TCSR16_22_25	0.037	0.073	0.006	0.008	0.032
TCSR16_23_26	0.174	0.057	0.143	0.002	-0.209
TCSR16_24_27	0.126	-0.883	0.112	0.476	-0.215
TCSR16_25_28	0.150	-0.721	-0.177	1.019	-0.307
TCSR16_26_29	0.036	0.035	1.419	2.026	-0.289
TCSR16_27_30	0.448	1.014	2.647	0.289	-0.908
TCSR16_28_31	-0.694	-2.291	0.101	-1.317	-0.325
TCSR16_29_32	-0.169	0.564	-0.947	-0.639	1.190
TCSR16_30_33	0.171	0.778	-0.076	-0.635	0.193
TCSR16_31_34	-1.421	1.203	-0.263	-0.657	1.492
TCSR16_32_35	-0.056	0.039	-0.001	-0.033	0.031
	21	22	23	24	25
TCSR16_1_5	0.176	0.112	0.092	0.019	0.220
TCSR16_1_7	-0.025	0.204	0.115	0.784	-0.249
TCSR16_1_8	-0.348	0.410	-0.567	0.525	0.793
TCSR16_1_9	1.106	-0.919	-1.334	0.464	-0.120
TCSR16_1_10	1.150	0.003	-1.577	1.171	-1.049
TCSR16_1_11	0.113	-0.948	0.690	0.516	0.032
TCSR16_1_12	-0.620	-0.167	1.157	-0.782	0.126
TCSR16_1_13	-0.014	-0.154	-0.417	-0.030	0.003
TCSR16_1_14	0.007	-0.030	0.022	-0.007	-0.025
TCSR16_2_6	-0.154	-0.144	-0.062	-0.182	-0.046
TCSR16_2_7	-0.300	-0.612	0.624	-0.200	0.247
TCSR16_2_8	-0.138	0.000	0.007	-0.490	0.138
TCSR16_2_9	-0.882	-1.559	1.175	-0.541	-0.216
TCSR16_2_10	-0.741	-0.310	0.858	-1.293	-0.075
TCSR16_2_11	-0.395	0.219	0.366	-0.399	-0.503
TCSR16_2_12	0.123	0.216	0.458	-0.271	-0.772
TCSR16_2_13	-0.083	0.034	-0.072	-0.031	0.146
TCSR16_3_4	0.084	0.059	-0.092	0.099	0.012
TCSR16_3_5	0.160	0.057	-0.045	0.149	0.083
TCSR16_3_6	0.020	0.574	-0.091	0.166	0.166
TCSR16_3_7	0.167	0.132	1.060	-0.101	-0.038
TCSR16_3_8	0.560	0.177	0.901	-0.332	0.677
TCSR16_3_9	1.092	-0.183	-0.343	0.379	-0.169
TCSR16_3_10	-1.177	-0.655	-1.703	0.453	0.516
TCSR16_3_11	0.172	0.102	-0.182	0.237	-1.275
TCSR16_3_12	0.481	0.039	-0.092	-0.349	-0.199
TCSR16_3_13	-0.149	-0.193	0.193	0.489	0.183
TCSR16_3_14	-0.031	0.031	0.032	-0.044	-0.079
TCSR16_4_7	0.125	0.106	0.312	0.430	-0.034

PCT/IB2003/003339				
TCRBV04_9	-0.380	-0.497	0.305	0.601
TCRBV04_10	0.067	0.229	-0.235	-1.262
TCRBV04_11	0.686	0.081	-0.381	-1.065
TCRBV04_12	0.930	-0.029	0.262	0.160
TCRBV04_13	-1.525	-0.431	-0.484	0.267
TCRBV04_14	0.005	0.119	-0.064	-0.042
TCRBV04_15	-0.145	0.222	-0.019	0.133
TCRBV05_1	-0.187	0.084	0.160	-0.154
TCRBV05_2	-0.784	0.005	1.127	-0.349
TCRBV05_3	-0.145	0.663	0.917	-0.724
TCRBV05_4	1.484	0.366	-0.074	1.290
TCRBV05_5	-1.002	-1.365	-0.071	-0.016
TCRBV05_6	0.680	0.478	-0.173	-1.119
TCRBV05_7	0.389	0.298	-2.312	-0.076
TCRBV05_8	0.311	0.128	-0.474	0.263
TCRBV05_9	-0.058	0.172	-0.043	0.216
TCRBV05_10	-0.153	0.005	0.047	-0.306
TCRBV05_11	0.474	0.620	0.038	0.063
TCRBV05_12	-0.841	1.023	0.192	1.215
TCRBV05_13	0.141	0.228	-0.018	0.109
TCRBV05_14	0.816	-0.484	0.182	-0.388
TCRBV05_15	-0.563	-0.004	-0.516	-0.179
TCRBV06_1	-0.332	-0.167	-0.179	-0.536
TCRBV06_2	-0.175	0.021	0.030	-0.157
TCRBV06_3	0.006	0.012	-0.019	-0.018
TCRBV06_4	0.384	-0.059	0.336	0.547
TCRBV06_5	0.510	0.824	0.632	0.069
TCRBV06_6	0.278	0.135	0.104	0.432
TCRBV06_7	1.472	-0.567	-0.245	-0.017
TCRBV06_8	-0.804	-0.066	0.103	0.279
TCRBV06_9	-0.178	-0.623	0.586	0.092
TCRBV06_10	0.080	-0.107	-0.967	0.384
TCRBV06_11	-0.004	0.120	-0.206	-0.019
TCRBV06_12	0.005	-0.011	0.025	-0.063
TCRBV06_13	0.273	-0.356	0.593	-0.046
TCRBV06_14	-0.462	-1.364	0.764	0.175
TCRBV06_15	-0.703	-0.703	-0.719	-0.084
TCRBV07_1	0.020	-0.159	0.843	-0.844
TCRBV07_2	0.325	0.727	-0.731	-0.733
TCRBV07_3	0.931	0.422	0.884	0.290
TCRBV07_4	0.860	0.157	-0.612	-0.173
TCRBV07_5	0.275	-0.052	0.129	0.030
TCRBV07_6	-0.186	0.018	0.214	-0.042
TCRBV07_7	-0.363	0.415	-0.237	-0.181
TCRBV07_8	-0.135	-0.743	-0.377	-0.504
TCRBV07_9	-0.470	0.051	0.358	0.063
TCRBV07_10	1.322	-2.568	-1.649	1.176
TCRBV07_11	0.102	1.236	0.980	-0.910
TCRBV07_12	-0.321	0.553	-0.173	-0.359
TCRBV07_13	-0.128	-0.027	0.222	-0.092
TCRBV07_14	-0.605	0.479	0.143	-0.066
TCRBV07_15	-0.814	0.771	0.245	0.443
TCRBV08_1	-0.808	1.041	0.104	0.180
TCRBV08_2	-0.105	1.890	0.137	0.544
TCRBV08_3	-0.303	-2.108	-0.899	-0.261
TCRBV08_4	0.947	-0.838	-0.159	-0.188
TCRBV08_5	0.630	-0.472	-0.041	-0.063
TCRBV08_6	0.313	-0.113	0.474	-0.016
TCRBV08_7	-0.010	-0.006	0.079	0.049
TCRBV08_8	-0.037	-0.000	-0.069	0.041
TCRBV08_9	-0.326	-0.630	-0.061	0.048
TCRBV08_10	-0.321	-0.408	-0.024	0.293
TCRBV08_11	-0.608	-0.310	-0.479	0.183
TCRBV08_12	-0.930	-0.398	0.460	-0.094

Page 4 (Total of 4 Pages)

PCT/IB2003/003339				
TCRBV08_13	0.333	0.091	0.214	-0.766
TCRBV08_14	-1.560	-0.215	-0.432	-0.104
TCRBV08_15	0.321	0.321	0.321	0.321
TCRBV09_1	-0.220	0.273	0.448	-0.401
TCRBV09_2	0.191	0.644	0.898	-0.603
TCRBV09_3	-1.128	-0.203	-0.508	-2.383
TCRBV09_4	-1.077	-0.218	-0.463	-0.396
TCRBV09_5	-0.328	0.316	0.622	-0.181
TCRBV09_6	0.462	-1.803	-1.302	-0.530
TCRBV09_7	0.124	0.435	1.089	1.634
TCRBV09_8	0.117	0.608	0.608	-0.121
TCRBV09_9	0.140	0.159	0.164	0.490
TCRBV09_10	-0.003	0.032	0.032	-0.031
TCRBV09_11	0.722	0.342	-0.483	-0.361
TCRBV09_12	-0.072	0.332	0.332	0.051
TCRBV09_13	0.316	-0.457	-0.381	-0.072
TCRBV09_14	0.045	-0.956	1.049	-0.279
TCRBV09_15	-0.438	-0.510	0.421	-0.130
TCRBV10_1	-1.012	0.451	0.336	0.818
TCRBV10_2	-0.862	0.810	0.044	-0.173
TCRBV10_3	0.040	0.028	-0.044	0.006
TCRBV10_4	-0.044	0.042	-0.880	0.134
TCRBV10_5	-0.072	0.017	-0.360	0.328
TCRBV10_6	-0.587	0.643	0.146	0.283
TCRBV10_7	0.172	-0.023	-0.417	-0.738
TCRBV10_8	-1.042	0.612	-0.205	-1.241
TCRBV10_9	1.012	-0.917	0.336	0.818
TCRBV10_10	1.013	0.443	0.445	0.531
TCRBV10_11	0.602	-0.543	0.273	0.916
TCRBV10_12	0.680	0.169	-0.083	0.498
TCRBV10_13	0.183	0.129	-0.006	0.194
TCRBV10_14	0.068	0.018	-0.574	0.027
TCRBV10_15	0.022	0.053	0.180	-0.065
TCRBV11_1	1.110	-0.584	1.057	-0.068
TCRBV11_2	-0.035	-0.748	0.467	-0.097
TCRBV11_3	-0.019	-1.002	0.489	-0.176
TCRBV11_4	0.097	-0.402	0.187	-0.477
TCRBV11_5	0.119	0.946	-0.925	1.009
TCRBV11_6	-2.043	1.000	-0.114	-0.635
TCRBV11_7	0.547	0.817	1.581	0.328
TCRBV11_8	0.492	0.242	0.041	0.011
TCRBV11_9	0.121	0.015	-0.051	-0.017
TCRBV11_10	-1.169	0.238	0.235	0.239
TCRBV11_11	0.108	0.554	0.214	0.480
TCRBV11_12	-0.691	-0.703	-1.262	-0.489
TCRBV11_13	0.455	0.203	0.486	-0.737
TCRBV11_14	-0.196	-0.138	1.183	0.204
TCRBV11_15	-0.090	-0.070	-0.409	-0.237
TCRBV12_1	0.033	-0.180	0.256	0.096
TCRBV12_2	0.132	-0.480	-0.176	0.063
TCRBV12_3	0.308	0.021	-0.164	-0.105
TCRBV12_4	0.184	0.312	0.184	-0.014
TCRBV12_5	1.453	-0.325	0.487	-0.207
TCRBV12_6	0.303	-0.479	-0.102	0.386
TCRBV12_7	-0.497	-0.184	-0.253	-0.088
TCRBV12_8	-0.053	-1.188	-0.880	-0.094
TCRBV12_9	-1.230	0.427	0.230	0.610
TCRBV12_10	0.086	0.023	-0.003	0.213
TCRBV12_11	0.052	0.017	-0.041	0.064
TCRBV12_12	0.012	0.022	-0.061	0.023
TCRBV12_13	-0.031	1.008	-1.136	-0.396
TCRBV12_14	-0.773	-0.068	0.204	0.636
TCRBV12_15	-1.179	-0.041	-0.204	-0.181

Page 4 (Total of 4 Pages)

PCT/IB2003/003339				
TCRBV13_1	0.830	0.729	-0.001	0.308
TCRBV13_2	1.708	0.830	1.383	-0.416
TCRBV13_3	0.590	-1.442	0.006	0.883
TCRBV13_4	0.879	-0.497	0.040	-0.015
TCRBV13_5	-0.276	-0.332	-0.008	-0.163
TCRBV13_6	-0.131	0.237	0.055	0.198
TCRBV13_7	-0.459	0.446	-0.884	1.169
TCRBV13_8	-0.235	0.423	-0.002	-1.066
TCRBV13_9	-0.052	0.742	0.273	1.006
TCRBV13_10	-0.353	-0.298	-0.533	0.191
TCRBV13_11	-0.445	0.654	-2.438	-0.393
TCRBV13_12	1.179	-0.232	2.076	0.808
TCRBV13_13	-1.224	-1.220	0.280	-1.104
TCRBV13_14	0.110	-0.030	0.051	-0.121
TCRBV13_15	0.002	-0.007	0.012	0.016
TCRBV14_1	-0.245	0.670	0.183	0.552
TCRBV14_2	-0.407	0.864	0.120	0.558
TCRBV14_3	-0.245	0.101	0.120	0.372
TCRBV14_4	-1.112	-0.789	-0.803	0.752
TCRBV14_5	0.039	-1.402	0.295	-0.204
TCRBV14_6	0.412	-0.109	-0.765	0.093
TCRBV14_7	0.873	-0.445	-0.474	-0.505
TCRBV14_8	0.327	0.270	-0.587	0.179
TCRBV14_9	0.117	0.037	-0.029	0.059
TCRBV14_10	-0.040	0.025	0.067	-0.016
TCRBV14_11	-0.153	-0.149	-0.129	0.106
TCRBV14_12	-0.480	0.144	-0.032	0.011
TCRBV14_13	0.191	-0.930	-0.416	-0.817
TCRBV14_14	0.927	-1.448	0.347	0.407
TCRBV14_15	1.465	-0.630	-0.303	0.212
TCRBV15_1	-0.152	0.082	0.723	1.997
TCRBV15_2	1.612	1.397	0.181	0.414
TCRBV15_3	0.034	0.274	0.268	-0.489
TCRBV15_4	-0.006	1.336	-0.794	0.415
TCRBV15_5	-0.018	0.042	0.012	-0.052
TCRBV16_1	-0.282	-0.173	-0.047	0.033
TCRBV16_2	-0.070	-0.189	0.155	0.132
TCRBV16_3	0.777	0.327	0.287	0.175
TCRBV16_4	0.358	0.670	-0.805	-1.099
TCRBV16_5	0.191	0.121	-0.041	0.488
TCRBV16_6	-0.142	0.104	0.193	0.390
TCRBV16_7	0.140	-0.343	-0.174	0.390
TCRBV16_8	0.012	0.227	0.033	0.044
TCRBV16_9	0.021	0.030	0.018	-0.007
TCRBV16_10	0.093	0.027	-0.034	0.174
TCRBV16_11	-0.504	-0.302	0.118	-0.047
TCRBV16_12	-0.324	-0.440	-0.028	-0.282
TCRBV16_13	-1.091	0.926	0.506	0.232
TCRBV16_14	-0.999	0.921	0.348	-0.144
TCRBV16_15	-0.992	0.143	-0.158	-0.016
TCRBV17_1	-0.464	-0.114	0.553	-0.206
TCRBV17_2	-0.078	-0.031	-0.008	-0.158
TCRBV17_3	0.089	-0.011	-0.028	0.098
TCRBV17_4	-0.011	-0.018	0.016	-0.014
TCRBV17_5	-0.558	-0.170	0.018	0.242
TCRBV17_6	0.303	-0.272	0.533	-0.035
TCRBV17_7	-0.346	-0.173	1.131	-0.458
TCRBV17_8	-0.939	-0.208	-0.358	-0.890
TCRBV17_9	0.111	0.163	0.257	0.032
TCRBV17_10	0.539	0.257	-0.349	0.608

Page 4 (Total of 4 Pages)

PCT: (P2ZAN)				
TCRBV01_12	0.462	-0.235	-0.704	0.351
TCRBV02_13	0.364	1.230	-0.599	0.225
TCRBV04_6	-0.077	0.040	0.017	0.051
TCRBV04_7	0.065	-0.373	0.127	0.327
TCRBV04_8	-0.901	-0.621	-0.021	0.138
TCRBV04_9	0.644	-1.073	0.121	-0.632
TCRBV04_10	-0.266	0.229	-0.595	-1.448
TCRBV04_11	-0.192	0.607	-0.008	-0.468
TCRBV04_12	-0.269	0.168	0.115	0.537
TCRBV04_13	-0.147	0.826	-0.038	-0.248
TCRBV04_14	-0.370	0.090	0.880	-0.020
TCRBV04_15	0.098	-0.088	0.060	-0.283
TCRBV051_5	0.095	-0.072	-0.117	0.691
TCRBV051_6	0.300	-0.748	-0.150	-0.465
TCRBV051_7	-1.134	0.130	-0.309	-0.31
TCRBV051_8	-1.100	-0.692	-0.239	-0.912
TCRBV051_9	0.976	1.173	1.475	0.917
TCRBV051_10	-1.264	0.031	-0.312	-0.388
TCRBV051_11	0.470	0.370	0.429	-0.433
TCRBV051_12	-0.706	-0.664	-0.825	0.434
TCRBV051_13	-0.004	0.036	-0.078	-0.212
TCRBV051_14	-0.000	-0.001	0.668	-0.664
TCRBV052_7	-0.393	0.476	0.304	-0.790
TCRBV052_8	-0.546	-0.549	0.373	-0.043
TCRBV052_9	0.330	-0.116	-0.366	0.497
TCRBV052_10	-0.485	-0.901	0.189	0.409
TCRBV052_11	0.085	0.292	0.343	0.291
TCRBV052_12	0.151	0.068	-0.110	0.506
TCRBV052_13	-0.182	0.121	-0.238	-0.117
TCRBV056_3	0.021	-0.032	0.071	0.071
TCRBV06_6	-0.364	-0.862	0.103	0.378
TCRBV06_7	0.038	-0.190	0.745	0.582
TCRBV06_8	-0.268	-0.401	-0.181	-0.112
TCRBV06_9	-1.055	0.098	0.253	0.189
TCRBV06_10	0.813	1.251	-0.532	-0.726
TCRBV06_11	1.757	0.007	-0.638	-0.549
TCRBV06_12	-0.007	-0.013	0.346	0.821
TCRBV06_13	0.503	0.310	0.064	0.379
TCRBV07_5	-0.008	-0.009	0.028	-0.637
TCRBV07_6	-0.158	0.194	0.267	0.119
TCRBV07_7	0.188	0.158	-0.638	-0.370
TCRBV07_8	-0.102	-0.466	-0.247	0.820
TCRBV07_9	0.588	0.455	0.107	-1.057
TCRBV07_10	-0.009	-0.180	0.284	0.316
TCRBV07_11	0.947	0.490	0.487	0.199
TCRBV07_12	-0.505	-0.848	0.453	0.428
TCRBV07_13	-0.188	-0.018	-0.330	-0.130
TCRBV07_14	0.015	0.163	-0.033	0.165
TCRBV081_8	0.340	-0.721	0.134	-0.209
TCRBV081_9	0.198	0.989	0.882	-0.781
TCRBV081_10	0.018	1.290	-0.368	-0.362
TCRBV081_9	-0.341	-0.693	0.100	0.604
TCRBV081_10	-0.120	-0.993	-0.876	-0.295
TCRBV081_11	-0.068	-0.504	-1.345	0.167
TCRBV081_12	-0.943	-0.144	0.172	-0.492
TCRBV082_4	-0.267	0.115	0.380	0.258
TCRBV082_5	-0.027	0.511	-0.006	0.191
TCRBV082_6	-0.029	0.512	0.484	0.553
TCRBV082_7	0.078	0.715	-0.109	0.577
TCRBV082_8	-0.093	-0.784	-0.190	-0.494
TCRBV082_9	0.574	-0.843	-0.187	-0.432
TCRBV082_10	-0.153	-0.093	-0.418	-0.378
TCRBV082_11	0.879	-0.100	-0.139	-0.024
TCRBV082_12	0.024	0.093	-0.041	0.017

Ref: A2300001

TCRVS003_5	-0.055	-0.090	-0.101	-0.208	-0.210
TCRVS003_6	-0.165	-0.072	-0.132	-0.206	-0.193
TCRVS003_7	-0.059	-0.082	-0.150	-0.233	-0.264
TCRVS003_8	-0.244	-0.198	-0.487	-0.165	-0.448
TCRVS003_9	-0.022	-0.388	-0.105	-0.293	-0.202
TCRVS003_10	-0.487	-0.366	-0.142	-0.291	-0.267
TCRVS003_11	-0.102	-0.123	-0.141	-0.074	-0.065
TCRVS003_12	-0.212	-0.256	-0.623	-0.126	-0.325
TCRVS003_13	-0.009	-0.107	-0.075	-0.104	-0.032
TCRVS003_14	-0.040	-0.092	-0.170	-0.202	-0.084
TCRVS003_15	-0.222	-0.222	-0.222	-0.431	-0.002
TCRVS003_16	-0.200	-0.367	-0.064	-0.400	-0.451
TCRVS003_17	-1.272	-0.683	-1.048	-0.775	-0.097
TCRVS003_18	-0.704	-0.103	-1.093	-0.460	-0.387
TCRVS003_19	-0.085	-1.268	-0.041	-0.042	-0.021
TCRVS003_20	-0.059	-0.702	-1.093	-0.156	-0.552
TCRVS003_21	-0.235	-0.495	-0.289	-0.297	-0.352
TCRVS003_22	-0.100	-0.184	-0.152	-0.049	-0.097
TCRVS003_23	-0.017	-0.068	-0.045	-0.041	-0.132
TCRVS003_24	-0.287	-0.039	-0.045	-0.334	-0.420
TCRVS003_25	-0.429	-0.491	-0.188	-0.307	-0.390
TCRVS003_26	-0.633	-0.391	-0.083	-0.091	-0.461
TCRVS003_27	-0.619	-0.661	-0.081	-0.255	-0.353
TCRVS003_28	-0.389	-0.797	-0.118	-0.167	-0.167
TCRVS003_29	-1.749	-0.224	-0.595	-0.531	-0.325
TCRVS003_30	-0.671	-0.022	-0.356	-0.355	-0.062
TCRVS003_31	-0.043	-0.005	-0.011	-0.003	-0.008
TCRVS003_32	-0.032	-0.215	-0.106	-0.039	-0.087
TCRVS003_33	-0.025	-0.117	-0.066	-0.195	-0.215
TCRVS003_34	-0.249	-0.234	-0.130	-0.658	-0.015
TCRVS003_35	-0.671	-0.820	-0.403	-0.609	-0.132
TCRVS003_36	-0.102	-0.910	-0.555	-0.793	-0.308
TCRVS003_37	-0.501	-0.385	-0.148	-0.130	-0.076
TCRVS003_38	-0.061	-0.372	-0.022	-0.481	-0.019
TCRVS003_39	-0.834	-0.718	-0.048	-0.342	-0.086
TCRVS003_40	-0.015	-0.009	-0.010	-0.103	-0.107
TCRVS003_41	-0.134	-0.023	-0.061	-0.013	-0.038
TCRVS003_42	-0.072	-0.009	-0.023	-0.005	-0.014
TCRVS003_43	-0.043	-0.093	-0.032	-0.160	-0.049
TCRVS003_44	-0.547	-0.408	-0.493	-0.098	-0.098
TCRVS003_45	-0.015	-0.242	-0.075	-0.603	-0.882
TCRVS003_46	-0.338	-0.743	-0.232	-0.421	-0.135
TCRVS003_47	-0.346	-0.402	-0.469	-0.321	-0.268
TCRVS003_48	-0.129	-0.130	-0.438	-0.160	-0.275
TCRVS003_49	-0.084	-0.212	-0.067	-0.144	-0.509
TCRVS003_50	-0.065	-0.002	-0.339	-0.119	-0.125
TCRVS003_51	-0.049	-0.043	-0.019	-0.232	-0.169
TCRVS003_52	-0.134	-0.114	-0.043	-0.026	-0.017
TCRVS003_53	-0.455	-0.181	-0.305	-0.187	-0.607
TCRVS003_54	-1.379	-0.132	-0.400	-0.364	-0.455
TCRVS003_55	-0.206	-0.742	-0.886	-0.351	-0.221
TCRVS003_56	-0.852	-1.274	-0.746	-0.468	-0.354
TCRVS003_57	-0.044	-0.333	-0.061	-0.774	-0.397
TCRVS003_58	-0.172	-0.648	-0.488	-0.527	-0.411
TCRVS003_59	-0.028	-0.232	-0.187	-0.299	-0.213
TCRVS003_60	-0.087	-0.042	-0.131	-0.217	-0.217
TCRVS003_61	-0.043	-0.237	-0.047	-0.944	-0.007
TCRVS003_62	-0.033	-0.233	-0.080	-0.067	-0.036
TCRVS003_63	-0.549	-0.203	-0.186	-0.187	-0.236
TCRVS003_64	-0.499	-0.623	-0.235	-0.008	-0.218
TCRVS003_65	-0.479	-0.737	-0.523	-0.059	-0.059
TCRVS003_66	-1.073	-0.076	-0.466	-0.276	-0.006
TCRVS003_67	-0.382	-1.236	-0.478	-0.254	-0.056
TCRVS003_68	-0.019	-0.034	-0.118	-0.001	-0.042

Page A2300001 of A2300001

PCT/IB2003/003339

TCRVS003_13	0.056	0.001	-0.034	-0.058	-0.034
TCRVS003_14	-0.012	-0.003	-0.003	-0.003	-0.003
TCRVS003_15	-0.233	-0.110	-0.110	-0.110	-0.228
TCRVS003_16	0.094	0.049	-0.149	0.147	0.092
TCRVS003_17	1.304	-0.907	-0.742	0.105	0.265
TCRVS003_18	0.059	0.077	-0.079	-0.167	-0.165
TCRVS003_19	0.168	0.137	-0.007	0.657	-0.303
TCRVS003_20	-0.563	0.401	0.626	-0.747	0.476
TCRVS003_21	-0.275	-0.223	0.463	-0.122	-0.027
TCRVS003_22	-0.074	-0.016	-0.002	-0.052	-0.056
TCRVS003_23	0.002	0.162	-0.110	-0.150	0.038
TCRVS003_24	0.243	1.253	-0.268	0.049	-0.097
TCRVS003_25	1.056	0.195	0.512	0.207	-0.292
TCRVS003_26	1.632	-1.770	-0.136	-0.319	0.366
TCRVS003_27	-0.784	0.057	0.861	-0.379	0.802
TCRVS003_28	0.052	0.426	0.296	0.136	-0.490
TCRVS003_29	-0.134	0.080	0.459	1.341	0.655
TCRVS003_30	-0.377	-0.169	-0.722	-0.136	0.291
TCRVS003_31	0.227	0.109	0.187	0.131	0.131
TCRVS003_32	-0.011	-0.018	-0.005	0.012	-0.006
TCRVS003_33	-0.383	0.183	0.296	-0.584	-0.075
TCRVS003_34	-1.628	-0.627	0.357	-0.442	0.315
TCRVS003_35	-1.240	0.442	0.817	-0.909	-0.135
TCRVS003_36	-0.193	-1.847	-0.017	-0.470	-0.327
TCRVS003_37	-1.171	1.573	-0.965	1.106	0.010
TCRVS003_38	-0.879	-0.272	0.121	0.609	1.186
TCRVS003_39	-0.008	-0.133	0.600	0.343	-0.374
TCRVS003_40	0.204	-0.378	0.270	-0.037	-0.215
TCRVS003_41	0.103	0.032	0.174	0.030	0.103
TCRVS003_42	0.018	-0.029	0.011	0.067	0.023
TCRVS003_43	0.280	0.036	-0.046	0.038	0.287
TCRVS003_44	0.542	-0.193	-0.693	-0.808	0.759
TCRVS003_45	0.607	0.076	0.128	-0.035	0.560
TCRVS003_46	-0.645	0.331	0.621	0.470	0.751
TCRVS003_47	0.289	0.033	-0.723	1.306	0.168
TCRVS003_48	0.105	-0.131	0.222	0.118	-2.818
TCRVS003_49	-0.140	0.194	0.724	-0.342	-0.123
TCRVS003_50	0.484	0.484	-0.325	-0.325	-0.325
TCRVS003_51	0.954	0.993	-0.516	-0.010	-0.050
TCRVS003_52	-0.903	-0.040	0.007	-0.130	-0.019
TCRVS003_53	31	32	33	34	35
TCRVS003_54	-0.018	0.070	0.031	0.093	0.015
TCRVS003_55	0.623	0.102	0.195	0.141	0.027
TCRVS003_56	0.579	-0.704	-0.327	-0.704	-0.327
TCRVS003_57	0.879	1.282	0.305	0.333	0.183
TCRVS003_58	-0.250	0.005	-0.065	-0.239	-0.013
TCRVS003_59	-1.133	-0.810	-0.409	0.385	-0.278
TCRVS003_60	-0.410	-0.356	-0.278	-0.117	-0.310
TCRVS003_61	0.154	-0.135	-0.249	-0.116	-0.062
TCRVS003_62	0.006	-0.005	0.005	0.009	-0.021
TCRVS003_63	0.177	0.356	-0.049	0.221	0.287
TCRVS003_64	-0.560	-0.001	-0.021	-0.055	-0.055
TCRVS003_65	0.353	-0.324	0.209	-0.125	0.170
TCRVS003_66	0.590	-0.538	-0.084	1.106	0.208
TCRVS003_67	0.138	0.189	0.816	0.361	-0.133
TCRVS003_68	-0.057	-0.057	0.888	0.116	-0.094
TCRVS003_69	-0.147	-0.180	0.476	-0.264	-0.089
TCRVS003_70	-0.026	-0.190	0.304	-0.027	0.105
TCRVS003_71	0.008	0.016	-0.042	-0.036	-0.017
TCRVS003_72	-0.042	-0.042	-0.078	-0.078	-0.015
TCRVS003_73	0.674	-0.302	-0.223	-0.348	0.138

Page A2300002 of A2300001

Ref: A2300001

TCRVS003_7	0.077	-0.182	0.423	0.105	-0.334
TCRVS003_8	0.153	-0.593	0.393	-0.247	0.172
TCRVS003_9	-0.075	0.148	0.024	-0.469	0.315
TCRVS003_10	-0.003	-0.803	-0.337	-0.769	-0.435
TCRVS003_11	0.134	0.223	0.046	0.759	-0.637
TCRVS003_12	-0.009	0.547	-0.302	0.033	0.410
TCRVS003_13	0.203	-0.056	-0.318	-0.559	-0.130
TCRVS003_14	-0.079	-0.049	-0.050	-0.049	-0.007
TCRVS003_15	-0.166	0.108	-0.211	-0.025	-0.197
TCRVS003_16	0.598	-0.612	-0.079	0.421	0.288
TCRVS003_17	0.004	0.005	-0.715	0.115	-0.306
TCRVS003_18	-0.510	-0.809	-0.101	-0.101	-0.343
TCRVS003_19	-0.614	-0.128	-0.423	-0.830	0.603
TCRVS003_20	0.461	0.316	1.297	0.276	0.787
TCRVS003_21	0.010	0.803	-0.432	-0.224	-0.893
TCRVS003_22	-0.103	-0.435	-0.146	-0.099	-0.736
TCRVS003_23	0.156	0.146	0.111	0.032	-0.204
TCRVS003_24	-0.354	-0.493	0.016	-0.014	-0.017
TCRVS003_25	0.230	0.114	-0.241	0.300	0.279
TCRVS003_26	-0.467	-0.417	0.229	-0.036	0.325
TCRVS003_27	0.200	-0.266	-0.052	0.210	0.148
TCRVS003_28	0.160	0.392	0.835	-0.238	0.613
TCRVS003_29	0.310	-0.280	-0.589	-0.172	0.265
TCRVS003_30	0.081	0.011	-0.019	0.675	-0.050
TCRVS003_31	-0.019	-0.744	-0.175	0.560	-0.844
TCRVS003_32	-0.153	-0.109	0.157	-0.028	0.013
TCRVS003_33	-0.062	-0.094	0.049	0.162	-0.220
TCRVS003_34	-0.403	-0.084	0.157	-0.360	-0.075
TCRVS003_35	0.253	-0.176	-0.081	0.102	0.184
TCRVS003_36	-0.435	-0.268	0.223	0.420	0.427
TCRVS003_37	0.864	-1.009	-0.094	0.035	-0.113
TCRVS003_38	-0.329	0.277	-0.042	0.137	0.408
TCRVS003_39	0.216	-0.078	-0.036	-0.036	0.114
TCRVS003_40	-0.032	0.043	-0.054	-0.041	-0.019
TCRVS003_41	0.114	-0.034	0.034	-0.001	-0.124
TCRVS003_42	-0.184	0.180	0.144	-0.162	-0.180
TCRVS003_43	-0.416	-0.498	-0.094	-0.241	-0.044
TCRVS003_44	-0.494	0.805	-0.729	-0.191	-0.012
TCRVS003_45	-0.263	0.019	-0.086	-0.087	-0.733
TCRVS003_46	1.044	-0.719	0.273	0.282	-0.062
TCRVS003_47	0.154	-0.814	-0.162	0.123	0.634
TCRVS003_48	0.398	0.386	0.232	-0.107	0.023
TCRVS003_49	0.046	-0.158	0.011	0.100	0.294
TCRVS003_50	-0.014	-0.008	0.026	-0.010	-0.018
TCRVS003_51	-0.023	-0.213	-0.050	-0.478	-0.042
TCRVS003_52	0.563	0.110	0.438	-0.255	-0.371
TCRVS003_53	0.355	0.039	-0.435	0.109	-0.063
TCRVS003_54	-0.133	-0.051	-0.607	-0.325	-0.145
TCRVS003_55	-0.434	-0.074	0.342	-0.064	0.123
TCRVS003_56	-0.193	-0.166	0.054	0.216	0.109

Pct: 42200001			
TCRBV14_8	0.024	-0.097	-0.329
TCRBV14_9	-0.249	-0.832	-0.034
TCRBV14_10	-0.260	-0.804	-0.177
TCRBV14_11	-0.012	-0.008	-0.148
TCRBV14_12	-0.017	-0.024	-0.209
TCRBV14_13	-0.005	-0.031	-0.027
TCRBV15_4	-0.028	-0.129	-0.355
TCRBV15_5	-0.215	-0.049	-0.161
TCRBV15_6	-0.117	-0.098	-0.479
TCRBV15_7	-0.173	-0.224	-0.370
TCRBV15_8	-0.674	-0.873	-0.358
TCRBV15_9	-0.943	-0.391	-0.454
TCRBV15_10	-0.243	-0.252	-0.874
TCRBV15_11	-0.204	-0.038	-0.347
TCRBV15_12	-0.019	-0.129	-0.019
TCRBV15_13	-0.018	-0.102	-0.061
TCRBV16_4	-0.413	-0.318	-0.850
TCRBV16_5	-0.632	-0.048	-0.880
TCRBV16_6	-0.911	-0.349	-0.885
TCRBV16_7	-0.510	-0.300	-0.991
TCRBV16_8	-0.062	-0.177	-0.147
TCRBV16_9	-0.213	-0.024	-0.740
TCRBV16_10	-0.177	-0.070	-0.478
TCRBV16_11	-0.124	-0.088	-0.013
TCRBV16_12	-0.019	-0.024	-0.038
TCRBV16_13	-0.016	-0.210	-0.155
TCRBV17_4	-0.019	-0.319	-0.155
TCRBV17_5	-0.666	-0.215	-0.424
TCRBV17_6	-0.820	-0.588	-0.247
TCRBV17_7	-0.018	-0.401	-0.714
TCRBV17_8	-0.311	-0.330	-0.507
TCRBV17_9	-0.151	-0.406	-0.169
TCRBV17_10	-0.214	-0.195	-0.400
TCRBV17_11	-0.002	-0.025	-0.043
TCRBV17_12	-0.097	-0.101	-0.013
TCRBV17_13	-0.111	-0.110	-0.019
TCRBV18_4	-0.637	-0.239	-0.137
TCRBV18_5	-0.019	-0.024	-0.038
TCRBV18_6	-0.211	-0.227	-0.198
TCRBV18_7	-0.155	-0.173	-0.877
TCRBV18_8	-0.412	-0.513	-0.084
TCRBV18_9	-0.187	-0.192	-0.178
TCRBV18_10	-0.817	-0.133	-0.160
TCRBV18_11	-0.384	-0.047	-0.025
TCRBV18_12	-0.013	-0.104	-0.287
TCRBV18_13	-0.013	-0.104	-0.287
TCRBV19_4	-0.011	-0.003	-0.041
TCRBV19_5	-0.012	-0.180	-0.064
TCRBV19_6	-0.176	-0.114	-0.201
TCRBV19_7	-0.027	-0.258	-0.088
TCRBV19_8	-0.102	-0.313	-0.348
TCRBV19_9	-0.042	-0.414	-0.212
TCRBV19_10	-0.612	-0.048	-0.305
TCRBV19_11	-0.125	-0.109	-0.084
TCRBV19_12	-0.012	-0.017	-0.003
TCRBV19_13	-0.017	-0.031	-0.097
TCRBV20_4	-0.190	-0.274	-0.151
TCRBV20_5	-0.071	-0.413	-0.051
TCRBV20_6	-0.014	-0.038	-0.014
TCRBV20_7	-0.013	-0.372	-0.170
TCRBV20_8	-0.173	-0.426	-0.531

Page 42200001 of 42200001

Pct: 42200001			
TCRBV20_9	-0.133	-0.175	-0.088
TCRBV20_10	-0.122	-0.049	-0.140
TCRBV20_11	-0.004	-0.004	-0.004
TCRBV20_12	-0.040	-0.017	-0.024
TCRBV20_13	-0.256	-0.443	-0.027
TCRBV21_4	-0.174	-0.134	-0.040
TCRBV21_5	-0.043	-0.030	-0.375
TCRBV21_6	-0.221	-0.084	-0.186
TCRBV21_7	-0.320	-0.304	-0.332
TCRBV21_8	-0.485	-0.367	-0.306
TCRBV21_9	-0.322	-0.395	-0.179
TCRBV21_10	-0.428	-0.000	-0.156
TCRBV21_11	-0.010	-0.023	-0.009
TCRBV21_12	-0.164	-0.143	-0.275
TCRBV21_13	-0.405	-0.386	-0.099
TCRBV22_4	-0.894	-0.005	-0.228
TCRBV22_5	-0.472	-0.414	-0.186
TCRBV22_6	-0.246	-0.584	-0.159
TCRBV22_7	-0.614	-0.365	-0.696
TCRBV22_8	-0.119	-0.093	-0.113
TCRBV22_9	-0.190	-0.310	-0.500
TCRBV22_10	-0.062	-0.019	-0.152
TCRBV22_11	-0.099	-0.220	-0.103
TCRBV22_12	-0.217	-0.347	-0.239
TCRBV22_13	-0.190	-0.310	-0.500
TCRBV23_4	-0.257	-0.044	-0.223
TCRBV23_5	-0.478	-0.293	-0.711
TCRBV23_6	-0.139	-0.439	-0.757
TCRBV23_7	-0.653	-0.542	-0.310
TCRBV23_8	-0.325	-0.306	-0.484
TCRBV23_9	-0.090	-0.024	-0.345
TCRBV23_10	-0.345	-0.346	-0.330
TCRBV23_11	-0.030	-0.171	-0.711
TCRBV23_12	-0.021	-0.075	-0.017
TCRBV23_13	-0.194	-0.602	-0.371
TCRBV24_4	-0.130	-0.388	-0.273
TCRBV24_5	-0.137	-0.024	-0.180
TCRBV24_6	-0.082	-0.200	-0.121
TCRBV24_7	-0.089	-0.009	-0.040
TCRBV24_8	-0.079	-0.029	-0.024
TCRBV24_9	-0.274	-0.284	-0.049
TCRBV24_10	-0.310	-0.297	-0.242
TCRBV24_11	-0.481	-0.370	-0.247
TCRBV24_12	-0.449	-0.293	-0.106
TCRBV24_13	-0.153	-0.035	-0.528
TCRBV25_4	-0.281	-0.067	-0.067
TCRBV25_5	-0.389	-0.028	-0.215
TCRBV25_6	-0.031	-0.026	-0.296
TCRBV25_7	-0.614	-0.047	-0.038
TCRBV25_8	-0.227	-0.192	-0.003
TCRBV25_9	-0.263	-0.341	-0.112
TCRBV25_10	-0.382	-0.747	-0.105
TCRBV25_11	-0.529	-0.183	-0.128
TCRBV25_12	-0.391	-0.408	-0.027
TCRBV25_13	-0.131	-0.303	-0.002
TCRBV26_4	-0.434	-0.221	-0.291
TCRBV26_5	-0.611	-0.130	-0.041
TCRBV26_6	-0.086	-0.032	-0.036
TCRBV26_7	-0.193	-0.203	-0.136
TCRBV26_8	-0.085	-0.271	-0.059
TCRBV26_9	-0.267	-0.008	-0.222
TCRBV26_10	-0.407	-0.000	-0.423
TCRBV26_11	-0.765	-0.326	-0.617
TCRBV26_12	-0.063	-0.307	-0.349

Page 42200001 of 42200001

Pct: 42200001			
TCRBV27_4	-0.096	-0.194	-0.337
TCRBV27_5	-0.112	-0.014	-0.244
TCRBV27_6	-0.010	-0.246	-0.247
TCRBV27_7	-0.416	-0.275	-0.064
TCRBV27_8	-0.017	-0.434	-0.131
TCRBV27_9	-0.019	-0.874	-0.209
TCRBV27_10	-0.152	-0.156	-0.246
TCRBV27_11	-0.216	-0.006	-0.223
TCRBV27_12	-0.091	-0.053	-0.027
TCRBV27_13	-0.012	-0.002	-0.010
TCRBV28_4	-0.420	-0.225	-0.027
TCRBV28_5	-0.083	-0.300	-0.001
TCRBV28_6	-0.160	-0.325	-0.376
TCRBV28_7	-0.316	-0.022	-0.080
TCRBV28_8	-0.177	-0.614	-0.001
TCRBV28_9	-0.047	-0.207	-0.094
TCRBV28_10	-0.393	-0.181	-0.021
TCRBV28_11	-0.119	-0.106	-0.130
TCRBV28_12	-0.021	-0.015	-0.130
TCRBV28_13	-0.188	-0.005	-0.215
TCRBV29_4	-0.242	-0.198	-0.189
TCRBV29_5	-0.012	-0.027	-0.487
TCRBV29_6	-0.013	-0.639	-0.475
TCRBV29_7	-1.034	-0.658	-0.866
TCRBV29_8	-0.516	-0.151	-0.151
TCRBV29_9	-0.018	-0.148	-0.451
TCRBV29_10	-0.131	-0.042	-0.213
TCRBV29_11	-0.012	-0.079	-0.183
TCRBV29_12	-0.051	-0.098	-0.021
TCRBV29_13	-0.319	-0.016	-0.235
TCRBV30_4	-0.337	-0.295	-0.192
TCRBV30_5	-0.096	-0.255	-0.170
TCRBV30_6	-0.230	-0.348	-0.434
TCRBV30_7	-0.188	-0.152	-0.131
TCRBV30_8	-0.012	-0.084	-0.251
TCRBV30_9	-0.077	-0.374	-0.169
TCRBV30_10	-0.000	-0.013	-0.002
TCRBV30_11	-0.197	-0.043	-0.044
TCRBV30_12	-0.329	-0.004	-0.107
TCRBV30_13	-0.439	-0.370	-0.303
TCRBV31_4	-0.645	-0.675	-0.244
TCRBV31_5	-0.243	-0.253	-0.114
TCRBV31_6	-0.016	-0.394	-0.363
TCRBV31_7	-0.256	-0.096	-0.118
TCRBV31_8	-0.342	-0.435	-0.614
TCRBV31_9	-0.318	-0.040	-0.033
TCRBV31_10	-0.000	-0.066	-0.009
TCRBV31_11	-0.090	-0.024	-0.002
TCRBV31_12	-0.133	-0.037	-0.089
TCRBV31_13	-0.017	-0.193	-0.115
TCRBV32_4	-0.078	-0.151	-0.344
TCRBV32_5	-0.119	-0.439	-0.252
TCRBV32_6	-0.405	-0.415	-0.094
TCRBV32_7	-0.107	-0.419	-0.102
TCRBV32_8	-0.187	-0.416	-0.402
TCRBV32_9	-0.239	-0.313	-0.603
TCRBV32_10	-0.057	-0.048	-0.331
TCRBV32_11	-0.125	-0.094	-0.021
TCRBV32_12	-0.317	-0.242	-0.207
TCRBV32_13	-0.933	-0.100	-0.126
TCRBV33_4	-0.897	-0.410	-0.189
TCRBV33_5	-0.423	-0.318	-0.068
TCRBV33_6	-0.004	-0.066	-0.094
TCRBV33_7	-0.017	-0.156	-0.353

Page 42200001 of 42200001

Pct: 42200001			
TCRBV33_8	-0.139	-0.129	-0.114
TCRBV33_9	-0.142	-0.038	-0.212
TCRBV33_10	-0.009	-0.013	-0.031
TCRBV33_11	-0.190	-0.084	-0.049
TCRBV33_12	-0.074	-0.023	-0.018
TCRBV33_13	-0.225	-0.003	-0.047
TCRBV34_4	-0.079	-0.382	-0.203
TCRBV34_5	-0.102	-0.655	-0.342
TCRBV34_6	-0.640	-0.316	-0.304
TCRBV34_7	-0.091	-0.021	-0.007
TCRBV34_8	-0.001	-0.016	-0.014
TCRBV34_9	-0.212	-0.004	-0.003
TCRBV34_10	-0.136	-0.135	-0.161
TCRBV34_11	-0.341	-0.191	-0.169
TCRBV34_12	-0.265	-0.686	-0.099
TCRBV34_13	-0.413	-0.863	-0.073
TCRBV35_4	-0.033	-0.463	-0.047
TCRBV35_5	-0.175	-0.193	-0.312
TCRBV35_6	-0.675	-0.120	-0.024
TCRBV35_7	-0.034	-0.118	-0.001
TCRBV35_8	-0.019	-0.096	-0.047
TCRBV35_9	-0.279	-0.137	-0.370
TCRBV35_10	-0.533	-0.447	-0.619
TCRBV35_11	-0.124	-0.748	-0.512
TCRBV35_12	-0.019	-0.096	-0.217
TCRBV35_13	-0.320	-0.804	-0.104
TCRBV36_4	-0.206	-0.377	-0.578
TCRBV36_5	-0.282	-0.339	-0.203
TCRBV36_6	-0.032	-0.023	-0.023
TCRBV36_7	-0.016	-0.019	-0.005
TCRBV36_8	-0.166	-0.041	-0.161
TCRBV36_9	-0.042	-0.049	-0.283
TCRBV36_10	-0.342	-0.124	-0.214
TCRBV36_11	-0.363	-0.560	-0.485
TCRBV36_12	-0.556	-0.420	-0.280
TCRBV36_13	-0.074	-0.323	-0.210
TCRBV37_4	-0.067	-0.190	-0.193
TCRBV37_5	-0.203	-0.028	-0.194
TCRBV37_6	-0.044	-0.012	-0.018
TCRBV37_7	-0.050	-0.019	-0.020
TCRBV37_8	-0.033	-0.102	-0.027
TCRBV37_9	-0.225	-0.285	-0.059
TCRBV37_10	-0.344	-0.159	-0.436
TCRBV37_11	-0.149	-0.122	-0.067
TCRBV37_12	-0.024	-0.024	-0.036
TCRBV37_13	-0.279	-0.385	-0.293
TCRBV38_4	-0.235	-0.298	-0.618
TCRBV38_5	-0.142	-0.008	-0.462
TCRBV38_6	-0.380	-0.000	-0.222
TCRBV38_7	-0.172	-0.004	-0.002
TCRBV39_4	-0.000	-0.039	-0.042
TCRBV39_5	-0.197	-0.173	-0.286
TCRBV39_6	-0.123	-0.454	-0.

Pct: 6(2)(a)(vii)				
TCRBV02_9	0.038	0.433	-0.381	-0.098
TCRBV02_9	0.011	-0.018	-0.018	-0.098
TCRBV02_10	-0.038	-0.227	-0.027	-0.031
TCRBV02_11	-0.031	-0.113	-0.118	-0.331
TCRBV02_12	0.173	0.095	-0.413	-0.013
TCRBV02_13	0.009	-0.116	-0.020	0.002
TCRBV03_4	-0.013	0.010	0.007	0.007
TCRBV03_5	0.021	0.015	0.007	-0.000
TCRBV03_6	0.163	-0.116	0.344	0.213
TCRBV03_7	0.277	-0.285	0.433	-0.356
TCRBV03_8	0.020	0.170	0.134	0.058
TCRBV03_9	-0.284	-0.207	-0.179	-0.044
TCRBV03_10	0.231	0.089	-0.083	-0.048
TCRBV03_11	-0.214	0.379	-0.361	0.063
TCRBV03_12	-0.092	0.244	-0.160	-0.006
TCRBV03_13	0.298	-0.349	-0.160	-0.217
TCRBV04_4	0.038	0.039	0.030	0.011
TCRBV04_7	0.113	0.048	0.327	0.131
TCRBV04_8	-0.029	0.128	-0.139	-0.024
TCRBV04_9	-0.006	0.149	0.011	0.100
TCRBV04_10	-0.236	-0.019	-0.190	-0.179
TCRBV04_11	0.034	-0.157	0.245	-0.214
TCRBV04_12	-0.063	-0.095	-0.044	-0.242
TCRBV04_13	0.168	-0.090	-0.476	-0.188
TCRBV04_14	0.051	-0.057	0.243	0.237
TCRBV04_15	-0.051	0.058	0.006	-0.237
TCRBV05_5	-0.202	0.112	0.218	-0.140
TCRBV05_6	-0.272	0.191	0.410	0.223
TCRBV05_7	-0.589	0.082	-0.116	-0.233
TCRBV05_8	-0.324	-0.703	0.019	-0.035
TCRBV05_9	0.068	-0.344	-0.315	-0.026
TCRBV05_10	0.389	0.086	0.017	-0.052
TCRBV05_11	0.718	-0.212	0.094	-0.065
TCRBV05_12	-0.400	0.238	-0.435	-0.468
TCRBV05_13	-0.123	0.131	0.419	-0.291
TCRBV05_14	-0.063	-0.250	0.178	-0.189
TCRBV05_15	-0.211	-0.075	-0.016	-0.265
TCRBV06_8	0.031	-0.282	0.204	0.138
TCRBV06_9	0.171	0.374	0.210	-0.103
TCRBV06_10	-0.583	-0.022	-0.122	-0.219
TCRBV06_11	-0.178	0.078	-0.119	-0.164
TCRBV06_12	-0.180	0.132	0.070	-0.126
TCRBV06_13	0.016	0.109	0.076	-0.011
TCRBV06_14	0.174	-0.153	-0.013	-0.025
TCRBV06_15	0.094	-0.099	-0.076	0.013
TCRBV06_16	0.191	0.040	-0.085	-0.116
TCRBV06_17	0.038	0.123	-0.408	0.239
TCRBV06_18	-0.187	-0.405	-0.408	-0.120
TCRBV06_19	-0.109	-0.138	0.658	-0.182
TCRBV06_20	-0.117	0.389	0.348	-0.316
TCRBV06_21	0.089	0.446	-0.287	0.171
TCRBV06_22	0.917	0.053	0.048	-0.068
TCRBV07_5	-0.058	-0.053	0.020	0.082
TCRBV07_6	0.427	-0.064	-0.079	0.095
TCRBV07_7	0.106	-0.006	-0.073	0.320
TCRBV07_8	-0.111	-0.269	0.015	0.231
TCRBV07_9	-0.442	-0.048	-0.034	0.044
TCRBV07_10	0.993	0.084	0.100	-0.257
TCRBV07_11	0.905	0.261	0.149	-0.273
TCRBV07_12	-0.944	0.016	-0.042	0.104
TCRBV07_13	0.900	0.000	-0.022	-0.016
TCRBV08_5	-0.100	0.034	0.021	0.059
TCRBV08_6	-0.102	0.097	0.210	0.221

Page 6(2)(a)(vii) of 6(2)(a)(vii)

Pct: 6(2)(a)(vii)				
TCRBV08_7	0.143	0.235	-0.154	-0.217
TCRBV08_8	0.143	0.235	-0.154	-0.217
TCRBV08_9	0.143	0.235	-0.154	-0.217
TCRBV08_10	0.143	0.235	-0.154	-0.217
TCRBV08_11	0.143	0.235	-0.154	-0.217
TCRBV08_12	0.143	0.235	-0.154	-0.217
TCRBV08_13	0.143	0.235	-0.154	-0.217
TCRBV08_14	0.143	0.235	-0.154	-0.217
TCRBV08_15	0.143	0.235	-0.154	-0.217
TCRBV08_16	0.143	0.235	-0.154	-0.217
TCRBV08_17	0.143	0.235	-0.154	-0.217
TCRBV08_18	0.143	0.235	-0.154	-0.217
TCRBV08_19	0.143	0.235	-0.154	-0.217
TCRBV08_20	0.143	0.235	-0.154	-0.217
TCRBV08_21	0.143	0.235	-0.154	-0.217
TCRBV08_22	0.143	0.235	-0.154	-0.217
TCRBV08_23	0.143	0.235	-0.154	-0.217
TCRBV08_24	0.143	0.235	-0.154	-0.217
TCRBV08_25	0.143	0.235	-0.154	-0.217
TCRBV08_26	0.143	0.235	-0.154	-0.217
TCRBV08_27	0.143	0.235	-0.154	-0.217
TCRBV08_28	0.143	0.235	-0.154	-0.217
TCRBV08_29	0.143	0.235	-0.154	-0.217
TCRBV08_30	0.143	0.235	-0.154	-0.217
TCRBV08_31	0.143	0.235	-0.154	-0.217
TCRBV08_32	0.143	0.235	-0.154	-0.217
TCRBV08_33	0.143	0.235	-0.154	-0.217
TCRBV08_34	0.143	0.235	-0.154	-0.217
TCRBV08_35	0.143	0.235	-0.154	-0.217
TCRBV08_36	0.143	0.235	-0.154	-0.217
TCRBV08_37	0.143	0.235	-0.154	-0.217
TCRBV08_38	0.143	0.235	-0.154	-0.217
TCRBV08_39	0.143	0.235	-0.154	-0.217
TCRBV08_40	0.143	0.235	-0.154	-0.217
TCRBV08_41	0.143	0.235	-0.154	-0.217
TCRBV08_42	0.143	0.235	-0.154	-0.217
TCRBV08_43	0.143	0.235	-0.154	-0.217
TCRBV08_44	0.143	0.235	-0.154	-0.217
TCRBV08_45	0.143	0.235	-0.154	-0.217
TCRBV08_46	0.143	0.235	-0.154	-0.217
TCRBV08_47	0.143	0.235	-0.154	-0.217
TCRBV08_48	0.143	0.235	-0.154	-0.217
TCRBV08_49	0.143	0.235	-0.154	-0.217
TCRBV08_50	0.143	0.235	-0.154	-0.217
TCRBV08_51	0.143	0.235	-0.154	-0.217
TCRBV08_52	0.143	0.235	-0.154	-0.217
TCRBV08_53	0.143	0.235	-0.154	-0.217
TCRBV08_54	0.143	0.235	-0.154	-0.217
TCRBV08_55	0.143	0.235	-0.154	-0.217
TCRBV08_56	0.143	0.235	-0.154	-0.217
TCRBV08_57	0.143	0.235	-0.154	-0.217
TCRBV08_58	0.143	0.235	-0.154	-0.217
TCRBV08_59	0.143	0.235	-0.154	-0.217
TCRBV08_60	0.143	0.235	-0.154	-0.217
TCRBV08_61	0.143	0.235	-0.154	-0.217
TCRBV08_62	0.143	0.235	-0.154	-0.217
TCRBV08_63	0.143	0.235	-0.154	-0.217
TCRBV08_64	0.143	0.235	-0.154	-0.217
TCRBV08_65	0.143	0.235	-0.154	-0.217
TCRBV08_66	0.143	0.235	-0.154	-0.217
TCRBV08_67	0.143	0.235	-0.154	-0.217
TCRBV08_68	0.143	0.235	-0.154	-0.217
TCRBV08_69	0.143	0.235	-0.154	-0.217
TCRBV08_70	0.143	0.235	-0.154	-0.217
TCRBV08_71	0.143	0.235	-0.154	-0.217
TCRBV08_72	0.143	0.235	-0.154	-0.217
TCRBV08_73	0.143	0.235	-0.154	-0.217
TCRBV08_74	0.143	0.235	-0.154	-0.217
TCRBV08_75	0.143	0.235	-0.154	-0.217
TCRBV08_76	0.143	0.235	-0.154	-0.217
TCRBV08_77	0.143	0.235	-0.154	-0.217
TCRBV08_78	0.143	0.235	-0.154	-0.217
TCRBV08_79	0.143	0.235	-0.154	-0.217
TCRBV08_80	0.143	0.235	-0.154	-0.217
TCRBV08_81	0.143	0.235	-0.154	-0.217
TCRBV08_82	0.143	0.235	-0.154	-0.217
TCRBV08_83	0.143	0.235	-0.154	-0.217
TCRBV08_84	0.143	0.235	-0.154	-0.217
TCRBV08_85	0.143	0.235	-0.154	-0.217
TCRBV08_86	0.143	0.235	-0.154	-0.217
TCRBV08_87	0.143	0.235	-0.154	-0.217
TCRBV08_88	0.143	0.235	-0.154	-0.217
TCRBV08_89	0.143	0.235	-0.154	-0.217
TCRBV08_90	0.143	0.235	-0.154	-0.217
TCRBV08_91	0.143	0.235	-0.154	-0.217
TCRBV08_92	0.143	0.235	-0.154	-0.217
TCRBV08_93	0.143	0.235	-0.154	-0.217
TCRBV08_94	0.143	0.235	-0.154	-0.217
TCRBV08_95	0.143	0.235	-0.154	-0.217
TCRBV08_96	0.143	0.235	-0.154	-0.217
TCRBV08_97	0.143	0.235	-0.154	-0.217
TCRBV08_98	0.143	0.235	-0.154	-0.217
TCRBV08_99	0.143	0.235	-0.154	-0.217
TCRBV08_100	0.143	0.235	-0.154	-0.217

Page 6(2)(a)(vii) of 6(2)(a)(vii)

Pct: 6(2)(a)(vii)				
TCRBV13_7	0.322	-0.328	-0.348	0.284
TCRBV13_8	-0.140	0.461	-0.080	-0.091
TCRBV13_9	0.375	0.131	-0.278	0.201
TCRBV13_10	0.529	0.005	0.015	-0.308
TCRBV13_11	-0.326	0.032	0.076	-0.063
TCRBV13_12	-0.328	-0.089	0.102	-0.062
TCRBV13_13	-0.189	0.042	0.135	-0.080
TCRBV13_14	-0.063	0.052	-0.071	0.031
TCRBV13_15	0.148	-0.051	0.118	-0.207
TCRBV13_16	0.080	-0.167	-0.358	0.251
TCRBV13_17	0.176	0.100	0.338	0.018
TCRBV13_18	-0.044	-0.026	0.142	-0.020
TCRBV13_19	-0.131	0.092	0.122	0.030
TCRBV13_20	-0.148	0.128	0.006	0.205
TCRBV13_21	-0.145	-0.134	-0.214	-0.037
TCRBV13_22	0.004	0.005	0.000	0.002
TCRBV13_23	0.023	-0.124	-0.041	-0.104
TCRBV13_24	0.033	0.060	0.101	0.027
TCRBV13_25	-0.072	-0.117	0.075	-0.346
TCRBV13_26	-0.234	-0.026	-0.080	-0.036
TCRBV13_27	0.241	0.311	-0.023	0.026
TCRBV13_28	-0.325	-0.005	0.067	-0.097
TCRBV13_29	-0.114	-0.104	0.116	0.454
TCRBV13_30	0.514	0.032	-0.184	-0.179
TCRBV13_31	-0.037	0.024	-0.082	0.029
TCRBV13_32	0.044	0.060	0.099	0.336
TCRBV13_33	0.163	0.342	0.304	0.209
TCRBV13_34	0.006	0.583	0.143	-0.294
TCRBV13_35	0.301	-0.713	-0.273	0.171
TCRBV13_36	0.254	0.293	0.173	-0.117
TCRBV13_37	-0.748	-0.458	-0.242	-0.033
TCRBV13_38	-0.119	-0.411	0.120	0.305
TCRBV13_39	-0.119	0.380	0.015	-0.471
TCRBV13_40	-0.016	0.037	0.006	-0.004
TCRBV13_41	0.023	-0.020	-0.044	-0.003
TCRBV13_42	0.163	0.191	-0.079	0.092
TCRBV13_43	0.169	0.430	0.267	0.219
TCRBV13_44	0.197	0.463	0.390	0.129
TCRBV13_45	0.015	-0.252	0.085	-0.360
TCRBV13_46	-0.609	-0.182	-0.038	0.136
TCRBV13_47	0.286	-0.175	0.130	0.179
TCRBV13_48	0.634	0.382	-0.189	-0.065
TCRBV13_49	-0.021	0.333	-0.248	-0.181
TCRBV13_50	0.029	0.003	-0.028	-0.00

Pb: Al(Deuterium)					Pb: Al(Deuterium)				
TCSR07_11	-0.100	0.010	0.005	0.117	0.116	-0.014	0.237	-0.142	0.207
TCSR07_12	-0.004	0.032	0.085	-0.055	-0.169	-0.090	-0.388	-0.127	0.108
TCSR07_13	-0.104	0.012	-0.007	-0.020	-0.017	-0.077	-0.127	-0.181	0.142
TCSR08_1	-0.041	0.089	-0.043	-0.025	0.020	-0.039	-0.039	-0.039	-0.039
TCSR08_2	-0.119	-0.006	0.061	-0.235	-0.281	-0.271	-0.039	-0.039	-0.039
TCSR08_3	-0.140	-0.000	-0.004	0.018	0.024	-0.030	0.250	0.077	-0.196
TCSR08_4	0.133	-0.219	-0.120	-0.007	0.048	-0.160	0.154	0.398	0.084
TCSR08_5	0.093	0.209	-0.247	0.104	0.147	0.117	0.118	0.073	0.158
TCSR08_6	-0.134	-0.137	-0.111	0.069	0.097	0.184	-0.032	-0.287	-0.152
TCSR08_7	0.025	0.236	0.104	0.039	0.072	0.127	-0.228	-0.211	0.086
TCSR08_8	0.138	0.036	0.350	-0.025	-0.127	0.009	-0.035	-0.034	0.008
TCSR08_9	-0.060	-0.361	0.141	0.085	-0.006	-0.020	-0.251	-0.042	-0.078
TCSR08_10	-0.219	0.128	0.042	-0.060	0.123	0.004	-0.033	-0.009	0.036
TCSR08_11	-0.085	-0.150	0.327	0.075	0.364	0.185	-0.045	0.216	-0.166
TCSR08_12	-0.219	0.150	-0.305	-0.219	-0.305	-0.272	0.160	-0.124	0.053
TCSR08_13	-0.195	-0.195	-0.194	0.123	-0.147	-0.036	0.053	0.100	-0.057
TCSR08_14	0.371	0.014	-0.077	-0.062	-0.018	0.054	-0.633	-0.201	0.040
TCSR08_15	0.190	0.173	-0.157	-0.134	-0.050	-0.316	0.026	-0.029	0.343
TCSR08_16	0.217	0.042	0.072	0.112	0.037	0.564	0.262	0.078	0.108
TCSR08_17	-0.195	-0.009	-0.010	-0.024	-0.016	0.084	0.183	-0.028	0.024
TCSR08_18	0.045	0.073	0.324	0.304	0.112	-0.064	0.012	0.006	0.003
TCSR08_19	-0.194	-0.021	0.041	0.021	0.274	0.018	0.088	-0.031	0.024
TCSR08_20	-0.063	-0.134	-0.219	-0.027	-0.125	-0.042	-0.187	-0.185	-0.102
TCSR08_21	-0.071	0.033	0.169	-0.171	0.023	-0.039	0.224	-0.017	0.098
TCSR08_22	-0.101	0.017	-0.096	0.060	-0.201	0.034	0.245	-0.239	-0.083
TCSR08_23	0.231	-0.167	0.210	-0.153	-0.144	-0.097	0.013	0.078	0.146
TCSR08_24	0.082	-0.156	-0.167	-0.175	0.187	-0.133	-0.227	0.184	0.033
TCSR08_25	0.045	0.364	-0.272	0.265	-0.109	0.048	-0.079	0.066	0.147
TCSR08_26	0.064	0.021	-0.028	0.002	-0.018	0.274	0.096	-0.031	-0.191
TCSR08_27	0.294	-0.010	-0.069	-0.224	0.112	-0.155	0.018	0.021	-0.020
TCSR08_28	0.362	0.293	-0.238	-0.103	-0.191	0.038	0.104	0.024	-0.223
TCSR08_29	-0.228	0.185	-0.183	0.216	0.030	0.142	-0.036	0.005	0.102
TCSR08_30	-0.213	-0.273	-0.309	0.218	0.127	-0.134	-0.385	-0.273	0.005
TCSR08_31	0.032	-0.334	0.222	-0.147	0.034	-0.189	0.060	0.007	0.023
TCSR08_32	0.127	-0.169	0.179	-0.043	-0.165	-0.031	0.020	0.006	0.007
TCSR08_33	0.027	-0.704	0.063	-0.020	-0.254	-0.131	0.268	-0.026	0.047
TCSR08_34	-0.170	-0.004	-0.032	0.089	-0.018	0.037	-0.280	-0.180	0.103
TCSR08_35	0.119	0.063	-0.214	0.082	0.110	0.044	-0.043	0.005	0.023
TCSR08_36	0.022	0.182	-0.209	0.092	0.044	0.029	-0.062	0.002	-0.023
TCSR08_37	-0.024	-0.097	0.226	-0.136	-0.050	-0.018	-0.138	0.008	-0.016
TCSR08_38	0.014	0.023	-0.184	-0.020	-0.110	0.038	0.018	0.008	0.008
TCSR08_39	0.161	0.252	0.308	0.122	-0.032	0.329	-0.013	-0.063	0.201
TCSR08_40	-0.443	0.090	-0.022	0.150	0.356	0.299	0.392	0.038	-0.194
TCSR08_41	0.020	-0.452	0.064	-0.243	0.097	-0.813	-0.105	0.141	0.023
TCSR08_42	-0.020	-0.083	-0.245	0.121	-0.049	-0.271	0.305	0.063	-0.013
TCSR08_43	0.114	0.095	-0.150	0.103	0.042	-0.228	-0.293	0.005	0.047
TCSR08_44	0.000	0.003	0.004	0.003	0.001	-0.205	-0.139	0.318	0.048
TCSR08_45	-0.032	0.031	0.073	-0.073	-0.189	-0.155	-0.036	0.130	0.090
TCSR08_46	0.014	-0.101	-0.013	-0.140	-0.153	0.008	-0.008	-0.008	0.035
TCSR08_47	0.024	-0.085	0.063	0.013	-0.193	-0.057	-0.076	-0.031	-0.031
TCSR08_48	0.154	-0.046	0.049	0.026	0.107	0.001	0.172	0.110	-0.027
TCSR08_49	0.174	0.042	-0.284	0.256	-0.042	-0.161	0.200	0.001	0.219
TCSR08_50	-0.013	0.029	-0.191	-0.155	0.118	0.053	0.015	-0.109	0.113
TCSR08_51	-0.248	0.330	0.097	0.155	0.187	-0.077	0.280	-0.130	-0.204
TCSR08_52	0.160	-0.124	-0.002	-0.078	-0.102	0.312	-0.332	0.038	0.436
TCSR08_53	0.004	0.123	-0.006	0.007	0.009	-0.214	-0.182	-0.039	-0.161
TCSR08_54	0.001	0.001	0.001	0.001	0.001	0.001	0.001	0.001	0.001
TCSR08_55	0.001	0.003	0.007	0.005	0.001	0.182	0.286	-0.058	-0.109
TCSR08_56	-0.073	0.100	0.066	0.008	0.094	0.027	-0.203	-0.184	0.039
TCSR08_57	0.233	0.034	0.101	0.032	0.035	0.015	-0.049	-0.041	-0.020
TCSR08_58	0.107	0.038	0.119	0.191	-0.084				
TCSR08_59	-0.003	0.093	0.250	0.278	0.005				
TCSR08_60	0.107	0.007	-0.488	0.051	-0.149				
Page 4 (End of Al(Deuterium))					Page 4 (End of Al(Deuterium))				

Pb: Al(Deuterium)					Pb: Al(Deuterium)				
TCSR07_1	-0.020	-0.075	0.005	0.117	0.116	-0.014	0.237	-0.142	0.207
TCSR07_2	-0.139	0.225	0.085	-0.055	-0.169	-0.090	-0.388	-0.127	0.108
TCSR07_3	-0.131	-0.177	-0.007	-0.020	-0.017	-0.077	-0.127	-0.181	0.142
TCSR07_4	0.077	0.009	-0.006	-0.025	0.020	-0.039	-0.039	-0.039	-0.039
TCSR07_5	-0.103	-0.006	0.061	-0.235	-0.281	-0.271	-0.039	-0.039	-0.039
TCSR07_6	0.104	-0.057	-0.004	0.018	0.024	-0.030	0.250	0.077	-0.196
TCSR07_7	0.045	0.035	-0.120	-0.007	0.048	-0.160	0.154	0.398	0.084
TCSR07_8	-0.004	-0.002	-0.247	0.104	0.147	0.117	0.118	0.073	0.158
TCSR07_9	-0.155	0.115	0.069	0.097	0.097	0.184	-0.032	-0.287	-0.152
TCSR07_10	-0.123	-0.062	0.104	0.039	0.072	0.127	-0.228	-0.211	0.086
TCSR07_11	-0.186	0.106	-0.025	-0.127	-0.127	0.009	-0.035	-0.034	0.008
TCSR07_12	0.044	0.010	-0.004	-0.060	0.123	0.004	-0.033	-0.009	0.036
TCSR07_13	0.044	0.010	-0.004	-0.060	0.123	0.004	-0.033	-0.009	0.036
TCSR07_14	-0.030	-0.039	0.327	0.075	0.364	0.185	-0.045	0.216	-0.166
TCSR07_15	-0.053	-0.122	-0.305	-0.219	-0.305	-0.272	0.160	-0.124	0.053
TCSR07_16	0.004	-0.038	-0.194	0.123	-0.147	-0.036	0.053	0.100	-0.057
TCSR07_17	0.013	0.009	0.017	0.002	0.274	0.018	0.088	-0.031	0.024
TCSR07_18	-0.052	-0.094	-0.219	-0.027	-0.125	-0.042	-0.187	-0.185	-0.102
TCSR07_19	0.096	-0.154	-0.167	-0.175	0.187	-0.133	-0.227	0.184	0.033
TCSR07_20	0.103	0.047	-0.272	0.265	-0.109	0.048	-0.079	0.066	0.147
TCSR07_21	0.047	0.087	-0.028	0.002	-0.018	0.274	0.096	-0.031	-0.191
TCSR07_22	-0.035	-0.112	-0.002	-0.078	-0.102	0.312	-0.332	0.038	0.436
TCSR07_23	-0.110	0.052	0.007	0.009	0.009	-0.214	-0.182	-0.039	-0.161
TCSR07_24	-0.035	-0.024	0.001	0.001	0.001	0.001	0.001	0.001	0.001
TCSR07_25	-0.046	0.128	0.001	0.001	0.001	0.182	0.286	-0.058	-0.109
TCSR07_26	-0.036	0.015	0.001	0.001	0.001	0.027	-0.203	-0.184	0.039
TCSR07_27	-0.041	-0.174	0.101	0.032	0.035	0.015	-0.049	-0.041	-0.020
TCSR07_28	0.157	0.066	0.119	0.191	-0.084				
TCSR07_29	-0.013	-0.301	0.250	0.278	0.005				
TCSR07_30	-0.157	0.379	-0.488	0.051	-0.149				
TCSR07_31	0.170	0.114							
TCSR07_32	0.081	0.102							
TCSR07_33	-0.178	0.051							
TCSR07_34	0.121	0.006							
TCSR07_35	-0.022	0.093							
TCSR07_36	-0.118	-0.117							
TCSR07_37	-0.190	-0.082							
TCSR07_38	-0.192	-0.197							
TCSR07_39	-0.016	0.098							
TCSR07_40	0.115	0.071							
TCSR07_41	-0.183	0.118							
TCSR07_42	0.184	0.174							
TCSR07_43	0.140	-0.014							
TCSR07_44	0.193	0.064							
TCSR07_45	-0.046	-0.243							
TCSR07_46	0.062	0.085							
TCSR07_47	0.001	0.106							
TCSR07_48	0.180	0.107							
TCSR07_49	0.367	0.130							
TCSR07_50	-0.041	-0.072							
TCSR07_51	-0.120	-0.036							
TCSR07_52	-0.079	0.038							
TCSR07_53	-0.084	0.030							
TCSR07_54	-0.046	-0.081							
TCSR07_55	-0.200	-0.093							
TCSR07_56	0.181	0.003							
TCSR07_57	-0.162	-0.114							
TCSR07_58	0.037	0.149							
TCSR07_59	0.050	-0.020							
TCSR07_60	-0.010	0.049							
TCSR07_61	0.121	0.093							
TCSR07_62	0.004	-0.075							
TCSR07_63	0.025	-0.110							
Page 4 (End of Al(Deuterium))					Page 4 (End of Al(Deuterium))				

Figure 108

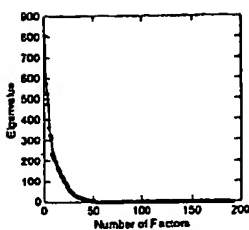
FAC (All Factors)		TCASV20_14		0.013		-0.042	
		Variance Explained by Component		1		2	
TCASV12_5	0.077	0.128					
TCASV12_6	-0.112	-0.017					
TCASV12_7	-0.022	0.280					
TCASV12_8	0.151	0.020					
TCASV12_9	0.132	-0.241					
TCASV12_10	0.001	-0.051					
TCASV12_11	-0.136	-0.088					
TCASV12_12	0.049	0.049					
TCASV13_3	0.074	-0.037					
TCASV13_6	-0.107	-0.049					
TCASV13_7	0.006	-0.060					
TCASV13_8	-0.001	0.140					
TCASV13_9	-0.081	-0.077					
TCASV13_10	0.179	-0.011					
TCASV13_11	0.064	0.225					
TCASV13_12	0.014	0.036					
TCASV13_13	-0.165	-0.147					
TCASV14_5	-0.002	0.019					
TCASV14_6	-0.189	-0.018					
TCASV14_7	0.083	-0.062					
TCASV14_8	0.103	-0.023					
TCASV14_9	0.028	0.026					
TCASV14_10	0.029	-0.052					
TCASV14_11	-0.239	0.129					
TCASV14_12	0.148	-0.026					
TCASV14_13	0.008	0.003					
TCASV15_4	0.029	-0.052					
TCASV15_5	-0.116	-0.158					
TCASV15_6	-0.006	-0.061					
TCASV15_7	0.240	0.066					
TCASV15_8	0.037	0.031					
TCASV15_9	0.076	0.013					
TCASV15_10	-0.033	0.189					
TCASV15_11	-0.164	-0.094					
TCASV15_12	-0.033	0.018					
TCASV16_5	0.164	0.038					
TCASV16_6	0.025	0.032					
TCASV16_7	-0.235	0.165					
TCASV16_8	-0.007	-0.071					
TCASV16_9	0.089	0.058					
TCASV16_10	-0.243	-0.097					
TCASV16_11	-0.035	0.108					
TCASV16_12	0.113	-0.166					
TCASV16_13	0.008	0.003					
TCASV18_3	0.010	0.022					
TCASV18_4	-0.061	0.036					
TCASV18_5	-0.064	0.023					
TCASV18_6	0.019	-0.063					
TCASV18_7	0.121	-0.109					
TCASV18_8	0.036	-0.001					
TCASV18_9	-0.230	-0.031					
TCASV18_10	-0.010	-0.033					
TCASV18_11	0.078	0.235					
TCASV18_12	0.007	0.001					
TCASV18_13	0.031	0.006					
TCASV20_5	0.042	0.080					
TCASV20_6	-0.210	0.024					
TCASV20_7	-0.208	-0.132					
TCASV20_8	0.019	0.200					
TCASV20_9	0.136	0.064					
TCASV20_10	-0.026	0.105					
TCASV20_11	-0.040	0.007					
TCASV20_12	0.170	-0.154					
TCASV20_13	-0.023	-0.197					

Page 6/2001 of 6/2001

Page 6/2001 of 6/2001

FAC (All Factors)		FAC (All Factors)		FAC (All Factors)	
2.054	2.027	1.906	1.720	1.549	
21	21	23	24	25	
1.431	1.231	1.211	0.967	0.935	
26	27	28	29	30	
0.795	0.769	0.621	0.586	0.511	
31	32	33	34	35	
0.460	0.413	0.380	0.340	0.317	
36	37	38	39	40	
0.292	0.282	0.237	0.220	0.204	
41	42	43	44	45	
0.179	0.150	0.139	0.129	0.121	
46	47	48	49	50	
0.105	0.090	0.074	0.065	0.057	
51	52				
0.053	0.037				

Scree Plot



Page 6/2001 of 6/2001

Page 6/2001 of 6/2001

Figure 109

	1	2	3	4	5
TCRBV01_6	-0.000	-0.000	-0.000	0.000	0.000
TCRBV01_7	0.001	0.001	-0.000	0.000	0.000
TCRBV01_8	-0.003	-0.002	0.000	-0.010	0.007
TCRBV01_9	0.001	0.004	0.003	0.000	0.006
TCRBV01_10	0.004	0.004	0.004	0.003	0.003
TCRBV01_11	0.000	0.001	-0.001	0.000	-0.002
TCRBV01_12	-0.000	0.002	-0.002	0.000	0.001
TCRBV01_13	-0.000	0.000	-0.001	0.000	-0.000
TCRBV01_14	-0.000	0.000	-0.000	0.000	-0.000
TCRBV02_6	0.001	-0.000	0.001	-0.000	-0.000
TCRBV02_7	0.001	0.001	0.002	-0.000	-0.000
TCRBV02_8	0.000	0.001	0.000	0.000	0.002
TCRBV02_9	0.001	0.000	0.000	0.000	-0.004
TCRBV02_10	-0.000	-0.000	0.001	-0.002	0.002
TCRBV02_11	-0.001	-0.000	0.003	-0.000	0.001
TCRBV02_12	-0.001	-0.000	0.003	-0.000	0.000
TCRBV02_13	-0.000	-0.000	0.000	-0.001	0.001
TCRBV03_6	-0.000	-0.000	-0.000	0.000	0.000
TCRBV03_7	-0.000	-0.000	-0.000	-0.000	0.000
TCRBV03_8	0.003	0.000	-0.001	-0.002	0.000
TCRBV03_9	0.003	0.003	-0.003	-0.002	0.002
TCRBV03_10	0.004	0.001	0.007	-0.002	0.014
TCRBV03_11	-0.005	0.002	0.003	0.004	0.002
TCRBV03_12	-0.001	0.000	0.003	0.002	-0.004
TCRBV03_13	-0.001	-0.001	0.003	0.003	-0.008
TCRBV04_6	0.000	-0.000	-0.000	-0.000	0.000
TCRBV04_7	0.001	-0.000	-0.000	-0.001	0.000
TCRBV04_8	0.002	0.000	0.001	-0.002	0.000
TCRBV04_9	0.006	-0.002	0.001	-0.001	0.000
TCRBV04_10	0.006	-0.001	-0.001	-0.001	0.003
TCRBV04_11	-0.003	0.001	-0.001	0.004	-0.002
TCRBV04_12	-0.005	0.002	-0.001	0.003	0.004
TCRBV04_13	-0.004	0.003	0.001	0.003	-0.007
TCRBV04_14	-0.004	-0.002	-0.003	-0.005	-0.005
TCRBV04_15	-0.000	0.000	0.000	-0.000	-0.000
TCRBV05_6	0.000	0.000	-0.000	-0.000	0.000
TCRBV05_7	0.000	-0.000	0.000	0.000	0.002
TCRBV05_8	-0.000	-0.001	-0.001	-0.002	0.003
TCRBV05_9	0.007	-0.020	0.014	0.014	-0.005
TCRBV05_10	0.000	0.002	-0.003	0.006	-0.005
TCRBV05_11	-0.001	0.009	-0.007	-0.004	-0.004
TCRBV05_12	-0.002	0.005	0.004	-0.013	-0.003
TCRBV05_13	-0.001	-0.001	-0.002	-0.002	-0.002
TCRBV05_14	0.000	0.000	-0.000	-0.000	-0.000
TCRBV05_15	0.000	0.001	-0.001	-0.001	-0.000
TCRBV06_6	0.001	0.005	0.000	0.001	-0.002
TCRBV06_7	-0.004	0.010	0.012	0.007	-0.010
TCRBV06_8	0.002	-0.002	-0.002	-0.001	-0.001
TCRBV06_9	0.002	-0.004	-0.005	-0.002	-0.001
TCRBV06_10	0.001	-0.005	-0.001	-0.004	0.004
TCRBV06_11	0.000	-0.004	-0.002	-0.001	0.000
TCRBV06_12	0.000	-0.001	-0.000	-0.000	-0.001
TCRBV06_13	0.000	-0.000	-0.000	-0.000	-0.000
TCRBV06_14	0.001	0.001	-0.001	0.000	0.001
TCRBV06_15	0.003	0.002	0.001	0.000	-0.000
TCRBV06_16	0.003	0.003	0.004	0.001	0.001

Page 4/2001 of 4/2001

Page 4/2001 of 4/2001

	File: A(Essence)						File: A(Essence)				
TCRBV06_9	0.004	0.002	0.005	-0.007	0.006	TCRBV11_11	-0.002	0.002	-0.003	0.001	0.004
TCRBV06_10	-0.003	0.004	-0.000	0.002	0.005	TCRBV11_12	-0.001	0.000	-0.002	0.003	0.002
TCRBV06_11	-0.004	0.002	0.004	0.002	0.004	TCRBV11_13	0.001	0.001	-0.001	0.000	0.000
TCRBV06_12	-0.002	-0.001	-0.000	0.002	0.002	TCRBV11_14	-0.000	-0.000	-0.000	0.000	0.000
TCRBV06_13	-0.000	-0.000	-0.000	0.000	0.001	TCRBV11_15	-0.000	-0.000	-0.000	0.000	0.000
TCRBV07_6	0.000	0.000	-0.000	-0.000	-0.000	TCRBV12_4	-0.000	0.000	0.000	0.000	-0.001
TCRBV07_7	0.001	0.000	0.003	0.003	0.003	TCRBV12_5	0.002	0.001	0.004	0.001	-0.000
TCRBV07_8	0.002	-0.001	0.004	-0.002	-0.002	TCRBV12_6	0.000	0.002	-0.002	-0.004	0.003
TCRBV07_9	0.002	0.004	0.001	0.001	0.004	TCRBV12_7	0.005	0.001	0.000	-0.003	0.005
TCRBV07_10	0.006	0.004	0.005	-0.002	0.003	TCRBV12_8	0.002	-0.001	-0.006	-0.002	0.002
TCRBV07_11	-0.001	0.004	-0.001	0.002	0.008	TCRBV12_9	-0.005	-0.002	-0.005	0.005	-0.001
TCRBV07_12	-0.004	0.001	-0.001	0.000	0.005	TCRBV12_10	-0.003	-0.003	-0.003	0.003	-0.001
TCRBV07_13	-0.002	0.001	-0.001	0.001	0.001	TCRBV12_11	-0.004	-0.000	0.000	0.001	0.001
TCRBV07_14	-0.000	-0.000	-0.000	-0.000	0.000	TCRBV12_12	-0.001	-0.000	0.000	0.001	-0.000
TCRBV08_6	-0.000	-0.000	0.000	0.000	0.000	TCRBV12_13	-0.000	-0.000	-0.000	0.000	0.000
TCRBV08_7	-0.000	0.001	-0.000	-0.001	0.002	TCRBV12_14	0.000	0.001	0.000	-0.003	-0.002
TCRBV08_8	-0.001	-0.001	0.000	-0.001	-0.001	TCRBV12_15	0.001	0.003	0.003	-0.003	0.007
TCRBV08_9	0.001	-0.000	0.002	0.000	0.002	TCRBV12_16	0.001	-0.000	-0.002	0.000	0.003
TCRBV08_10	0.003	-0.001	-0.001	-0.003	-0.001	TCRBV12_17	0.000	0.000	0.000	0.010	-0.012
TCRBV08_11	-0.002	0.002	-0.003	0.005	-0.004	TCRBV12_18	-0.003	0.001	-0.002	-0.002	0.004
TCRBV08_12	-0.003	0.004	0.001	-0.001	-0.001	TCRBV12_19	-0.001	-0.001	-0.001	-0.003	-0.002
TCRBV08_13	-0.001	0.002	0.002	-0.002	0.002	TCRBV12_20	-0.000	-0.000	0.001	0.000	0.000
TCRBV08_14	0.001	-0.001	-0.000	-0.002	-0.001	TCRBV12_21	0.000	-0.000	-0.000	0.000	0.000
TCRBV08_15	0.002	-0.002	-0.001	-0.005	-0.002	TCRBV14_4	0.000	0.000	0.000	-0.000	-0.001
TCRBV08_16	0.002	-0.001	0.000	-0.004	-0.002	TCRBV14_5	0.001	-0.000	-0.002	-0.002	0.001
TCRBV08_17	0.003	-0.004	0.003	-0.008	-0.000	TCRBV14_6	-0.001	0.000	0.000	-0.002	-0.002
TCRBV08_18	-0.002	0.002	-0.000	0.004	-0.001	TCRBV14_7	-0.001	-0.001	-0.001	-0.000	-0.001
TCRBV08_19	-0.004	0.004	-0.001	0.007	0.008	TCRBV14_8	0.001	-0.001	-0.002	0.007	0.001
TCRBV08_20	-0.003	0.001	-0.001	0.006	0.004	TCRBV14_9	-0.002	0.000	0.002	-0.004	0.002
TCRBV08_21	-0.001	0.000	0.000	0.002	0.002	TCRBV14_10	-0.002	0.001	0.002	-0.001	-0.000
TCRBV08_22	-0.000	-0.000	0.000	-0.000	-0.000	TCRBV14_11	-0.000	-0.000	-0.000	0.000	0.000
TCRBV08_23	0.001	-0.000	-0.002	-0.001	-0.002	TCRBV14_12	-0.000	-0.000	-0.000	0.000	0.000
TCRBV08_24	-0.000	0.000	0.000	-0.000	-0.000	TCRBV14_13	-0.000	-0.000	-0.000	0.000	0.000
TCRBV08_25	0.001	-0.000	-0.002	-0.001	-0.002	TCRBV15_4	-0.000	0.000	-0.000	0.000	0.000
TCRBV08_26	-0.000	-0.001	0.002	-0.001	0.004	TCRBV15_5	0.001	-0.002	-0.001	0.000	0.004
TCRBV08_27	0.000	0.002	0.000	-0.002	0.003	TCRBV15_6	0.002	0.000	0.001	-0.001	0.003
TCRBV08_28	-0.001	0.000	-0.002	-0.001	-0.001	TCRBV15_7	0.004	0.003	0.003	0.000	0.004
TCRBV08_29	-0.001	0.001	-0.000	0.002	-0.000	TCRBV15_8	0.006	0.004	0.005	0.001	0.004
TCRBV08_30	-0.001	-0.000	0.003	0.002	-0.004	TCRBV15_9	-0.002	0.006	0.007	0.002	-0.000
TCRBV08_31	-0.000	-0.001	-0.001	0.001	-0.003	TCRBV15_10	-0.004	0.003	-0.003	0.001	0.002
TCRBV08_32	-0.000	-0.000	0.000	0.000	0.000	TCRBV15_11	-0.003	0.001	-0.002	0.000	-0.000
TCRBV08_33	0.000	0.000	-0.001	0.001	0.005	TCRBV15_12	0.001	0.000	-0.000	-0.000	-0.000
TCRBV08_34	0.000	-0.002	0.003	0.010	0.012	TCRBV16_5	-0.000	0.000	0.000	0.000	0.000
TCRBV08_35	0.000	-0.001	0.008	0.006	0.008	TCRBV16_6	0.001	-0.001	0.001	0.002	0.001
TCRBV08_36	0.003	0.006	0.001	-0.004	0.010	TCRBV16_7	0.003	0.001	0.002	0.001	0.001
TCRBV08_37	-0.002	-0.002	-0.014	-0.003	-0.013	TCRBV16_8	0.007	0.006	-0.002	0.001	-0.003
TCRBV08_38	-0.000	0.006	-0.001	-0.003	-0.003	TCRBV16_9	0.000	0.000	-0.004	0.004	-0.005
TCRBV08_39	0.000	0.001	-0.000	-0.001	-0.001	TCRBV16_10	0.000	0.006	0.001	0.003	-0.003
TCRBV08_40	0.000	0.000	-0.000	-0.000	-0.000	TCRBV16_11	-0.005	-0.002	0.007	0.002	0.013
TCRBV08_41	0.000	-0.000	0.000	-0.000	-0.000	TCRBV16_12	-0.010	-0.004	0.011	-0.014	0.004
TCRBV08_42	0.000	-0.000	0.000	-0.000	-0.000	TCRBV16_13	-0.000	-0.000	0.000	0.000	-0.000
TCRBV08_43	0.001	0.001	-0.001	-0.001	-0.001	TCRBV16_14	-0.000	-0.000	-0.000	-0.000	0.000
TCRBV10_7	0.001	0.003	0.002	0.007	-0.003	TCRBV18_5	0.000	-0.000	0.000	0.000	0.000
TCRBV10_8	0.002	0.003	-0.000	0.001	-0.000	TCRBV18_6	0.000	0.001	0.003	-0.000	-0.002
TCRBV10_9	-0.003	-0.003	0.001	-0.004	0.001	TCRBV18_7	-0.002	0.003	0.006	-0.002	-0.002
TCRBV10_10	-0.001	-0.003	0.000	0.001	0.001	TCRBV18_8	-0.000	0.006	0.004	0.003	0.003
TCRBV10_11	0.003	0.003	-0.002	-0.002	0.001	TCRBV18_9	0.003	0.003	-0.002	-0.006	0.009
TCRBV10_12	0.000	-0.000	-0.001	0.000	0.001	TCRBV18_10	-0.001	0.003	0.000	0.010	0.004
TCRBV10_13	-0.000	-0.000	-0.000	0.000	0.000	TCRBV18_11	-0.001	-0.001	-0.001	0.001	0.003
TCRBV11_5	0.000	-0.000	-0.000	0.000	0.001	TCRBV18_12	-0.000	0.000	0.000	0.000	-0.000
TCRBV11_6	0.001	0.001	0.000	-0.002	0.001	TCRBV18_13	-0.000	0.000	-0.000	-0.000	0.000
TCRBV11_7	0.001	0.001	0.002	-0.002	0.001	TCRBV20_5	0.000	-0.000	0.000	0.001	0.001
TCRBV11_8	0.001	0.003	0.004	-0.003	-0.000	TCRBV20_6	0.001	-0.000	0.001	0.000	-0.001
TCRBV11_9	0.004	0.003	0.011	-0.002	0.003	TCRBV20_7	0.002	0.001	0.001	0.001	-0.000
TCRBV11_10	-0.000	0.003	0.000	0.004	0.005						

Pec: 4/2/2004					Pec: 4/2/2004					
TCRBV11_6	-0.001	-0.003	-0.001	0.002	0.002	TCRBV18_12	0.000	-0.000	8.001	0.000
TCRBV11_7	-0.002	-0.002	-0.001	0.003	0.003	TCRBV18_13	0.000	0.000	-0.000	0.000
TCRBV11_9	-0.001	-0.004	-0.001	0.008	0.004	TCRBV20_5	0.000	0.000	-0.000	-0.001
TCRBV11_9	0.004	0.003	-0.009	-0.006	-0.006	TCRBV20_6	-0.000	-0.002	-0.003	-0.002
TCRBV11_10	0.002	0.002	0.003	0.002	0.001	TCRBV20_7	-0.003	-0.003	8.002	-0.000
TCRBV11_11	0.003	0.003	0.004	0.002	0.002	TCRBV20_8	0.003	0.001	-0.003	-0.007
TCRBV11_12	0.003	0.005	0.001	-0.001	0.001	TCRBV20_8	-0.004	-0.005	-0.000	-0.001
TCRBV11_13	0.000	0.002	0.001	-0.001	0.003	TCRBV20_10	0.003	0.002	0.000	0.000
TCRBV11_14	0.001	0.000	0.000	-0.000	0.000	TCRBV20_11	0.004	0.001	0.004	0.007
TCRBV11_15	0.000	0.000	0.000	-0.000	0.000	TCRBV20_12	0.007	0.002	0.001	-0.003
TCRBV12_7	-0.000	0.000	-0.000	0.001	-0.000	TCRBV20_13	-0.002	0.004	-0.003	0.003
TCRBV12_8	-0.005	0.002	0.013	-0.000	0.004	TCRBV20_14	0.000	0.000	0.000	0.000
TCRBV12_9	-0.002	0.003	0.002	0.001	0.003					
TCRBV12_9	-0.003	0.001	0.001	0.011	-0.000					
TCRBV12_9	-0.000	0.001	-0.000	0.008	0.003					
TCRBV12_9	-0.000	-0.011	-0.002	-0.004	0.003	TCRBV21_6	-0.000	0.001	0.000	-0.000
TCRBV12_10	0.007	0.004	-0.011	-0.000	0.000	TCRBV21_7	-0.003	0.001	0.002	0.002
TCRBV12_11	-0.003	-0.003	-0.003	0.001	0.004	TCRBV21_8	-0.007	0.002	0.004	-0.001
TCRBV12_12	0.001	-0.001	-0.002	0.000	0.000	TCRBV21_9	0.001	-0.003	-0.016	-0.001
TCRBV13_5	0.000	0.000	0.000	0.000	0.000	TCRBV21_10	-0.000	0.005	-0.004	-0.001
TCRBV13_6	0.007	0.005	-0.005	-0.002	-0.005	TCRBV21_11	0.004	0.004	-0.004	0.003
TCRBV13_7	-0.003	-0.003	-0.004	0.003	-0.003	TCRBV21_12	0.006	0.003	0.003	0.005
TCRBV13_8	-0.009	-0.003	0.003	0.000	0.001	TCRBV21_13	0.000	0.000	0.000	0.001
TCRBV13_9	-0.005	-0.003	0.010	0.005	0.001	TCRBV21_14	0.000	0.000	0.000	0.000
TCRBV13_10	0.001	-0.001	-0.000	-0.002	0.000	TCRBV22_6	-0.001	-0.001	-0.001	-0.002
TCRBV13_11	0.001	0.002	0.003	-0.004	0.003	TCRBV22_7	0.001	-0.005	0.001	0.001
TCRBV13_12	0.001	0.000	0.000	0.000	0.001	TCRBV22_8	-0.006	-0.001	-0.003	0.002
TCRBV13_13	-0.000	-0.000	-0.000	0.000	-0.000	TCRBV22_9	0.006	0.006	0.004	-0.003
TCRBV14_6	0.000	0.000	0.000	-0.001	0.001	TCRBV22_10	-0.002	-0.000	-0.001	0.004
TCRBV14_6	-0.000	-0.001	0.001	-0.002	-0.000	TCRBV22_11	0.000	-0.006	0.001	0.004
TCRBV14_7	0.001	-0.001	-0.006	-0.000	0.000	TCRBV22_12	0.001	-0.001	-0.002	0.000
TCRBV14_8	0.002	0.001	-0.004	-0.002	-0.001	TCRBV23_6	-0.000	0.000	0.000	-0.000
TCRBV14_9	-0.003	-0.002	0.004	0.000	0.001	TCRBV23_7	0.000	0.000	0.000	-0.000
TCRBV14_10	0.000	0.001	0.004	-0.000	0.002	TCRBV23				
TCRBV14_11	0.000	0.001	0.001	-0.002	-0.000	TCRBV23_1	-0.001	-0.001	-0.001	-0.001
TCRBV14_12	-0.000	0.001	0.000	-0.001	0.001	TCRBV23_2	0.003	0.003	-0.003	0.007
TCRBV14_13	-0.000	0.000	0.000	-0.000	0.000	TCRBV23_3	-0.002	0.012	-0.010	0.009
TCRBV14_14	0.000	0.000	0.000	0.000	0.001	TCRBV23_4	-0.004	0.012	0.005	-0.001
TCRBV14_15	-0.000	0.003	-0.004	0.004	-0.010					
TCRBV15_6	-0.002	0.000	0.003	0.001	0.001	TCRBV23_10	0.000	-0.007	-0.001	-0.011
TCRBV15_7	-0.002	-0.002	0.007	0.002	0.000	TCRBV23_11	0.010	-0.009	-0.004	0.015
TCRBV15_8	0.001	-0.001	0.002	0.009	0.002	TCRBV23_12	0.000	-0.001	-0.002	0.008
TCRBV15_9	0.007	0.002	-0.004	-0.006	0.001	TCRBV23_13	-0.012	-0.004	0.007	-0.003
TCRBV15_10	0.004	0.000	-0.003	-0.003	0.010	TCRBV23_14	0.000	0.000	0.000	0.000
TCRBV15_11	0.002	-0.001	-0.001	-0.002	0.003	TCRBV24_6	0.001	-0.000	-0.001	0.001
TCRBV15_12	0.000	-0.000	-0.002	-0.000	0.002	TCRBV24_7	-0.001	-0.001	-0.003	0.003
TCRBV15_13	-0.000	-0.000	0.002	-0.000	-0.000	TCRBV24_8	-0.004	-0.005	-0.007	-0.009
TCRBV16_7	-0.004	-0.000	0.004	-0.000	-0.001	TCRBV24_9	-0.002	0.000	0.003	0.007
TCRBV16_7	-0.003	-0.007	-0.001	0.000	0.003	TCRBV24_10	-0.002	0.004	0.003	0.008
TCRBV16_8	0.003	-0.007	-0.001	0.000	0.000	TCRBV24_11	0.007	0.004	0.003	-0.004
TCRBV16_9	0.018	-0.007	-0.003	0.001	0.000	TCRBV24_12	0.005	0.003	0.003	0.003
TCRBV16_10	0.003	0.014	0.004	0.007	0.000	TCRBV24_13	-0.002	0.002	-0.019	-0.009
TCRBV16_11	0.001	0.011	0.007	0.004	0.000	TCRBV24_14	-0.002	-0.004	-0.005	-0.003
TCRBV16_12	0.003	-0.007	-0.004	0.017	0.008	TCRBV24_15	0.001	0.001	-0.001	-0.000
TCRBV16_13	-0.000	0.000	-0.000	0.001	-0.000	TCRBV25_5	0.000	0.000	-0.001	-0.000
TCRBV18_3	0.000	-0.000	0.000	0.000	0.000	TCRBV25_6	0.005	-0.002	-0.001	0.001
TCRBV18_4	0.001	-0.000	0.000	0.000	0.000	TCRBV25_7	0.001	-0.006	-0.002	0.005
TCRBV18_10	0.000	-0.001	0.008	0.003	-0.000	TCRBV25_8	0.005	-0.004	0.009	0.000
TCRBV18_11	0.003	-0.009	0.012	0.001	-0.001	TCRBV25_9	0.004	-0.007	0.010	0.010
TCRBV18_12	-0.003	-0.009	0.021	-0.011	-0.004	TCRBV25_10	-0.004	-0.015	-0.004	-0.004
TCRBV18_13	0.001	-0.012	-0.003	-0.015	0.005	TCRBV25_11	0.007	0.005	0.005	0.011
TCRBV18_14	-0.003	0.002	-0.008	-0.008	0.012	TCRBV25_12	-0.001	-0.006	-0.002	-0.003
TCRBV18_15	-0.002	0.000	-0.005	0.003	0.004	TCRBV25_13	-0.000	0.000	-0.001	-0.000
TCRBV18_16	-0.002	0.002	-0.002	0.001	0.000	TCRBV25_14	-0.000	-0.000	-0.002	-0.001
TCRBV18_17						TCRBV25_15	0.004	-0.003	-0.004	-0.003

Figure 12

Pct. (A2/2000)															
TCRBV02_8	0.013	0.001	0.00	0.003	-0.008	0.003	0.012	0.008	-0.003	0.002	-0.011	0.005	0.003	0.002	0.002
TCRBV02_9	-0.006	-0.008	-0.01	0.014	-0.012	0.012	0.012	0.012	0.012	0.012	0.012	0.012	0.012	0.012	0.012
TCRBV02_10	0.014	-0.010	0.004	-0.004	-0.001	-0.001	0.012	0.012	0.012	0.012	0.012	0.012	0.012	0.012	0.012
TCRBV02_11	0.004	-0.008	0.010	-0.005	-0.001	-0.001	0.012	0.012	0.012	0.012	0.012	0.012	0.012	0.012	0.012
TCRBV02_12	0.000	-0.002	0.001	-0.003	0.004	0.004	0.012	0.012	0.012	0.012	0.012	0.012	0.012	0.012	0.012
TCRBV02_13	-0.000	-0.000	-0.001	-0.000	-0.001	-0.001	0.012	0.012	0.012	0.012	0.012	0.012	0.012	0.012	0.012
TCRBV04_4	0.004	0.004	-0.003	0.008	0.000	0.000	0.012	0.012	0.012	0.012	0.012	0.012	0.012	0.012	0.012
TCRBV06_7	0.002	0.002	-0.003	-0.002	0.003	0.003	0.012	0.012	0.012	0.012	0.012	0.012	0.012	0.012	0.012
TCRBV06_8	0.001	-0.002	-0.000	0.002	0.000	0.000	0.012	0.012	0.012	0.012	0.012	0.012	0.012	0.012	0.012
TCRBV06_9	-0.003	0.013	-0.003	0.002	-0.010	-0.010	0.012	0.012	0.012	0.012	0.012	0.012	0.012	0.012	0.012
TCRBV06_10	-0.004	0.002	0.004	-0.004	-0.003	-0.003	0.012	0.012	0.012	0.012	0.012	0.012	0.012	0.012	0.012
TCRBV06_11	-0.003	-0.006	0.004	-0.002	0.003	0.003	0.012	0.012	0.012	0.012	0.012	0.012	0.012	0.012	0.012
TCRBV06_12	-0.001	-0.002	0.003	0.004	0.002	0.002	0.012	0.012	0.012	0.012	0.012	0.012	0.012	0.012	0.012
TCRBV06_13	-0.001	0.000	0.001	-0.000	-0.002	-0.002	0.012	0.012	0.012	0.012	0.012	0.012	0.012	0.012	0.012
TCRBV07_5	0.000	-0.000	0.000	0.000	-0.000	-0.000	0.012	0.012	0.012	0.012	0.012	0.012	0.012	0.012	0.012
TCRBV07_6	-0.000	0.003	-0.001	0.003	-0.003	-0.003	0.012	0.012	0.012	0.012	0.012	0.012	0.012	0.012	0.012
TCRBV07_7	0.003	0.003	0.003	0.004	0.001	0.001	0.012	0.012	0.012	0.012	0.012	0.012	0.012	0.012	0.012
TCRBV07_8	0.017	-0.006	0.017	0.008	0.008	0.008	0.012	0.012	0.012	0.012	0.012	0.012	0.012	0.012	0.012
TCRBV07_9	-0.012	-0.010	0.002	-0.013	0.003	0.003	0.012	0.012	0.012	0.012	0.012	0.012	0.012	0.012	0.012
TCRBV07_10	-0.007	0.004	-0.003	-0.003	-0.000	-0.000	0.012	0.012	0.012	0.012	0.012	0.012	0.012	0.012	0.012
TCRBV07_11	-0.004	0.003	0.004	-0.003	0.001	0.001	0.012	0.012	0.012	0.012	0.012	0.012	0.012	0.012	0.012
TCRBV07_12	-0.001	0.001	0.000	-0.000	-0.000	-0.000	0.012	0.012	0.012	0.012	0.012	0.012	0.012	0.012	0.012
TCRBV08_1_5	0.001	0.001	-0.000	0.000	-0.000	-0.000	0.012	0.012	0.012	0.012	0.012	0.012	0.012	0.012	0.012
TCRBV08_1_6	0.001	-0.000	-0.004	0.004	-0.001	-0.001	0.012	0.012	0.012	0.012	0.012	0.012	0.012	0.012	0.012
TCRBV08_1_7	-0.004	-0.003	-0.003	0.003	-0.003	-0.003	0.012	0.012	0.012	0.012	0.012	0.012	0.012	0.012	0.012
TCRBV08_1_8	0.002	0.003	-0.003	0.004	-0.001	-0.001	0.012	0.012	0.012	0.012	0.012	0.012	0.012	0.012	0.012
TCRBV08_1_9	0.002	0.003	0.004	-0.011	-0.011	-0.011	0.012	0.012	0.012	0.012	0.012	0.012	0.012	0.012	0.012
TCRBV08_1_10	-0.008	0.009	0.001	0.001	0.013	0.013	0.012	0.012	0.012	0.012	0.012	0.012	0.012	0.012	0.012
TCRBV08_1_11	-0.004	0.003	-0.000	0.000	0.012	0.012	0.012	0.012	0.012	0.012	0.012	0.012	0.012	0.012	0.012
TCRBV08_1_12	-0.001	-0.001	0.003	-0.001	0.004	0.004	0.012	0.012	0.012	0.012	0.012	0.012	0.012	0.012	0.012
TCRBV08_2_4	0.002	0.001	-0.002	-0.001	0.000	0.000	0.012	0.012	0.012	0.012	0.012	0.012	0.012	0.012	0.012
TCRBV08_2_5	0.005	0.001	-0.004	0.001	0.003	0.003	0.012	0.012	0.012	0.012	0.012	0.012	0.012	0.012	0.012
TCRBV08_2_6	0.002	0.002	-0.002	0.002	0.001	0.001	0.012	0.012	0.012	0.012	0.012	0.012	0.012	0.012	0.012
TCRBV08_2_7	0.007	0.004	-0.007	-0.000	0.002	0.002	0.012	0.012	0.012	0.012	0.012	0.012	0.012	0.012	0.012
TCRBV08_2_8	-0.008	-0.006	0.006	-0.002	-0.008	-0.008	0.012	0.012	0.012	0.012	0.012	0.012	0.012	0.012	0.012
TCRBV08_2_9	-0.003	-0.002	0.003	-0.001	0.000	0.000	0.012	0.012	0.012	0.012	0.012	0.012	0.012	0.012	0.012
TCRBV08_2_10	-0.001	-0.002	-0.003	-0.001	0.001	0.001	0.012	0.012	0.012	0.012	0.012	0.012	0.012	0.012	0.012
TCRBV08_2_11	-0.001	-0.002	-0.003	-0.001	0.001	0.001	0.012	0.012	0.012	0.012	0.012	0.012	0.012	0.012	0.012
TCRBV08_2_12	-0.001	-0.002	-0.003	-0.001	0.001	0.001	0.012	0.012	0.012	0.012	0.012	0.012	0.012	0.012	0.012
TCRBV08_3_4	-0.001	-0.000	0.002	-0.001	0.000	0.000	0.012	0.012	0.012	0.012	0.012	0.012	0.012	0.012	0.012
TCRBV08_3_5	-0.001	-0.000	0.002	-0.001	0.000	0.000	0.012	0.012	0.012	0.012	0.012	0.012	0.012	0.012	0.012
TCRBV08_3_6	0.001	-0.000	-0.000	0.003	-0.002	-0.002	0.012	0.012	0.012	0.012	0.012	0.012	0.012	0.012	0.012
TCRBV08_3_7	-0.005	-0.011	-0.004	-0.004	-0.003	-0.003	0.012	0.012	0.012	0.012	0.012	0.012	0.012	0.012	0.012
TCRBV08_3_8	0.002	0.003	-0.002	0.002	-0.004	-0.004	0.012	0.012	0.012	0.012	0.012	0.012	0.012	0.012	0.012
TCRBV08_3_9	0.003	0.008	0.006	0.006	0.002	0.002	0.012	0.012	0.012	0.012	0.012	0.012	0.012	0.012	0.012
TCRBV08_3_10	0.002	0.003	0.005	0.005	-0.003	-0.003	0.012	0.012	0.012	0.012	0.012	0.012	0.012	0.012	0.012
TCRBV08_3_11	0.003	0.003	-0.007	-0.003	0.003	0.003	0.012	0.012	0.012	0.012	0.012	0.012	0.012	0.012	0.012
TCRBV08_3_12	-0.001	-0.003	-0.001	-0.004	-0.001	-0.001	0.012	0.012	0.012	0.012	0.012	0.012	0.012	0.012	0.012
TCRBV09_3	0.001	0.001	-0.000	0.000	-0.001	-0.001	0.012	0.012	0.012	0.012	0.012	0.012	0.012	0.012	0.012
TCRBV09_4	-0.001	0.001	0.001	0.001	-0.001	-0.001	0.012	0.012	0.012	0.012	0.012	0.012	0.012	0.012	0.012
TCRBV09_5	-0.001	-0.003	0.002	0.001	-0.001	-0.001	0.012	0.012	0.012	0.012	0.012	0.012	0.012	0.012	0.012
TCRBV09_6	0.011	0.007	-0.016	-0.016	-0.016	-0.016	0.012	0.012	0.012	0.012	0.012	0.012	0.012	0.012	0.012
TCRBV09_7	-0.021	-0.014	0.010	0.016	-0.004	-0.004	0.012	0.012	0.012	0.012	0.012	0.012	0.012	0.012	0.012
TCRBV09_8	0.009	-0.002	0.013	0.013	-0.004	-0.004	0.012	0.012	0.012	0.012	0.012	0.012	0.012	0.012	0.012
TCRBV09_9	-0.001	-0.002	-0.002	-0.011	0.011	0.011	0.012	0.012	0.012	0.012	0.012	0.012	0.012	0.012	0.012
TCRBV09_10	0.001	-0.003	-0.002	-0.008	0.000	0.000	0.012	0.012	0.012	0.012	0.012	0.012	0.012	0.012	0.012
TCRBV09_11	0.001	-0.001	-0.003	-0.002	0.000	0.000	0.012	0.012	0.012	0.012	0.012	0.012	0.012	0.012	0.012
TCRBV09_12	0.001	0.001	-0.003	-0.002	0.000	0.000	0.012	0.012	0.012	0.012	0.012	0.012	0.012	0.012	0.012
TCRBV09_13	0.001	0.001	-0.003	-0.002	0.000	0.000	0.012	0.012	0.012	0.012	0.012	0.012	0.012	0.012	0.012
TCRBV09_14	0.001	0.001	-0.003	-0.002	0.000	0.000	0.012	0.012	0.012	0.012	0.012	0.012	0.012	0.012	0.012
TCRBV10_4	0.008	0.000	-0.000	-0.000	0.000	0.000	0.012	0.012	0.012	0.012	0.012	0.012	0.012	0.012	0.012
TCRBV10_5	-0.008	0.004	-0.004	0.004	0.001	0.001	0.012	0.012	0.012	0.012	0.012	0.012	0.012	0.012	0.012
TCRBV10_6	-0.003	0.000	-0.002	0.001	-0.001	-0.001	0.012								

Pct. 42(2)(a)(i)					Pct. 42(2)(a)(i)				
TCRVS03_15	0.000	0.001	0.000	-0.000	0.000	0.000	-0.002	-0.001	-0.001
TCRVS03_16	-0.000	0.000	0.001	-0.006	-0.005	0.000	-0.002	-0.002	-0.000
TCRVS03_17	0.002	-0.004	-0.008	-0.018	-0.006	0.000	-0.002	-0.002	-0.000
TCRVS03_18	0.010	-0.004	-0.023	-0.011	0.004	0.000	-0.002	-0.002	-0.000
TCRVS03_19	0.001	-0.004	0.003	0.016	0.003	0.001	0.006	0.006	0.006
TCRVS03_20	-0.004	0.002	0.007	0.004	0.012	0.001	0.019	0.003	-0.015
TCRVS03_21	-0.002	0.009	0.001	0.017	-0.007	-0.019	-0.002	-0.010	0.005
TCRVS03_22	-0.005	0.003	0.001	0.004	-0.000	-0.023	-0.004	-0.004	-0.004
TCRVS03_23	-0.000	0.000	-0.000	0.003	-0.000	-0.008	0.011	-0.011	0.011
TCRVS03_24	-0.001	0.001	-0.001	0.001	0.001	-0.003	0.008	-0.003	0.004
TCRVS03_25	-0.003	-0.007	0.003	0.001	0.002	-0.002	0.001	-0.001	0.001
TCRVS03_26	-0.001	-0.007	0.005	-0.001	0.004	0.000	0.001	0.000	0.000
TCRVS03_27	-0.000	-0.007	0.002	-0.005	-0.000	0.001	0.000	0.001	-0.001
TCRVS03_28	-0.008	0.003	-0.001	-0.003	0.006	0.002	-0.007	0.001	0.004
TCRVS03_29	0.001	0.007	0.001	-0.004	0.003	-0.008	-0.004	-0.001	-0.003
TCRVS03_30	-0.000	0.004	0.002	0.002	-0.002	0.007	0.001	0.012	0.019
TCRVS03_31	-0.002	0.003	-0.001	0.004	-0.004	0.007	0.008	0.022	0.003
TCRVS03_32	-0.000	0.000	-0.000	0.001	-0.001	-0.005	-0.018	-0.014	-0.017
TCRVS03_33	-0.002	0.001	-0.002	-0.002	-0.002	-0.007	0.004	-0.003	-0.008
TCRVS03_34	-0.003	0.002	-0.002	-0.002	-0.003	0.001	0.008	-0.001	-0.006
TCRVS03_35	0.005	0.006	-0.006	0.001	-0.004	-0.012	0.009	-0.002	-0.006
TCRVS03_36	-0.011	0.003	-0.003	0.001	0.017	-0.000	0.000	-0.000	0.000
TCRVS03_37	0.010	-0.007	-0.001	-0.007	0.001	0.002	0.001	0.000	0.004
TCRVS03_38	-0.001	0.003	0.010	-0.013	-0.013	-0.000	0.003	0.001	0.013
TCRVS03_39	0.002	-0.003	0.003	-0.002	0.002	-0.006	0.008	-0.007	0.009
TCRVS03_40	0.005	0.000	0.007	0.006	0.001	0.009	-0.012	-0.017	0.007
TCRVS03_41	0.001	-0.001	0.003	0.006	0.002	0.019	0.017	-0.004	-0.018
TCRVS03_42	-0.001	0.001	0.003	0.010	-0.000	0.002	-0.012	0.009	0.008
TCRVS03_43	0.002	-0.001	0.003	0.009	0.010	-0.007	-0.002	0.015	0.013
TCRVS03_44	0.003	-0.001	0.001	0.003	0.009	0.000	-0.002	0.005	-0.003
TCRVS03_45	-0.002	-0.003	0.005	0.003	0.020	-0.002	-0.002	-0.001	-0.001
TCRVS03_46	-0.001	0.002	-0.008	0.003	0.001	-0.008	-0.002	0.001	0.008
TCRVS03_47	0.008	0.002	0.002	0.005	-0.015	-0.002	-0.002	-0.001	-0.001
TCRVS03_48	-0.005	0.000	-0.001	-0.018	-0.012	-0.003	-0.008	0.008	-0.002
TCRVS03_49	0.001	-0.003	-0.003	-0.007	-0.007	-0.002	-0.002	-0.001	-0.001
TCRVS03_50	-0.002	-0.003	0.001	-0.002	-0.000	-0.001	-0.001	-0.001	-0.001
TCRVS03_51	-0.002	-0.002	0.001	-0.002	-0.000	0.001	0.001	0.001	0.001
TCRVS03_52	-0.001	-0.001	0.001	-0.001	-0.001	0.001	0.001	0.001	0.001
TCRVS03_53	0.006	0.000	-0.001	-0.001	-0.001	0.001	0.001	0.001	0.001
TCRVS03_54	-0.005	-0.003	0.008	0.003	0.001	0.001	0.001	0.001	0.001
TCRVS03_55	0.002	-0.004	-0.001	-0.001	-0.001	0.001	0.001	0.001	0.001
TCRVS03_56	0.014	-0.014	-0.001	-0.001	-0.001	0.001	0.001	0.001	0.001
TCRVS03_57	-0.008	0.001	0.001	0.001	0.001	0.001	0.001	0.001	0.001
TCRVS03_58	-0.003	-0.003	-0.003	-0.003	-0.003	0.001	0.001	0.001	0.001
TCRVS03_59	-0.003	-0.003	-0.003	-0.003	-0.003	0.001	0.001	0.001	0.001
TCRVS03_60	-0.003	-0.003	-0.003	-0.003	-0.003	0.001	0.001	0.001	0.001
TCRVS03_61	-0.003	-0.003	-0.003	-0.003	-0.003	0.001	0.001	0.001	0.001
TCRVS03_62	-0.003	-0.003	-0.003	-0.003	-0.003	0.001	0.001	0.001	0.001
TCRVS03_63	-0.003	-0.003	-0.003	-0.003	-0.003	0.001	0.001	0.001	0.001
TCRVS03_64	-0.003	-0.003	-0.003	-0.003	-0.003	0.001	0.001	0.001	0.001
TCRVS03_65	-0.003	-0.003	-0.003	-0.003	-0.003	0.001	0.001	0.001	0.001
TCRVS03_66	-0.003	-0.003	-0.003	-0.003	-0.003	0.001	0.001	0.001	0.001
TCRVS03_67	-0.003	-0.003	-0.003	-0.003	-0.003	0.001	0.001	0.001	0.001
TCRVS03_68	-0.003	-0.003	-0.003	-0.003	-0.003	0.001	0.001	0.001	0.001
TCRVS03_69	-0.003	-0.003	-0.003	-0.003	-0.003	0.001	0.001	0.001	0.001
TCRVS03_70	-0.003	-0.003	-0.003	-0.003	-0.003	0.001	0.001	0.001	0.001
TCRVS03_71	-0.003	-0.003	-0.003	-0.003	-0.003	0.001	0.001	0.001	0.001
TCRVS03_72	-0.003	-0.003	-0.003	-0.003	-0.003	0.001	0.001	0.001	0.001
TCRVS03_73	-0.003	-0.003	-0.003	-0.003	-0.003	0.001	0.001	0.001	0.001
TCRVS03_74	-0.003	-0.003	-0.003	-0.003	-0.003	0.001	0.001	0.001	0.001
TCRVS03_75	-0.003	-0.003	-0.003	-0.003	-0.003	0.001	0.001	0.001	0.001
TCRVS03_76	-0.003	-0.003	-0.003	-0.003	-0.003	0.001	0.001	0.001	0.001
TCRVS03_77	-0.003	-0.003	-0.003	-0.003	-0.003	0.001	0.001	0.001	0.001
TCRVS03_78	-0.003	-0.003	-0.003	-0.003	-0.003	0.001	0.001	0.001	0.001
TCRVS03_79	-0.003	-0.003	-0.003	-0.003	-0.003	0.001	0.001	0.001	0.001
TCRVS03_80	-0.003	-0.003	-0.003	-0.003	-0.003	0.001	0.001	0.001	0.001
TCRVS03_81	-0.003	-0.003	-0.003	-0.003	-0.003	0.001	0.001	0.001	0.001
TCRVS03_82	-0.003	-0.003	-0.003	-0.003	-0.003	0.001	0.001	0.001	0.001
TCRVS03_83	-0.003	-0.003	-0.003	-0.003	-0.003	0.001	0.001	0.001	0.001
TCRVS03_84	-0.003	-0.003	-0.003	-0.003	-0.003	0.001	0.001	0.001	0.001
TCRVS03_85	-0.003	-0.003	-0.003	-0.003	-0.003	0.001	0.001	0.001	0.001
TCRVS03_86	-0.003	-0.003	-0.003	-0.003	-0.003	0.001	0.001	0.001	0.001
TCRVS03_87	-0.003	-0.003	-0.003	-0.003	-0.003	0.001	0.001	0.001	0.001
TCRVS03_88	-0.003	-0.003	-0.003	-0.003	-0.003	0.001	0.001	0.001	0.001
TCRVS03_89	-0.003	-0.003	-0.003	-0.003	-0.003	0.001	0.001	0.001	0.001
TCRVS03_90	-0.003	-0.003	-0.003	-0.003	-0.003	0.001	0.001	0.001	0.001
TCRVS03_91	-0.003	-0.003	-0.003	-0.003	-0.003	0.001	0.001	0.001	0.001
TCRVS03_92	-0.003	-0.003	-0.003	-0.003	-0.003	0.001	0.001	0.001	0.001
TCRVS03_93	-0.003	-0.003	-0.003	-0.003	-0.003	0.001	0.001	0.001	0.001
TCRVS03_94	-0.003	-0.003	-0.003	-0.003	-0.003	0.001	0.001	0.001	0.001
TCRVS03_95	-0.003	-0.003	-0.003	-0.003	-0.003	0.001	0.001	0.001	0.001
TCRVS03_96	-0.003	-0.003	-0.003	-0.003	-0.003	0.001	0.001	0.001	0.001
TCRVS03_97	-0.003	-0.003	-0.003	-0.003	-0.003	0.001	0.001	0.001	0.001
TCRVS03_98	-0.003	-0.003	-0.003	-0.003	-0.003	0.001	0.001	0.001	0.001
TCRVS03_99	-0.003	-0.003	-0.003	-0.003	-0.003	0.001	0.001	0.001	0.001
TCRVS03_100	-0.003	-0.003	-0.003	-0.003	-0.003	0.001	0.001	0.001	0.001

Figure 113

Pct. 10/519950				
TCR16_1	-0.001	0.010	0.005	0.014
TCR16_2	-0.006	-0.004	-0.007	-0.003
TCR16_3	-0.006	-0.006	-0.007	-0.008
TCR16_4	-0.013	-0.003	0.034	0.039
TCR16_5	-0.018	-0.014	0.004	-0.004
TCR16_6	-0.001	0.001	0.001	-0.002
TCR16_7	0.000	-0.000	0.000	-0.000
TCR16_8	-0.004	0.009	0.002	0.009
TCR16_9	-0.004	0.011	0.002	-0.015
TCR16_10	-0.003	0.001	0.002	0.005
TCR16_11	-0.012	-0.010	-0.007	0.012
TCR16_12	0.001	-0.024	0.003	-0.003
TCR16_13	0.007	-0.003	-0.010	0.015
TCR16_14	0.010	-0.006	-0.006	-0.008
TCR16_15	0.004	0.004	-0.009	0.003
TCR16_16	0.001	-0.000	0.001	-0.003
TCR16_17	-0.001	0.000	-0.001	0.000
TCR16_18	-0.001	-0.002	-0.002	-0.000
TCR16_19	-0.003	-0.002	-0.000	0.013
TCR16_20	0.001	-0.002	-0.003	-0.013
TCR16_21	-0.010	-0.013	0.007	0.018
TCR16_22	0.018	-0.009	-0.012	0.004
TCR16_23	-0.002	0.001	0.010	0.032
TCR16_24	0.018	0.018	0.002	-0.007
TCR16_25	0.001	0.004	0.003	-0.008
TCR16_26	0.000	0.017	-0.010	0.007
TCR16_27	-0.000	0.001	0.000	-0.001

24

27

28

29

30

Page 10/519950 of 10/519950

Pct. 10/519950				
TCR16_1	-0.003	0.013	-0.001	-0.007
TCR16_2	-0.007	0.002	-0.007	0.004
TCR16_3	-0.007	0.002	-0.007	0.004
TCR16_4	-0.007	0.002	-0.007	0.004
TCR16_5	-0.007	0.002	-0.007	0.004
TCR16_6	-0.007	0.002	-0.007	0.004
TCR16_7	-0.007	0.002	-0.007	0.004
TCR16_8	-0.007	0.002	-0.007	0.004
TCR16_9	-0.007	0.002	-0.007	0.004
TCR16_10	-0.007	0.002	-0.007	0.004
TCR16_11	-0.007	0.002	-0.007	0.004
TCR16_12	-0.007	0.002	-0.007	0.004
TCR16_13	-0.007	0.002	-0.007	0.004
TCR16_14	-0.007	0.002	-0.007	0.004
TCR16_15	-0.007	0.002	-0.007	0.004
TCR16_16	-0.007	0.002	-0.007	0.004
TCR16_17	-0.007	0.002	-0.007	0.004
TCR16_18	-0.007	0.002	-0.007	0.004
TCR16_19	-0.007	0.002	-0.007	0.004
TCR16_20	-0.007	0.002	-0.007	0.004
TCR16_21	-0.007	0.002	-0.007	0.004
TCR16_22	-0.007	0.002	-0.007	0.004
TCR16_23	-0.007	0.002	-0.007	0.004
TCR16_24	-0.007	0.002	-0.007	0.004
TCR16_25	-0.007	0.002	-0.007	0.004
TCR16_26	-0.007	0.002	-0.007	0.004
TCR16_27	-0.007	0.002	-0.007	0.004

31

32

33

34

35

Page 10/519950 of 10/519950

Pct. 10/519950				
TCR16_1	-0.004	-0.004	-0.002	0.003
TCR16_2	-0.004	-0.004	-0.002	0.003
TCR16_3	-0.004	-0.004	-0.002	0.003
TCR16_4	-0.004	-0.004	-0.002	0.003
TCR16_5	-0.004	-0.004	-0.002	0.003
TCR16_6	-0.004	-0.004	-0.002	0.003
TCR16_7	-0.004	-0.004	-0.002	0.003
TCR16_8	-0.004	-0.004	-0.002	0.003
TCR16_9	-0.004	-0.004	-0.002	0.003
TCR16_10	-0.004	-0.004	-0.002	0.003
TCR16_11	-0.004	-0.004	-0.002	0.003
TCR16_12	-0.004	-0.004	-0.002	0.003
TCR16_13	-0.004	-0.004	-0.002	0.003
TCR16_14	-0.004	-0.004	-0.002	0.003
TCR16_15	-0.004	-0.004	-0.002	0.003
TCR16_16	-0.004	-0.004	-0.002	0.003
TCR16_17	-0.004	-0.004	-0.002	0.003
TCR16_18	-0.004	-0.004	-0.002	0.003
TCR16_19	-0.004	-0.004	-0.002	0.003
TCR16_20	-0.004	-0.004	-0.002	0.003
TCR16_21	-0.004	-0.004	-0.002	0.003
TCR16_22	-0.004	-0.004	-0.002	0.003
TCR16_23	-0.004	-0.004	-0.002	0.003
TCR16_24	-0.004	-0.004	-0.002	0.003
TCR16_25	-0.004	-0.004	-0.002	0.003
TCR16_26	-0.004	-0.004	-0.002	0.003
TCR16_27	-0.004	-0.004	-0.002	0.003

Page 10/519950 of 10/519950

Pct. 10/519950				
TCR16_1	-0.003	-0.003	-0.002	-0.004
TCR16_2	-0.003	-0.003	-0.002	-0.004
TCR16_3	-0.003	-0.003	-0.002	-0.004
TCR16_4	-0.003	-0.003	-0.002	-0.004
TCR16_5	-0.003	-0.003	-0.002	-0.004
TCR16_6	-0.003	-0.003	-0.002	-0.004
TCR16_7	-0.003	-0.003	-0.002	-0.004
TCR16_8	-0.003	-0.003	-0.002	-0.004
TCR16_9	-0.003	-0.003	-0.002	-0.004
TCR16_10	-0.003	-0.003	-0.002	-0.004
TCR16_11	-0.003	-0.003	-0.002	-0.004
TCR16_12	-0.003	-0.003	-0.002	-0.004
TCR16_13	-0.003	-0.003	-0.002	-0.004
TCR16_14	-0.003	-0.003	-0.002	-0.004
TCR16_15	-0.003	-0.003	-0.002	-0.004
TCR16_16	-0.003	-0.003	-0.002	-0.004
TCR16_17	-0.003	-0.003	-0.002	-0.004
TCR16_18	-0.003	-0.003	-0.002	-0.004
TCR16_19	-0.003	-0.003	-0.002	-0.004
TCR16_20	-0.003	-0.003	-0.002	-0.004
TCR16_21	-0.003	-0.003	-0.002	-0.004
TCR16_22	-0.003	-0.003	-0.002	-0.004
TCR16_23	-0.003	-0.003	-0.002	-0.004
TCR16_24	-0.003	-0.003	-0.002	-0.004
TCR16_25	-0.003	-0.003	-0.002	-0.004
TCR16_26	-0.003	-0.003	-0.002	-0.004
TCR16_27	-0.003	-0.003	-0.002	-0.004

31

32

33

34

35

Page 10/519950 of 10/519950

Figure 114

TCRUV0081	-0.006	-0.031	-0.003	-0.005	-0.008
TCRUV0082	-0.013	-0.023	-0.002	-0.011	-0.000
TCRUV0083	-0.002	-0.002	-0.002	-0.012	-0.003
TCRUV0084	-0.008	-0.002	-0.013	-0.019	-0.004
TCRUV0085	-0.004	-0.002	-0.002	-0.003	-0.004
TCRUV0086	-0.006	-0.010	-0.003	-0.002	-0.018
TCRUV0087	-0.034	-0.021	-0.041	-0.034	-0.003
TCRUV0088	-0.027	-0.003	-0.017	-0.018	-0.021
TCRUV0089	-0.011	-0.011	-0.004	-0.003	-0.006
TCRUV0090	-0.014	-0.016	-0.007	-0.007	-0.001
TCRUV0091	-0.006	-0.005	-0.033	-0.001	-0.021
TCRUV0092	-0.003	-0.012	-0.003	-0.026	-0.040
TCRUV0093	-0.006	-0.009	-0.007	-0.006	-0.006
TCRUV0094	-0.003	-0.005	-0.008	-0.007	-0.019
TCRUV0095	-0.003	-0.001	-0.002	-0.003	-0.006
TCRUV0096	-0.004	-0.001	-0.001	-0.008	-0.019
TCRUV0097	-0.006	-0.019	-0.018	-0.016	-0.006
TCRUV0098	-0.017	-0.007	-0.007	-0.033	-0.006
TCRUV0099	-0.001	-0.009	-0.013	-0.000	-0.014
TCRUV0100	-0.004	-0.018	-0.014	-0.007	-0.006
TCRUV0101	-0.006	-0.003	-0.016	-0.017	-0.006
TCRUV0102	-0.006	-0.009	-0.016	-0.001	-0.004
TCRUV0103	-0.000	-0.000	-0.001	-0.001	-0.000
TCRUV0104	-0.003	-0.006	-0.000	-0.012	-0.007
TCRUV0105	-0.000	-0.000	-0.000	-0.007	-0.010
TCRUV0106	-0.007	-0.007	-0.004	-0.001	-0.001
TCRUV0107	-0.000	-0.011	-0.011	-0.011	-0.023
TCRUV0108	-0.022	-0.007	-0.020	-0.002	-0.007
TCRUV0109	-0.023	-0.003	-0.009	-0.023	-0.006
TCRUV0110	-0.003	-0.004	-0.012	-0.008	-0.004
TCRUV0111	-0.010	-0.004	-0.012	-0.008	-0.004
TCRUV0112	-0.013	-0.010	-0.022	-0.007	-0.006
TCRUV0113	-0.005	-0.001	-0.008	-0.002	-0.006
TCRUV0114	-0.001	-0.001	-0.004	-0.004	-0.001
TCRUV0115	-0.000	-0.001	-0.001	-0.001	-0.001
TCRUV0116	-0.003	-0.009	-0.001	-0.002	-0.006
TCRUV0117	-0.005	-0.011	-0.005	-0.004	-0.011
TCRUV0118	-0.010	-0.023	-0.003	-0.003	-0.009
TCRUV0119	-0.004	-0.023	-0.008	-0.024	-0.021
TCRUV0120	-0.034	-0.001	-0.009	-0.003	-0.002
TCRUV0121	-0.014	-0.028	-0.014	-0.014	-0.005
TCRUV0122	-0.012	-0.008	-0.015	-0.003	-0.016
TCRUV0123	-0.016	-0.030	-0.002	-0.017	-0.016
TCRUV0124	-0.006	-0.003	-0.001	-0.009	-0.003
TCRUV0125	-0.001	-0.003	-0.003	-0.003	-0.004
TCRUV0126	-0.030	-0.001	-0.002	-0.022	-0.005
TCRUV0127	-0.047	-0.006	-0.010	-0.022	-0.012
TCRUV0128	-0.003	-0.004	-0.032	-0.006	-0.003
TCRUV0129	-0.003	-0.047	-0.014	-0.002	-0.008
TCRUV0130	-0.020	-0.001	-0.002	-0.027	-0.018
TCRUV0131	-0.016	-0.029	-0.028	-0.003	-0.013
TCRUV0132	-0.005	-0.011	-0.025	-0.006	-0.016
TCRUV0133	-0.003	-0.009	-0.016	-0.016	-0.005
TCRUV0134	-0.000	-0.003	-0.001	-0.003	-0.004
TCRUV0135	-0.003	-0.001	-0.010	-0.002	-0.003
TCRUV0136	-0.002	-0.007	-0.007	-0.011	-0.010
TCRUV0137	-0.001	-0.004	-0.009	-0.009	-0.011
TCRUV0138	-0.009	-0.020	-0.001	-0.006	-0.021
TCRUV0139	-0.009	-0.019	-0.007	-0.010	-0.008
TCRUV0140	-0.001	-0.000	-0.010	-0.022	-0.002
TCRUV0141	-0.003	-0.003	-0.007	-0.002	-0.004

Pc: ADE2001					
TCRNV01_1	-0.026	-0.021	0.030	0.037	0.004
TCRNV01_11	-0.017	-0.022	0.012	0.030	0.035
TCRNV01_13	0.023	0.030	-0.008	-0.009	0.010
TCRNV04_6	-0.001	-0.001	0.001	-0.003	0.001
TCRNV04_7	0.001	-0.008	0.018	-0.014	0.002
TCRNV04_8	-0.022	-0.032	0.007	0.011	0.001
TCRNV04_9	-0.048	0.000	-0.015	0.012	0.036
TCRNV04_10	0.017	-0.026	-0.041	-0.014	0.023
TCRNV04_11	0.013	-0.038	-0.018	-0.012	0.017
TCRNV04_12	-0.033	-0.030	0.047	0.037	0.005
TCRNV04_13	0.006	-0.005	-0.008	0.030	-0.053
TCRNV04_14	-0.032	0.053	-0.061	-0.005	0.003
TCRNV04_15	0.002	-0.001	-0.005	-0.002	-0.030
TCRNV01_4	0.005	0.012	-0.015	0.007	-0.011
TCRNV01_5	0.032	0.031	-0.016	-0.015	0.028
TCRNV01_7	0.010	0.017	-0.020	0.036	0.036
TCRNV01_8	-0.014	0.004	0.005	0.009	-0.023
TCRNV01_9	-0.037	-0.037	-0.017	0.000	-0.003
TCRNV01_10	-0.006	-0.025	0.048	0.015	0.005
TCRNV01_13	-0.035	-0.030	0.021	0.006	-0.045
TCRNV01_14	-0.028	0.017	0.032	-0.001	-0.018
TCRNV01_15	0.005	-0.003	0.025	0.024	0.022
TCRNV02_4	0.019	0.019	0.022	0.026	0.027
TCRNV02_7	0.002	-0.010	-0.048	-0.069	-0.000
TCRNV02_8	0.001	-0.004	0.001	0.005	0.001
TCRNV02_9	-0.031	0.034	0.025	0.017	-0.004
TCRNV02_10	0.007	-0.022	0.018	0.030	0.008
TCRNV02_11	-0.033	0.001	0.014	0.013	-0.038
TCRNV02_12	-0.001	-0.031	0.008	-0.002	-0.007
TCRNV02_13	-0.005	0.001	0.003	-0.001	0.003
TCRNV02_15	0.004	-0.002	0.002	-0.007	0.001
TCRNV06_4	0.015	-0.016	0.093	-0.083	-0.005
TCRNV06_7	0.017	-0.017	0.006	0.004	-0.019
TCRNV06_8	0.026	0.021	-0.016	0.001	0.001
TCRNV06_9	-0.028	0.016	0.007	0.001	0.002
TCRNV06_10	-0.008	0.002	0.035	0.008	-0.031
TCRNV06_11	-0.035	-0.004	0.004	-0.002	0.016
TCRNV06_12	0.021	-0.001	-0.014	-0.017	0.038
TCRNV06_13	0.002	-0.001	0.014	-0.005	0.004
TCRNV07_5	-0.001	0.003	-0.003	0.001	0.001
TCRNV07_7	0.038	0.031	0.000	0.007	0.023
TCRNV07_9	-0.036	-0.039	0.007	0.010	-0.042
TCRNV07_8	0.021	0.042	0.007	-0.030	0.000
TCRNV07_9	-0.018	0.007	0.018	-0.024	0.022
TCRNV07_10	0.021	0.032	0.002	0.010	0.017
TCRNV07_11	-0.007	-0.028	0.000	0.008	0.023
TCRNV07_12	0.023	0.012	-0.013	-0.010	0.004
TCRNV07_13	-0.001	-0.007	-0.003	0.003	0.002
TCRNV01_1	0.005	0.002	-0.004	-0.015	-0.008
TCRNV01_6	0.010	-0.011	0.009	-0.014	-0.007
TCRNV01_7	-0.005	-0.015	-0.004	-0.013	0.003
TCRNV01_8	0.011	-0.000	0.043	0.016	0.033
TCRNV01_10	-0.000	-0.000	0.018	-0.017	-0.019
TCRNV01_12	-0.041	0.019	-0.043	-0.023	0.034
TCRNV01_13	0.004	0.017	0.023	0.009	0.019
TCRNV01_15	-0.005	-0.011	0.022	0.025	-0.039
TCRNV02_4	0.008	-0.001	0.016	0.030	0.001
TCRNV02_7	0.002	-0.014	0.016	-0.009	-0.007
TCRNV02_8	0.022	-0.015	0.004	0.001	-0.012
TCRNV02_9	-0.005	0.028	0.006	-0.023	0.014
TCRNV02_9	0.003	-0.035	-0.014	0.006	0.034
TCRNV02_9	-0.008	0.009	-0.016	-0.014	-0.027
TCRNV02_10	-0.018	-0.000	-0.013	0.003	-0.007

Figure 115

TCRBV02_11	-0.005	0.003	0.002	0.004	3.005
TCRBV02_12	-0.002	-0.000	-0.001	-0.001	0.001
TCRBV02_13	0.003	0.013	0.002	-0.003	0.004
TCRBV02_14	0.005	0.017	-0.006	-0.002	0.012
TCRBV02_15	0.009	0.018	0.003	-0.024	0.000
TCRBV02_16	-0.019	-0.001	0.003	-0.003	-0.028
TCRBV02_17	-0.007	-0.034	0.000	0.040	0.024
TCRBV02_18	0.003	-0.012	-0.005	0.014	-0.008
TCRBV02_19	-0.011	-0.006	0.001	0.003	0.003
TCRBV02_20	0.007	0.006	-0.009	-0.007	0.000
TCRBV02_21	0.001	0.001	0.009	-0.003	0.003
TCRBV02_22	0.010	0.000	-0.014	0.009	-0.007
TCRBV02_23	-0.014	0.002	0.001	-0.015	0.002
TCRBV02_24	0.002	0.002	0.002	-0.048	-0.018
TCRBV02_25	0.005	-0.036	0.045	-0.019	-0.023
TCRBV02_26	-0.057	0.037	-0.058	0.047	0.025
TCRBV02_27	0.028	0.002	-0.021	-0.016	0.013
TCRBV02_28	-0.001	-0.008	0.043	-0.044	0.014
TCRBV02_29	-0.007	-0.002	0.014	-0.016	-0.021
TCRBV02_30	-0.001	-0.004	-0.012	0.004	0.007
TCRBV02_31	-0.003	0.003	-0.001	-0.004	-0.001
TCRBV02_32	0.019	0.001	0.014	0.030	0.009
TCRBV02_33	-0.021	0.017	0.024	0.033	-0.014
TCRBV02_34	0.005	-0.014	-0.011	-0.003	-0.001
TCRBV02_35	-0.014	0.031	-0.004	-0.031	-0.005
TCRBV02_36	0.013	-0.009	-0.029	0.021	0.056
TCRBV02_37	0.001	-0.005	-0.017	0.024	-0.034
TCRBV02_38	-0.004	-0.021	-0.011	-0.003	-0.003
TCRBV02_39	-0.000	0.001	-0.001	-0.001	-0.000
TCRBV02_40	0.006	-0.004	0.004	-0.020	-0.004
TCRBV02_41	0.019	-0.000	-0.007	0.011	-0.024
TCRBV02_42	0.024	-0.021	-0.020	0.017	-0.002
TCRBV02_43	0.035	-0.038	-0.015	-0.015	0.015
TCRBV02_44	0.013	0.003	-0.021	-0.003	-0.015
TCRBV02_45	0.002	0.018	0.024	-0.002	0.008
TCRBV02_46	-0.014	0.005	0.008	0.003	0.012
TCRBV02_47	-0.029	0.024	0.041	-0.087	0.018
TCRBV02_48	-0.017	0.003	-0.002	-0.002	-0.002
TCRBV02_49	-0.000	0.004	-0.001	-0.002	-0.001
TCRBV02_50	-0.000	0.001	-0.000	-0.001	-0.000
TCRBV02_51	-0.007	0.003	-0.008	0.017	-0.015
TCRBV02_52	0.002	-0.015	0.002	-0.010	-0.010
TCRBV02_53	-0.004	0.009	0.023	-0.010	-0.008
TCRBV02_54	-0.006	0.025	0.017	0.001	0.021
TCRBV02_55	0.022	0.034	0.004	0.003	0.022
TCRBV02_56	-0.006	-0.015	-0.002	-0.012	-0.002
TCRBV02_57	-0.010	-0.023	0.027	-0.023	0.024
TCRBV02_58	0.013	0.006	-0.040	0.009	-0.021
TCRBV02_59	-0.003	-0.003	-0.022	0.010	-0.022
TCRBV02_60	0.007	0.007	-0.003	-0.001	-0.001
TCRBV02_61	0.018	0.014	-0.013	0.017	0.006
TCRBV02_62	0.030	0.006	-0.008	0.006	-0.018
TCRBV02_63	-0.048	-0.034	0.013	-0.070	-0.027
TCRBV02_64	-0.023	0.024	-0.021	0.048	0.048
TCRBV02_65	0.000	0.004	0.004	0.007	0.011
TCRBV02_66	-0.001	-0.009	-0.024	-0.002	-0.015
TCRBV02_67	0.006	-0.007	-0.008	0.002	0.006
TCRBV02_68	-0.003	-0.002	-0.015	0.023	-0.002
TCRBV02_69	0.000	-0.001	-0.002	-0.002	-0.006
TCRBV02_70	0.010	-0.005	0.003	-0.010	0.004
TCRBV02_71	0.004	0.001	-0.002	0.013	-0.013
TCRBV02_72	-0.012	-0.000	-0.003	0.043	0.043
TCRBV02_73	-0.004	0.021	0.014	-0.039	-0.039
TCRBV02_74	0.004	-0.037	-0.023	0.017	0.014

Page 111/120 of 120

TCRBV01_11	0.001	0.018	0.014	0.016	-0.011
TCRBV01_12	0.001	0.001	0.000	0.003	0.007
TCRBV01_13	0.001	0.001	0.001	0.001	0.000
TCRBV01_14	0.001	0.001	0.001	0.001	0.001
TCRBV01_15	0.001	0.001	0.001	0.001	0.001
TCRBV01_16	0.001	0.001	0.001	0.001	0.001
TCRBV01_17	0.001	0.001	0.001	0.001	0.001
TCRBV01_18	0.001	0.001	0.001	0.001	0.001
TCRBV01_19	0.001	0.001	0.001	0.001	0.001
TCRBV01_20	0.001	0.001	0.001	0.001	0.001
TCRBV01_21	0.001	0.001	0.001	0.001	0.001
TCRBV01_22	0.001	0.001	0.001	0.001	0.001
TCRBV01_23	0.001	0.001	0.001	0.001	0.001
TCRBV01_24	0.001	0.001	0.001	0.001	0.001
TCRBV01_25	0.001	0.001	0.001	0.001	0.001
TCRBV01_26	0.001	0.001	0.001	0.001	0.001
TCRBV01_27	0.001	0.001	0.001	0.001	0.001
TCRBV01_28	0.001	0.001	0.001	0.001	0.001
TCRBV01_29	0.001	0.001	0.001	0.001	0.001
TCRBV01_30	0.001	0.001	0.001	0.001	0.001
TCRBV01_31	0.001	0.001	0.001	0.001	0.001
TCRBV01_32	0.001	0.001	0.001	0.001	0.001
TCRBV01_33	0.001	0.001	0.001	0.001	0.001
TCRBV01_34	0.001	0.001	0.001	0.001	0.001
TCRBV01_35	0.001	0.001	0.001	0.001	0.001
TCRBV01_36	0.001	0.001	0.001	0.001	0.001
TCRBV01_37	0.001	0.001	0.001	0.001	0.001
TCRBV01_38	0.001	0.001	0.001	0.001	0.001
TCRBV01_39	0.001	0.001	0.001	0.001	0.001
TCRBV01_40	0.001	0.001	0.001	0.001	0.001
TCRBV01_41	0.001	0.001	0.001	0.001	0.001
TCRBV01_42	0.001	0.001	0.001	0.001	0.001
TCRBV01_43	0.001	0.001	0.001	0.001	0.001
TCRBV01_44	0.001	0.001	0.001	0.001	0.001
TCRBV01_45	0.001	0.001	0.001	0.001	0.001
TCRBV01_46	0.001	0.001	0.001	0.001	0.001
TCRBV01_47	0.001	0.001	0.001	0.001	0.001
TCRBV01_48	0.001	0.001	0.001	0.001	0.001
TCRBV01_49	0.001	0.001	0.001	0.001	0.001
TCRBV01_50	0.001	0.001	0.001	0.001	0.001
TCRBV01_51	0.001	0.001	0.001	0.001	0.001
TCRBV01_52	0.001	0.001	0.001	0.001	0.001
TCRBV01_53	0.001	0.001	0.001	0.001	0.001
TCRBV01_54	0.001	0.001	0.001	0.001	0.001
TCRBV01_55	0.001	0.001	0.001	0.001	0.001
TCRBV01_56	0.001	0.001	0.001	0.001	0.001
TCRBV01_57	0.001	0.001	0.001	0.001	0.001
TCRBV01_58	0.001	0.001	0.001	0.001	0.001
TCRBV01_59	0.001	0.001	0.001	0.001	0.001
TCRBV01_60	0.001	0.001	0.001	0.001	0.001
TCRBV01_61	0.001	0.001	0.001	0.001	0.001
TCRBV01_62	0.001	0.001	0.001	0.001	0.001
TCRBV01_63	0.001	0.001	0.001	0.001	0.001
TCRBV01_64	0.001	0.001	0.001	0.001	0.001
TCRBV01_65	0.001	0.001	0.001	0.001	0.001
TCRBV01_66	0.001	0.001	0.001	0.001	0.001
TCRBV01_67	0.001	0.001	0.001	0.001	0.001
TCRBV01_68	0.001	0.001	0.001	0.001	0.001
TCRBV01_69	0.001	0.001	0.001	0.001	0.001
TCRBV01_70	0.001	0.001	0.001	0.001	0.001
TCRBV01_71	0.001	0.001	0.001	0.001	0.001
TCRBV01_72	0.001	0.001	0.001	0.001	0.001
TCRBV01_73	0.001	0.001	0.001	0.001	0.001
TCRBV01_74	0.001	0.001	0.001	0.001	0.001
TCRBV01_75	0.001	0.001	0.001	0.001	0.001
TCRBV01_76	0.001	0.001	0.001	0.001	0.001
TCRBV01_77	0.001	0.001	0.001	0.001	0.001
TCRBV01_78	0.001	0.001	0.001	0.001	0.001
TCRBV01_79	0.001	0.001	0.001	0.001	0.001
TCRBV01_80	0.001	0.001	0.001	0.001	0.001
TCRBV01_81	0.001	0.001	0.001	0.001	0.001
TCRBV01_82	0.001	0.001	0.001	0.001	0.001
TCRBV01_83	0.001	0.001	0.001	0.001	0.001
TCRBV01_84	0.001	0.001	0.001	0.001	0.001
TCRBV01_85	0.001	0.001	0.001	0.001	0.001
TCRBV01_86	0.001	0.001	0.001	0.001	0.001
TCRBV01_87	0.001	0.001	0.001	0.001	0.001
TCRBV01_88	0.001	0.001	0.001	0.001	0.001
TCRBV01_89	0.001	0.001	0.001	0.001	0.001
TCRBV01_90	0.001	0.001	0.001	0.001	0.001
TCRBV01_91	0.001	0.001	0.001	0.001	0.001
TCRBV01_92	0.001	0.001	0.001	0.001	0.001
TCRBV01_93	0.001	0.001	0.001	0.001	0.001
TCRBV01_94	0.001	0.001	0.001	0.001	0.001
TCRBV01_95	0.001	0.001	0.001	0.001	0.001
TCRBV01_96	0.001	0.001	0.001	0.001	0.001
TCRBV01_97	0.001	0.001	0.001	0.001	0.001
TCRBV01_98	0.001	0.001	0.001	0.001	0.001
TCRBV01_99	0.001	0.001	0.001	0.001	0.001
TCRBV01_100	0.001	0.001	0.001	0.001	0.001

Page 112/120 of 120

TCRBV03_6	0.014	-0.012	0.039	0.024	0.006
TCRBV03_7	-0.024	-0.030	0.049	-0.043	0.008
TCRBV03_8	0.002	0.018	0.017	0.024	-0.006
TCRBV03_9	-0.023	-0.022	-0.020	0.003	-0.022
TCRBV03_10	0.020	0.009	-0.009	-0.006	0.009
TCRBV03_11	-0.003	-0.010	0.007	0.007	0.007
TCRBV03_12	-0.008	0.026	-0.070	-0.001	0.007
TCRBV03_13	0.025	-0.028	-0.019	-0.031	-0.044
TCRBV03_14	0.003	0.004	0.003	0.001	-0.010
TCRBV03_15	0.010	0.003	-0.003	0.037	0.003
TCRBV03_16	-0.005	0.035	-0.021	-0.012	0.013
TCRBV03_17	-0.001	0.037	0.004	0.036	-0.074
TCRBV03_18	-0.021	-0.002	-0.022	-0.022	0.084
TCRBV03_19	0.003	-0.053	0.028	0.027	0.010
TCRBV03_20	-0.006	-0.010	-0.005	-0.032	0.004
TCRBV03_21	0.015	-0.010	-0.034	-0.023	-0.024
TCRBV03_22	0.005	-0.006	0.030	0.033	0.031
TCRBV03_23	-0.003	0.004	0.001	0.010	-0.031
TCRBV03_24	-0.018	0.012	0.025	-0.018	0.029
TCRBV03_25	-0.024	0.010	0.047	0.027	0.026
TCRBV03_26	-0.052	0.009	-0.015	-0.049	-0.033
TCRBV03_27	-0.010	-0.021	-0.007	-0.028	0.005
TCRBV03_28	-0.010	-0.030	-0.037	0.012	-0.003
TCRBV03_29	0.004	0.009	0.007	-0.006	0.047
TCRBV03_30	0.063	-0.022	0.011	0.016	-0.009
TCRBV03_31	-0.013	0.025	-0.051	-0.036	-0.087
TCRBV03_32	-0.018	0.019	0.031	-0.031	0.031
TCRBV03_33	-0.006	-0.025	0.020	0.012	0.023
TCRBV03_34	-0.019	-0.008	-0.002	0.012	-0.048
TCRBV03_35	-0.063	-0.030	0.012	0.019	-0.023
TCRBV03_36	0.015	0.040	0.027	-0.013	-0.046
TCRBV03_37	-0.032	-0.002	-0.030	-0.015	0.029
TCRBV03_38	0.018	0.008	-0.011	-0.020	0.036
TCRBV03_39	-0.016	-0.014	-0.014	-0.015	0.022
TCRBV03_40	0.001	0.011	0.009	0.001	-0.015
TCRBV03_41	0.018	-0.016	0.009	-0.006	0.003
TCRBV03_42	0.008	-0.010	-0.008	-0.008	0.001
TCRBV03_43	0.006	-0.010	-0.010	-0.014	-0.001
TCRBV03_44	0.003	0.013	-0.046	0.029	-0.001
TCRBV03_45	-0.015	-0.043	-0.046	-0.028	0.014
TCRBV03_46	-0.003	-0.014	0.017	0.005	0.001
TCRBV03_47	-0.010	0.040	0.039	-0.028	0.034
TCRBV03_48	0.008	0.026	-0.024	0.021	-0.003
TCRBV03_49	0.002	0.008	-0.006	-0.001	-0.001
TCRBV03_50	-0.006	-0.007	0.002	0.008	0.010
TCRBV03_51	0.038	-0.007	-0.009	0.010	-0.023
TCRBV03_52	0.009	-0.001	-0.008	0.019	-0.001
TCRBV03_53	-0.010	0.028	0.028	0.027	0.001
TCRBV03_54	-0.004	-0.005	-0.011	0.005	-0.003
TCRBV03_55	0.008	0.009	0.011	-0.033	0.019
TCRBV03_56	0.000	0.027	0.017	-0.033	-0.003
TCRBV03_57	-0.046	0.016	0.024	0.013	0.023
TCRBV03_58	0.000	0.000	-0.002	-0.002	0.001
TCRBV03_59	-0.003	0.004	0.002	0.007	0.035
TCRBV03_60	-0.027	0.010	-0.024	0.027	0.001
TCRBV03_61	-0.013	-0.027	-0.027	-0.031	-0.000
TCRBV03_62	-0.047	-0.002	-0.078	-0.064	-0.036
TCRBV03_63	0.036	0.013	0.010	0.047	-0.008
TCRBV03_64	0.010	0.011	-0.002	-0.081	-0.008
TCRBV03_65	0.021	-0.002	-0.003	-0.086	0.002
TCRBV03_66	0.002	-0.008	0.013	0.021	0.029
TCRBV03_67	-0.010	-0.011	0.016	0.087	-0.013
TCRBV03_68	0.002	0.005	-0.014	0.013	0.013
TCRBV03_69	-0.010	0.001	0.001	-0.087	-0.020

Page 112 (Total = 112) [Page 112 (Total = 112)]											
TCRBV14_6	0.013	-0.005	0.013	0.004	0.027	TCRBV02_11	-0.081	-0.007	-0.053	-0.033	-0.008
TCRBV14_7	0.007	-0.018	-0.043	0.031	0.009	TCRBV02_12	0.003	-0.028	0.043	0.040	-0.001
TCRBV14_8	0.016	0.011	0.038	-0.043	0.002	TCRBV02_13	0.004	-0.013	0.013	0.004	-0.001
TCRBV14_9	-0.004	-0.003	0.016	-0.002	0.012	TCRBV02_4	0.000	0.001	0.002	0.001	0.000
TCRBV14_10	-0.039	-0.019	0.014	-0.015	0.010	TCRBV02_5	0.021	0.001	0.002	0.001	0.000
TCRBV14_11	0.011	0.013	0.001	0.023	-0.007	TCRBV02_6	0.015	0.008	-0.093	0.047	-0.075
TCRBV14_12	-0.011	-0.014	-0.024	-0.005	-0.009	TCRBV02_7	-0.009	-0.004	0.002	-0.030	-0.015
TCRBV14_13	0.009	0.000	0.000	0.000	0.001	TCRBV02_8	-0.022	-0.008	-0.014	0.009	0.028
TCRBV14_4	0.007	-0.013	-0.005	-0.006	-0.002	TCRBV02_9	0.002	0.002	0.005	-0.011	0.000
TCRBV14_5	0.031	0.004	0.012	0.003	0.032	TCRBV02_10	0.045	0.043	0.057	-0.041	-0.032
TCRBV14_6	-0.006	-0.012	0.009	-0.042	-0.031	TCRBV02_11	-0.010	0.029	0.023	0.022	0.010
TCRBV14_7	-0.021	-0.003	-0.009	-0.004	-0.040	TCRBV02_12	0.010	-0.013	-0.002	0.020	0.029
TCRBV14_8	0.021	0.032	-0.003	0.003	0.049	TCRBV02_13	-0.007	-0.022	-0.023	-0.011	-0.014
TCRBV14_9	-0.039	-0.003	0.008	-0.013	-0.010	TCRBV04_4	0.012	0.006	0.003	0.002	-0.011
TCRBV14_10	-0.010	-0.011	0.013	0.036	0.005	TCRBV04_7	0.001	0.045	0.030	-0.028	0.008
TCRBV14_11	0.046	0.003	-0.019	-0.022	0.002	TCRBV04_8	0.024	0.016	-0.002	0.032	0.000
TCRBV14_12	-0.003	0.003	-0.009	-0.004	-0.002	TCRBV04_9	0.016	-0.057	0.008	-0.030	0.010
TCRBV14_13	0.007	0.006	0.011	-0.005	0.018	TCRBV04_10	0.016	0.016	-0.018	-0.012	0.031
TCRBV14_4	0.011	0.038	0.034	-0.018	0.027	TCRBV04_11	-0.008	-0.028	-0.014	0.005	-0.040
TCRBV14_5	0.001	0.061	0.016	0.043	-0.029	TCRBV04_12	-0.011	-0.018	-0.038	0.010	0.022
TCRBV14_6	0.027	-0.075	-0.021	-0.021	0.032	TCRBV04_13	-0.017	-0.027	0.029	-0.006	0.010
TCRBV14_7	0.021	0.031	0.010	0.017	-0.015	TCRBV04_14	0.001	0.021	0.008	0.011	-0.071
TCRBV14_8	-0.068	-0.048	-0.027	-0.004	-0.013	TCRBV04_15	-0.005	-0.030	-0.004	-0.019	0.033
TCRBV14_9	-0.018	-0.043	0.014	0.037	-0.007	TCRBV04_16	-0.021	-0.040	-0.010	0.040	0.014
TCRBV14_10	-0.011	0.040	0.002	-0.058	-0.022	TCRBV04_17	0.005	0.007	-0.055	-0.077	0.006
TCRBV14_11	-0.001	0.004	0.001	-0.000	0.010	TCRBV04_18	-0.005	0.008	0.070	0.019	-0.065
TCRBV14_12	0.001	-0.003	-0.005	-0.004	-0.000	TCRBV04_19	-0.005	0.005	0.084	0.002	-0.018
TCRBV14_13	0.034	0.020	-0.008	0.011	-0.014	TCRBV04_20	0.047	-0.065	-0.025	0.022	0.008
TCRBV14_4	0.015	0.045	0.020	0.026	-0.038	TCRBV04_21	-0.040	0.029	0.009	-0.012	0.007
TCRBV14_5	0.017	0.049	0.044	0.009	0.046	TCRBV04_22	-0.031	-0.028	-0.031	-0.029	0.044
TCRBV14_6	0.007	-0.026	0.010	-0.044	0.043	TCRBV04_23	0.036	0.031	-0.031	0.025	0.053
TCRBV14_7	-0.054	-0.004	-0.004	0.017	-0.071	TCRBV04_24	0.022	-0.026	-0.019	0.024	0.024
TCRBV14_8	0.023	-0.018	0.018	0.016	0.044	TCRBV04_25	0.018	-0.005	0.014	-0.061	-0.002
TCRBV14_9	0.054	-0.013	-0.016	-0.046	-0.009	TCRBV04_26	-0.018	0.034	0.034	0.023	0.029
TCRBV14_10	-0.001	0.035	-0.028	0.019	-0.034	TCRBV04_27	0.006	0.007	-0.052	0.021	-0.010
TCRBV14_11	0.001	0.000	-0.003	-0.001	0.007	TCRBV04_28	-0.019	0.003	-0.036	0.004	0.048
TCRBV14_12	-0.007	0.002	0.001	0.063	0.010	TCRBV04_29	-0.009	-0.033	0.027	-0.003	0.017
TCRBV14_13	0.012	0.013	0.007	-0.010	-0.017	TCRBV04_30	-0.011	-0.027	-0.019	-0.028	0.010
TCRBV20_4	-0.051	-0.025	-0.015	0.063	-0.029	TCRBV04_31	0.001	-0.003	0.007	0.038	0.067
TCRBV20_5	0.021	0.041	0.023	-0.029	-0.041	TCRBV04_32	0.010	0.001	0.001	0.007	-0.014
TCRBV20_6	-0.050	0.084	-0.046	-0.015	0.087	TCRBV04_33	0.009	0.007	-0.004	-0.008	-0.022
TCRBV20_7	0.015	-0.065	0.031	0.007	-0.014	TCRBV04_34	0.007	0.006	0.006	0.002	0.002
TCRBV20_8	-0.031	0.028	-0.014	0.030	0.004	TCRBV04_35	0.044	0.021	0.003	0.016	0.024
TCRBV20_9	-0.007	0.027	0.041	-0.006	-0.034	TCRBV04_36	-0.018	-0.007	0.006	0.003	0.000
TCRBV20_10	-0.009	-0.024	-0.011	-0.013	-0.013	TCRBV04_37	-0.008	-0.020	-0.022	0.028	0.036
TCRBV20_11	0.007	-0.024	-0.011	-0.013	-0.013	TCRBV04_38	0.010	-0.013	-0.042	0.034	0.014
TCRBV20_12	0.007	-0.024	-0.011	-0.013	-0.013	TCRBV04_39	-0.010	0.012	-0.031	-0.017	0.037
TCRBV20_13	0.007	-0.024	-0.011	-0.013	-0.013	TCRBV04_40	-0.010	0.012	-0.031	-0.017	0.037
TCRBV20_14	0.007	-0.024	-0.011	-0.013	-0.013	TCRBV04_41	-0.010	0.012	-0.031	-0.017	0.037
TCRBV20_15	0.007	-0.024	-0.011	-0.013	-0.013	TCRBV04_42	-0.010	0.012	-0.031	-0.017	0.037
TCRBV20_16	0.007	-0.024	-0.011	-0.013	-0.013	TCRBV04_43	-0.010	0.012	-0.031	-0.017	0.037
TCRBV20_17	0.007	-0.024	-0.011	-0.013	-0.013	TCRBV04_44	-0.010	0.012	-0.031	-0.017	0.037
TCRBV20_18	0.007	-0.024	-0.011	-0.013	-0.013	TCRBV04_45	-0.010	0.012	-0.031	-0.017	0.037
TCRBV20_19	0.007	-0.024	-0.011	-0.013	-0.013	TCRBV04_46	-0.010	0.012	-0.031	-0.017	0.037
TCRBV20_20	0.007	-0.024	-0.011	-0.013	-0.013	TCRBV04_47	-0.010	0.012	-0.031	-0.017	0.037
TCRBV20_21	0.007	-0.024	-0.011	-0.013	-0.013	TCRBV04_48	-0.010	0.012	-0.031	-0.017	0.037
TCRBV20_22	0.007	-0.024	-0.011	-0.013	-0.013	TCRBV04_49	-0.010	0.012	-0.031	-0.017	0.037
TCRBV20_23	0.007	-0.024	-0.011	-0.013	-0.013	TCRBV04_50	-0.010	0.012	-0.031	-0.017	0.037
TCRBV20_24	0.007	-0.024	-0.011	-0.013	-0.013	TCRBV04_51	-0.010	0.012	-0.031	-0.017	0.037
TCRBV20_25	0.007	-0.024	-0.011	-0.013	-0.013	TCRBV04_52	-0.010	0.012	-0.031	-0.017	0.037
TCRBV20_26	0.007	-0.024	-0.011	-0.013	-0.013	TCRBV04_53	-0.010	0.012	-0.031	-0.017	0.037
TCRBV20_27	0.007	-0.024	-0.011	-0.013	-0.013	TCRBV04_54	-0.010	0.012	-0.031	-0.017	0.037
TCRBV20_28	0.007	-0.024	-0.011	-0.013	-0.013	TCRBV04_55	-0.010	0.012	-0.031	-0.017	0.037
TCRBV20_29	0.007	-0.024	-0.011	-0.013	-0.013	TCRBV04_56	-0.010	0.012	-0.031	-0.017	0.037
TCRBV20_30	0.007	-0.024	-0.011	-0.013	-0.013	TCRBV04_57	-0.010	0.012	-0.031	-0.017	0.037
TCRBV20_31	0.007	-0.024	-0.011	-0.013	-0.013	TCRBV04_58	-0.010	0.012	-0.031	-0.017	0.037
TCRBV20_32	0.007	-0.024	-0.011	-0.013	-0.013	TCRBV04_59	-0.010	0.012	-0.031	-0.017	0.037
TCRBV20_33	0.007	-0.024	-0.011	-0.013	-0.013	TCRBV04_60	-0.010	0.012	-0.031	-0.017	0.037
TCRBV20_34	0.007	-0.024	-0.011	-0.013	-0.013	TCRBV04_61	-0.010	0.012	-0.031	-0.017	0.037
TCRBV20_35	0.007	-0.024	-0.011	-0.013	-0.013	TCRBV04_62	-0.010	0.012	-0.031	-0.017	0.037
TCRBV20_36	0.007	-0.024	-0.011	-0.013	-0.013	TCRBV04_63	-0.010	0.012	-0.031	-0.017	0.037
TCRBV20_37	0.007	-0.024	-0.011	-0.013	-0.013	TCRBV04_64	-0.010	0.012	-0.031	-0.017	0.037
TCRBV20_38	0.007	-0.024	-0.011	-0.013	-0.013	TCRBV04_65	-0.010	0.012	-0.031	-0.017	0.037
TCRBV20_39	0.007	-0.024	-0.011	-0.013	-0.013	TCRBV04_66	-0.010	0.012	-0.031	-0.017	0.037
TCRBV20_40	0.007	-0.024	-0.011	-0.013	-0.013	TCRBV04_67	-0.010	0.012	-0.031	-0.017	0.037
TCRBV20_41	0.007	-0.024	-0.011	-0.013	-0.013	TCRBV04_68	-0.010	0.012	-0.031	-0.017	0.037
TCRBV20_42	0.007	-0.024	-0.011	-0.013	-0.013	TCRBV04_69	-0.010	0.012	-0.031	-0.017	0.037
TCRBV20_43	0.007	-0.024	-0.011	-0.013	-0.013	TCRBV04_70	-0.010	0.012	-0.031	-0.017	0.037
TCRBV20_44	0.007	-0.024	-0.011	-0.013	-0.013	TCRBV04_71	-0.010	0.012	-0.031	-0.017	0.037
TCRBV20_45	0.007	-0.024	-0.011	-0.013	-0.013	TCRBV04_72	-0.010	0.012	-0.031	-0.017	0.037
TCRBV20_46	0.007	-0.024	-0.011	-0.013	-0.013	TCRBV04_73	-0.010	0.012	-0.031	-0.017	0.037
TCRBV20_47	0.007	-0.024	-0.011	-0.013	-0.013	TCRBV04_74	-0.010	0.012	-0.031	-0.017	0.037
TCRBV20_48	0.007	-0.024	-0.011	-0.013	-0.013	TCRBV04_75	-0.010	0.012	-0.031	-0.017	0.037
TCRBV20_49	0.007	-0.024	-0.011	-0.013	-0.013	TCRBV04_76	-0.010	0.012	-0.031	-0.017	0.037
TCRBV20_50	0.007	-0.024	-0.011	-0.013	-0.013	TCRBV04_77	-0.010	0.012	-0.031	-0.017	0.037
TCRBV20_51	0.007	-0.024	-0.011	-0.013	-0.013	TCRBV04_78	-0.010	0.012	-0.031	-0.017	0.037
TCRBV20_52	0.007	-0.024	-0.011	-0.013	-0.013	TCRBV04_79	-0.010	0.012	-0.031	-0.017	0.037
TCRBV20_53	0.007	-0.024	-0.011	-0.013	-0.013	TCRBV04_80	-0.010	0.012	-0.031	-0.017	0.037
TCRBV20_54	0.007	-0.024	-0.011	-0.013	-0.013	TCRBV04_81	-0.010	0.012	-0.031	-0.017	0.037
TCRBV20_55	0.007	-0.024	-0.011	-0.013	-0.013	TCRBV04_82	-0.010	0.012	-0.031	-0.017	0.037
TCRBV20_56	0.007	-0.024	-0.011	-0.013	-0.013	TCRBV04_83	-0.010	0.012	-0.031	-0.017	0.037
TCRBV20_57	0.007	-0.024	-0.011	-0.013	-0.013	TCRBV04_84	-0.010	0.012	-0.031	-0.017	0.037
TCRBV20_58	0.007	-0.024	-0.011	-0.013	-0.013	TCRBV04_85	-0.010	0.012	-0.031	-0.017	0.037
TCRBV20_59	0.007	-0.024	-0.011	-0.013							

File: A2200001

TCRBV02_6	0.046	-0.048
TCRBV02_7	-0.037	-0.026
TCRBV02_8	-0.148	0.046
TCRBV02_9	0.032	0.004
TCRBV02_10	-0.003	-0.031
TCRBV02_11	-0.005	-0.017
TCRBV02_12	-0.016	-0.035
TCRBV02_13	0.001	-0.016
TCRBV02_14	0.004	0.008
TCRBV02_15	-0.004	0.007
TCRBV02_16	-0.016	-0.040
TCRBV02_17	0.029	-0.066
TCRBV02_18	0.031	0.020
TCRBV02_19	0.014	0.034
TCRBV02_20	-0.017	-0.047
TCRBV02_21	-0.032	0.022
TCRBV02_22	-0.010	-0.010
TCRBV02_23	-0.014	0.034
TCRBV02_24	0.011	0.006
TCRBV02_25	-0.018	-0.073
TCRBV02_26	0.047	-0.036
TCRBV02_27	-0.004	-0.211
TCRBV02_28	-0.047	0.160
TCRBV02_29	0.051	0.048
TCRBV02_30	-0.024	0.043
TCRBV02_31	-0.053	0.022
TCRBV02_32	0.066	0.002
TCRBV02_33	-0.007	0.039
TCRBV02_34	-0.065	-0.049
TCRBV02_35	-0.039	-0.036
TCRBV02_36	-0.027	-0.083
TCRBV02_37	-0.003	0.041
TCRBV02_38	0.034	0.030
TCRBV02_39	-0.058	0.050
TCRBV02_40	0.055	0.073
TCRBV02_41	0.045	-0.006
TCRBV02_42	0.054	0.027
TCRBV02_43	-0.014	-0.102
TCRBV02_44	0.019	0.016
TCRBV02_45	0.009	0.045
TCRBV02_46	0.042	0.045
TCRBV02_47	0.020	0.055
TCRBV02_48	-0.011	-0.030
TCRBV02_49	-0.036	0.015
TCRBV02_50	-0.024	0.016
TCRBV02_51	-0.025	-0.013
TCRBV02_52	-0.021	-0.036
TCRBV02_53	-0.040	-0.039
TCRBV02_54	0.001	0.001
TCRBV02_55	-0.051	-0.049
TCRBV02_56	0.011	0.063
TCRBV02_57	0.015	-0.008
TCRBV02_58	-0.003	0.023
TCRBV02_59	0.036	0.039
TCRBV02_60	0.001	-0.032
TCRBV02_61	0.007	-0.050
TCRBV02_62	-0.025	-0.006
TCRBV02_63	0.023	0.044
TCRBV02_64	-0.039	-0.034
TCRBV02_65	0.073	0.034
TCRBV02_66	-0.009	0.067
TCRBV02_67	-0.029	-0.046
TCRBV02_68	-0.016	0.003
TCRBV02_69	0.029	0.006

Page: A220001 of A220001

TCRBV03_6	-0.011	0.043
TCRBV03_7	-0.006	0.034
TCRBV03_8	-0.029	-0.031
TCRBV03_9	-0.001	-0.039
TCRBV03_10	0.004	0.040
TCRBV03_11	-0.013	0.012
TCRBV03_12	0.032	-0.062
TCRBV03_13	0.102	-0.021
TCRBV03_14	-0.034	-0.020
TCRBV03_15	0.101	-0.001
TCRBV03_16	-0.081	0.107
TCRBV03_17	0.013	-0.019
TCRBV03_18	-0.058	0.023
TCRBV03_19	-0.033	-0.055
TCRBV03_20	0.004	-0.009
TCRBV03_21	-0.001	0.004
TCRBV03_22	-0.026	-0.000
TCRBV03_23	-0.047	-0.001
TCRBV03_24	0.053	0.043
TCRBV03_25	-0.038	0.001
TCRBV03_26	0.052	0.013
TCRBV03_27	0.062	-0.018
TCRBV03_28	-0.053	0.017
TCRBV03_29	0.041	-0.058
TCRBV03_30	0.011	0.003
TCRBV03_31	0.022	0.052
TCRBV03_32	-0.055	0.031
TCRBV03_33	0.050	-0.010
TCRBV03_34	0.001	-0.032
TCRBV03_35	0.025	-0.007
TCRBV03_36	0.043	0.004
TCRBV03_37	-0.003	-0.060
TCRBV03_38	-0.079	-0.009
TCRBV03_39	-0.009	-0.023
TCRBV03_40	-0.004	-0.022
TCRBV03_41	-0.024	-0.011
TCRBV03_42	0.002	-0.074
TCRBV03_43	0.008	0.041
TCRBV03_44	-0.045	0.092
TCRBV03_45	0.028	-0.027
TCRBV03_46	0.035	-0.001
TCRBV03_47	0.002	0.002
TCRBV03_48	0.012	0.022
TCRBV03_49	0.032	0.016
TCRBV03_50	-0.045	0.092
TCRBV03_51	-0.087	-0.067
TCRBV03_52	0.059	-0.057
TCRBV03_53	-0.036	0.013
TCRBV03_54	0.029	-0.071
TCRBV03_55	0.008	0.022
TCRBV03_56	0.008	-0.000
TCRBV03_57	0.009	0.008
TCRBV03_58	0.002	0.003
TCRBV03_59	-0.047	-0.013
TCRBV03_60	0.023	0.054
TCRBV03_61	-0.034	-0.007
TCRBV03_62	-0.007	0.118
TCRBV03_63	0.045	0.008
TCRBV03_64	0.039	-0.101
TCRBV03_65	0.000	-0.031
TCRBV03_66	-0.041	-0.039
TCRBV03_67	0.023	0.021
TCRBV03_68	0.022	-0.015

Page: A220002 of A220001

File: A220001

TCRBV13_6	-0.092	-0.029
TCRBV13_7	0.026	-0.025
TCRBV13_8	-0.100	0.059
TCRBV13_9	0.018	-0.032
TCRBV13_10	0.052	-0.005
TCRBV13_11	0.019	0.095
TCRBV13_12	0.004	0.015
TCRBV13_13	-0.049	-0.062
TCRBV13_14	-0.001	0.008
TCRBV13_15	-0.057	-0.008
TCRBV13_16	0.025	-0.026
TCRBV13_17	0.031	-0.010
TCRBV13_18	0.008	0.011
TCRBV13_19	0.024	-0.017
TCRBV13_20	-0.076	0.032
TCRBV13_21	0.046	-0.011
TCRBV13_22	0.002	0.001
TCRBV13_23	0.009	-0.022
TCRBV13_24	-0.015	-0.087
TCRBV13_25	-0.002	-0.026
TCRBV13_26	0.072	0.028
TCRBV13_27	0.017	0.013
TCRBV13_28	0.023	0.006
TCRBV13_29	-0.028	0.080
TCRBV13_30	-0.049	-0.040
TCRBV13_31	-0.016	0.008
TCRBV13_32	0.079	0.016
TCRBV13_33	0.007	0.034
TCRBV13_34	-0.070	0.070
TCRBV13_35	-0.002	-0.030
TCRBV13_36	0.030	0.085
TCRBV13_37	-0.079	-0.041
TCRBV13_38	-0.016	0.044
TCRBV13_39	0.014	-0.070
TCRBV13_40	0.002	0.001
TCRBV13_41	0.003	0.009
TCRBV13_42	-0.018	0.015
TCRBV13_43	-0.019	0.010
TCRBV13_44	0.012	-0.028
TCRBV13_45	0.016	-0.045
TCRBV13_46	0.011	-0.001
TCRBV13_47	-0.069	-0.013
TCRBV13_48	-0.003	-0.001
TCRBV13_49	0.023	0.039
TCRBV13_50	0.002	0.001
TCRBV13_51	0.009	0.002
TCRBV13_52	0.008	0.033
TCRBV13_53	-0.043	0.019
TCRBV13_54	-0.042	-0.039
TCRBV13_55	0.022	0.084
TCRBV13_56	0.041	0.027
TCRBV13_57	-0.088	0.044
TCRBV13_58	-0.018	0.003
TCRBV13_59	0.051	-0.045
TCRBV13_60	-0.008	-0.083
TCRBV13_61	0.007	-0.018

Standardized scores have been saved.

File: A220001

53 cases and 56 variables processed and saved.

SYSTAT Rectangular file C:\US\stat\work\Gp15\BPP10\G290802F.SYD,
created Fri Aug 30, 2002 at 10:38:56, contains variables:

CASE3	GROUP33	FACTOR1(1_22)	TSQUARE	PROB
Group frequencies				
F3*	F3*B	F3	F4	R3*
5	10	5	9	5
Group means				
RS	RY			
5	9			

53 cases and 56 variables processed

Page: A220001 of A220001

Figure 118

Page: A220001 of A220001

Phi: 0.0260551

	F3*	F3'S	FS	FT	RT
FACTOR(1)	0.028	0.701	8	0.982	0.97
FACTOR(2)	0.653	0.055	0.584	0.847	6
FACTOR(3)	7	0.86	5	1.28	0.11
FACTOR(4)	1	0.56	0.170	2	0.97
FACTOR(5)	6	0.44	0.459	2	0.38
FACTOR(6)	6	0.28	0.12	0.42	0.21
FACTOR(7)	2	1.26	6	0	0.546
FACTOR(8)	7	0.07	1.238	1	0.40
FACTOR(9)	0.530	2	0.256	2	0.11
FACTOR(10)	0.147	0.371	4	0.12	0.221
FACTOR(11)	0.446	0.130	9	0.01	0.22
FACTOR(12)	4	0.43	0.538	0.076	0.170
FACTOR(13)	8	0.53	0.514	2	0.02
FACTOR(14)	0.646	1	0.16	0.45	0.35
FACTOR(15)	8	0.53	0.370	0.210	0.257
FACTOR(16)	5	0.28	0.14	0.43	0.321
FACTOR(17)	0.020	0.127	0.144	4	0.21
FACTOR(18)	0.434	7	0.42	0.945	0.111
FACTOR(19)	0.832	1	0.27	0.43	0.293
FACTOR(20)	0	0.22	0.03	0.05	0.43
FACTOR(21)	7	1.02	0.17	0.153	0.13
FACTOR(22)	0.859	2	0.33	0.32	0.71
FACTOR(23)	0.548	0.016	0.247	8	0.24
FACTOR(24)	0.449	0.240	2	0.03	0.28
FACTOR(25)	8	0.28	0.223	3	0.35
FACTOR(26)	0.223	0.194	1	0.17	0.043
FACTOR(27)	0.253	4	0.23	0.829	0.156
FACTOR(28)	9	0.34	0.260	1.059	0.24
FACTOR(29)	0.222	0	0.03	0.05	0.24
FACTOR(30)	0.112	0	0.14	0.00	0.58
FACTOR(31)	0.104	0.046	8	0.21	0.123

Phi: 0.0260551

Phi: 0.0260551

	F3*	F3'S	FS	FT	RT
FACTOR(32)	0.004	0.005	8	0.005	0.82
FACTOR(33)	0.53	0.78	5	0.252	0.14
FACTOR(34)	0.363	6	0.53	1	0.205
FACTOR(35)	0.098	1	0.05	0.19	0.205
FACTOR(36)	4	0.90	0	0.05	0.19
FACTOR(37)	0.869	1	0.41	3	0.30
FACTOR(38)	2	0.52	0.456	4	0.24
FACTOR(39)	0	0.30	0.491	4	0.60
FACTOR(40)	0.539	9	0.22	6	0.32
FACTOR(41)	8	0.21	2	0.41	0.053
FACTOR(42)	0.426	4	0.77	0.128	0.17
FACTOR(43)	7	0.41	4	0.57	0.17
FACTOR(44)	0.184	1	0.65	9	0.22
FACTOR(45)	0.159	1	0.03	7	0.35
FACTOR(46)	6	0.67	0.076	0.306	0.306
FACTOR(47)	0.867	2	0.56	0.053	0.17
FACTOR(48)	0.257	0.406	4	0.17	0.17
FACTOR(49)	2	0.01	0.51	0.149	0.149
FACTOR(50)	0.219	0.128	0.133	0.133	0.133
FACTOR(51)	0.963	3	0.12	6	0.65
FACTOR(52)	0.107	2	0.08	6	0.02

Phi: 0.0260551

Phi: 0.0260551

	F3*	F3'S	FS	FT	RT
FACTOR(1)	8	0.14	5	1	0.00
FACTOR(2)	9	1.04	0.140	0	0.36
FACTOR(3)	0.172	0.043	0.244	0	0.244
FACTOR(4)	0.615	0.058	0.042	0.20	0.20
FACTOR(5)	0.507	2	9	0.096	0.096
FACTOR(6)	0.309	0.314	0.182	0.22	0.22
FACTOR(7)	0.164	0.524	0.19	0.19	0.19
FACTOR(8)	0.025	0.458	0	0.19	0.19
FACTOR(9)	5	0.26	7	3	0.26
FACTOR(10)	0.314	1	0.27	0.22	0.22
FACTOR(11)	8	0.16	0.306	0.307	0.307
FACTOR(12)	5	0.17	0.23	0.084	0.084
FACTOR(13)	0.476	7	0.134	2	0.84
FACTOR(14)	0.277	0.092	0.214	0.05	0.05
FACTOR(15)	0	0.23	2	0.31	0.41
FACTOR(16)	0.023	0.13	2	0.21	0.02
FACTOR(17)	8	0.24	5	8	0.291
FACTOR(18)	2	0.059	0.225	0.03	0.827
FACTOR(19)	0.02	9	0.10	0.306	0.07
FACTOR(20)	0.537	9	0.804	0	0.18
FACTOR(21)	0.78	1	0.22	0.249	2
FACTOR(22)	9	0.81	2	0.438	0.11
FACTOR(23)	4	0.73	7	0.057	0.033
FACTOR(24)	6	0.41	1	0.06	0.00
FACTOR(25)	4	0.10	1	6	0.38
FACTOR(26)	8	0.339	0.197	0.64	0.348
FACTOR(27)	0.052	7	0.02	0.348	0.348
FACTOR(28)	0.058	7	0.42	0.004	0.004
FACTOR(29)	1	0.41	6	0.004	0.004

Phi: 0.0260551

Phi: 0.0260551

	F3*	F3'S	FS	FT	RT
FACTOR(32)	0.004	0.005	8	0.005	0.82
FACTOR(33)	0.53	0.78	5	0.252	0.14
FACTOR(34)	0.363	6	0.53	1	0.205
FACTOR(35)	0.098	1	0.05	0.19	0.205
FACTOR(36)	4	0.90	0	0.05	0.19
FACTOR(37)	0.869	1	0.41	3	0.30
FACTOR(38)	2	0.52	0.456	4	0.24
FACTOR(39)	0	0.30	0.491	4	0.60
FACTOR(40)	0.539	9	0.22	6	0.32
FACTOR(41)	8	0.21	2	0.41	0.053
FACTOR(42)	0.426	4	0.77	0.128	0.17
FACTOR(43)	7	0.41	4	0.57	0.17
FACTOR(44)	0.184	1	0.65	9	0.22
FACTOR(45)	0.159	1	0.03	7	0.35
FACTOR(46)	6	0.67	0.076	0.306	0.306
FACTOR(47)	0.867	2	0.56	0.053	0.17
FACTOR(48)	0.257	0.406	4	0.17	0.17
FACTOR(49)	2	0.01	0.51	0.149	0.149
FACTOR(50)	0.219	0.128	0.133	0.133	0.133
FACTOR(51)	0.963	3	0.12	6	0.65
FACTOR(52)	0.107	2	0.08	6	0.02

Between groups F-matrix - df = 45 1

	F3*	F3'S	FS	FT	RT
F3*	0	52.3	0	0.00	0.00
F3'S	67	26.4	91	34.4	10.0
FS	26	29.5	64	47.6	2.03
FT	44	18.7	64	47.6	2.03
RT	57	26.4	91	34.4	10.0
RT	57	26.4	91	34.4	10.0
RT	57	26.4	91	34.4	10.0
RT	57	26.4	91	34.4	10.0
RT	57	26.4	91	34.4	10.0
RT	57	26.4	91	34.4	10.0

Phi: 0.0260551

Figure 119

Pct: 62/2003

	RS	RT
RS	0.00	
RT	15.9	0.00
RT	1.02	29.4
	0.00	

Wills' lambda
Lambda = 0.0000 df = 45 7 45
Approx. P = 0.2706 df = 315 29 prob = 0.0000

Classification functions

	F3	F5	F6	F7	F8
CONSTANT	7356.789	8637.861	4201.980	309.080	2116.489
	F3	F5	F6	F7	F8
CONSTANT	427.721	4460.284	1225.056		

Page 62/2003 of 62/2003

Pct: 62/2003

	RS	RT
FACTOR(1)	6.328	33.155
FACTOR(2)	11.092	4.128
FACTOR(3)	3.254	54.265
FACTOR(4)	03.830	1214.820
FACTOR(5)	0.353	1522.227
FACTOR(6)	8.259	6.952
FACTOR(7)	10.786	86.056
FACTOR(8)	1140.457	7.011
FACTOR(9)	218.941	743.279
FACTOR(10)	718.913	227.624
FACTOR(11)	0.282	1311.675
FACTOR(12)	07.052	1420.478
FACTOR(13)	820.490	47.340
FACTOR(14)	6.887	413.078
FACTOR(15)	2.076	8.84
FACTOR(16)	81.496	130.719
FACTOR(17)	1191.607	57.059
FACTOR(18)	1417.718	6.412
FACTOR(19)	6.084	264.610
FACTOR(20)	32.510	354.785
FACTOR(21)	1234.827	9.534
FACTOR(22)	666.088	07.799
FACTOR(23)	833.821	153.721
FACTOR(24)	1.573	1846.576
FACTOR(25)	242.956	560.933
FACTOR(26)	746.839	98.784
FACTOR(27)	8.923	509.403
FACTOR(28)	857.807	8.621
FACTOR(29)	2.459	729.338
FACTOR(30)	329.801	254.889
FACTOR(31)	15.784	425.790
FACTOR(32)		

Page 62/2003 of 62/2003

Pct: 62/2003

	RS	RT
FACTOR(33)	561.927	59.968
FACTOR(34)	1.128	325.268
FACTOR(35)	1.097	532.860
FACTOR(36)	879	479.665
FACTOR(37)	357.451	1.311
FACTOR(38)	8.676	336.182
FACTOR(39)	297.135	0.832
FACTOR(40)	243.386	9.287
FACTOR(41)	463.488	1.892
FACTOR(42)	14.556	0.702
FACTOR(43)	1.848	579.365
FACTOR(44)	83.063	6.618
FACTOR(45)	2.862	5.118
FACTOR(46)	000	0.
FACTOR(47)	000	0.
FACTOR(48)	000	0.
FACTOR(49)	000	0.
FACTOR(50)	000	0.
FACTOR(51)	000	0.
FACTOR(52)	000	0.

Page 62/2003 of 62/2003

Pct: 62/2003

	RS	RT
FACTOR(1)	516.421	71.510
FACTOR(2)	2.374	585.120
FACTOR(3)	0.054	2501.821
FACTOR(4)	353.442	96.716
FACTOR(5)	326.479	31.529
FACTOR(6)	37.733	251.033
FACTOR(7)	152.418	1010.684
FACTOR(8)	0.849	836.407
FACTOR(9)	28.204	2.808
FACTOR(10)	0.762	6.378
FACTOR(11)	267.696	44.530
FACTOR(12)	410.378	11.789
FACTOR(13)	8.889	5.25
FACTOR(14)	174.147	0.427
FACTOR(15)	88.587	14.116
FACTOR(16)	673	3.076
FACTOR(17)	6.489	1806.503
FACTOR(18)	5.935	512.894
FACTOR(19)	122.408	0.704
FACTOR(20)	297.324	3.055
FACTOR(21)	1.744	320.278
FACTOR(22)	7.874	1106.931
FACTOR(23)	2.109	2.272
FACTOR(24)	376.504	72.559
FACTOR(25)	7.187	3.777
FACTOR(26)	6.878	1247.184
FACTOR(27)	180.161	4.691
FACTOR(28)	9.547	622.211
FACTOR(29)	132.213	8.458
FACTOR(30)	545	4.263
FACTOR(31)	42.314	2.738
FACTOR(32)		

Page 62/2003 of 62/2003

Figure 120

File: A220001

	7.822	1405.822	1.788
FACTOR(33)	81.258	7.829	134.070
FACTOR(34)	178.043	2.732	255.830
FACTOR(35)	81.517	0.127	155.045
FACTOR(36)	1.801	553.931	3.078
FACTOR(37)	149.909	0.268	254.505
FACTOR(38)	4.734	541.574	2.776
FACTOR(39)	6.442	883.045	5.823
FACTOR(40)	6.478	333.809	2.723
FACTOR(41)	.342	123.248	.324
FACTOR(42)	146.187	0.529	292.306
FACTOR(43)	.837	255.160	5.244
FACTOR(44)	.751	335.940	.782
FACTOR(45)	.000	.000	.000
FACTOR(46)	.000	.000	.000
FACTOR(47)	.000	.000	.000
FACTOR(48)	.683	481.245	.630
FACTOR(49)	.000	.000	.000
FACTOR(50)	.000	.000	.000
FACTOR(51)	.000	.000	.000
FACTOR(52)	.000	.000	.000

Variable	F-to-remove	Tolerance	Variable	F-to-enter	Tolerance
3 FACTOR(1)	165.86	0.001301	47 FACTOR(45)	0.00	0.000000
4 FACTOR(2)	20.89	0.010747	48 FACTOR(46)	0.00	0.000000
5 FACTOR(3)	155.48	0.002817	49 FACTOR(47)	0.00	0.000000
6 FACTOR(4)	30.37	0.005649	51 FACTOR(49)	0.00	0.000000
7 FACTOR(5)	37.26	0.004333	52 FACTOR(50)	0.00	0.000000
8 FACTOR(6)	3.28	0.048888	53 FACTOR(51)	0.00	0.000000
9 FACTOR(7)	62.50	0.003662	54 FACTOR(52)	0.00	0.000000
10 FACTOR(8)	22.54	0.008860			
11 FACTOR(9)	10.46	0.014231			
12 FACTOR(10)	8.08	0.018636			
13 FACTOR(11)	27.69	0.005617			
14 FACTOR(12)	44.93	0.001838			
15 FACTOR(13)	10.57	0.015446			
16 FACTOR(14)	8.78	0.017738			
17 FACTOR(15)	3.21	0.048793			
18 FACTOR(16)	0.48	0.238616			
19 FACTOR(17)	69.14	0.000608			
20 FACTOR(18)	24.62	0.006671			
21 FACTOR(19)	3.37	0.039918			
22 FACTOR(20)	45.12	0.004288			

Page A22001 of A22001

23 FACTOR(21)	18.37	0.038350
24 FACTOR(22)	18.44	0.009789
25 FACTOR(23)	9.67	0.015905
26 FACTOR(24)	54.39	0.002457
27 FACTOR(25)	6.53	0.023139
28 FACTOR(26)	31.22	0.003147
29 FACTOR(27)	9.95	0.017948
30 FACTOR(28)	10.02	0.014805
31 FACTOR(29)	6.36	0.017939
32 FACTOR(30)	3.06	0.048530
33 FACTOR(31)	3.36	0.043854
34 FACTOR(32)	38.28	0.003460
35 FACTOR(33)	2.08	0.071387
36 FACTOR(34)	5.09	0.021857
37 FACTOR(35)	3.82	0.037992
38 FACTOR(36)	6.56	0.025503
39 FACTOR(37)	4.80	0.032875
40 FACTOR(38)	5.88	0.024700
41 FACTOR(39)	15.03	0.011187
42 FACTOR(40)	3.95	0.039036
43 FACTOR(41)	0.65	0.191654
44 FACTOR(42)	6.37	0.024361
45 FACTOR(43)	1.50	0.091363
46 FACTOR(44)	3.23	0.048086
50 FACTOR(48)	4.69	0.031305

Classification matrix (cases in row categories classified into columns)

	F3*	F3'S	FS	FT	R3*	R3'S
F3*	6	0	0	0	0	0
F3'S	0	10	0	0	0	0
FS	0	0	5	0	0	0
FT	0	0	0	8	0	0
R3*	0	0	0	0	6	0
R3'S	0	0	0	0	0	6
RS	0	0	0	0	0	0
RT	0	0	0	0	0	0
Total	6	10	5	8	6	6

Page A22001 of A22001

File: A220001

	RS	RT	Corrected
F3*	0	0	100
F3'S	0	0	100
FS	0	0	100
FT	0	0	100
R3*	0	0	100
R3'S	0	0	100
RS	6	0	100
RT	0	6	100
Total	6	6	100

Jackknifed classification matrix

	F3*	F3'S	FS	FT	R3*	R3'S
F3*	4	0	0	1	0	0
F3'S	2	3	3	0	1	0
FS	1	1	0	0	0	0
FT	3	6	4	1	0	0
R3*	2	0	0	1	0	1
R3'S	3	1	1	0	0	0
RS	0	3	1	0	0	0
RT	2	1	2	0	0	1
Total	17	8	11	3	1	2

	RS	RT	Corrected
F3*	0	0	60
F3'S	1	0	30
FS	1	2	0
FT	0	1	11
R3*	1	0	0
R3'S	0	0	0
RS	1	0	20
RT	1	2	22
Total	6	6	21

Page A22001 of A22001

File: A220001

Eigenvalues

5277.370	1800.188	87.172	38.836	26.920	5.759
----------	----------	--------	--------	--------	-------

2

407

Canonical correlations

.000	1.	.000	1.	.894	0.	.987	0.	.862	0.	.823	0.
------	----	------	----	------	----	------	----	------	----	------	----

0.

840

Cumulative proportion of total dispersion

.729	0.	.878	0.	.890	0.	.895	0.	.999	0.	1.
------	----	------	----	------	----	------	----	------	----	----

1.

000

Wilk's lambda = 0.000
Approx.F = 5.299 df= 316, 20 p-val= 0.0000

Pillai's trace = 0.485
Approx.F = 1.839 df= 316, 49 p-val= 0.0020

Likelihood ratio = 7238.447
Approx.F = -18.414 df= 316, -5 p-val=

Canonical discriminant functions

	1	2	3	4	5	6
Constant	.000	0.	.000	0.	.000	0.

6

7

Constant .000 0. 000 0.

Page A22001 of A22001

Figure 121

File: A1200001

File: A1200001

FACTOR(1)	31.378	4.071	0.054	0.309
FACTOR(2)	-7.334	7.746	-1.891	2.984
FACTOR(3)	-25.339	-16.862	4.358	1.588
FACTOR(4)	12.422	-0.008	1.804	-1.287
FACTOR(5)	14.807	-2.371	-0.543	-0.511
FACTOR(6)	-2.288	-3.427	0.861	-1.432
FACTOR(7)	-0.310	-17.352	-2.045	-0.036
FACTOR(8)	-0.658	6.139	-1.233	-0.385
FACTOR(9)	6.376	4.872	-0.584	-0.123
FACTOR(10)	1.220	6.832	0.108	-0.630
FACTOR(11)	12.893	-2.092	-1.113	0.482
FACTOR(12)	14.435	-7.538	-2.155	-0.913
FACTOR(13)	-0.462	7.878	1.776	-1.334
FACTOR(14)	4.535	-5.414	-1.023	0.360
FACTOR(15)	0.244	-4.213	1.189	0.286
FACTOR(16)	1.031	1.145	-0.852	-0.376
FACTOR(17)	-20.055	2.888	-0.018	1.330
FACTOR(18)	-7.071	9.757	1.884	0.048
FACTOR(19)	2.821	-3.531	-0.248	-0.048
FACTOR(20)	5.545	-15.158	0.467	-0.403
FACTOR(21)	-4.720	9.052	1.787	-1.940
FACTOR(22)	-11.908	1.432	-1.853	-0.315
FACTOR(23)	0.313	7.533	-1.230	-0.381
FACTOR(24)	17.859	-1.525	1.680	0.241
FACTOR(25)	4.781	3.868	-0.176	0.842
FACTOR(26)	-13.833	1.429	-0.621	0.216
FACTOR(27)	5.834	-4.585	-1.317	0.908
FACTOR(28)	-7.117	3.111	0.071	-0.692
FACTOR(29)	7.004	0.390	1.079	0.189
FACTOR(30)	1.868	3.831	0.223	0.204
FACTOR(31)	3.827	1.592	1.020	1.058
FACTOR(32)				0.483

Page 6(2003) of 6(2003)

FACTOR(33)	-15.192	-0.6	-0.273	-0.961	2.409
FACTOR(34)	3.145	0.139	0.605	-0.078	0.399
FACTOR(35)	0.297	1.039	0.298	0.167	0.718
FACTOR(36)	4.460	1.483	0.825	0.326	0.175
FACTOR(37)	-0.171	0.821	-0.119	0.802	0.723
FACTOR(38)	3.825	-3.616	1.187	0.164	0.269
FACTOR(39)	-0.844	0.449	-0.643	-0.382	0.689
FACTOR(40)	-0.343	-1.352	-0.496	-0.381	1.064
FACTOR(41)	-3.006	2.597	0.373	-0.798	0.618
FACTOR(42)	-1.432	-0.422	0.718	-0.307	1.015
FACTOR(43)	0.831	-1.719	0.830	0.639	0.111
FACTOR(44)	-2.754	-0.275	-0.342	-0.141	1.145
FACTOR(45)	-3.465	-2.389	0.077	0.375	1.222
FACTOR(46)					
FACTOR(47)					
FACTOR(48)	-0.143	0.770	-0.884	0.091	-0.735
FACTOR(49)					
FACTOR(50)					
FACTOR(51)					
FACTOR(52)					

Page 6(2003) of 6(2003)

File: A1200001

File: A1200001

FACTOR(1)	4	0.37	0.03
FACTOR(2)	6	0.14	0
FACTOR(3)	3	0.37	0.102
FACTOR(4)	9	0.58	0.846
FACTOR(5)	3	0.32	0.00
FACTOR(6)	9	0.17	0.33
FACTOR(7)			0.13
FACTOR(8)		0.509	0.10
FACTOR(9)		0.042	0
FACTOR(10)	1	0.09	0.114
FACTOR(11)		0.030	0.26
FACTOR(12)	0	0.17	0.02
FACTOR(13)		0.054	0.268
FACTOR(14)		0.182	0.10
FACTOR(15)	5	0.35	0.34
FACTOR(16)	7	0.23	0.334
FACTOR(17)			0.03
FACTOR(18)		0.119	0.31
FACTOR(19)		0.276	0
FACTOR(20)	2	0.01	0.202
FACTOR(21)		0.076	0.087
FACTOR(22)		0.538	0.292
FACTOR(23)		0.531	0.36
FACTOR(24)		0.04	0.498
FACTOR(25)	3	0.04	0.085
FACTOR(26)		0.376	0.429
FACTOR(27)	4	0.00	0.337
FACTOR(28)		0.510	0.078
FACTOR(29)		0.710	0.28
FACTOR(30)	3	0.29	0.22
FACTOR(31)			0.03
FACTOR(32)		0.488	0.03
FACTOR(33)		0.302	0
FACTOR(34)	6	0.10	0.193
FACTOR(35)		0.38	0.07

Page 6(2003) of 6(2003)

FACTOR(33)	7	1
FACTOR(34)	0.855	0.297
FACTOR(35)	0.101	0.30
FACTOR(36)	0.440	0.12
FACTOR(37)	1	0.09
FACTOR(38)	4	0.31
FACTOR(39)	0	0.39
FACTOR(40)	2	0.74
FACTOR(41)		0.151
FACTOR(42)	0.032	0.41
FACTOR(43)	0.317	0.168
FACTOR(44)	0.430	0.41
FACTOR(45)	0	0.04
FACTOR(46)		0.235
FACTOR(47)	0.340	0.34
FACTOR(48)		0
FACTOR(49)		0.15
FACTOR(50)	2	0.24
FACTOR(51)		1
FACTOR(52)		

Canonical discriminant functions - standardized by within variances

Page 6(2003) of 6(2003)

Figure 122

Page: 612 (Total of 612 pages)

	1	2	3	4	5
FACTOR(1)	27.438	3.560	0.943	1.427	0.270
FACTOR(2)	-4.287	6.819	-1.701	2.350	-0.378
FACTOR(3)	-16.017	-10.274	2.733	1.002	-0.220
FACTOR(4)	12.113	-4.932	1.488	-1.255	0.058
FACTOR(5)	14.841	-2.377	-0.544	-0.513	0.184
FACTOR(6)	-2.331	-3.025	0.885	-1.473	0.044
FACTOR(7)	-7.108	-14.842	-2.433	-0.544	-0.051
FACTOR(8)	-8.948	6.832	-1.270	-0.400	-0.465
FACTOR(9)	6.671	4.888	-0.611	-0.128	0.757
FACTOR(10)	1.284	7.105	0.112	-0.551	0.506
FACTOR(11)	12.956	-2.135	-1.135	0.482	0.937
FACTOR(12)	13.582	-7.404	-2.089	-0.885	-0.234
FACTOR(13)	-0.482	7.570	1.774	-1.332	0.010
FACTOR(14)	4.507	-6.381	-1.613	0.358	0.519
FACTOR(15)	0.253	-4.373	1.244	0.287	-0.090
FACTOR(16)	1.106	1.218	-0.588	-0.401	0.330
FACTOR(17)	-19.311	2.780	-0.016	1.281	0.689
FACTOR(18)	-7.089	9.794	1.983	0.048	0.240
FACTOR(19)	3.083	-3.727	-0.262	-0.050	-0.787
FACTOR(20)	5.224	-14.281	0.440	-0.380	-0.412
FACTOR(21)	-4.385	8.410	1.632	-1.803	-0.376
FACTOR(22)	-11.841	1.424	-1.942	-0.313	0.021
FACTOR(23)	0.326	7.844	-1.281	-0.375	-0.033
FACTOR(24)	18.806	-1.427	1.653	0.228	1.227
FACTOR(25)	4.855	4.104	-0.182	0.870	0.165
FACTOR(26)	-13.789	1.446	-0.630	0.219	0.434
FACTOR(27)	5.654	-4.357	-1.257	0.967	1.065
FACTOR(28)	-7.455	3.259	0.074	-0.515	0.201
FACTOR(29)	7.290	0.406	1.117	0.207	0.107
FACTOR(30)	2.048	3.745	0.230	0.211	-1.142
FACTOR(31)	4.071	1.850	1.058	1.107	0.501

Page: 612 (Total of 612 pages)

Page: 612 (Total of 612 pages)

	1	2	3	4	5
FACTOR(32)	-13.329	-0.169	-0.238	-0.943	-0.141
FACTOR(33)	3.082	-0.136	0.593	0.070	1.371
FACTOR(34)	5.540	-1.505	0.312	0.195	0.751
FACTOR(35)	4.666	1.531	0.968	0.341	0.183
FACTOR(36)	-8.457	0.859	-0.125	0.693	0.757
FACTOR(37)	3.832	-3.623	1.159	0.184	0.270
FACTOR(38)	-5.971	0.459	-0.657	-0.390	0.704
FACTOR(39)	-8.213	-1.333	-0.468	-0.378	1.049
FACTOR(40)	-4.113	2.873	0.384	-0.621	0.636
FACTOR(41)	-1.483	-0.437	0.741	-0.318	1.051
FACTOR(42)	5.971	-1.754	0.867	0.633	0.113
FACTOR(43)	-2.855	-0.285	-0.355	-0.146	1.187
FACTOR(44)	-3.504	-2.416	0.078	0.378	1.236
FACTOR(45)	-	-	-	-	-
FACTOR(46)	-	-	-	-	-
FACTOR(47)	-	-	-	-	-
FACTOR(48)	-5.373	0.804	-0.824	0.095	-0.788
FACTOR(49)	-	-	-	-	-
FACTOR(50)	-	-	-	-	-
FACTOR(51)	-	-	-	-	-
FACTOR(52)	-	-	-	-	-

Page: 612 (Total of 612 pages)

Page: 612 (Total of 612 pages)

	6	7
FACTOR(1)	0.32	0.02
FACTOR(2)	0.12	-
FACTOR(3)	0.23	0.087
FACTOR(4)	0.57	0.029
FACTOR(5)	0.52	0.03
FACTOR(6)	0.18	-
FACTOR(7)	0.435	0.11
FACTOR(8)	0.043	0.10
FACTOR(9)	0.09	-
FACTOR(10)	0.031	0.119
FACTOR(11)	0.18	0.27
FACTOR(12)	0.053	0.02
FACTOR(13)	0.182	0.10
FACTOR(14)	0.03	0.34
FACTOR(15)	0.24	-
FACTOR(16)	0.127	0.04
FACTOR(17)	0.268	0.30
FACTOR(18)	0.01	-
FACTOR(19)	0.061	0.202
FACTOR(20)	0.508	0.052
FACTOR(21)	0.494	0.278
FACTOR(22)	0.04	0.05
FACTOR(23)	0.04	0.495
FACTOR(24)	0.348	0.029
FACTOR(25)	0.00	0.402
FACTOR(26)	0.618	0.410
FACTOR(27)	0.578	0.079
FACTOR(28)	0.30	0.27
FACTOR(29)	-	0.23
FACTOR(30)	0.518	0.03
FACTOR(31)	0.373	0.04
FACTOR(32)	0.10	-
FACTOR(33)	0.190	-

Page: 612 (Total of 612 pages)

Page: 612 (Total of 612 pages)

	6	7
FACTOR(32)	0.34	0.08
FACTOR(33)	0.842	0.291
FACTOR(34)	0.105	0.31
FACTOR(35)	0.460	0.13
FACTOR(36)	0.09	-
FACTOR(37)	0.31	0.204
FACTOR(38)	0.40	0.59
FACTOR(39)	0.73	0.408
FACTOR(40)	0.033	0.148
FACTOR(41)	0.032	0.42
FACTOR(42)	0.439	0.175
FACTOR(43)	0.04	0.42
FACTOR(44)	0.344	0.244
FACTOR(45)	-	0.34
FACTOR(46)	-	-
FACTOR(47)	-	-
FACTOR(48)	0.16	0.25
FACTOR(49)	-	-
FACTOR(50)	-	-
FACTOR(51)	-	-
FACTOR(52)	-	-

Canonical scores of group means

	1	2	3	4	5
F3'	43.081	113.251	4.364	1.429	2.323
F3'S	104.714	14.520	9.260	0.618	2.977
FS	86.840	25.022	13.495	4.830	3.285
FT	10.193	18.653	8.630	9.729	0.283
R3'	62.808	7.312	9.120	7.595	10.641
R3'S	19.093	18.816	7.253	7.728	2.841
RS	82.488	11.944	11.481	5.703	6.812
RT	41.768	25.145	5.995	0.841	4.728

Page: 612 (Total of 612 pages)

Figure 123

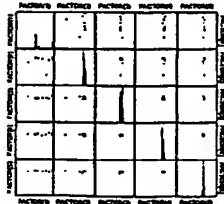
Pct: 42220000

119/120

Pct: 42220000

	6	7
FS*	1.03	-
FS*	3	0.204
FS*	0.842	7
FS	1.70	-
FS	2	1.371
FT	2.362	0.001
RS*	0.258	9
RS*	0.570	1.601
RS	3.100	4
RT	2.86	1.37
RT	1	5

Canonical Scores Plot



GROUPS

FS*

FS

FT

RS*

RS

RT

WARNING

The file

C:\Utilisateur\Gop585\Pr0100290802F.STD

was read for processing, and its contents have been replaced by saving the processed data into it.

53 cases and 56 variables processed and saved.

Distance metric is Euclidean distance

k-means splitting cases into 3 groups

Summary statistics for all cases

Variable	Between SS	df	Within SS	df	F-ratio
FACTOR(1)	4.310	2	47.690	50	2.259
FACTOR(2)	2.831	2	48.069	50	1.433
FACTOR(3)	1.260	2	50.740	50	0.621
FACTOR(4)	0.430	2	51.550	50	0.218
FACTOR(5)	0.433	2	51.567	50	0.210

Pct: 42220000

FACTOR(4)	0.953	2	7	50	0.487
FACTOR(7)	1.371	2	9	50	0.677
FACTOR(8)	0.373	2	51	50	0.181
FACTOR(9)	1.360	2	51	50	0.675
FACTOR(10)	1.360	2	51	50	0.675
FACTOR(11)	1.360	2	51	50	0.675
FACTOR(12)	1.360	2	51	50	0.675
FACTOR(13)	1.360	2	51	50	0.675
FACTOR(14)	1.360	2	51	50	0.675
FACTOR(15)	1.360	2	51	50	0.675
FACTOR(16)	1.360	2	51	50	0.675
FACTOR(17)	1.360	2	51	50	0.675
FACTOR(18)	1.360	2	51	50	0.675
FACTOR(19)	1.360	2	51	50	0.675
FACTOR(20)	1.360	2	51	50	0.675
FACTOR(21)	1.360	2	51	50	0.675
FACTOR(22)	1.360	2	51	50	0.675
FACTOR(23)	1.360	2	51	50	0.675
FACTOR(24)	1.360	2	51	50	0.675
FACTOR(25)	1.360	2	51	50	0.675
FACTOR(26)	1.360	2	51	50	0.675
FACTOR(27)	1.360	2	51	50	0.675
FACTOR(28)	1.360	2	51	50	0.675
FACTOR(29)	1.360	2	51	50	0.675
FACTOR(30)	1.360	2	51	50	0.675
FACTOR(31)	1.360	2	51	50	0.675
FACTOR(32)	1.360	2	51	50	0.675
FACTOR(33)	1.360	2	51	50	0.675
FACTOR(34)	1.360	2	51	50	0.675
FACTOR(35)	1.360	2	51	50	0.675
FACTOR(36)	1.360	2	51	50	0.675
FACTOR(37)	1.360	2	51	50	0.675
FACTOR(38)	1.360	2	51	50	0.675
FACTOR(39)	1.360	2	51	50	0.675
FACTOR(40)	1.360	2	51	50	0.675
FACTOR(41)	1.360	2	51	50	0.675
FACTOR(42)	1.360	2	51	50	0.675
FACTOR(43)	1.360	2	51	50	0.675
FACTOR(44)	1.360	2	51	50	0.675
FACTOR(45)	1.360	2	51	50	0.675
FACTOR(46)	1.360	2	51	50	0.675
FACTOR(47)	1.360	2	51	50	0.675
FACTOR(48)	1.360	2	51	50	0.675
FACTOR(49)	1.360	2	51	50	0.675
FACTOR(50)	1.360	2	51	50	0.675
FACTOR(51)	1.360	2	51	50	0.675
FACTOR(52)	1.360	2	51	50	0.675
** TOTAL **	104.800	184	2600.000	1600	2.195

Cluster 1 of 3 contains 18 cases

Case	Distance	Variable	Minimum	Mean	Maximum	St.Dev.
Case 1	0.97	FACTOR(1)	-0.87	0.36	1.38	0.58
Case 5	0.97	FACTOR(2)	-0.59	0.29	1.34	0.60
Case 6	0.97	FACTOR(3)	-0.48	0.19	0.60	0.80
Case 8	0.97	FACTOR(4)	-1.08	-0.05	1.66	0.74
Case 10	0.97	FACTOR(5)	-0.60	0.00	0.80	0.43
Case 11	0.97	FACTOR(6)	-1.30	-0.09	1.61	0.74
Case 13	0.97	FACTOR(7)	-0.71	-0.23	1.07	0.70
Case 14	0.97	FACTOR(8)	-1.03	0.07	1.06	0.62
Case 16	0.97	FACTOR(9)	-0.32	0.11	0.58	0.34
Case 17	0.97	FACTOR(10)	-2.74	-0.17	1.61	0.94
Case 18	0.97	FACTOR(11)	-0.68	0.24	1.62	0.68
Case 19	0.97	FACTOR(12)	-1.61	-0.01	1.21	0.68

Pct: 42220000

Pct: 42220000

Case 20	0.97	FACTOR(13)	-1.30	0.01	0.88	0.55
Case 11	0.97	FACTOR(14)	-1.38	0.06	0.51	0.51
Case 28	0.97	FACTOR(15)	-0.82	0.06	1.20	0.57
Case 16	0.97	FACTOR(16)	-1.60	-0.12	0.65	0.82
Case 38	0.97	FACTOR(17)	-1.62	0.07	1.57	0.81
Case 33	0.97	FACTOR(18)	-1.10	0.12	2.53	0.94
		FACTOR(19)	-1.23	0.15	3.67	1.00
		FACTOR(20)	-1.48	-0.30	1.47	0.87
		FACTOR(21)	-1.51	-0.15	1.69	0.83
		FACTOR(22)	-2.73	-0.06	2.08	1.12
		FACTOR(23)	-1.86	-0.06	1.44	0.80
		FACTOR(24)	-1.48	0.20	2.00	1.09
		FACTOR(25)	-1.53	0.11	2.04	0.94
		FACTOR(26)	-1.59	0.18	2.47	0.98
		FACTOR(27)	-1.91	-0.08	1.23	1.02
		FACTOR(28)	-2.43	0.03	1.41	0.89
		FACTOR(29)	-1.29	0.04	1.79	0.87
		FACTOR(30)	-1.91	-0.05	1.90	1.17
		FACTOR(31)	-1.86	0.20	2.39	1.15
		FACTOR(32)	-2.49	-0.24	1.56	1.25
		FACTOR(33)	-1.58	0.03	1.91	0.99
		FACTOR(34)	-2.61	-0.02	2.32	1.15
		FACTOR(35)	-2.25	-0.31	1.05	1.17
		FACTOR(36)	-2.91	0.07	1.90	1.14
		FACTOR(37)	-2.83	0.13	2.35	1.43
		FACTOR(38)	-2.61	-0.02	2.32	1.15
		FACTOR(39)	-2.80	-0.26	2.23	1.14
		FACTOR(40)	-2.43	0.01	2.51	1.25
		FACTOR(41)	-3.28	-0.24	2.90	1.44
		FACTOR(42)	-3.12	0.05	2.70	1.41
		FACTOR(43)	-2.88	0.31	2.13	1.14
		FACTOR(44)	-1.49	-0.04	1.99	0.94
		FACTOR(45)	-1.42	0.11	1.83	0.91
		FACTOR(46)	-1.62	-0.11	2.10	0.97
		FACTOR(47)	-2.13	0.26	2.79	1.24
		FACTOR(48)	-3.23	-0.15	1.91	1.42
		FACTOR(49)	-1.52	-0.02	2.29	1.03
		FACTOR(50)	-3.10	-0.23	1.37	1.41
		FACTOR(51)	-2.42	0.31	2.70	1.43
		FACTOR(52)	-1.87	0.35	5.52	1.49

Cluster 2 of 3 contains 18 cases

Case	Distance	Variable	Minimum	Mean	Maximum	St.Dev.
Case 22	0.97	FACTOR(1)	-1.56	-0.04	1.50	0.99
Case 23	0.97	FACTOR(1)	-1.45	-0.28	1.84	0.91
Case 25	0.97	FACTOR(2)	-2.16	0.18	2.85	1.20
Case 26	0.97	FACTOR(4)	-3.55	0.13	2.26	1.31
Case 29	0.97	FACTOR(5)	-2.04	0.04	2.02	1.17
Case 30	0.97	FACTOR(1)	-1.84	0.19	3.40	1.41
Case 31	0.97	FACTOR(7)	-2.58	0.18	2.80	1.43
Case 33	0.97	FACTOR(8)	-1.79	0.05	3.56	1.31
Case 34	0.97	FACTOR(9)	-2.10	0.11	1.92	1.30
Case 35	0.97	FACTOR(10)	-2.23	0.20	1.62	1.01
Case 37	0.97	FACTOR(11)	-2.89	-0.44	2.61	1.28
Case 39	0.97	FACTOR(12)	-0.86	0.34	2.99	0.94
Case 42	0.97	FACTOR(13)	-1.25	0.30	1.52	0.81
Case 42	0.97	FACTOR(14)	-2.72	-0.05	3.12	1.19
Case 43	0.97	FACTOR(15)	-1.89	-0.09	2.39	1.18
Case 45	0.97	FACTOR(16)	-1.83	-0.15	1.79	1.02
Case 49	0.97	FACTOR(17)	-3.46	-0.36	1.37	1.24
Case 51	0.97	FACTOR(18)	-1.87	-0.33	2.37	1.19
		FACTOR(19)	-1.12	0.34	0.93	0.93
		FACTOR(20)	-1.04	0.36	2.34	0.93

Pct: 42220000

Pct: 42220000

Cluster 3 of 3 contains 17 cases

Case	Distance	Variable	Minimum	Mean	Maximum	St.Dev.
Case 2	0.97	FACTOR(1)	-2.47	-0.34	1.58	1.26
Case 3	0.97	FACTOR(2)	-4.29	-0.61	1.70	1.34
Case 4	0.97	FACTOR(3)	-1.04	0.01	1.49	1.05
Case 7	0.97	FACTOR(4)	-1.44	-0.08	2.63	0.90
Case 9	0.97	FACTOR(5)	-3.05	-0.13	2.34	1.25
Case 12	0.97	FACTOR(6)	-1.95	-0.10	1.24	0.71
Case 15	0.97	FACTOR(7)	-1.12	0.05	1.24	0.65
Case 24	0.97	FACTOR(8)	-2.34	-0.12	1.65	1.00
Case 27	0.97	FACTOR(9)	-2.80	-0.23	1.73	1.12
Case 32	0.97	FACTOR(10)	-1.87	-0.03	3.85	1.07
Case 40	0.97	FACTOR(11)	-1.92	0.20	2.23	0.96
Case 46	0.97	FACTOR(12)	-1.66	-0.39	1.09	1.23
Case 46	0.97	FACTOR(13)	-3.30	-0.32	2.52	1.42
Case 47	0.97	FACTOR(14)	-2.33	-0.00	2.00	1.10
Case 48	0.97	FACTOR(15)	-2.46	0.02	1.87	1.07
Case 50	0.97	FACTOR(16)	-2.16	0.29	2.82	1.27
Case 52	0.97	FACTOR(17)	-0.84	0.31	2.01	0.77
		FACTOR(18)	-1.47	0.12	1.84	0.79
		FACTOR(19)	-2.40	0.03	2.63	1.18
		FACTOR(20)	-1.88	-0.04	1.58	0.80
		FACTOR(21)	-1.30	0.32	3.10	1.24
		FACTOR(22)	-1.15	0.01	1.63	0.85
		FACTOR(23)	-3.20	-0.23	1.17	1.20
		FACTOR(24)	-1.25	0.40	0.87	1.08
		FACTOR(25)	-1.25	0.04	2.34	0.93
		FACTOR(26)	-2.19	-0.22	0.96	0.84
		FACTOR(27)	-2.32	-0.02	1.60	1.08
		FACTOR(28)	-0.81	0.11	1.33	0.70

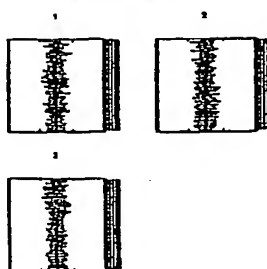
Pct: 42220000

Figure 124

Page 61/200 of 61/200

FACTOR(29)	-2.02	-0.19	1.81	1.12
FACTOR(30)	-1.45	-0.14	0.90	0.64
FACTOR(31)	-1.32	0.01	1.04	0.68
FACTOR(32)	-1.07	0.26	2.25	0.81
FACTOR(33)	-2.34	-0.16	1.04	0.84
FACTOR(34)	-1.63	0.03	2.15	1.07
FACTOR(35)	-0.87	0.39	3.01	0.93
FACTOR(36)	-0.85	0.21	2.47	0.99
FACTOR(37)	-1.42	-0.02	1.88	0.75
FACTOR(38)	-0.34	0.25	2.60	0.80
FACTOR(39)	-2.19	0.12	1.53	0.88
FACTOR(40)	-1.04	-0.07	1.35	0.76
FACTOR(41)	-0.49	0.18	1.55	0.62
FACTOR(42)	-1.77	0.17	1.31	0.73
FACTOR(43)	-2.28	-0.40	1.13	0.88
FACTOR(44)	-2.33	0.31	2.96	1.31
FACTOR(45)	-2.74	-0.10	2.37	1.23
FACTOR(46)	-3.40	-0.23	3.73	1.10
FACTOR(47)	-1.86	-0.12	3.55	0.78
FACTOR(48)	-2.16	0.15	3.63	0.91
FACTOR(49)	-2.51	0.03	3.14	1.24
FACTOR(50)	-1.00	0.23	1.43	0.84
FACTOR(51)	-2.57	-0.06	1.05	0.79
FACTOR(52)	-1.99	-0.33	0.44	0.68

Cluster Profile Plots



Cluster Parallel Coordinate Plots

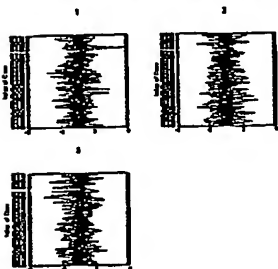


Figure 125